



(19) 대한민국특허청(KR)  
(12) 공개특허공보(A)

(11) 공개번호 10-2021-0090298  
(43) 공개일자 2021년07월19일

- (51) 국제특허분류(Int. Cl.)  
A61K 47/68 (2017.01) C07K 16/28 (2006.01)  
C07K 16/32 (2006.01) C07K 19/00 (2006.01)
- (52) CPC특허분류  
A61K 47/6817 (2017.08)  
A61K 47/6849 (2017.08)
- (21) 출원번호 10-2021-7021848(분할)
- (22) 출원일자(국제) 2021년10월30일  
심사청구일자 없음
- (62) 원출원 특허 10-2015-7014177  
원출원일자(국제) 2013년10월30일  
심사청구일자 2018년10월18일
- (85) 번역문제출일자 2021년07월12일
- (86) 국제출원번호 PCT/US2013/067621
- (87) 국제공개번호 WO 2014/070957  
국제공개일자 2014년05월08일
- (30) 우선권주장  
61/720,257 2012년10월30일 미국(US)

- (71) 출원인  
에스퍼란스 파마슈티컬스, 인코포레이티드  
미국 루이지애나 바톤 로우지 이. 파커 블러바드  
340 (우:70803)
- (72) 발명자  
로이슈너, 카롤라  
미국 70809 루이지애나 바톤 루즈 # 8104 커머스  
서클 6929  
알릴라, 헥터  
미국 70808 루이지애나 바톤 루즈 유닛 7 콘그레  
스 블러바드 5255
- (74) 대리인  
특허법인 남앤남

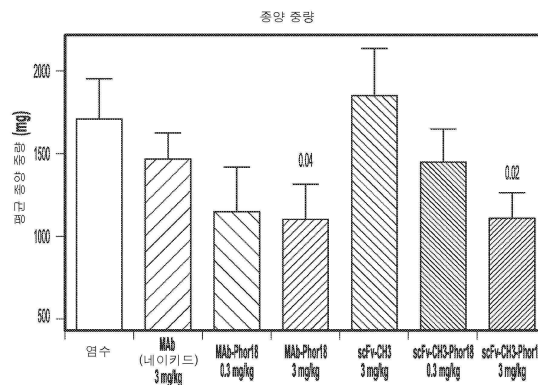
전체 청구항 수 : 총 88 항

(54) 발명의 명칭 항체/약물 컨주게이트 및 이의 사용 방법

(57) 요약

본 발명은 표적에 결합하는 컨주게이트, 표적에 결합하는 컨주게이트를 이용하는 방법 및 표적을 발현하는 요망되지 않거나 비정상적인 세포증식 또는 과증식 장애, 예를 들어, 종양, 암, 신생물 및 악성종양을 치료하는 방법에 관한 것이다.

대표도 - 도3



(52) CPC특허분류

*C07K 16/2887* (2013.01)

*C07K 16/32* (2013.01)

*C07K 19/00* (2013.01)

*C07K 2317/62* (2013.01)

*C07K 2319/95* (2013.01)

---

## 명세서

### 청구범위

#### 청구항 1

표적에 결합하는 항체를 포함하는 항체 컨주게이트로서, 상기 항체가 용해 도메인에 연결되어 있고, 상기 용해 도메인이 KFAKFAKKFAKFAKK, KFAKFAKKFAKFAKKF, KFAKFAKKFAKFAKKFA, KFAKFAKKFAKFAKKFAK, KFAKFAKKFAKFAKKFAKF 및 KFAKFAKKFAKFAKKFA로부터 선택된 펩티드, 또는 K 잔기 중 하나 이상이 F 또는 L 잔기 중 임의의 것으로 치환되거나, F 잔기 중 하나 이상이 K, A 또는 L 잔기 중 임의의 것으로 치환되거나, A 잔기 중 하나 이상이 K, F 또는 L 잔기 중 임의의 것으로 치환된 KFAKFAKKFAKFAKK, KFAKFAKKFAKFAKKF, KFAKFAKKFAKFAKKFA, KFAKFAKKFAKFAKKFAK, KFAKFAKKFAKFAKKFAKF 및 KFAKFAKKFAKFAKKFAKF로부터 선택된 펩티드를 포함하거나 이들로 구성되고, 상기 용해 도메인이 항체의 중쇄(H) 또는 항체의 경쇄(L)에 연결된, 항체 컨주게이트.

#### 청구항 2

표적에 결합하는 항체의 중쇄(H) 또는 경쇄(L)를 포함하는 폴리펩티드 컨주게이트로서, 상기 중쇄(H) 또는 경쇄(L)가 용해 도메인에 연결되어 있고, 상기 용해 도메인이 KFAKFAKKFAKFAKK, KFAKFAKKFAKFAKKF, KFAKFAKKFAKFAKKFA, KFAKFAKKFAKFAKKFAK, KFAKFAKKFAKFAKKFAKF 및 KFAKFAKKFAKFAKKFAKF로부터 선택된 펩티드, 또는 K 잔기 중 하나 이상이 F 또는 L 잔기 중 임의의 것으로 치환되거나, F 잔기 중 하나 이상이 K, A 또는 L 잔기 중 임의의 것으로 치환되거나, A 잔기 중 하나 이상이 K, F 또는 L 잔기 중 임의의 것으로 치환된 KFAKFAKKFAKFAKK, KFAKFAKKFAKFAKKF, KFAKFAKKFAKFAKKFA, KFAKFAKKFAKFAKKFAK, KFAKFAKKFAKFAKKFAKF 및 KFAKFAKKFAKFAKKFAKF로부터 선택된 펩티드를 포함하거나 이들로 구성되는, 폴리펩티드 컨주게이트.

#### 청구항 3

제 1항 또는 제 2항에 있어서, 용해 도메인이 중쇄(H)의 아미노(NH<sub>2</sub>)-말단에 연결되거나, 중쇄(H)의 카르복시(C)-말단에 연결된 컨주게이트.

#### 청구항 4

제 1항 또는 제 2항에 있어서, 용해 도메인이 경쇄(L)의 아미노(NH<sub>2</sub>)-말단에 연결되거나, 경쇄(L)의 카르복시(C)-말단에 연결된 컨주게이트.

#### 청구항 5

제 1항 또는 제 2항에 있어서, 컨주게이트가 중쇄(H) 또는 경쇄(L)에 연결된 복수의 용해 도메인을 포함하고, 상기 용해 도메인 중 적어도 하나가 중쇄(H)의 아미노(NH<sub>2</sub>)-말단에 연결되거나, 경쇄(L)의 아미노(NH<sub>2</sub>)-말단에 연결된 컨주게이트.

#### 청구항 6

제 1항 또는 제 2항에 있어서, 컨주게이트가 중쇄(H) 또는 경쇄(L)에 연결된 복수의 용해 도메인을 포함하고, 상기 용해 도메인 중 적어도 하나가 중쇄(H)의 카르복시(C)-말단에 연결되거나, 경쇄(L)의 카르복시(C)-말단에 연결된 컨주게이트.

#### 청구항 7

제 1항 또는 제 2항에 있어서, 컨주게이트가 중쇄(H) 또는 경쇄(L)에 연결된 복수의 용해 도메인을 포함하고, 상기 용해 도메인 중 적어도 하나가 중쇄(H)의 아미노(NH<sub>2</sub>)-말단에 연결되고, 상기 용해 도메인 중 적어도 하나가 경쇄(L)의 아미노(NH<sub>2</sub>)-말단에 연결된 컨주게이트.

#### 청구항 8

제 1항 또는 제 2항에 있어서, 컨주게이트가 중쇄(H) 또는 경쇄(L)에 연결된 복수의 용해 도메인을 포함하고,

상기 용해 도메인 중 적어도 하나가 중쇄(H)의 아미노(NH<sub>2</sub>)-말단에 연결되고, 상기 용해 도메인 중 적어도 하나가 경쇄(L)의 아미노(NH<sub>2</sub>)-말단에 연결되고, 상기 용해 도메인 중 적어도 하나가 중쇄(H)의 카르복시(C)-말단에 연결되거나, 경쇄(L)의 카르복시(C)-말단에 연결된 컨주게이트.

**청구항 9**

제 1항 또는 제 2항에 있어서, 컨주게이트가 중쇄(H) 또는 경쇄(L)에 연결된 복수의 용해 도메인을 포함하고, 상기 용해 도메인 중 적어도 하나가 중쇄(H)의 아미노(NH<sub>2</sub>)-말단에 연결되고, 상기 용해 도메인 중 적어도 하나가 경쇄(L)의 아미노(NH<sub>2</sub>)-말단에 연결되고, 상기 용해 도메인 중 적어도 하나가 중쇄(H)의 카르복시(C)-말단에 연결되고, 상기 용해 도메인 중 적어도 하나가 경쇄(L)의 카르복시(C)-말단에 연결된 컨주게이트.

**청구항 10**

제 1항 또는 제 2항에 있어서, 중쇄(H) 또는 경쇄(L)에 연결된 1, 2, 3, 4, 5, 6, 7 또는 8개의 용해 도메인을 포함하는 컨주게이트.

**청구항 11**

제 1항 또는 제 2항에 있어서, 중쇄(H) 및/또는 경쇄(L)에 연결된 2, 4, 6, 또는 8개의 용해 도메인을 포함하는 컨주게이트.

**청구항 12**

제 1항 또는 제 2항에 있어서, 중쇄 또는 경쇄 당 적어도 하나의 용해 도메인을 복수로 포함하는 컨주게이트.

**청구항 13**

제 12항에 있어서, 중쇄(H) 또는 경쇄(L)에 연결된 용해 도메인이 동일한 아미노산 서열 또는 상이한 아미노산 서열을 갖는 컨주게이트.

**청구항 14**

제 1항 또는 제 2항에 있어서, 상기 용해 도메인이 중쇄(H) 또는 경쇄(L)의 아미노(NH<sub>2</sub>)-말단 또는 카르복시(C)-말단의 마지막 아미노산 바로 뒤에서 중쇄(H) 또는 경쇄(L)에 연결됨으로써, 용해 도메인과 중쇄(H) 또는 경쇄(L) 사이에 연속적 아미노산 서열을 형성하는 컨주게이트.

**청구항 15**

제 1항 또는 제 2항에 있어서, 상기 중쇄(H) 또는 경쇄(L) 및 상기 용해 도메인이 공유 결합에 의해 연결된 컨주게이트.

**청구항 16**

제 1항 또는 제 2항에 있어서, 상기 중쇄(H) 또는 경쇄(L) 및 상기 용해 도메인이 펩티드 서열 또는 비-펩티드 링커 또는 스페이서(spacer)에 의해 연결된 컨주게이트.

**청구항 17**

제 16항에 있어서, 상기 링커 또는 스페이서가 선형 탄소 사슬을 포함하는 컨주게이트.

**청구항 18**

제 16항에 있어서, 상기 펩티드 링커 또는 스페이서 서열이 하나 이상의 A, S 또는 G 아미노산 잔기를 포함하고/하거나, 1 내지 25개의 아미노산 잔기를 갖는 서열을 포함하는 항체 컨주게이트.

**청구항 19**

제 1항 또는 제 2항에 있어서, 상기 용해 도메인이 약 10 내지 약 15개의 L-아미노산 또는 D-아미노산, 약 15 내지 약 20개의 L-아미노산 또는 D-아미노산, 약 10 내지 약 28개의 L-아미노산 또는 D-아미노산, 약 10 내지

약 50개의 L-아미노산 또는 D-아미노산, 또는 약 15 내지 약 100개의 L-아미노산 또는 D-아미노산으로부터의 서열로 구성되는 컨주게이트.

**청구항 20**

제 1항 또는 제 2항에 있어서, 상기 중쇄(H) 또는 경쇄(L)가 약 20 내지 약 50개의 L-아미노산 또는 D-아미노산, 약 50 내지 약 100개의 L-아미노산 또는 D-아미노산, 또는 약 50 내지 약 150개의 L-아미노산 또는 D-아미노산으로부터의 서열을 포함하는 컨주게이트.

**청구항 21**

제 1항 또는 제 2항에 있어서, 용해 도메인이 양이온성 용해 도메인인 컨주게이트.

**청구항 22**

제 1항 또는 제 2항에 있어서, 용해 도메인이 양친매성 알파 헬리칼 구조를 형성하는 컨주게이트.

**청구항 23**

제 1항 또는 제 2항에 있어서, 용해 도메인이 연속적 또는 불연속 PNNPNNP 반복 모티프를 형성하고, 여기서 P가 양성으로 하전된 아미노산이고, N이 중성 아미노산인 컨주게이트.

**청구항 24**

제 1항 또는 제 2항에 있어서, 표적이 단백질 또는 다당류를 포함하는 컨주게이트.

**청구항 25**

제 1항 또는 제 2항에 있어서, 표적이 수용체 또는 항원을 포함하는 컨주게이트.

**청구항 26**

제 25항에 있어서, 수용체가 Her2/neu(인간 표피 성장 인자 수용체 2, ErbB-2), 황체형성 호르몬 분비 호르몬 수용체(LHRH-R), 표피 성장 인자 수용체(EGF-R), 또는 플레이트 또는 성장호르몬-(GH) 수용체를 포함하는 컨주게이트.

**청구항 27**

제 25항에 있어서, 수용체가 종양 괴사 인자(TNF) 패밀리 일원 수용체(예를 들어, TNF-알파, TNF-베타(림프독소, LT), TRAIL, Fas, LIGHT, 또는 4-1BB) 또는 온코페토프로테인(oncofetoprotein) 또는 포스파티딜세린 함유 막을 포함하는 컨주게이트.

**청구항 28**

제 25항에 있어서, 수용체가 면역글로불린-유사 수용체, 호르몬 수용체, 사이토카인 수용체, 성장 인자 수용체, 또는 케모카인 수용체를 포함하는 컨주게이트.

**청구항 29**

제 28항에 있어서, 면역글로불린-유사 수용체가 CD19, CD20, CD23, CD27, CD28, CD30, CD33, CD40, CD52, CD56, CD70, CD123, CD138, 또는 CD154를 포함하는 컨주게이트.

**청구항 30**

제 25항에 있어서, 항원이 바이러스, 박테리아, 진균 또는 기생충 항원을 포함하는 컨주게이트.

**청구항 31**

제 25항에 있어서, 항원이 종양 관련 항원(TAA)을 포함하는 컨주게이트.

**청구항 32**

제 31항에 있어서, TAA가 암배아 항원(CEA), 알파-태아단백질(AFP), 전립선 특이적 항원(PSA), 전립선 특이적 막 항원(PSMA), CA-125(상피성 난소암), 가용성 인터루킨-2(IL-2) 수용체, RAGE-1, 티로시나제, MAGE-1, MAGE-2, NY-ESO-1, Melan-A/MART-1, 당단백질(gp) 75, gp100, 베타-카테닌, PRAME, MUM-1, ZFP161, 유비퀵린-1, HOX-B6, YB-1, 오스테오넥틴(Osteonectin), ILF3, 또는 IGF-1을 포함하는 컨쥬게이트.

**청구항 33**

제 1항에 있어서, 항체가 표적에 결합하는 항체 단편 또는 부분서열(subsequence)을 포함하는 컨쥬게이트.

**청구항 34**

제 33항에 있어서, 상기 항체 단편 또는 부분서열이 Fab, Fab', F(ab')<sub>2</sub>, Fv, Fd, 단일쇄 Fv(scFv), 이황화-결합된 Fvs(sdFv), V<sub>L</sub>, V<sub>H</sub>, 낙타 Ig, V-NAR, VHH, 삼중특이적 (Fab<sub>3</sub>), 이중특이적 (Fab<sub>2</sub>), 디아바디(diabody)((V<sub>L</sub>-V<sub>H</sub>)<sub>2</sub> 또는 (V<sub>H</sub>-V<sub>L</sub>)<sub>2</sub>), 트리아바디(triabody)(3가), 테트라바디(tetrabody)(4가), 미니바디(minibody)((scFv-C<sub>H</sub>3)<sub>2</sub>), 이중특이적 단일쇄 Fv(비스-scFv), IgG델타C<sub>H</sub>2, scFv-Fc, (scFv)<sub>2</sub>-Fc, 어피바디(affibody), 앵타머(aptamer), 아비머(avimer) 또는 나노바디(nanobody)를 포함하는 컨쥬게이트.

**청구항 35**

제 1항 또는 제 2항에 있어서, 상기 항체 또는 상기 중쇄(H) 또는 경쇄(L)가 모노클로날 항체를 포함하는 컨쥬게이트.

**청구항 36**

제 1항 또는 제 2항에 있어서, 상기 항체 또는 상기 중쇄(H) 또는 경쇄(L)가 포유동물 항체를 포함하는 컨쥬게이트.

**청구항 37**

제 1항 또는 제 2항에 있어서, 상기 항체 또는 상기 중쇄(H) 또는 경쇄(L)가 인간, 인간화, 영장류화, 또는 키메라 항체를 포함하는 컨쥬게이트.

**청구항 38**

제 1항에 있어서, 상기 항체가 트라스투주맵(trastuzumab) 또는 퍼투주맵(pertuzumab)을 포함하는 컨쥬게이트.

**청구항 39**

제 1항 또는 제 2항에 있어서, 상기 중쇄(H) 또는 경쇄(L) 또는 항체가 표 A, B, C, D, 4, 5, 또는 실시예 14, 15, 18, 20 또는 21 중 임의의 곳에 기재된 임의의 중쇄(H) 또는 경쇄(L) 또는 항체 또는 어느 하나 이상의 CDR 서열로부터 선택되는 컨쥬게이트.

**청구항 40**

제 1항 또는 제 2항에 있어서, 상기 컨쥬게이트가 표 3, 4, 5 또는 실시예 14, 15, 18, 20 또는 21 중 임의의 곳에 기재된 임의의 중쇄(H) 컨쥬게이트, 임의의 경쇄(L) 컨쥬게이트, 임의의 전체 항체 컨쥬게이트 서열을 포함하는 컨쥬게이트.

**청구항 41**

제 1항 또는 제 2항에 있어서, 상기 표적이 실시예 23에 기재된 임의의 표적 서열 중 전부 또는 일부를 포함하는 컨쥬게이트.

**청구항 42**

제 1항 또는 제 2항에 있어서, 상기 표적이 세포에 의해 발현되거나, 세포 상에서 발현되는 컨쥬게이트.

**청구항 43**

제 42항에 있어서, 상기 세포가 과증식 세포인 컨쥬게이트.

**청구항 44**

제 42항에 있어서, 상기 세포가 유방, 난소, 자궁, 자궁경부, 복부, 폐, 위, 결장, 방광, 아교, 피부, 혈액 또는 자궁내막 세포인 컨쥬게이트.

**청구항 45**

제 1항 또는 제 2항에 있어서, 상기 항체 또는 폴리펩티드 컨쥬게이트가 분리되거나 정제된 것인 컨쥬게이트.

**청구항 46**

제 1항 또는 제 2항의 컨쥬게이트를 포함하는 조성물.

**청구항 47**

제 43항에 있어서, 제형 또는 혼합물을 포함하는 조성물.

**청구항 48**

제 1항 또는 제 2항의 항체 또는 폴리펩티드 컨쥬게이트를 포함하는 약학적 조성물.

**청구항 49**

제 1항 또는 제 2항의 컨쥬게이트, 및 세포 증식 억제제(anti-cell proliferative agent) 또는 면역자극제를 포함하는 조성물.

**청구항 50**

제 1항 또는 제 2항의 컨쥬게이트를 발현하는 형질전환된 숙주 세포.

**청구항 51**

제 1항 또는 제 2항에 있어서, 컨쥬게이트가 요망되지 않는 세포 증식 또는 과증식 장애를 치료하는데 효과적인 양으로 존재하는, 단위 투여량을 포함하는 컨쥬게이트.

**청구항 52**

제 1항 또는 제 2항에 있어서, 신생물, 종양 또는 암을 치료하는데 효과적인 양의 단위 투여량을 포함하는 컨쥬게이트.

**청구항 53**

제 1항 또는 제 2항의 컨쥬게이트, 및 세포의 증식을 감소시키거나 억제하거나, 과증식 세포의 증식을 감소시키거나 억제하거나, 신생물, 종양 또는 암 세포의 증식을 감소시키거나 억제하거나, 과증식 장애를 갖는 대상체를 치료하거나, 신생물, 종양 또는 암을 갖는 대상체를 치료하기 위한 설명서를 포함하는 키트.

**청구항 54**

1) 항체 중쇄(H)의 아미노(NH<sub>2</sub>)-말단에 연결된 용해 도메인; 2) 항체 경쇄(L)의 아미노(NH<sub>2</sub>)-말단에 연결된 용해 도메인; 3) 항체 중쇄(H)의 카르복시(C)-말단에 연결된 용해 도메인; 또는 4) 항체 경쇄(L)의 카르복시(C)-말단에 연결된 용해 도메인을 포함하는, 폴리펩티드.

**청구항 55**

1) 항체 중쇄(H)의 아미노(NH<sub>2</sub>)-말단에 연결된 용해 도메인; 2) 항체 경쇄(L)의 아미노(NH<sub>2</sub>)-말단에 연결된 용해 도메인; 3) 항체 중쇄(H)의 카르복시(C)-말단에 연결된 용해 도메인; 또는 4) 항체 경쇄(L)의 카르복시(C)-말단에 연결된 용해 도메인을 포함하는 폴리펩티드로서, 상기 중쇄(H) 또는 경쇄(L) 또는 항체가 표 A, B, C, D, 4, 5, 또는 실시예 14, 15, 18, 20 또는 21 중 임의의 곳에 기재된 임의의 중쇄(H), 임의의 경쇄(L), 임의의 항체

또는 어느 하나 이상의 CDR 서열로부터 선택되는, 폴리펩티드.

**청구항 56**

제 1항 또는 제 2항의 컨주게이트 또는 제 54항 또는 제 55항의 폴리펩티드를 인코딩하는 핵산 분자.

**청구항 57**

제 1항 또는 제 2항의 항체 또는 폴리펩티드 컨주게이트의 1) 항체 중쇄(H)의 아미노(NH<sub>2</sub>)-말단에 연결된 용해 도메인; 2) 항체 경쇄(L)의 아미노(NH<sub>2</sub>)-말단에 연결된 용해 도메인; 3) 항체 중쇄(H)의 카르복시(C)-말단에 연결된 용해 도메인; 또는 4) 항체 경쇄(L)의 카르복시(C)-말단에 연결된 용해 도메인을 인코딩하는 핵산 분자.

**청구항 58**

제 56항 또는 제 57항의 핵산 분자를 포함하는 벡터.

**청구항 59**

제 56항 또는 제 57항의 핵산, 또는 제 58항의 벡터로 형질전환된 숙주 세포.

**청구항 60**

세포의 증식을 감소시키거나 억제하기에 충분한 양의 제 1항 또는 제 2항의 컨주게이트 또는 제 51항의 폴리펩티드와 세포를 접촉시키는 것을 포함하는, 세포의 증식을 감소시키거나 억제하는 방법.

**청구항 61**

세포 증식을 감소시키거나 억제하기에 충분한 양의 제 1항 또는 제 2항의 컨주게이트 또는 제 51항의 폴리펩티드와 세포를 접촉시키는 것을 포함하는, 세포 증식을 감소시키거나 억제하는 방법.

**청구항 62**

제 1항의 항체 컨주게이트가 결합하는 표적을 발현하는 세포의 증식을 감소시키거나 억제하기에 충분한 양의 제 1항 또는 제 2항의 컨주게이트 또는 제 54항 또는 제 55항의 폴리펩티드와 세포를 접촉시키는 것을 포함하는, 제 1항의 항체 컨주게이트가 결합하는 표적을 발현하는 세포의 증식을 선택적으로 감소시키거나 억제하는 방법.

**청구항 63**

과증식하는 세포의 증식을 감소시키거나 억제하기에 충분한 양의 제 1항 또는 제 2항의 컨주게이트 또는 제 54항 또는 제 55항의 폴리펩티드와 세포를 접촉시키는 것을 포함하는, 과증식하는 세포의 증식을 감소시키거나 억제하는 방법.

**청구항 64**

신생물, 종양, 암 또는 악성종양 세포의 증식을 감소시키거나 억제하기에 충분한 양의 제 1항 또는 제 2항의 컨주게이트 또는 제 54항 또는 제 55항의 폴리펩티드와 세포를 접촉시키는 것을 포함하는, 신생물, 종양, 암 또는 악성종양 세포의 증식을 감소시키거나 억제하는 방법.

**청구항 65**

제 60항 내지 제 64항 중 어느 한 항에 있어서, 세포가 Her2/neu를 발현하는 방법.

**청구항 66**

과증식 장애를 치료하기에 충분한 양의 제 1항 또는 제 2항의 컨주게이트 또는 제 54항 또는 제 55항의 폴리펩티드를 대상체에 투여하는 것을 포함하는, 과증식 장애를 갖는 대상체를 치료하는 방법.

**청구항 67**

신생물, 종양, 암 또는 악성종양의 증식을 감소시키거나 억제하기에 충분한 양의 제 1항 또는 제 2항의 컨주게이트 또는 제 51항의 폴리펩티드를 대상체에 투여하는 것을 포함하는, 신생물, 종양, 암 또는 악성종양을 갖는

대상체를 치료하는 방법.

**청구항 68**

제 64항, 제 66항 또는 제 67항에 있어서, 신생물, 종양, 암 또는 악성종양이 전이성, 비-전이성 또는 양성 신생물, 종양, 암 또는 악성종양인 방법.

**청구항 69**

제 64항, 제 66항 또는 제 67항에 있어서, 신생물, 종양, 암 또는 악성종양이 고형 세포 덩어리를 포함하는 방법.

**청구항 70**

제 64항, 제 66항 또는 제 67항에 있어서, 신생물, 종양, 암 또는 악성종양이 조혈 세포를 포함하는 방법.

**청구항 71**

제 64항, 제 66항 또는 제 67항에 있어서, 신생물, 종양, 암 또는 악성종양이 암종, 육종, 림프종, 백혈병, 샘종, 샘암종, 흑색종, 신경아교종, 아교모세포종, 수막종, 신경모세포종, 망막모세포종, 별아교세포종, 췌지세포종, 증피종, 그물내피, 림프 또는 조혈 신생물, 종양, 암 또는 악성종양을 포함하는 방법.

**청구항 72**

제 71항에 있어서, 육종이 림프육종, 지방육종, 뼈육종, 연골육종, 평활근육종, 횡문근육종 또는 섬유육종을 포함하는 방법.

**청구항 73**

제 71항에 있어서, 조혈 신생물, 종양, 암 또는 악성종양이 골수종, 림프종 또는 백혈병을 포함하는 방법.

**청구항 74**

제 64항, 제 66항 또는 제 67항에 있어서, 신생물, 종양, 암 또는 악성종양이 폐, 갑상샘, 두경부, 코인두, 인후, 코 또는 굴, 뇌, 척추, 유방, 부신, 뇌하수체, 갑상샘, 림프, 위장(구강, 식도, 위, 십이지장, 회장, 공장(소장), 결장, 직장), 비뇨생식관(자궁, 난소, 자궁경부, 자궁내막, 방광, 고환, 음경, 전립선), 신장, 췌장, 간, 뼈, 골수, 림프, 혈액, 근육, 또는 피부, 윌름즈 종양, 담관, B-ALL(B-세포 림프모구 백혈병), 또는 혈액 신생물, 종양, 또는 암을 포함하는 방법.

**청구항 75**

제 74항에 있어서, 폐 신생물, 종양, 암 또는 악성종양이 소세포폐암 또는 비소세포폐암을 포함하는 방법.

**청구항 76**

제 64항, 제 66항 또는 제 67항에 있어서, 신생물, 종양, 암 또는 악성종양이 줄기세포 신생물, 종양, 암 또는 악성종양을 포함하는 방법.

**청구항 77**

제 64항, 제 66항 또는 제 67항에 있어서, 상기 방법이 신생물, 종양, 암 또는 악성종양의 재발 또는 진행을 억제하거나 감소시키는 방법.

**청구항 78**

제 64항, 제 66항 또는 제 67항에 있어서, 항-세포 증식, 항-신생물, 항-종양, 항-암 또는 면역-증강 치료 또는 요법을 제공하는 것을 추가로 포함하는 방법.

**청구항 79**

제 78항에 있어서, 치료 또는 요법이 외과적 절제, 방사선요법, 이온화 또는 화학적 방사선 요법, 화학요법, 면

역요법, 국소 또는 국부 열(고열) 요법, 또는 예방접종을 포함하는 방법.

**청구항 80**

제 78항에 있어서, 컨주게이트가 항-세포 증식, 항-신생물, 항-종양, 항-암 또는 면역-증강 치료 또는 요법의 제공 전, 이들의 제공과 동시에 또는 이들의 제공 후에 투여되는 방법.

**청구항 81**

제 64항, 제 66항 또는 제 67항에 있어서, 대상체가 외과적 절제, 화학요법, 면역요법, 이온화 또는 화학적 방사선요법, 국소 또는 국부 열(고열) 요법, 또는 예방접종을 받은 적이 있는 방법.

**청구항 82**

제 64항, 제 66항 또는 제 67항에 있어서, 대상체가 외과적 절제, 화학요법, 면역요법, 이온화 또는 화학적 방사선요법, 국소 또는 국부 열(고열) 요법, 또는 예방접종에 대한 후보인 방법.

**청구항 83**

제 64항, 제 66항 또는 제 67항에 있어서, 대상체가 외과적 절제, 화학요법, 면역요법, 이온화 또는 화학적 방사선요법, 국소 또는 국부 열(고열) 요법, 또는 예방접종에 대한 후보가 아닌 방법.

**청구항 84**

제 64항, 제 66항 또는 제 67항에 있어서, 치료가 신생물, 종양, 암 또는 악성종양 세포 질량, 부피, 크기 또는 세포의 수의 부분적 또는 완전한 파괴를 발생시키거나, 신생물, 종양, 암 또는 악성종양 세포 괴사, 용해 또는 아포토시스를 자극하거나, 유도하거나, 증가시키거나, 신생물, 종양, 암 또는 악성종양 부피 크기, 세포 질량을 감소시키거나, 신생물, 종양, 암 또는 악성종양 부피, 질량, 크기 또는 세포 수의 진행 또는 증가를 억제하거나 예방하거나, 수명을 연장시키는 방법.

**청구항 85**

제 64항, 제 66항 또는 제 67항에 있어서, 치료가 신생물, 종양, 암 또는 악성종양과 관련되거나 이에 의해 야기된 유해 증상 또는 합병증의 중증도, 기간 또는 빈도를 감소시키거나 저하시키는 방법.

**청구항 86**

제 64항, 제 66항 또는 제 67항에 있어서, 치료가 동통, 불쾌, 구역, 쇠약 또는 기면을 감소시키거나 저하시키거나, 증가된 에너지, 식욕, 개선된 움직임 또는 심리적 웰빙(well being)을 발생시키는 방법.

**청구항 87**

제 66항 또는 제 67항에 있어서, 대상체가 포유동물인 방법.

**청구항 88**

제 66항 또는 제 67항에 있어서, 대상체가 인간인 방법.

**발명의 설명**

**기술 분야**

[0001] **관련 출원**

[0002] 본 출원은 전체내용이 참조로서 본원에 명백히 포함되는 2012년 10월 30일에 출원된 출원 일련 번호 61/720,257 호에 대한 우선권을 주장한다.

[0003] **기술 분야**

[0004] 본 발명은 약물, 예를 들어, 용해 펩티드 컨주게이트에 융합되거나 컨주게이션된 항체, 및 항체의 중쇄(H) 및/또는 경쇄(L), 예를 들어, 요망되지 않거나 비정상적인 세포 증식 또는 과증식 장애, 예를 들어, 상기 항체, 및

항체의 중쇄(H) 및/또는 경쇄(L)에 결합하는 표적을 발현하는 비-전이성 및 전이성 신생물, 암, 종양 및 악성종양을 치료하는 방법에서 컨주게이트를 사용하는 방법에 관한 것이다.

**배경 기술**

**서론**

[0005]

[0006]

암 환자의 5년 생존률을 고려하는 경우 원발성 종양 및 전이의 치료를 위한 새로운 치료법을 개발할 필요가 의심할 여지 없이 명백하며, 원격 전이 질병으로 진단되는 경우에 폐암, 결장직장암, 유방암 및 전립선암을 갖는 환자의 단지 10-40%가 생존한다.

**발명의 내용**

**개요**

[0007]

[0008]

본 발명은 표적(예를 들어, Her2/neu, ErbB-2로도 공지된 인간 표피 성장 인자 수용체 2, CD20)에 결합하는 항체에 융합된 용해 도메인, 항체의 중쇄(H) 및/또는 경쇄(L)에 융합되거나 컨주게이션된 용해 도메인, 및 항체 단편에 융합되거나 컨주게이션된 용해 도메인을 적어도 부분적으로 기초로 한다. 상기 융합체는 또한 항체 또는 폴리펩티드 컨주게이트 또는 융합 작제물로 본원에서 언급될 수 있다. 세포와 용해 도메인의 접촉은 세포 사멸을 발생시키는 세포막의 파괴를 야기시키는 것으로 생각된다. 표적에 결합하는 항체, 또는 항체의 중쇄(H) 및/또는 경쇄(L)는 용해 도메인이 항체 또는 중쇄(H) 및/또는 경쇄(L)가 결합하는 표적을 발현하는 요망되지 않거나 비정상적인 증식 세포 또는 과증식 세포, 예를 들어, 비-전이성 및 전이성 신생물, 암, 종양 및 악성종양을 포함하는 표적 발현 세포를 파괴하는 것을 가능케 한다. 다수의 비-전이성 및 전이성 신생물, 암, 종양 및 악성종양 세포는 표적, 예를 들어, 수용체 또는 리간드를 과발현한다. 예를 들어, 많은 비-전이성 및 전이성 신생물, 암, 종양 및 악성종양은 항체 또는 폴리펩티드 컨주게이트 또는 융합 작제물의 표적으로 사용될 수 있는 수용체 표적(예를 들어, Her2/neu 또는 CD20)을 발현한다.

[0009]

컨주게이트는 관심 표적을 발현하는 임의의 세포 또는 세포 집단에 결합하도록 설계될 수 있다. 결합하는 표적을 기초로 하여 선택된 항체, 이의 단편, 또는 항체 또는 이의 단편의 중쇄(H) 및/또는 경쇄(L)는 용해 도메인에 연결될 수 있다. 생성된 항체 또는 폴리펩티드 컨주게이트 또는 융합 작제물은 차례로 표적을 발현하는 세포의 증식을 감소시키거나 억제함으로써 표적 발현 세포의 증식 또는 성장을 감소시키거나 억제할 수 있다.

[0010]

컨주게이트는 표적 세포를 사멸시키기 위해 분열하는 세포를 필요로 하지 않는다. 따라서, 컨주게이트는 분열 및 비-분열 세포에 대해 유용하다.

[0011]

본 발명에 따르면, 용해 도메인을 포함하는 항체 및 폴리펩티드 컨주게이트가 제공된다. 한 구체예에서, 항체 컨주게이트는, 예를 들어, KFAKFAKFAKFAKK, KFAKFAKFAKFAKFF, KFAKFAKFAKFAKFA, KFAKFAKFAKFAKFFAK, KFAKFAKFAKFAKFFAKF, KFAKFAKFAKFAKFFAKFA 및 KFAKFAKFAKFAKFFAKFAK(SEQ ID NOs.:1-7)로부터 선택된 펩티드 서열을 포함하는 L-아미노산 또는 D-아미노산 서열, 또는 K 잔기 중 하나 이상이 F 또는 L 잔기 중 임의의 것으로 치환되거나, F 잔기 중 하나 이상이 K, A 또는 L 잔기 중 임의의 것으로 치환되거나, A 잔기 중 하나 이상이 K, F 또는 L 잔기 중 임의의 것으로 치환된 KFAKFAKFAKFAKK, KFAKFAKFAKFAKFF, KFAKFAKFAKFAKFFA, KFAKFAKFAKFAKFFAK, KFAKFAKFAKFAKFFAKF 및 KFAKFAKFAKFAKFFAKFA(SEQ ID NOs.:1-6)로부터 선택된 펩티드를 포함하는 L-아미노산 또는 D-아미노산 서열을 포함하거나 이들로 구성된 용해 도메인에 연결된, 표적에 결합하는 항체(또는 이의 단편)를 포함하거나 이로 구성된다. 또 다른 구체예에서, 폴리펩티드 컨주게이트는, 예를 들어, KFAKFAKFAKFAKK, KFAKFAKFAKFAKFF, KFAKFAKFAKFAKFA, KFAKFAKFAKFAKFFAK, KFAKFAKFAKFAKFFAKF, KFAKFAKFAKFAKFFAKFA 및 KFAKFAKFAKFAKFFAKFAK(SEQ ID NOs.:1-7)로부터 선택된 L-아미노산 또는 D-아미노산 서열, 또는 K 잔기 중 하나 이상이 F 또는 L 잔기 중 임의의 것으로 치환되거나, F 잔기 중 하나 이상이 K, A 또는 L 잔기 중 임의의 것으로 치환되거나, A 잔기 중 하나 이상이 K, F 또는 L 잔기 중 임의의 것으로 치환된 KFAKFAKFAKFAKK, KFAKFAKFAKFAKFF, KFAKFAKFAKFAKFFA, KFAKFAKFAKFAKFFAK, KFAKFAKFAKFAKFFAKF 및 KFAKFAKFAKFAKFFAKFA(SEQ ID NOs.:1-6)로부터 선택된 펩티드를 포함하는 서열을 포함하거나 이들로 구성된 용해 도메인에 연결된, 표적에 결합하는 항체 또는 이의 단편의 중쇄(H) 및/또는 경쇄(L)를 포함하거나 이로 구성된다.

[0012]

더욱 특정한 구체예에서, 항체 또는 폴리펩티드 컨주게이트는 KFAKFAKFAKFAKK, KFAKFAKFAKFAKFF, KFAKFAKFAKFAKFFA, KFAKFAKFAKFAKFFAK, KFAKFAKFAKFAKFFAKF, KFAKFAKFAKFAKFFAKFA 및 KFAKFAKFAKFAKFFAKFAK(SEQ ID NOs.:1-7)로부터 선택된 L-아미노산 또는 D-아미노산 서열, 또는 K 잔기

중 하나 이상이 F 또는 L 잔기 중 임의의 것으로 치환되거나, F 잔기 중 하나 이상이 K, A 또는 L 잔기 중 임의의 것으로 치환되거나, A 잔기 중 하나 이상이 K, F 또는 L 잔기 중 임의의 것으로 치환된 KFAKFAKKFAKFAKK, KFAKFAKKFAKFAKKF, KFAKFAKKFAKFAKKFA, KFAKFAKKFAKFAKKFAK, KFAKFAKKFAKFAKKFAK 및 KFAKFAKKFAKFAKKFAKFA(SEQ ID NOs.:1-6)로부터 선택된 펩티드를 포함하는 서열을 포함하거나 이들로 구성된 용해 도메인에 연결된, Her2/neu에 결합하는 항체(또는 이의 단편) 또는 항체(예를 들어, 트라스투주맙(trastuzumab) 또는 퍼투주맙(pertuzumab)) 또는 이의 단편(트라스투주맙 또는 퍼투주맙 단편)의 중쇄(H) 및/또는 경쇄(L)를 포함한다.

[0013] 본 발명에 따르면, 표적에 결합하는 항체(또는 이의 단편) 또는 항체 또는 이의 단편의 중쇄(H) 및/또는 경쇄(L), 및 제 2의 도메인을 포함하거나 이들로 구성된 분리되고 정제된 컨주게이트가 또한 제공된다. 다양한 구체예에서, 제 2의 도메인은 용해 도메인 KFAKFAKKFAKFAKK, KFAKFAKKFAKFAKKF, KFAKFAKKFAKFAKKFA, KFAKFAKKFAKFAKKFAK, KFAKFAKKFAKFAKKFAK 또는 KFAKFAKKFAKFAKKFAKFA(SEQ ID NOs.:1-7)를 포함하거나 이들로 구성된다. 추가 구체예에서, 제 2의 도메인은 K 잔기 중 하나 이상이 F 또는 L 잔기 중 임의의 것으로 치환되거나, F 잔기 중 하나 이상이 K, A 또는 L 잔기 중 임의의 것으로 치환되거나, A 잔기 중 하나 이상이 K, F 또는 L 잔기 중 임의의 것으로 치환된 KFAKFAKKFAKFAKK, KFAKFAKKFAKFAKKF, KFAKFAKKFAKFAKKFA, KFAKFAKKFAKFAKKFAK, KFAKFAKKFAKFAKKFAK 또는 KFAKFAKKFAKFAKKFAKFA(SEQ ID NOs.:1-6)를 포함하거나 이들로 구성된다.

[0014] 본 발명에 따르면, 하나 이상의 용해 도메인을 포함하는 폴리펩티드가 추가로 제공된다. 다양한 구체예에서, 폴리펩티드는 1) 항체 중쇄(H)의 아미노(NH<sub>2</sub>)-말단에 연결된 용해 도메인; 2) 항체 경쇄(L)의 아미노(NH<sub>2</sub>)-말단에 연결된 용해 도메인; 3) 항체 중쇄(H)의 카르복시(C)-말단에 연결된 용해 도메인; 또는 4) 항체 경쇄(L)의 카르복시(C)-말단에 연결된 용해 도메인을 포함하거나 이들로 구성된다. 추가의 다양한 구체예에서, 폴리펩티드는 1) 항체 중쇄(H)의 아미노(NH<sub>2</sub>)-말단에 연결된 용해 도메인 및 카르복시(C)-말단에 연결된 용해 도메인; 또는 2) 항체 경쇄(L)의 아미노(NH<sub>2</sub>)-말단에 연결된 용해 도메인 및 카르복시(C)-말단에 연결된 용해 도메인을 포함하거나 이들로 구성된다.

[0015] 표적의 특정한 비제한적인 예는 아미노산 서열(예를 들어, 폴리펩티드, 펩티드, 단백질), 다당류, 올리고당류, 탄수화물, 및 지질을 포함한다. 표적의 특정한 비제한적인 부류는 수용체 및 항원을 포함한다.

[0016] 표적은 호르몬, 성장 인자, 분화의 클러스터(집합적으로 CD 분자 또는 CD 마커로 공지됨), 호르몬 및 성장 인자 유사체, 및 호르몬, 호르몬 유사체, 성장 인자, 성장 인자 유사체의 단편, 및 성장 인자 및 유사체의 단편을 포함하는 항원, 수용체 또는 리간드에 결합하는 수용체를 포함한다. 수용체 표적의 특정한 비제한적인 예는 Her2/neu(ErbB-2로도 공지된 인간 표피 성장 인자 수용체 2), 황체형성 호르몬 분비 호르몬 수용체(LHRH-R), 표피 성장 인자(EGF) 수용체, 플레이트, 및 성장 호르몬(GH) 수용체를 포함한다. CD 도메인의 특정한 비제한적인 예는 CD19, CD20, CD22, CD23, CD27, CD28, CD30, CD31, CD33, CD34, CD40, CD52, CD56, CD70, CD123, CD138, 또는 CD154, 및 기타 CD 도메인을 포함한다.

[0017] 항원 표적은 바이러스, 박테리아, 진균 및 기생충 항원을 포함한다. 항원 표적은 또한 종양 관련 항원(TAA)을 포함한다.

[0018] 항원은 2개의 중쇄(H) 및 2개의 경쇄(L) 뿐만 아니라 항체 단편을 포함한다. 항체의 중쇄(H) 및/또는 경쇄(L) 또는 중쇄(H) 또는 경쇄(L)의 단편을 포함하거나 이들로 구성된 폴리펩티드는 단일한 H 또는 L 사슬 또는 단일한 H 또는 L 사슬 단편, 또는 복수(2, 3, 4개 또는 그 초과)의 중쇄(H) 및/또는 경쇄(L), 또는 복수의 중쇄(H) 및/또는 경쇄(L)의 단편을 포함할 수 있다. 항체 또는 단편의 중쇄(H) 및/또는 경쇄(L)를 포함하는 폴리펩티드는 2개의 중쇄(H) 및 2개의 경쇄(L)를 포함할 수 있으나, 이들을 필요로 하지는 않으며, 따라서 본원에 기재된 폴리펩티드 컨주게이트는 2개의 중쇄(H) 및 2개의 경쇄(L)를 포함하는 자연 항체를 배제할 수 있다.

[0019] 항체 또는 이의 단편은 올리고머(더 높은 차수 또는 원자가) 형태, 예를 들어, 삼합체, 사합체, 오합체, 육합체, 칠합체 등과 함께 다른 항체, 이의 단편, 중쇄(H), 경쇄(L), 또는 항체 중쇄(H) 또는 경쇄(L)와 다른 폴리펩티드 서열일 수 있다. 항체는 모노클로날 항체 및 모노클로날 항체의 단편을 포함한다. 항체는 포유동물, 인간, 인간화, 영장류화 및 키메라 서열을 포함한다.

[0020] 아미노산 서열(예를 들어, 폴리펩티드, 펩티드, 단백질, 항체, 중쇄(H), 경쇄(L), 용해 도메인 등)은 자연(L-) 또는 비-자연(예를 들어, L-) 아미노산을 포함하거나 이들로 구성된다. 특정 양태에서, 아미노산 서열은 약 2 내지 10개, 10 내지 14개, 15 내지 20개(즉, 15, 16, 17, 18, 19 또는 20개의 아미노산), 10 내지 20개, 20 내

지 30개, 30 내지 40개, 40 내지 50개, 60 내지 70개, 70 내지 80개, 80 내지 90개, 90 내지 100개, 100 내지 125개, 125 내지 150개, 150 내지 175개, 175 내지 200개, 200 내지 250개, 250 내지 300개, 또는 그 초과인 아미노산 잔기를 갖는다. 전장 항체 중쇄(H) 및 경쇄(L)는 통상적으로 90 내지 130개의 아미노산 길이이나, 더 짧을 수 있고, 예를 들어, 프레임워크 영역을 갖거나 갖지 않는 1, 2, 또는 3개의 상보성 결정 영역(CDR)을 포함하는 가변 중쇄(H), 또는 경쇄(L) 서열을 포함한다. 용해 도메인은 통상적으로 10 내지 14개, 15 내지 20개 (즉, 15, 16, 17, 18, 19 또는 20개의 아미노산), 10 내지 20개, 20 내지 30개, 30 내지 40개, 또는 40 내지 50개이나, 임의로 더 길거나(50개 또는 그 초과), 더 짧을(10개 미만) 수 있다. 아미노산 서열은 선형 또는 고리형 구조를 포함할 수 있거나, 이로 구성될 수 있다.

[0021] 용해 도메인을 포함하는 컨주게이트는 항체(또는 이의 단편) 또는 항체의 중쇄(H) 또는 경쇄(L)의 임의의 위치에서 용해 도메인을 가질 수 있다. 따라서, 용해 도메인은 항체(또는 이의 단편) 또는 항체의 중쇄(H) 또는 경쇄(L)의 임의의 아미노산 위치(아미노산 잔기)에 위치될 수 있다. 또한, 컨주게이트는 다수의 용해 도메인을 포함할 수 있다. 따라서, 중쇄(H) 또는 경쇄(L) 용해 도메인에 연결된 하나 이상(예를 들어, 2, 3, 4, 5, 6, 7, 8개 또는 그 초과)의 용해 도메인이 본 발명의 컨주게이트에 포함될 수 있다.

[0022] 용해 도메인은 또한 폴리펩티드 서열의 C-말단, NH<sub>2</sub>-말단, 또는 C-말단 및 NH<sub>2</sub>-말단 둘 모두에 위치될 수 있다. 특정 구체예에서, 컨주게이트는 항체(또는 이의 단편) 중쇄(H) 또는 경쇄(L)의 NH<sub>2</sub>-말단 또는 C-말단, 또는 중쇄(H) 또는 경쇄(L) 중 어느 하나(또는 둘 모두)에 위치한 용해 도메인을 갖는다. 특정 양태에서, 용해 도메인은 중쇄(H)의 아미노(NH<sub>2</sub>)-말단에 연결되거나, 중쇄(H)의 카르복시(C)-말단에 연결되고, 용해 도메인은 경쇄(L)의 아미노(NH<sub>2</sub>)-말단에 연결되거나, 경쇄(L)의 카르복시(C)-말단에 연결된다. 복수의 용해 도메인과의 컨주게이트에서, 상기 도메인은 중쇄(H) 또는 경쇄(L), 중쇄(H)의 아미노(NH<sub>2</sub>)-말단, 중쇄(H)의 카르복시(C)-말단, 경쇄(L)의 아미노(NH<sub>2</sub>)-말단, 또는 경쇄(L)의 카르복시(C)-말단에 연결될 수 있다. 더욱 특정한 양태에서, 복수의 용해 도메인 중 적어도 하나는 중쇄(H)의 아미노(NH<sub>2</sub>)-말단에 연결되고, 적어도 하나는 경쇄(L)의 아미노(NH<sub>2</sub>)-말단에 연결되고; 용해 도메인 중 적어도 하나는 중쇄(H)의 아미노(NH<sub>2</sub>)-말단에 연결되고, 용해 도메인 중 적어도 하나는 경쇄(L)의 아미노(NH<sub>2</sub>)-말단에 연결되고, 용해 도메인 중 적어도 하나는 중쇄(H)의 카르복시(C)-말단에 연결되거나, 경쇄(L)의 카르복시(C)-말단에 연결되고; 복수의 용해 도메인 중 적어도 하나는 중쇄(H)의 아미노(NH<sub>2</sub>)-말단에 연결되고, 용해 도메인 중 적어도 하나는 경쇄(L)의 아미노(NH<sub>2</sub>)-말단에 연결되고, 용해 도메인 중 적어도 하나는 중쇄(H)의 카르복시(C)-말단에 연결되고, 용해 도메인 중 적어도 하나는 경쇄(L)의 카르복시(C)-말단에 연결된다.

[0023] 컨주게이트가 복수의 용해 도메인을 포함하는 구체예에서, 용해 도메인은 동일한 아미노산 서열을 갖거나, 상이한 아미노산 서열을 갖는다. 따라서, 컨주게이트는 2, 3, 4, 5, 6, 7개의 용해 도메인 등을 포함할 수 있고, 이 중 일부 또는 전부는 서로 동일하거나 상이할 수 있다.

[0024] 특정 구체예에서, 용해 도메인은, 예를 들어, 공유(예를 들어, 펩티드 또는 비펩티드) 결합에 의해 중쇄(H) 또는 경쇄(L)의 아미노(NH<sub>2</sub>)-말단 또는 카르복시(C)-말단의 마지막 아미노산 바로 뒤의 중쇄(H) 또는 경쇄(L)에 연결됨으로써 용해 도메인과 중쇄(H) 또는 경쇄(L) 사이에서 연속적 아미노산 서열을 형성한다. 추가 구체예에서, 항체, 중쇄(H) 및 경쇄(L) 및 용해 도메인은 펩티드 또는 비-펩티드 링커 또는 스페이스에 의해 연결될 수 있다. 특정 양태에서, 항체, 중쇄(H) 및 경쇄(L) 및 용해 도메인 및 용해 도메인은 약 1 내지 25개의 아미노산 잔기를 갖는 펩티드 서열에 의해 연결되거나, 선형 탄소 사슬, 예를 들어, C<sub>N</sub> (여기서, N=1-100개의 탄소 원자, 예를 들어, C, CC, CCC, CCCC, CCCCC, CCCCCC, CCCCCC, CCCCCC 등)에 의해 연결된다. 더욱 특정한 양태에서, 항체, 중쇄(H) 및 경쇄(L) 및 용해 도메인 및 용해 도메인은 하나 이상의 A, S 또는 G 아미노산 잔기를 포함하거나 이로 구성되는 펩티드 서열(예를 들어, GSGGS(SEQ ID No.:8), ASAAS(SEQ ID No.:9), GS, AF, FK, VK, FFK, FA, GSGRSA(SEQ ID NO.:10), RVRRSV(SEQ ID NO.:11), SS, Cit-V(Cit = 시트룰린(H<sub>2</sub>NC(O)NH(CH<sub>2</sub>)<sub>3</sub>CH(NH<sub>2</sub>)CO<sub>2</sub>H); Val = 발린), F-Cit(F=페닐알라닌, Cit = 시트룰린)을 포함하거나 이로 구성되는 펩티드 서열)에 의해 연결된다.

[0025] 컨주게이트는 추가(예를 들어, 비-용해) 도메인을 추가로 포함하거나 이로 구성된다. 따라서, 다양한 양태에서, 컨주게이트는 컨주게이트에 포함된 하나 이상(또는 전부)의 용해 도메인과 다를 수 있는 제 2, 제 3, 제 4, 제 5, 제 6, 제 7의 도메인 등을 포함한다.

- [0026] 컨주게이트는 분리된 형태 및/또는 정제된 형태를 포함하거나 이로 구성된다. 컨주게이트는 또한 제형 또는 혼합물을 포함하거나 이로 구성된다. 이러한 제형 및 혼합물은 컨주게이트 및 대상체에서 사용하거나, 대상체로 투여하거나, 대상체와 생체내 접촉시키기에 적절한 약학적으로 허용되는 담체 또는 부형제의 혼합물 또는 컨주게이트 및 항-세포 증식 또는 면역자극제의 혼합물과 같은 조성물을 포함한다.
- [0027] 컨주게이트는 단위 투여 형태, 예를 들어, 대상체에 사용하거나 대상체에 투여하기 위한 단위 투여 형태를 포함하거나 이로 구성된다. 일 구체예에서, 컨주게이트는 요망되지 않는 세포 증식 또는 과증식 장애를 갖는 대상체에 투여하거나 상기 대상체를 치료하기에 효과적인 양의 단위 투여 형태이다. 또 다른 구체예에서, 컨주게이트는 신생물, 종양 또는 암을 갖는 대상체에 투여하거나 상기 대상체를 치료하기에 효과적인 양의 단위 투여 형태이다. 추가의 구체예에서, 컨주게이트는 대상체에 투여하거나 상기 대상체의 생식능력을 감소시키기에 효과적인 양의 단위 투여 형태이다.
- [0028] 컨주게이트는 임의로 본 발명의 방법을 실시하거나 본 발명에서 사용하기 위한 설명서와 함께 키트 내에 포함될 수 있다. 일 구체예에서, 키트는 세포의 증식을 감소시키거나 억제하거나, 과증식 세포의 증식을 감소시키거나 억제하거나, 신생물, 종양 또는 암 세포의 증식을 감소시키거나 억제하거나, 과증식 장애를 갖는 대상체를 치료하거나, 신생물, 종양 또는 암을 갖는 대상체를 치료하거나, 동물의 생식능력을 감소시키기 위한 컨주게이트 및 설명서를 포함한다.
- [0029] 컨주게이트를 인코딩하는 핵산이 또한 제공된다. 다양한 구체예에서, 핵산 서열은 항체 또는 폴리펩티드 컨주게이트의 1) 항체 중쇄(H)의 아미노(NH<sub>2</sub>)-말단에 연결된 용해 도메인; 2) 항체 경쇄(L)의 아미노(NH<sub>2</sub>)-말단에 연결된 용해 도메인; 3) 항체 중쇄(H)의 카르복시(C)-말단에 연결된 용해 도메인; 또는 4) 항체 경쇄(L)의 카르복시(C)-말단에 연결된 용해 도메인을 인코딩한다. 또 다른 구체예에서, 핵산 서열은 항체 또는 폴리펩티드 컨주게이트의 1) 항체 중쇄(H)의 아미노(NH<sub>2</sub>)-말단에 연결된 용해 도메인 및 카르복시(C)-말단에 연결된 용해 도메인; 2) 항체 경쇄(L)의 아미노(NH<sub>2</sub>)-말단에 연결된 용해 도메인 및 카르복시(C)-말단에 연결된 용해 도메인을 인코딩한다.
- [0030] 핵산은 벡터, 예를 들어, 세포 내에서 발현되는 경우 컨주게이트를 인코딩하는 발현 벡터에 포함될 수 있다. 숙주 세포는 벡터 내의 핵산(예를 들어, 컨주게이트의 전부 또는 일부, 예를 들어, 용해 도메인에 연결된 중쇄(H) 및/또는 경쇄(L) 서열)으로 형질전환될 수 있어, 상기 세포는 상기 핵산에 의해 인코딩된 컨주게이트를 발현한다.
- [0031] 본원에 개시된 바와 같이, 표적은 세포 내 또는 세포 상에서 발현될 수 있다. 컨주게이트가 결합하는 표적을 발현하는 세포가 본 발명의 컨주게이트에 의한 결합에 대해 표적화될 수 있다. 따라서, 상기 세포는 상기 세포에 의해 발현된 표적에 결합하는 컨주게이트를 선택함으로써 선택적으로 표적화될 수 있다.
- [0032] 비제한적 표적 발현 세포는, 예를 들어, 과증식 세포를 포함한다. 표적을 발현하는 추가 세포는, 예를 들어, 유방, 난소, 자궁, 자궁경부, 복부, 폐, 위, 결장, 방광, 아교, 피부(예를 들어, 멜라닌세포), 혈액 및 자궁내막 세포를 포함한다.
- [0033] 컨주게이트는 특히 세포의 증식을 감소시키거나 억제하고, 세포 증식을 감소시키거나 억제하고, 과증식 세포의 증식을 감소시키거나 억제하고, 신생물, 종양, 암 또는 악성종양 세포의 증식을 감소시키거나 억제하고, 과증식 세포 또는 과증식 장애와 같은 요망되지 않거나 비정상적인 세포 증식을 치료하는데 유용하다. 과증식 장애의 비제한적인 예는 양성 과다형성, 비-전이성 및 전이성 신생물, 암 종양 및 악성종양을 포함한다.
- [0034] 본 발명에 따르면, 세포의 증식을 감소시키거나 억제하는 방법; 세포 증식을 감소시키거나 억제하는 방법; 과증식 세포의 증식을 감소시키거나 억제하는 방법; 및 신생물, 종양, 암 또는 악성종양 세포의 증식을 감소시키거나 억제하는 방법이 추가로 제공된다. 다양한 구체예에서, 상기 방법은 세포의 증식을 감소시키거나 억제하기에 충분한 양의 컨주게이트와 세포를 접촉시키고; 세포 증식을 감소시키거나 억제하기에 충분한 양의 컨주게이트와 세포를 접촉시키고; 과증식 세포의 증식을 감소시키거나 억제하기에 충분한 양의 컨주게이트와 세포를 접촉시키고; 신생물, 종양, 암 또는 악성종양 세포의 증식을 감소시키거나 억제하기에 충분한 양의 컨주게이트와 세포를 접촉시키는 것을 포함한다.
- [0035] 본 발명에 따르면, 컨주게이트가 결합하는 표적을 발현하는 세포의 증식을 선택적으로 감소시키거나 억제하고; 컨주게이트가 결합하는 표적을 발현하는 과증식 세포의 증식을 선택적으로 감소시키거나 억제하고; 컨주게이트가 결합하는 표적을 발현하는 신생물, 종양, 암 또는 악성종양의 증식을 선택적으로 감소시키거나 억제하는 방

법이 또한 제공된다. 다양한 구체예에서, 상기 방법은 세포의 증식을 감소시키거나 억제하기에 충분한 양의 킨주게이트와 표적 발현 세포를 접촉시키고; 과증식 세포의 증식을 감소시키거나 억제하기에 충분한 양의 킨주게이트와 표적 발현 세포를 접촉시키고; 신생물, 종양, 암 또는 악성종양 세포의 증식을 감소시키거나 억제하기에 충분한 양의 킨주게이트와 표적 발현 세포를 접촉시키는 것을 포함하며, 상기 킨주게이트는 세포에 의해 발현된 표적에 결합한다.

[0036] 본 발명의 용도 및 방법에 따라 표적화되는 예시적 세포는 임의의 요망되는 표적을 발현하는 세포를 포함한다. 따라서, 상기 비제한적인 세포는, 예를 들어, 유방, 난소, 자궁, 자궁경부, 복부, 폐, 위, 결장, 방광, 아교, 피부(예를 들어, 멜라닌세포), 혈액 및 자궁내막 세포를 포함한다. 더욱 특정한 비제한적인 세포는 수용체, 예를 들어, Her2/neu, 항원(예를 들어, 종양 관련 항원) 또는 분화 도메인(CD)의 클러스터를 발현한다.

[0037] 수행된 방법은 특히 세포, 예를 들어, 과증식 세포 또는 요망되지 않게 증식하는 세포의 증식, 생존, 분화, 사멸, 또는 활성을 억제하거나, 감소시키거나, 예방할 필요가 있는 대상체에 투여하거나 접촉시키는 것을 포함한다. 예시적 대상체는 요망되지 않거나 비정상적인 세포 증식을 갖거나 가질 위험이 있는 대상체; 및 양성 과다형성, 또는 비-전이성 또는 전이성 신생물, 암, 종양 또는 악성종양(예를 들어, 유방, 난소, 자궁, 자궁경부, 복부, 폐, 위, 결장, 방광, 아교, 피부(예를 들어, 멜라닌세포), 혈액 또는 자궁내막 세포 중 어느 하나에서의 고형 또는 액형 종양)을 갖거나, 가질 위험이 있는 대상체를 포함한다.

[0038] 본 발명에 따르면, 과증식 장애를 갖는 대상체를 치료하는 용도 및 방법, 및 신생물, 종양, 암 또는 악성종양(전이성, 비-전이성 또는 양성)을 갖는 대상체를 치료하는 용도 및 방법이 추가로 제공된다. 다양한 구체예에서, 상기 용도 또는 방법은 과증식 장애를 치료하기에 충분한 킨주게이트의 양을 대상체에 투여하고; 신생물, 종양, 암 또는 악성종양의 증식을 감소시키거나 억제하기에 충분한 킨주게이트의 양을 대상체에 투여하는 것을 포함한다.

[0039] 상기 방법 및 용도는 전이를 갖거나 전이를 가질 위험이 있는 대상체를 치료하는 것을 포함한다. 킨주게이트의 양은 종양, 암 또는 신생물의 대상체 내의 다른 부위, 위치 또는 영역으로의 확산 또는 과종을 감소시키거나 억제하는데 효과적이다. 다양한 구체예에서, 상기 방법 및 용도는 원발성 종양 또는 암의 하나 이상의 다른 부위로의 전이, 하나 이상의 다른 부위, 위치 또는 영역에서 전이의 형성 또는 확립을 감소시키거나 억제함으로써 종양 또는 암의 재발 또는 종양 또는 암의 진행을 감소시키거나 억제한다. 추가의 구체예에서, 상기 방법 또는 용도는 전이를 발생시키거나 전이를 잠재적으로 발생시키는 종양 또는 암세포(예를 들어, 과증된 종양 세포)의 성장, 증식, 이동성 또는 침습성을 감소시키거나 억제하거나; 원발성 종양 또는 암으로부터 원발성 종양 또는 암과 별개인 하나 이상의 다른 부위, 위치 또는 영역으로 발생하는 전이의 형성 또는 확립을 감소시키거나 억제하거나; 전이가 형성되거나 확립된 후 원발성 종양 또는 암과 별개인 하나 이상의 다른 부위, 위치 또는 영역에서 전이의 성장 또는 증식을 감소시키거나 억제하거나; 전이가 형성되거나 확립된 후 추가 전이의 형성 또는 확립을 감소시키거나 억제한다. 또 다른 구체예에서, 상기 방법 또는 용도는 신생물, 종양, 암 또는 악성종양의 재발 또는 진행을 감소시키거나 억제한다.

[0040] 본 발명에 따르면, 신생물, 종양, 암 또는 악성종양의 다른 부위로의 전이를 감소시키거나 억제하는 방법 및 용도, 또는 원발성 신생물, 종양, 암 또는 악성종양으로부터 원위에 있는 다른 부위에서 전이성 신생물, 종양, 암 또는 악성종양의 형성 또는 확립을 감소시키거나 억제하는 방법이 또한 추가로 제공된다. 다양한 구체예에서, 상기 방법은 신생물, 종양, 암 또는 악성종양의 다른 부위로의 전이, 또는 원발성 신생물, 종양, 암 또는 악성종양으로부터 원위에 있는 다른 부위에서 전이성 신생물, 종양, 암 또는 악성종양의 형성 또는 확립을 감소시키거나 억제하기에 충분한 양의 킨주게이트를 대상체에게 투여하는 것을 포함한다.

[0041] 따라서, 본 발명에 따라 치료가능한 신생물, 종양, 암 및 악성종양은 전이성, 및 비-전이성 또는 양성 형태를 포함한다. 비제한적인 예로 고형 세포 덩어리, 조혈 세포, 또는 암종, 육종(예를 들어, 림프육종, 지방육종, 뼈육종, 연골육종, 평활근육종, 횡문근육종 또는 섬유육종), 림프종, 백혈병, 샘종, 샘암종, 흑색종, 신경아교종, 아교모세포종, 수막종, 신경모세포종, 망막모세포종, 별아교세포종, 핍지세포종, 증피종, 그물내피, 림프 또는 조혈(예를 들어, 골수종, 림프종 또는 백혈병) 신생물, 종양, 암 또는 악성종양을 포함한다.

[0042] 본 발명에 따라 치료가능한 신생물, 종양, 암 및 악성종양은 폐(소세포폐암 또는 비소세포폐암), 갑상샘, 두경부, 코인두, 인후, 코 또는 굴, 뇌, 척추, 부신, 뇌하수체, 유방, 난소, 자궁, 자궁경부, 위장(구강, 식도, 위, 십이지장, 회장, 공장(소장), 결장, 직장), 폐, 비뇨생식관(자궁, 난소, 자궁경부, 자궁내막, 방광, 고환, 음경, 전립선), 아교, 혈액, 자궁내막, 림프, 혈액, 근육, 피부(예를 들어, 멜라닌세포) 또는 피부 세포, 신장, 췌장, 간, 뼈, 골수, 윌름즈 종양, 담관, B-ALL(B-세포 림프모구 백혈병), 줄기 세포, 또는 혈액 신생물, 종양,

암, 또는 악성종양에 존재할 수 있거나, 이들에 침범할 수 있다.

[0043] 상기 방법 및 용도는, 예를 들어, 다른 요법(예를 들어, 외과적 절제, 화학요법, 면역요법, 방사선요법, 열 요법, 예방접종 등)에 대한 후보가 아닌 대상체에서 단독으로 실시될 수 있다. 상기 방법 및 용도는 또한 다른 치료 또는 요법(예를 들어, 외과적 절제, 방사선요법, 이온화 또는 화학 방사선 요법, 화학요법, 면역요법, 국소 또는 국부 열(고열) 요법, 또는 예방접종)과 함께 실시될 수 있다. 상기 치료 또는 요법은 컨주게이트의 투여 전, 투여와 동시에(별개로 또는 혼합하여), 또는 투여 후에 제공될 수 있다. 한 구체예에서, 상기 방법 또는 용도는 항-세포 증식, 항-신생물, 항-종양, 항-암 또는 면역-증강 치료 또는 요법을 제공하는 것을 포함한다. 추가 구체예에서, 상기 방법 또는 용도는 알킬화제, 항-대사물, 식물 추출물, 식물 알칼로이드, 니트로소우레아, 호르몬, 뉴클레오시드 또는 뉴클레오티드 유사체; 사이클로포스파미드(cyclophosphamide), 아자티오프린(azathioprine), 사이클로스포린 A(cyclosporin A), 프레드니솔론(prednisolone), 멜팔란(melphalan), 클로람부실(chlorambucil), 메클로르에타민(mechlorethamine), 부숄판(busulphan), 메토트렉세이트(methotrexate), 6-머캅토피린(6-mercaptopurine), 티오구아닌(thioguanine), 5-플루오로우라실(5-fluorouracil), 시토신 아라비노시드(cytosine arabinoside), 5-아자시티딘(5-azacytidine)(5-AZC) 및 5-아자시티딘 관련 화합물, 블레오마이신(bleomycin), 액티노마이신 D(actinomycin D), 미트라마이신(mithramycin), 미토마이신 C(mitomycin C), 카르무스틴(carmustine), 로무스틴(lomustine), 세무스틴(semustine), 스트렙토조토신(streptozotocin), 하이드록시우레아(hydroxyurea), 시스플라틴(cisplatin), 카르보플라틴(carboplatin), 옥시플라틴(oxiplatin), 미토탄(mitotane), 프로카르바진(procarbazine), 다카르바진(dacarbazine), 탁산(taxane)(예를 들어, 탁솔(taxol) 또는 파클리탁셀(paclitaxel)), 빈블라스틴(vinblastine), 빈크리스틴(vincristine), 독소루비신(doxorubicin) 또는 디브로모만니톨(dibromomannitol), 국소이성화효소 억제제(이리노테칸(irinotecan), 토포테칸(topotecan), 에토포시드(etoposide), 테니포시드(teniposide)), 겐시타빈(gemcitabine), 페메트렉세드(pemetrexed) 등을 투여하는 것을 포함한다.

[0044] 세포 또는 면역요법은 림프구, 형질 세포, 대식세포, 수지상 세포, T-세포, NK 세포 또는 B-세포; 항체, 세포 성장 인자, 세포 생존 인자, 세포 분화 인자, 사이토카인 또는 케모카인을 포함한다. 본 발명의 조성물, 방법 또는 용도에서 컨주게이트와 함께 적용가능한 추가 작용제는 표적화된 약물 또는 생물학적 약제, 예를 들어, 항체(모노클로날) 또는 수분자를 포함한다.

[0045] 본 발명의 방법은 대상체에 이점을 제공하는 것을 포함한다. 특정 구체예에서, 치료 방법은 신생물, 종양, 암 또는 악성종양 세포 질량, 부피, 크기 또는 세포의 수의 부분적 또는 완전한 파괴, 신생물, 종양, 암 또는 악성종양 세포 괴사, 용해 또는 아포토시스의 자극, 유도 또는 증가, 신생물, 종양, 암 또는 악성종양 부피 크기, 세포 질량의 감소, 신생물, 종양, 암 또는 악성종양 부피, 질량, 크기 또는 세포 수의 진행 또는 증가의 억제 또는 예방, 또는 수명의 연장을 발생시키거나; 신생물, 종양, 암 또는 악성종양과 관련되거나 이에 의해 야기된 유해한 증상 또는 합병증의 중증도, 기간 또는 빈도를 감소시키거나 저하시키거나; 동통, 불쾌, 구역, 쇠약 또는 기면을 감소시키거나 저하시키거나; 증가된 에너지, 식욕, 개선된 움직임 또는 심리적 웰빙을 발생시킨다.

[0046] 본 발명에 방법에 따라 치료가능한 대상체는 포유동물을 포함한다. 특정 구체예에서, 대상체는 인간이다.

### 도면의 간단한 설명

#### [0047] 도면의 설명

도 1A 및 1B는 48시간 후에 결정된 Her2-neu 수용체 양성 A) 유방(SKBR-3); 및 B) 난소(SKOV-3) 암 세포주에 대한 재조합 scFv-C<sub>43</sub>(네이키드 항체), scFv-C<sub>43</sub>-GS-Phor18 및 scFv-C<sub>43</sub>-GS-(KLAKLAK)<sub>2</sub>KLAK(SEQ ID NO.:74)의 세포독성을 도시한다.

도 2A 및 2B는 염수 주사된 마우스와 비교한 SKOV-3 이종이식 마우스에서의 64일의 연구 기간 동안 네이키드 모노클로날 항체(MAb), A) MAb-Phor18 및 B) 재조합 scFv-C<sub>43</sub> 네이키드 항체 및 scFv-C<sub>43</sub>-Phor18 컨주게이트로 처리된 마우스로부터의 중간 종양 부피를 도시한다.

도 3은 염수 주사된 마우스와 비교한 SKOV-3 이종이식 마우스에서 64일에서 MAb(네이키드), MAb-Phor18 및 재조합 scFv-C<sub>43</sub> 네이키드 항체 및 scFv-C<sub>43</sub>-Phor18 컨주게이트로 처리된 마우스로부터의 평균 종양 중량을 도시한다.

도 4는 염수 주사된 마우스와 비교한 SKOV-3 이종이식 마우스에서 64일의 연구 기간 동안의 MAb(네이키드),

MAb-Phor18 및 재조합 scFv-C<sub>H</sub>3 네이키드 항체 및 scFv-C<sub>H</sub>3-Phor18 컨쥬게이트로 처리된 마우스로부터의 평균 체중을 도시한다.

도 5는 ADC 중쇄(H) 및 경쇄(L) 발현에 사용된 pCMVThT 발현 벡터(Promega)를 도시한다.

도 6은 생성된 ADC의 항-Phor18 면역블롯을 도시한다: H1L1(IgG1), H3L1(C<sub>H</sub>3-Phor18-IgG1), H1L3(C<sub>L</sub>-Phor18-IgG1), H2L2(Phor18-V<sub>L</sub>-Phor18-V<sub>H</sub>-IgG1) 및 H1L2(Phor18-V<sub>L</sub>-Phor18-IgG).

도 7A 및 7B는 생성된 ADC의 품질 분석을 도시한다: 환원된 단백질의 A) 항-Phor18 프로브; 및 B) 항-카파 경쇄(L) 프로브를 이용한 항 Her2-항체, H1L1(네이키드), H1L3(C<sub>L</sub>-Phor18-IgG1) 및 H3L1(C<sub>H</sub>3-Phor18-IgG1).

도 8은 생성된 ADC의 항 IgG 및 항-Phor18 면역블롯을 도시한다: H1L3(C<sub>L</sub>-Phor18-IgG1), H1L2(Phor18-V<sub>L</sub>-Phor18-IgG1) 및 H2L2(Phor18-V<sub>L</sub>-Phor18-V<sub>H</sub>-IgG1).

도 9는 Daudi 세포에서의 카스파제 3/7 활성화에 대한 화학적으로 연결된 전체 항체 CD20 및 항체 CD20-Phor18 컨쥬게이트의 효과를 도시한다.

도 10A 및 10B는 CD20 발현 Daudi 세포에서의 네이키드 scFv에 비한 재조합적으로 생성된 scFv-Phor18의 시험관내 활성을 도시한다. A) 세포막 온전성은 2시간 후에 결정되었고, B) 세포 생활력은 각각의 네이키드 및 컨쥬게이션된 AB와의 인큐베이션 24시간 후에 결정되었다. 네이키드 scFv는 세포막을 분해시키지 않았거나, 표적 세포를 사멸시키지 않은 반면, scFv-Phor18 컨쥬게이트는 막 분해 및 세포 사멸을 나타내었다.

도 11은 네이키드 scFv 및 scFv-Phor18 컨쥬게이트에 대해 측정된 시험관내 카스파제 3/7 활성화를 도시한다. scFv-Phor 18은 농도 의존 방식으로 카스파제 3/7 활성을 증가시켰다. 스타우로스포린을 카스파제 활성화에 대한 대조군으로 제공하였다. 네이키드 scFv는 카스파제를 검출가능하게 활성화시키지 않았다.

도 12는 효모 시스템에서의 트랜스펙션에 사용된 항-CD20 ADC 및 네이키드 항체 발현을 위한 발현 벡터를 예시한다.

도 13A-13D는 A) 4시간 및 B) 24시간 후의 CD20 양성 Daudi 세포주, 및 C) 4시간 및 D) 24시간 후의 CD20 음성 U937 세포에서의 scFvFc 및 Phor18-V<sub>L</sub>-scFvFc-C<sub>H</sub>3-Phor18의 시험관내 활성을 도시한다.

도 14는 항-CD20 ADC 및 네이키드 항체 발현을 위한 발현 벡터를 예시한다.

**발명을 실시하기 위한 구체적인 내용**

**[0048] 상세한 설명**

[0049] 본 발명은 제 2 용해 도메인에 연결되거나 융합된 표적에 결합하는 부분을 포함하는 컨쥬게이트를 적어도 부분적으로 기초로 한다. 통상적인 형태에서, 컨쥬게이트는 제 1 표적 결합 도메인(예를 들어, 항체, 또는 항체의 중쇄(H) 및/또는 경쇄(L)) 및 세포에 직접적 또는 간접적으로 독성이어서 세포 증식 또는 생존을 감소시킬 수 있거나, 세포 죽음, 사멸 또는 아포토시스를 자극하거나, 유도하거나, 증가시키거나, 향상시킬 수 있는 용해 부분을 포함하는 제 2 도메인을 포함한다.

[0050] 본 발명에 따르면, 표적에 결합하는 항체, 또는 항체의 중쇄(H) 및/또는 경쇄(L), 및 제 2 용해 또는 독성 도메인을 포함하거나 이들로 구성되는 컨쥬게이트가 제공된다. 한 구체예에서, 컨쥬게이트는 항체 또는 이의 단편 및 펩티드 서열(리신 = K, 페닐알라닌 = F 및 알라닌 = A과 같은 아미노산으로부터 선택됨), 예를 들어, KFAKFAKKFAKFAKK, KFAKFAKKFAKFAKKF, KFAKFAKKFAKFAKKFA, KFAKFAKKFAKFAKKFAK, KFAKFAKKFAKFAKKFAK, KFAKFAKKFAKFAKKFAKFA 및 KFAKFAKKFAKFAKKFAKFAKFAKFAK(SEQ ID NO.:1-7)를 포함하는 10-100개의 잔기 L-아미노산 또는 D-아미노산 서열을 포함하거나 이들로 구성된 용해 도메인을 포함한다. 또 다른 구체예에서, 컨쥬게이트는 항체의 중쇄(H) 및/또는 경쇄(L) 및 KFAKFAKKFAKFAKK, KFAKFAKKFAKFAKKF, KFAKFAKKFAKFAKKFA, KFAKFAKKFAKFAKKFAK, KFAKFAKKFAKFAKKFAK, KFAKFAKKFAKFAKKFAKFA 및 KFAKFAKKFAKFAKKFAKFAKFAKFAK(SEQ ID NOs.:1-7)로부터 선택된 10-100개의 잔기 L-아미노산 또는 D-아미노산 서열을 포함하거나 이들로 구성된 용해 도메인을 포함한다.

[0051] 본원에서 사용되는 용어 "컨쥬게이트" 또는 "융합 작제물" 및 이들의 문법적 변형은 작제물이 서로 다르고 통상적으로 자연에서 함께 존재하지 않는 2개의 상이한 분자 존재물로부터 유래되거나, 수득되거나, 분리되거나, 이

들을 기초로 하거나 이후에 모델링되는 부분 또는 구획을 함유하는 것을 의미한다. 즉, 예를 들어, 컨주게이트의 제 1 부분은 항체 또는 항체 단편, 또는 항체의 중쇄(H) 및/또는 경쇄(L)를 포함하거나 이들로 구성되고, 컨주게이트의 제 2 부분은 용해 부분 또는 도메인을 포함하거나 이들로 구성되며, 제 1 및 제 2 부분/도메인 각각은 구조적으로 다르다. 컨주게이트는 "융합 작제물"로 언급될 수 있으며, 상기 컨주게이트는 표적에 결합하는 항체 또는 항체 단편, 또는 항체의 중쇄(H) 및/또는 경쇄(L), 및 제 2의 용해 도메인 또는 부분을 포함하거나 이들로 구성된다.

[0052] 컨주게이트의 제 1 도메인 및/또는 제 2 (용해) 도메인은 아미노산 서열(펩티드, 폴리펩티드, 단백질, 렉틴), 핵산(DNA, RNA) 및 탄수화물(당류, 시알산, 갈락토스, 만노스, 푸코스, 아세틸뉴리민산 등)을 포함하거나 이들로 구성된다. 용어 "아미노산 서열", "단백질", "폴리펩티드" 및 "펩티드"는 아미드 결합 또는 동등물에 의해 공유적으로 연결된 2개 이상의 아미노산, 또는 "잔기"를 나타내기 위해 본원에서 상호교환적으로 사용된다. 아미노산 서열은, 예를 들어, 글루타르알데하이드, N-하이드록시숙신이미드 에스테르, 이기능성 말레이미드, 또는 N,N'-디사이클로헥실카르보디이미드(DCC)와 함께 형성된 것을 포함하는 비-자연 및 비-아미드 화학 결합에 의해 연결될 수 있다. 비-아미드 결합은, 예를 들어, 케토메틸렌, 아미노메틸렌, 올레핀, 에테르, 티오에테르 등을 포함한다(예를 들어, 문헌[Spatola in *Chemistry and Biochemistry of Amino Acids, Peptides and Proteins*, Vol. 7, pp 267-357 (1983), "Peptide and Backbone Modifications," Marcel Decker, NY] 참조).

[0053] 컨주게이트 또는 융합 작제물의 제 1 및 제 2 (용해) 도메인은 L-아미노산 서열, D-아미노산 서열 및 L-아미노산 및 D-아미노산의 혼합물을 갖는 아미노산 서열을 포함한다. 제 1 및 제 2 도메인의 아미노산 서열의 컨주게이트는 선형 또는 고리형 구조일 수 있고, 또 다른 별개의 모이어티(예를 들어, 제 3, 제 4, 제 5, 제 6, 제 7 등의 도메인)에 추가로 컨주게이션될 수 있고, 분자내 또는 분자간 이황화 결합을 형성할 수 있고, 또한 동일하거나 상이한 항체, 중쇄(H), 경쇄(L) 또는 용해 서열을 갖는 다른 컨주게이트, 또는 다른 전적으로 다른 분자와 함께 더 높은 차수의 다합체 또는 올리고머(삼합체, 사합체, 오합체, 육합체, 칠합체 등)을 형성할 수 있다.

[0054] 컨주게이트의 예시적 길이는 약 10 내지 15개, 15 내지 20개, 20 내지 25개, 25 내지 50개, 50 내지 100개, 100 내지 150개, 150 내지 200개, 또는 200 내지 300개 또는 그 초과인 아미노산 잔기 길이이다. 특정 구체예에서, 제 1 또는 제 2 도메인은 약 1 내지 10개, 10 내지 20개, 15 내지 20개, 20 내지 30개, 30 내지 40개, 40 내지 50개, 60 내지 70개, 70 내지 80개, 80 내지 90개, 90 내지 100개 또는 그 초과인 잔기의 아미노산 서열을 포함하거나 이들로 구성된다. 더욱 특정한 구체예에서, 용해 도메인은 10, 11, 12, 13, 14, 15, 16, 17, 18, 19, 20, 21, 22, 23, 24, 25, 26, 27, 28개, 또는 그 초과인 잔기의 아미노산 서열, 또는 10, 11, 12, 13, 15, 16, 17, 18, 19, 20, 22, 23, 24, 25, 26, 27, 28, 또는 그 초과인 잔기의 아미노산 서열을 포함하거나 이들로 구성된다.

[0055] 컨주게이트는 표적(예를 들어, 수용체)에 결합하는 제 1 부분의 항체 또는 항체 단편, 또는 항체의 중쇄(H) 및/또는 경쇄(L), 및 용해 도메인을 포함하거나 이로 구성되는 제 2 부분을 포함하며, 상기 용해 도메인은 양친매성 알파-헬릭스를 형성할 수 있다. 양친매성 알파-헬릭스는 알파-헬릭스의 한 측면에 대부분 친수성 아미노산을 함유하고, 나머지 측면은 대부분 소수성 아미노산을 함유한다. 알파 헬릭스는 3.6개의 잔기마다 완전한 턴(turn)을 만드므로, 양친매성 알파 헬릭스의 아미노산 서열은 3 내지 4개의 잔기마다 친수성 잔기와 소수성 잔기가 번갈아 나타난다. PNNPNNP 반복 패턴 또는 모티프는 양친매성 알파-헬릭스를 형성하는 것으로 예측되며, 여기서 P는 양성으로 하전된 아미노산 잔기이고, N은 중성 아미노산 잔기이다. PNNPNNP 반복 패턴은 음성으로 하전된 세포막과 상호작용하는 용해 펩티드에 대한 양이온성 결합 부위 및 막 상호작용/침투를 위한 소수성 부위를 제공한다. 따라서, 컨주게이트는 양친매성 알파-헬릭스를 형성할 수 있는 하나 이상의 연속된 PNNPNNP 반복 패턴 또는 모티프, 또는 하나 이상의 불연속 PNNPNNP 반복 패턴 또는 모티프를 갖는 용해 도메인을 갖는 것을 포함한다. 예를 들어, 15 또는 18개의 잔기의 아미노산 서열, 예를 들어, KFAKFAKKFAKFAKK(SEQ ID NO.:1) 및 KFAKFAKKFAKFAKKFAK(SEQ ID NO.:4)가 연속 및 불연속 PNNPNNP 반복 모티프를 갖는다.

[0056] 본원에 개시된 바와 같이, 컨주게이트는 표적에 결합하는 항체 및 항체 단편을 포함한다. "항체"는 임의의 모노클로날 또는 폴리클로날 면역글로불린 분자, 예를 들어, IgM, IgG, IgA, IgE, IgD, 및 이의 임의의 서브클래스를 나타낸다. IgG에 대한 예시적 서브클래스는 IgG<sub>1</sub>, IgG<sub>2</sub>, IgG<sub>3</sub> 및 IgG<sub>4</sub>, 예를 들어, 조작된 항체 서브클래스 및 다양한 당화 패턴을 갖는 재조합 항체이다.

[0057] 컨주게이트는 또한 표적에 결합하는 항체의 중쇄(H) 또는 경쇄(L), 또는 항체의 중쇄(H) 또는 경쇄(L)의 단편을 포함한다. 상기 컨주게이트는 표적에 결합하는 항체의 복수의 중쇄(H) 및/또는 경쇄(L), 또는 항체의 중쇄(H) 및/또는 경쇄(L)의 단편을 가질 수 있다.

- [0058] 항체 단편, 항체의 중쇄(H) 및/또는 경쇄(L)의 단편은 과가변(표적 결합) 영역, 또는 표적 결합을 제공하기에 충분한 항체의 중쇄(H) 및/또는 경쇄(L) 내의 상보성 결정 영역(CDR) 또는 프레임워크 영역(FR) 중 어느 하나 또는 전부를 포함한다. 항체 단편의 특정한 비제한적인 예는 Fab, Fab', F(ab')<sub>2</sub>, Fv, Fd, 단일쇄 Fv(scFv), 이황화-결합된 Fvs(sdFv), V<sub>L</sub>, V<sub>H</sub>, 낙타 Ig, V-NAR, VHH, 삼중특이적(Fab<sub>3</sub>), 이중특이적(Fab<sub>2</sub>), 디아바디(diabody)((V<sub>L</sub>-V<sub>H</sub>)<sub>2</sub> 또는 (V<sub>H</sub>-V<sub>L</sub>)<sub>2</sub>), 트리아바디(triobody)(3가), 테트라바디(tetrabody)(4가), 미니바디(minibody)((scFv-C<sub>H</sub>3)<sub>2</sub>), 이중특이적 단일쇄 Fv(Bis-scFv), IgGdeltaCH2, scFv-Fc, (scFv)<sub>2</sub>-Fc, 어피바디(affibody)(예를 들어, ZHer2-neu:2, ZHer2-neu:4 ZHer2-neu:7 ZHer2-neu:8), 앵타머(aptamer), 아비머(avimer) 또는 나노바디(nanobody)를 포함한다.
- [0059] 항체, 항체의 중쇄(H) 및 경쇄(L), 및 이들의 단편은 세포, 예를 들어, B 세포에 의해 생성되거나 세포, 예를 들어, B 세포에서 발현되거나, 다른 세포, 예를 들어, CHO 세포에 의해 생성되도록 합성되거나 조작된 것을 포함한다. 상기 항체, 항체의 중쇄(H) 및 경쇄(L), 및 이들의 단편은 개선된 특징, 예를 들어, 증가된 혈청 안정성 및/또는 생체내 반감기, PK 등을 갖는 것을 포함한다(예를 들어, 문헌[Antibody Engineering Vol 1, Konterman R and Duebel S, eds., 2010, Springer, WO 2006/130834 and Horton et al., Cancer Res 68:8049 (2008)]에 기재된 바와 같음). Fc에서의 비제한적인 돌연변이는, 예를 들어, I253A, H310A, H435R, H435Q, G236R, L328R, S239D, I332E를 포함한다. IgG1에서의 비제한적인 돌연변이는 Fc 영역의 잔기 238, 252, 253, 254, 255, 256, 265, 272, 289, 288, 303, 305, 307, 309, 311, 312, 317, 340, 356, 360, 362, 376, 378, 380, 382, 386, 388, 400, 413, 415, 424, 433, 434, 435, 439 및/또는 477에 존재할 수 있다.
- [0060] 항체, 항체의 중쇄(H) 및 경쇄(L), 및 이들의 단편은 표적에 결합한다. 표적의 특정한 비제한적인 예는 아미노산 서열(예를 들어, 폴리펩티드, 펩티드, 단백질), 다당류, 올리고당류, 탄수화물, 및 지질을 포함한다. 표적의 특정한 비제한적인 부류는 수용체 및 항원을 포함한다. 상기 표적은 세포에 의해 또는 세포 상(예를 들어, 세포막 상)에서 발현될 수 있다.
- [0061] 표적은 호르몬, 성장 인자, 호르몬 및 성장 인자 유사체, 및 호르몬, 호르몬 유사체, 성장 인자, 성장 인자 유사체의 단편, 및 성장 인자 및 유사체의 단편에 결합하는 수용체를 포함한다. 수용체 표적의 특정한 비제한적인 예는 Her2/neu(ErbB-2로도 공지된 인간 표피 성장 인자 수용체 2), 황체형성 호르몬 분비 호르몬 수용체(LHRH-R), 표피 성장 인자 수용체(EGF-R), 플레이트-, 및 성장 호르몬(GH) 수용체를 포함한다. 수용체 표적의 추가의 특정한 비제한적인 예는 종양 괴사 인자(TNF) 패밀리에 속한 수용체(예를 들어, TNF-알파, TNF-베타(림프독소, LT), TRAIL, Fas, LIGHT, 또는 4-1BB) 또는 온코페토프로테인(oncofetoprotein)(5T4)을 포함한다. 수용체 표적의 추가의 특정한 비제한적인 예는 면역글로불린-유사 수용체(예를 들어, CD19, CD20, CD22, CD23, CD27, CD28, CD30, CD31, CD33, CD34, CD40, CD52, CD56, CD70, CD123, CD138, CD138, 또는 CD154), 또는 다른 수용체(예를 들어, 호르몬 수용체, 사이토카인 수용체, 성장 인자 수용체, 또는 케모카인 수용체)를 포함한다.
- [0062] 항원 표적은 바이러스, 박테리아, 진균 및 기생충 항원을 포함한다. 항원 표적은 또한 종양 관련 항원(TAA)을 포함한다. TAA 표적의 특정한 비제한적인 예는 암배아 항원(CEA), 알파-태아단백질(AFP), 전립선 특이적 항원(PSA), 전립선 특이적 막 항원(PSMA), CA-125(상피성 난소암), 가용성 인터루킨-2(IL-2) 수용체, RAGE-1, 티로시나제, MAGE-1, MAGE-2, NY-ESO-1, Melan-A/MART-1, 당단백질(gp) 75, gp100, 베타-카테닌, PRAME, MUM-1, ZFP161, 유비퀵린-1, HOX-B6, YB-1, 오스테오넥틴(Osteonectin), ILF3, IGF-1, 온코페토프로테인, 황체형성 호르몬 분비 호르몬 수용체(LHRH-R), 성장 호르몬 수용체, 포스파티딜세린, 소포 자극 호르몬 수용체, VEGF 수용체, 플레이트 수용체, CD19, CD20, CD22, CD23, CD27, CD28, CD30, CD31, CD33, CD34, CD40, CD52, CD56, CD70, CD123, CD138, 또는 CD154를 포함한다.
- [0063] 본원에 개시된 바와 같은 수용체, 예를 들어, Her2/neu 또는 CD20은 통상적으로 세포에 의해 발현되거나, 세포 상(예를 들어, 막 수용체) 또는 세포 내에 존재한다. 수용체, 예를 들어, Her2/neu는 세포막 표면과 회합될 수 있거나, 세포막을 가로지를 수 있다. CD20은 통상적으로 내재화되지 않고, B 세포 및 B-세포 악성종양의 표면에서 발현된다. 따라서, 수용체는 세포외, 막횡단 또는 세포질 부분을 함유하는 전장의 온전한 자연 수용체, 뿐만 아니라 이의 트렁케이셔널 형태 또는 단편(예를 들어, 수용체의 세포외, 막횡단 또는 세포질 부분 또는 하위서열, 예를 들어, 단독이거나 조합된 Her2/neu)을 포함한다. 예를 들어, 가용성 수용체, 예를 들어, Her2/neu에는 통상적으로 막횡단 영역이 결핍되어 있으며, 임의로 또한 자연 세포외 또는 세포질 영역의 전부 또는 일부(자연 수용체에 존재시, 예를 들어, Her2/neu)가 결핍되어 있을 수 있다. 상기 트렁케이셔널 형태 및

단편은 컨주게이트에 대한 적어도 부분적인 결합을 보유할 수 있다.

[0064] 예시적 항체, 중쇄(H), 경쇄(L), 및 이들의 단편은 수용체에 존재하는 에피토프에 결합하는 것을 포함한다. 항체, 항체의 중쇄(H) 또는 경쇄(L), 또는 이들의 단편이 결합하는 예시적 Her2/neu 에피토프는 HER-2 (p5-13) A2, HER-2 (p8-16) A24, HER-2 (p48-56) A2, HER-2 (p63-71) A24, HER-2 (p106-114) A2, HER-2 (p369-377) A2, A3, A26, HER-2 (p435-443) A2, HER-2 (p654-662) A2, HER-2 (p665-673) A2, HER-2 (p689-697) A2, HER-2 (p754-762) A3, A11, A33, HER-2 (p773-782) A2, HER-2 (p780-788) A24, HER-2 (p785-794) A2, HER-2 (p789-797) A2, HER-2 (p799-807) A2, HER-2 (p952-961) A2 및 HER-2 (p1023-1032) A2 (Her2/neu 에피토프의 아미노산 위치 번호는 "p" 뒤에 아라비아 숫자에 의해 언급됨)를 포함한다.

[0065] Her2/neu에 결합하는 예시적 항체는 미국 특허 번호 5,821,337호에 기재된 바와 같은 인간화 항-ErbB2 항체 huMAb4D1-1, huMAb4D5-1, huMAb4D5-2, huMAb4D5-3, huMAb4D5-4, huMAb4D5-5, huMAb4D5-6, huMAb4D5-7 및 huMAb4D5-8(HERCEPTIN™); 미국 특허 번호 7,097,840호에 기재된 바와 같은 인간화 520C9(WO 93/21319) 및 인간화 2C4(퍼투주맵) 및 US2009/0285837A1호에 기재된 바와 같은 퍼투주맵 변이체를 포함한다. Her2/neu에 결합하는 비제한적인 대표적 항체, 중쇄(H), 경쇄(L), 및 이들의 단편은 표 A에 기재되어 있다.

[0066] 표 A (SEQ ID NOs.: 12-39)

[0067] huMAb4D5-1:

[0068] V<sub>L</sub> (경쇄):

```

1           10           20           30           40
DIQMTQSPSSLSASVGDRTITCRASQDVNTAVAWYQQKPG
      50           60           70           80
KAPKLLIYSASFLESGVPSRFS GSGSGTDFLTISS LQPEDF
      90           100
ATYYCQQHYTTPPTFGQGTKVEIK
    
```

[0069]

[0070] V<sub>H</sub> (중쇄):

```

1           10           20           30           40
EVQLVESGGGLVQPGGSLRLSCAASGFNIKDTYIHWVRQAP
      50           60           70           80
GKGLEWVARIYPTNGYTRYADSVKGRFTISRDDSKNTLYLQ
      90           100           110           120
MNSLRAEDTAVYYCARWGGDGFYAMDVWGQGTLLVTVSS
    
```

[0071]

[0072] huMAb4D5-2:

[0073] V<sub>L</sub> (경쇄):

```

1           10           20           30           40
DIQMTQSPSSLSASVGDRTITCRASQDVNTAVAWYQQKPG
      50           60           70           80
KAPKLLIYSASFLESGVPSRFS GSGSGTDFLTISS LQPEDF
      90           100
ATYYCQQHYTTPPTFGQGTKVEIK
    
```

[0074]

[0075] V<sub>H</sub> (중쇄):

```

1           10           20           30           40
EVQLVESGGGLVQPGGSLRLSCAASGFNIKDTYIHWVRQAP
      50           60           70           80
GKGLEWVARIYPTNGYTRYADSVKGRFTISADDSKNTLYLQ
      90           100           110           120
MNSLRAEDTAVYYCARWGGDGFYAMDVWGQGTLLVTVSS
    
```

[0076]

[0077] huMAb4D5-3:

[0078] V<sub>L</sub> (경쇄):

```

1           10           20           30           40
DIQMTQSPSSLSASVGDRTITCRASQDVNTAVAWYQQKPG
           50           60           70           80
KAPKLLIYSASFLESGVPSRFS GSGSGTDFLTISS LQPEDF
           90           100
ATYYCQQHYTTPPTFGQGTKVEIK
    
```

[0079]

[0080] V<sub>H</sub> (중쇄):

```

1           10           20           30           40
EVQLVESGGGLVQPGGSLRLSCAASGFNIKDTYIHWVRQAP
           50           60           70           80
GKGLEWVARIYPTNGYTRYADSVKGRFTISADTSKNTAYLQ
           90           100           110           120
MNSLRAEDTAVYYCSRWGGDGFYAMDVWGQGLVTVSS
    
```

[0081]

[0082] huMAb4D5-4:

[0083] V<sub>L</sub> (경쇄):

```

1           10           20           30           40
DIQMTQSPSSLSASVGDRTITCRASQDVNTAVAWYQQKPG
           50           60           70           80
KAPKLLIYSASFLESGVPSRFS GSRSGTDFLTISS LQPEDF
           90           100
ATYYCQQHYTTPPTFGQGTKVEIK
    
```

[0084]

[0085] V<sub>H</sub> (중쇄):

```

1           10           20           30           40
EVQLVESGGGLVQPGGSLRLSCAASGFNIKDTYIHWVRQAP
           50           60           70           80
GKGLEWVARIYPTNGYTRYADSVKGRFTISADTSKNTLYLQ
           90           100           110           120
MNSLRAEDTAVYYCSRWGGDGFYAMDVWGQGLVTVSS
    
```

[0086]

[0087] huMAb4D5-5:

[0088] V<sub>L</sub> (경쇄):

```

1           10           20           30           40
DIQMTQSPSSLSASVGDRTITCRASQDVNTAVAWYQQKPG
           50           60           70           80
KAPKLLIYSASFLESGVPSRFS GSRSGTDFLTISS LQPEDF
           90           100
ATYYCQQHYTTPPTFGQGTKVEIK
    
```

[0089]

[0090] V<sub>H</sub> (중쇄):

```

1           10           20           30           40
EVQLVESGGGLVQPGGSLRLSCAASGFNIKDTYIHWVRQAP
           50           60           70           80
GKGLEWVARIYPTNGYTRYADSVKGRFTISADTSKNTAYLQ
           90           100           110           120
MNSLRAEDTAVYYCSRWGGDGFYAMDVWGQGLVTVSS
    
```

[0091]

[0092] huMAb4D5-6:

[0093] V<sub>L</sub> (경쇄):

```

1           10           20           30           40
DIQMTQSPSSLSASVGDRVTITCRASQDVNTAVAWYQQKPG
      50           60           70           80
KAPKLLIYSASFLYSGVPSRFS GSRSGTDFLTISS LQPEDF
      90           100
ATYYCQQHYTTPPTFGQGTKVEIK
    
```

[0094]

[0095] V<sub>H</sub> (중쇄):

```

1           10           20           30           40
EVQLVESGGGLVQPGGSLRLSCAASGFNIKDTYIHWVRQAP
      50           60           70           80
GKGLEWVARIYPTNGYTRYADSVKGRFTISADTSKNTAYLQ
      90           100           110           120
MNSLRAEDTAVYYCSRWGGDGFYAMDVWGQGTLLTVSS
    
```

[0096]

[0097] huMAb4D5-7:

[0098] V<sub>L</sub> (경쇄):

```

1           10           20           30           40
DIQMTQSPSSLSASVGDRVTITCRASQDVNTAVAWYQQKPG
      50           60           70           80
KAPKLLIYSASFLESGVPSRFS GSRSGTDFLTISS LQPEDF
      90           100
ATYYCQQHYTTPPTFGQGTKVEIK
    
```

[0099]

[0100] V<sub>H</sub> (중쇄):

```

1           10           20           30           40
EVQLVESGGGLVQPGGSLRLSCAASGFNIKDTYIHWVRQAP
      50           60           70           80
GKGLEWVARIYPTNGYTRYADSVKGRFTISADTSKNTAYLQ
      90           100           110           120
MNSLRAEDTAVYYCSRWGGDGFYAMDYWGQGTLLTVSS
    
```

[0101]

[0102] huMAb4D5-8:

[0103] V<sub>L</sub> (경쇄):

```

1           10           20           30           40
DIQMTQSPSSLSASVGDRVTITCRASQDVNTAVAWYQQKPG
      50           60           70           80
KAPKLLIYSASFLYSGVPSRFS GSRSGTDFLTISS LQPEDF
      90           100
ATYYCQQHYTTPPTFGQGTKVEIK
    
```

[0104]

[0105] V<sub>H</sub> (중쇄):

```

1           10           20           30           40
EVQLVESGGGLVQPGGSLRLSCAASGFNIKDTYIHWVRQAP
      50           60           70           80
GKGLEWVARIYPTNGYTRYADSVKGRFTISADTSKNTAYLQ
      90           100           110           120
MNSLRAEDTAVYYCSRWGGDGFYAMDYWGQGTLLTVSS
    
```

[0106]

[0107] huMAb4D5:

[0108] V<sub>L</sub> (경쇄):

```

1           10           20           30           40
DIQMTQSPSSLSASVGDRVTITCRASQDVNTAVAWYQQKPG
      50           60           70           80
KAPKLLIYSASFLYSGVPSRFS GSRSGTDFLTISS LQPEDF
      90           100
ATYYCQQHYTTPPTFGQGTKVEIK
    
```

[0109]

[0110] V<sub>H</sub> (중쇄):

```

1           10           20           30           40
EVQLVESGGGLVQPGGSLRLSCAASGFNIKDTYIHWVRQAP
      50           60           70           80
GKGLEWVARIYPTNGYTRYADSVKGRFTISADTSKNTAYLQ
      90           100           110           120
MNSLRAEDTAVYYCSRWGGDGFYAMDYWGQGTLVTVSS
    
```

[0111]

[0112] 항체 서열 과돌연변이(permutation)(미국 특허 번호 7,435,797호 SQ 1 및 2))

[0113] huMAb4D5:

[0114] V<sub>L</sub> (경쇄):

```

1           10           20           30           40
DIQMTQSPSSLSASVGDRVTITCRASQDVNTAVAWYQQKPG
      50           60           70           80
KAPKLLIYSASFLYSGVPSRFS GSRSGTDFLTISS LQPEDF
      90           100
ATYYCQQHYTTPPTFGQGTKVEIK
    
```

[0115]

[0116] V<sub>H</sub> (중쇄):

```

1           10           20           30           40
EVQLVESGGGLVQPGGSLRLSCAASGFNIKDTYIHWVRQAP
      50           60           70           80
GKGLEWVARIYPTNGYTRYADSVKGRFTISADTSKNTAYLQ
      90           100           110           120
MNSLRAEDTAVYYCSRWGGDGFYAMDYWGQGTLVTVSS
    
```

[0117] huMAb4D5-8

[0119] (VL에 대해: Q27, D28, N30, T31, A32, Y49, F53, Y55, R66 H91, Y92, T94; VH에 대해: W95, D98, F100, Y100, Y102):

[0120] V<sub>L</sub> (경쇄): 청구항 1 돌연변이

```

1           10           20           30           40
DIQMTQSPSSLSASVGDRVTITCRASQDVSSAVAWYQQKPG
      50           60           70           80
KAPKLLID/WSASFLYSGVPSRFS GSRSGTDFLTISS LQPEDF
      90           100
ATYYCQQHYTTPPTFGQGTKVEIK
    
```

[0121]

[0122] V<sub>H</sub> (중쇄):

```

1           10           20           30           40
EVQLVESGGGLVQPGGSLRLSCAASGFNIKDTYIHWVRQAP
      50           60           70           80
GKGLEWVARIYPTNGYTRYADSVKGRFTISADTSKNTAYLQ
      90           100           110           120
MNSLRAEDTAVYYCSRWGGWGP/LAMDYWGQGTLVTVSS
    
```

[0123]

[0124] 퍼투주맵 서열(US 2010/0015157A1)

[0125] V<sub>I</sub> (경쇄):

```

1           10           20           30           40
DIQMTQSPSSLSASVGDRTITCKASQDVSIGVAWYQQKPG
           50           60           70           80
KAPKLLIYSASYRYTGVPSTRFS GSGSGTDFLTISS LQPED
           90           100          110          120
FATYYCQQYYIYPYTFGQGTKVEIKRTVAAPSVFIFPPSDEQ
           130          140          150          160
LKSGTASVVCLLNNFYPREAKVQWKVDNALQSGNSQES
           170          180          190          200
VTEQDSKDYSLSTLTLTKADYEKHKVYACEVTHQGLSS
           210
PVTKSFNRGEC
    
```

[0126]

[0127] V<sub>H</sub> (중쇄):

```

1           10           20           30           40
EVQLVESGGGLVQPGGSLRLSCAASGFTFTDYMHWVRQA
           50           60           70           80
PGKGLEWVADVNPNSGSIYNQRFKGRFTLSVDRSKNTLYL
           90           100          110          120
QMNSLRADTAVYYCARNLGPSTFYFDYWGQGLVTVSSAST
           130          140          150          160
KGPSVFPPLAPSSKSTSGGTAALGCLVKDYFPEPVTVSWNSG
           170          180          190          200
ALTSGVHTFPAVLQSSGLYSLSSVVTVPSSSLGTQTYICNVN
           210          220          230          240
HKPSNTKVDKKVEPKSCDKTHTCPPCPAPELLGGPSVFLFP
           250          260          270          280
PKPKDTLMISRTPEVTCVVVDVSHEDPEVKFNWYVDGVEVH
           290          300          310          320
NAKTKPREEQYNSTYRVVSVLTVLHQDWLNGKEYKCKVSN
           330          340          350          360
KALPAPIEKTISKAKGQPREPQVYTLPPSREEMTKNQVSLTC
           370          380          390          400          410
LVKGFYPSDIAVEWESNGQPENNYKTTTPVLDSDGSFFLYS
           420          430          440
KLTVDKSRWQQGNVFCSSVMHEALHNHYTQKSLSLSPG
    
```

[0128]

[0129] 퍼투주맵 변이체(US2009/0285837 A1)

[0130] V<sub>I</sub> (경쇄):

```

1           10           20           30           40
VHSDIQMTQSPSSLSASVGDRTITCKASQDVSIGVAWYQQ
           50           60           70           80
KPGKAPKLLIYSASYRYTGVPSTRFS GSGSGTDFLTISSLQP
           90           100          110          120
EDFATYYCQQYYIYPYTFGQGTKVEIKRTVAAPSVFIFPPSD
           130          140          150          160
EQLKSGTASVVCLLNNFYPREAKVQWKVDNALQSGNSQES
           170          180          190          200
VTEQDSKDYSLSTLTLTKADYEKHKVYACEVTHQGLSS
           210
PVTKSFNRGEC
    
```

[0131]

[0132] V<sub>H</sub> (중쇄):

```

1           10           20           30           40
EVQLVESGGGLVQPGGSLRRLSCAASGFTFTDYTMDWVRQA
           50           60           70           80
PGKGLEWVADVNPNSGGSIYNQRFKGRFTLSVDRSKNTLYL
           90           100          110          120
QMNSLRAEDTAVYYCARNLGPSFYFDYWGQGTLVTVSSAS
           130          140          150          160
TKGPSVFPLAPSSKSTSGGTAALGCLVKDYFPEPVTVSWNS
           170          180          190          200
GALTSGVHTFPAVLQSSGLYSLSSVVTVPSSSLGTQTYICNV
           210          220          230          240
NHKPSNTKVDKKVEPKSCDKTHTCPPCPAPELLGGPSVFLV
           250          260          270          280
PPKPKDTLMISRTPEVTCVVVDVSHEDPEVKFNWYVDGVEV
           290          300          310          320
HNAKTKPREEQYNSTYRVVSVLTVLHQDWLNGKEYKCKVVS
           330          340          350          360
NKALPAPIEKTISKAKGQPREPQVYTLPPSREEMTKNQVSLT
           370          380          390          400
CLVKGFFYPSDIAVEWESNGQPENNYKTPPVLDSDGSFFLY
           410          420          430          440
SKLTVDKSRWQQGNVDFCSVMHEALNHYTQKSLSLSPGK
    
```

[0133]

[0134] 퍼투주맵 서열: 인간화 2C4, 7C2, 7F3, 7D3, 3E8, 4D5, 2H11, 3H4 (미국 특허 번호 7,097,840호)

[0135] V<sub>L</sub> (경쇄):

```

1           10           20           30           40
DIQMTQSPSSLSASVGDRTITCKASQDVSIGVAWYQQKPG
           50           60           70           80
KAPKLLIYSASYRYTGVPSTRFS GSGSGTDFLTLS LQPED
           90           100          110          120
FATYYCQQYYIYPYTFGGTKVEIKRTVAAPSVFIFPPSDEQ
           130          140          150          160
LKSGTASVCLLNNNFYPREAKVQWKVDNALQSGNSQES
           170          180          190          200
VTEQDSKIDSTYLSSTLTLSKADYEKHKVYACEVTHQGLSS
           210
PVTKSFNRGEC
    
```

[0136]

[0137] V<sub>H</sub> (중쇄):

```

1           10           20           30           40
EVQLVESGGGLVQPGGSLRRLSCAASGFTFTDYTMDWVRQA
           50           60           70           80
PGKGLEWVADVNPNSGGSIYNQRFKGRFTLSVDRSKNTLYL
           90           100          110          120
QMNSLRAEDTAVYYCARNLGPSFYFDYWGQGTLVTVSSAST
           130          140          150          160
KGPSVFPLAPSSKSTSGGTAALGCLVKDYFPEPVTVSWNSG
           170          180          190          200
ALTSGVHTFPAVLQSSGLYSLSSVVTVPSSSLGTQTYICNV
           210          220          230          240
HKPSNTKVDKKVEPKSCDKTHTCPPCPAPELLGGPSVFLFP
           250          260          270          280
PKPKDTLMISRTPEVTCVVVDVSHEDPEVKFNWYVDGVEVH
           290          300          310          320
NAKTKPREEQYNSTYRVVSVLTVLHQDWLNGKEYKCKVSN
           330          340          350          360
KALPAPIEKTISKAKGQPREPQVYTLPPSREEMTKNQVSLTC
           370          380          390          400          410
LVKGFYPSDIAVEWESNGQPENNYKTPPVLDSDGSFFLYS
           420          430          440
KLTVDKSRWQQGNVDFCSVMHEALNHYTQKSLSLSPG
    
```

[0138]

[0139] 다양한 특성을 갖는 추가 항-ErbB2 항체가 문헌[Tagliabue et al. *Int. J. Cancer* 47:933-937 (1991); McKenzie et al. *Oncogene* 4:543 (1989); Maier et al. *Cancer Res.* 51:5361 (1991); Bacus et al. *Molecular*

*Carcinogenesis* 3:350 (1990); Stancovski et al. *PNAS (USA)* 88:8691 (1991); Bacus et al. *Cancer Research* 52:2580 (1992); Xu et al. *Int. J Cancer* 53:401-408 (1993); WO 94/00136; Kasprzyk et al. *Cancer Research* 52:2771 (1992); Hancock et al. *Cancer Res.* 51:4575 (1991); Shawver et al. *Cancer Res.* 54:1367 (1994); Arteaga et al. *Cancer Res.* 54:3758 (1994); Harwerth et al. *J Biol Chem.* 267:15160 (1992); U.S. Patent No. 5,783,186; 및 Klapper et al. *Oncogene* 14:2099 (1997)]에 기재되어 있다. 상기 항체, 항체의 중쇄(H) 및/또는 경쇄(L), 및 이들의 단편을 기초로 한 컨쥬게이트가 본 발명에 포함된다.

[0140] 본원에 개시된 바와 같이, 표적(예를 들어, 수용체)에 결합하는 다른 스캐폴드 유사 구조가 본 발명의 컨쥬게이트에 포함될 수 있다. 상기 구조는 어피바디, 앵타머, 아비머 및 나노바디를 포함한다. 상기 어피바디, 앵타머, 아비머 및 나노바디를 포함하는 컨쥬게이트가 또한 본 발명에 포함된다.

[0141] 예시적 Her2/neu 결합 어피바디는 ZHer2-neu:2, ZHer2-neu:4 ZHer2-neu:7 ZHer2-neu:8 및 Fab63을 포함하며, 상기 어피바디 서열은 표 B에 기재된다.

[0142] **표 B** (SEQ ID NOs.:40-47)

```
Zwt          VDNKFNK  EQQNAFYEILH  LPNLNE  EQRNAFIQSLKD  DPSQ  SANLLAEAKKLNDA  QAPK
Zher2:4      VDNKFNK  ELRQAYWEIQA  LPNLNW  TQSRAFIRSLYD  DPSQ  SANLLAEAKKLNDA  QAPK
Zher2:7      VDNKFNK  EPKTAYWEIVK  LPNLNP  EQRRAFIRSLYD  DPSQ  SANLLAEAKKLNDA  QAPK
Zher2:24     VDNKFNK  EPREAYWEIQR  LPNLNN  KQKAAFIRSLYD  DPSQ  SANLLAEAKKLNDA  QAPK
Zher2:79     VDNKFNK  EWMTAGKEIYR  LPNLNG  TQVRAFIQSLSD  DPSQ  SANLLAEAKKLNDA  QAPK
Zher2:2      VDNKFNK  EWVQAGSEIYN  LPNLNR  AQMRAFIRSLSD  DPSQ  SANLLAEAKKLNDA  QAPK
Zher2:8      VDNKFNK  EIKQAFHEIVR  LPNLNA  DQVRAFIYSLGD  DPSQ  SANLLAEAKKLNDA  QAPK
Zher2:25     VDNKFNK  EMVDAGAEIWR  LPNLNA  KQM*AFIDSLGD  DPSQ  SANLLAEAKKLNDA  QAPK
```

[0143]

[0144] CD20 표적화 항체는 문헌[Teeling et al. (US 2004/0167919)]에 기재된 바와 같은 리툽시맙(Rituximab), 오파투무맙(Ofatumumab)(Arzerra®), 토시투무맙(Tositumumab)(GSK), 이브리투모맙(Ibritumomab)(IDEC)(참고문헌 [Ivanov 2008]), 2F2(HuMax-CD20), 7D8, IgM2C6, IgG1 2C6, 11B8, B1, 2H7, LT20, 1F5 및 AT80을 포함한다. 예시적 항-CD20 V<sub>L</sub> 및 V<sub>H</sub> 사슬 및 완전한 항체가 하기 표 C에 기재되어 있다(굵은 글자체는 각각의 상보성 결정 영역, CDR, 각각의 사슬에 대해, CDR1, CDR2 및 CDR3를 나타낸다):

[0145] **표 C** (SEQ ID NOs.:48-69)

[0146] V<sub>L</sub> (경쇄):

```
DIQMTQSPSSLSASVGDRTVITTCRASSVSYIIHWYQQKPKGKAPKLLIYATSNLASGVPSRFSGS
RSGTDFILTISSLQPEDFATYYCQWTSNPPTFGQGTKVEIK
```

[0147]

[0148] V<sub>H</sub> (중쇄):

```
EVQLVESGGGLVQPGGSLRLSCAASGYTFTSYNMHHWVRQAPGKGLEWVAAIYPGNGDTSY
NQKFKGRFTISADTSKNTAYLQMNSLRAEDTAVYYCSRSTYYGGDWYFDVWVGQGITLVTS
S
```

[0149]

[0150] Rituxan® V<sub>L</sub> 및 V<sub>H</sub> 사슬:

[0151] V<sub>L</sub> (경쇄):

```
QIVLSQSPAILSASPGEKVTMTTCRASSVSYIIHWFQQKPGSSPKPWYATSNLASGVVPRFSGS
GSGTSYSLTISRVEAEDAATYYCQWTSNPPTFGGGTKLEIK
```

[0152]

[0153] V<sub>H</sub> (중쇄):

```
QVQLQQPGAELVKPGASVKMSCKASGYTFTSYNMHVWKQTPGRGLEWIGAIYPGNGDTSY
NQKFKGKATLTADKSSSTAYMQLSSLTSEDSAVYYCARSTYYGGDWYFNVWVGAGITVTVS
```

[0154]

- [0155] 이브리투모맵(Ibritumomab)(IDEC)
- [0156] V<sub>L</sub> (경쇄):  
 QIVLSQSPAILSASPGEKVTMT**CRASSSVSYMH**WYQQKPGSSPKPWIY**APSNLASGVPARFSG**  
 SGGSTSYSLTISRVEAEDAATYYC**QQWSFN**PPTFGAGTKLELK
- [0157]
- [0158] V<sub>H</sub> (중쇄):  
 QAYLQQSGAELVRPGASVKMSCKASGYTFT**SYNMHWVKQ**TPRQGLEWIG**AIY**PGNGD**TSY**  
**NQKFKG**KATLTVDKSSSTAYMQLSSLTSEDSAVYFCAR**VVYYSNSY**WYFDVWGTTTVTVS
- [0159]
- [0160] 토시투모맵(Tositumomab): >마우스-인간 키메라 항-CD20(이브리투모맵과 동일한 V 도메인 - 이들은 불변 영역만 상이하다)
- [0161] V<sub>L</sub> (경쇄):  
 QIVLSQSPAILSASPGEKVTMT**CRASSSVSYMH**WYQQKPGSSPKPWIY**APSNLASGVPARFSG**  
 SGGSTSYSLTISRVEAEDAATYYC**QQWSFN**PPTFGAGTKLELK
- [0162]
- [0163] V<sub>H</sub> (중쇄):  
 QAYLQQSGAELVRPGASVKMSCKASGYTFT**SYNMHWVKQ**TPRQGLEWIG**AIY**PGNGD**TSY**  
**NQKFKG**KATLTVDKSSSTAYMQLSSLTSEDSAVYFCAR**VVYYSNSY**WYFDVWGTTTVTVS
- [0164]
- [0165] **2C6** US7850962 B2 (Teeling et al)
- [0166] V<sub>H</sub> (중쇄):  
 AVQLVESGGGLVQPGRSLR**LSCAASGFTIFGDYTMHWV**RQAPGLGLEWVSGISWNSGSIGYAD  
 SVLGRFTISRDNALNSLYLQ**MNSLRAEDTALYCY**TLDNQYGGSTYGLGVWGGTILVTVSS
- [0167]
- [0168] V<sub>L</sub> (경쇄):  
 EIVLTQSPATLSLSPGERATL**SCRASQSVSSYLA**WYQQKPGQAPRLLIYDASN**RATGIPARFSGS**  
 GSGTDFITLTISSLEPEDFAVYYC**QQRSNWPLTF**GGG**TKVEIL**
- [0169]
- [0170] **2F2** US2004/0167319A1 (Teeling et al)
- [0171] V<sub>H</sub> (중쇄):  
 MFLGLSWIFLLAILKGVQCEVQLVESGGGLVQPGRSLR**LSCAASGFTIFNDYAMHWV**RQAPGK  
 GLEWV**STISWNSGSIGYADSVKGR**FTISRDN**AKKSLYLQ**MNSLRAEDTALY**YCAKDIQYGN**  
 YYYGMDVWGQTTTVTVSS
- [0172]
- [0173] V<sub>L</sub> (경쇄):  
 MEAPAQLLFLLLLWLPD**TTGEIVLTQSPATLSLSPGERATLSCRASQSVSSYLA**WYQQKPGQA  
 PRLLIYDASN**RATGIPARFSGSGSTDFITLTISSLEPEDFAVYYCQQRSNWPITF**GQ**TRLEIK**
- [0174]
- [0175] **11B8** US2004/0167319A1 (Teeling, et al.)
- [0176] V<sub>H</sub> (중쇄):  
 MELGLSWVFLVAILKGVQCEVQLVQSGGGLVHPGGSLR**LCTGSGFTFSYHAMHWV**RQAP  
 GKGLEWV**SIHTGGVTTYADSVKGR**FTISRDN**VKNSLYLQ**MNSLRAEDMAVYYC**CARDYYG**  
 AGSFYDGLYGM**DVWGQTTTVTVSS**
- [0177]

- [0178] V<sub>I</sub> (경쇄):  
 MEAPAQLLFLLLLWLPDITTEIVLTQSPATLSLSPGERATLSCRASQSVSSYLAWYQQKPGQA
- [0179] PRLLIYDASNRATGIPARFSGSGSGTDFTLTISSLEPEDFAVYYCQQRSDWPLTFGGGTKVEIK
- [0180] **7D8** US2004/0167319A1 (Teeling et al)
- [0181] V<sub>H</sub> (중쇄):  
 MELGLSWIFLLAILKGVQCEVQLVESGGGLVQPDRSLRLSCAASGFTFHDYAMHWVRQAPGK
- [0182] GLEWVSTISWNSGTIGYADSVKGRFTISRDNAKNSLYLQMNSLRAEDTALYYCAKDIQYGN  
YYGMDVWVGQGTITVTVSS
- [0183] V<sub>I</sub> (경쇄):  
 MEAPAQLLFLLLLWLPDITTEIVLTQSPATLSLSPGERATLSCRASQSVSSYLAWYQQKPGQA
- [0184] RLLIYDASNRATGIPARFSGSGSGTDFTLTISSLEPEDFAVYYCQQRSNWPIIFGQGTREIK
- [0185] **전체 항체 약물 서열:**
- [0186] 이브리투모맵 (IDEC) (참고문헌 [Ivanov 2008])
- [0187] 마우스 항-CD20 중쇄 1:  
 QAYLQQSGAELVRPGASVKMSCKASGYTFTSYNMHWVKQTPRQGLEWIGAIYPGNGDTSYN
- [0188] QKFKGKATLTVDKSSSTAYMQLSSTSEDSAVYFCARVVYYSNSYWFYFDVWGTGTTVTVSA  
PSVYPLAPVCGDITGSSVTLGCLVKGYFPEPVLTWNSGSLSSGVHTFPAVLQSDLYTLSSSVT  
VTSSITWPSQISCTNVAHPASSTKVDKIEPRGPTIKPCPCPCPAPNLLGGPSVFIAPPKIKDVL  
ISLSPITVCVVVDVSEDDPDVQISWVFNNEVHTAQTQTHREDYNSLTRVVSALPIQHGDWMS  
GKEFKCKVNNKDLPAPIERTISKPKGSVRAPQVYVLPPEEEMTKQVILTCMVTDFMPEDIY  
VEWTNNGKTELNYKNTPEVLDSDGSYFMYSKLRVEKKNWVERNSYSCSVVHEGLHNHHTTK  
SFSR
- [0189] 마우스 항-CD20 경쇄 1:  
 QIVLSQSPAILSASPGEKVTMTCRASSSVSYMHWYQQKPGSSPKPWIYAPSNLASGVPARFSGS
- [0190] SGGTSYSLTISRVEAEDAATYYCQQWTFNPPTFGAGTKLELKRADAAPTVFIFPPSDEQLKSGT  
ASVVCLLNNFYPREAKVQWKVDNALQSGNSQESVTEQDSKDYSLSSITLTLKADYEKHKV  
YACEVTHQGLSSPVTKSFN
- [0191] **리투시맵**
- [0192] 중쇄 키메라:  
 QVQLQQPGAELVKPGASVKMSCKASGYTFTSYNMHWVKQTPGRGLEWIGAIYPGNGDTSYN
- [0193] QKFKGKATLTADKSSSTAYMQLSSTSEDSAVYYCARSTYYGGDWYFNVWGAGTTVTVSAA  
STKGPSVFLPLAPSSKSTSGGTAALGCLVKDYFPEPVTVSWNSGALTSGVHTFPAVLQSSGLYSL  
SSVTVPSSSLGTQTYICNVNHKPSNTKVDKKEPKSCDKTHITCPPCPAPELLGGPSVFLFPPKP  
KDITLMISRTPETVCVVVDVSHEDPEVKFNWYVDGVEVHNAKTKPREEQYNSTYRVVSVLTVL  
HQDWLNGKEYKCKVSNKALPAPIEKTKAKGQPREPQVYTLPPSRDELTKNQVSLTCLVKGF  
YPSDIAVEWESNGQPENNYKTTTPVLDSDGSFFLYSKLTVDKSRWQQGNVFSCSVMHEALHN  
HYTQKSLSLSPGK
- [0194] 경쇄 키메라:  
 QIVLSQSPAILSASPGEKVTMTCRASSSVSYIHWYQQKPGSSPKPWIYATSNLASGVVRFSGSG
- [0195] SGGTSYSLTISRVEAEDAATYYCQQWTFNPPTFGGGTKLEIKRTVAAPSVFIAPPDEQLKSGTAS  
VVCLLNNFYPREAKVQWKVDNALQSGNSQESVTEQDSKDYSLSSITLTLKADYEKHKVYA  
CEVTHQGLSSPVTKSFNRGEC

[0196] **토시투무말**

[0197] **마우스-인간 키메라 항-CD20 중쇄 1:**

```
QAYLQQSGAELVRPGASVKMCKKASGYTFTSYNMHWVKQTPRQGLEWIGAIYPGNGDTSYN
QKFKGKATLTVDKSSSTAYMQLSSLTSEDSAVYFCARVVYYNSYWYFDVWGTGTTVTVSG
PSVFPLAPSSKSTSGGTAALGCLVKDYFPEPVTVSWNSGALTSGVHTFPAVLQSSGLYSLSSVV
TVPSSSLGTQTYICNVNHKPSNTKVDKKAEPKSCDKTHTCPPCPAPELLGGPSVFLFPPKPKDIL
MISRTPPEVTCVVVDVSHEDPEVKFNWYVDGVEVHNAKTKPREEQYNSTYRVVSVLTVLHQD
WLNKGKEYCKKVSINKALPAPIEKTKSKAKGQPREPQVYTLPPSRDELTKNQVSLTCLVKGFYPS
DIAVEWESNGQPENNYKTPPVLDSDGSFFLYSKLTVDKSRWQQGNVFCFSVMHEALHNHYT
QKSLSLSPGK
```

[0198]

[0199] **마우스-인간 키메라 항-CD20 경쇄 1:**

```
QIVLSQSPAILSASPGEKVTMTCRASSSVSYMHWYQQKPGSSPKPWIYAPSNLASGVPARFSGS
GSGTSYSLTISRVEAEDAATYYCQQWSFNPTFGAGTKLELKRTVAAPSVFIFPPSDEQLKSGT
ASVVCCLNNFYPREAKVQWKVDNALQSGNSQESVTEQDSKDSYSTLSSTLTLSKADYEKHKV
YACEVTHQGLSSPVTKSFNR
```

[0200]

[0201] 비제한적인 예시적 항-항체형성 호르몬 분비 호르몬 수용체(LHRH-R) 항체 경쇄( $V_L$ ) 및 중쇄( $V_H$ ) 서열이 표 D에 기재되어 있다:

[0202] **표 D** (SEQ ID NOs.: 70-73)

[0203] (A) GHR-106의 면역글로블린 경쇄( $\kappa$ )

```

          천도
ATGGATTCACAGGCCACGGTCTCTAATATTGCTGCTGCTATGGGCTATCTGCTACCGTGTGGG
M D S Q A Q V L L L L L L W V S G T C G
          FR1
GACATTGTGATGTCACAGTCTCCATCCTCCTCGGCTGTGTGAGCAGGAGAGAGAGGTCACT
D I V M S Q S P S S L A V S A G E K V I
          CDR1
ATGAGCTGCAAAATCCAGTCCAGAGTCTGCTCAACAGTAGAACCCGAAAGAAC TACTTGGCT
M S C K S S Q S L L N S R T R N H Y L A
          FR2
          CDR3
TGGTACCAGCAGAAACCCAGGGGAGTCTCTAAACTGGTGATCTACTGGGCAATCCCACTAGG
W Y Q Q K P S Q S F K L L I Y W A S T R
          FR3
GAAATCTGGGGTCCCTGATCCCTTCACAGGCGGTGGATCTGSGACAGATTTCACTCTCACC
E S G V P D R F T G S G S G T D F T L I
          CDR5
ATCAGCAGTGTGCAGGCTGAAGACCTGGCAGTITATTACTGCAAGCAATCITATAATCIT
I S S V Q A E D L A V Y Y D K Q S Y N L
          FR4
TACAGCTTCGGAGCGGGGCAACCAAGCTGGAATAAAA
Y T F S G G T K L E I K
```

[0204]

[0205] **도 1A**



쇄(H), 경쇄(L), 또는 이들의 단편, 및 K 잔기 중 하나 이상이 F 또는 L 잔기로 치환되거나, F 잔기 중 하나 이상이 K, A 또는 L 잔기로 치환되거나, A 잔기 중 하나 이상이 K, F 또는 L 잔기로 치환된 KFAKFAKKFAKFAKK, KFAKFAKKFAKFAKKF, KFAKFAKKFAKFAKKFA, KFAKFAKKFAKFAKKFAK, KFAKFAKKFAKFAKKFAK, KFAKFAKKFAKFAKKFAKFA 또는 KFAKFAKKFAKFAKKFAKFAKFAKFAK(SAQ ID NOs.:1-7)와 같이 기재된 L-아미노산 또는 D-아미노산 서열을 포함하거나 이들로 구성된 제 2 용해 도메인을 포함한다. 또 다른 특정 구체예에서, 컨주게이트는 표적(예를 들어, 수용체, 예를 들어, Her2/neu 또는 CD20)에 결합하는 항체, 중쇄(H), 경쇄(L), 또는 이들의 단편, 및 K 잔기 중 하나 이상이 F 또는 L 잔기로 치환되거나, F 잔기 중 하나 이상이 K, A 또는 L 잔기로 치환되거나, A 잔기 중 하나 이상이 K, F 또는 L 잔기로 치환된 KFAKFAKKFAKFAKK, KFAKFAKKFAKFAKKF, KFAKFAKKFAKFAKKFA, KFAKFAKKFAKFAKKFAK, KFAKFAKKFAKFAKKFAK, KFAKFAKKFAKFAKKFAKFA 및 KFAKFAKKFAKFAKKFAKFAKFAKFAK(SAQ ID NOs.:1-7)(예를 들어, 12, 13, 14, 15, 16, 17, 18, 19, 20, 21, 22, 23, 24, 25, 26, 27 또는 28개의 잔기 길이)로부터 선택된 L-아미노산 또는 D-아미노산 서열로부터 선택된 L-아미노산 또는 D-아미노산 서열로 구성되는 제 2 도메인을 포함한다.

[0214] 용어 "동일성" 및 "상동성" 및 이의 문법상의 변형은 2개 이상의 언급된 존재물이 동일함을 의미한다. 따라서, 두 아미노산 서열이 동일한 경우, 이들은 동일한 아미노산 서열을 지닌다. "동일성 구역, 영역 또는 도메인"은 2개 이상의 언급된 존재물의 부분이 동일함을 의미한다. 따라서, 2개의 아미노산 서열이 하나 이상의 서열 영역에 걸쳐 동일하거나 상동인 경우, 이들은 이러한 영역에서 동일성을 공유한다. 핵산 서열에 관하여 사용될 때 용어 "상보적인"은 언급된 영역이 100% 상보적이고, 즉 미스매치 없이 100% 염기쌍 형성을 나타냄을 의미한다.

[0215] 구조적 및 기능적으로 관련된 단백질 사이에 서열 보존량의 변화로 인해, 기능 또는 활성(예를 들어, 표적 결합 또는 용해)을 보유하는데 요구되는 서열 동일성 양은 단백질, 영역 및 기능 또는 그 영역의 활성에 의존적이다. 예를 들어, 용해 펩티드 서열에 대해, 다수의 PNNPNNP 서열 반복 패턴 또는 모티프가 존재할 수 있으나, 하나 이상의 연속된 또는 불연속 PNNPNNP 서열 반복 패턴 또는 모티프가 존재할 필요는 없다.

[0216] 2개의 서열 사이의 동일성의 정도는 당 분야에 공지된 컴퓨터 프로그램 및 수학적 알고리즘을 이용하여 확인될 수 있다. 퍼센트 서열 동일성(상동성)을 계산하는 이러한 알고리즘은 일반적으로 비교 영역 상에서 서열 갭 및 미스매치를 설명한다. 예를 들어, BLAST(예를 들어, BLAST 2.0) 검색 알고리즘(예를 들어, 문헌[Altschul et al., *J. Mol. Biol.* 215:403 (1990)] 참조, NCBI를 통해 공개적으로 이용가능함)은 하기와 같은 예시적인 검색 파라미터를 지닌다: 미스매치 -2; 갭 오픈 5; 갭 연장 2. 폴리펩티드 서열 비교를 위해, BLASTP 알고리즘은 통상적으로 PAM100, PAM 250, BLOSUM 62 또는 BLOSUM 50과 같은 스코어링 매트릭스와 함께 사용된다. FASTA(예를 들어, FASTA2 및 FASTA3) 및 SSEARCH 서열 비교 프로그램을 또한 사용하여 동일성 정도를 정량한다(Pearson et al., *Proc. Natl. Acad. Sci. USA* 85:2444 (1988); Pearson, *Methods Mol Biol.* 132:185 (2000); 및 Smith et al., *J. Mol. Biol.* 147:195 (1981)). 델라우니(Delaunay)-기재 위상 맵핑을 이용하여 단백질의 구조적 유사성을 정량하기 위한 프로그램이 또한 개발되었다(Bostick et al., *Biochem Biophys Res Commun.* 304:320 (2003)).

[0217] 컨주게이트 아미노산 잔기는 공유 또는 비공유 결합에 의해 연결될 수 있다. 공유 결합의 비제한적인 예는 아미드 결합, 비-자연 및 비-아미드 화학 결합이며, 이는, 예를 들어, 글루타르알데하이드, N-하이드록시숙시이미드 에스테르, 이기능성 말레이미드, N,N'-디사이클로헥실카르보디이미드(DCC) 또는 N,N'-디이소프로필카르보디이미드(DIC)를 포함한다. 아미드 결합에 대안적인 결합기는, 예를 들어, 케토메틸렌(예를 들어, -C(=O)-NH-에 대해 -C(=O)-CH<sub>2</sub>-), 아미노메틸렌(CH<sub>2</sub>-NH), 에틸렌, 올레핀(CH=CH), 에테르(CH<sub>2</sub>-O), 티오에테르(CH<sub>2</sub>-S), 테트라졸(CN<sub>4</sub>-), 티아졸, 레트로아미드, 티오아미드, 또는 에스테르를 포함한다(예를 들어, 문헌[Spatola (1983) in Chemistry and Biochemistry of Amino Acids, Peptides and Proteins, Vol. 7, pp 267-357, "Peptide and Backbone Modifications," Marcel Decker, NY] 참조).

[0218] 용해 도메인(및 존재시 추가 도메인)은 항체, 항체 단편, 중쇄(H), 경쇄(L), 또는 항체의 중쇄(H) 또는 경쇄(L)의 단편 어디에도 위치될 수 있으나, 단, 용해 도메인(또는 임의의 추가 도메인)은 표적에 대한 결합을 파괴하지 않아야 한다. 비제한적인 위치는 항체 중쇄(H) 또는 경쇄(L)의 아미노-말단 또는 카르복실-말단에 위치한 용해 도메인을 포함한다. 추가 도메인이 존재하는 경우(예를 들어, 제 3, 제 4, 제 5, 제 6, 제 7 등의 도메인), 추가 도메인(들)은 또한 어디에도 위치될 수 있다.

[0219] 제 1 부분 항체, 중쇄(H), 경쇄(L), 및 이들의 단편, 및 제 2 (용해) 도메인(및 존재시 추가 도메인)은 공유 또는 비공유 결합에 의해 서로 융합되거나 연결될 수 있다. 제 1 부분 항체, 중쇄(H), 경쇄(L), 및 이들의 단편,

및 제 2 (용해) 도메인(및 존재시 추가 도메인)은 서로 바로 인접하여 존재할 수 있거나, 2개의 도메인 사이에 개재된 영역, 예를 들어, 힌지, 스페이스 또는 링커에 의해 떨어져 존재할 수 있다.

- [0220] 링커 또는 스페이스의 예는 비-펩티드 링커 또는 스페이스, 예를 들어, 연속 탄소 원자(C) 사슬(예를 들어, CCCC)을 포함한다. 다중-탄소 사슬은 카르복실산(예를 들어, 디카르복실산), 예를 들어, 글루타르산, 숙신산 및 아디프산을 포함한다. 특정한 비제한적인 예는 6 탄소 링커, 예를 들어, α-아미노-카프로산이다.
- [0221] 링커 또는 스페이스의 추가 예는 하나 이상의 아미노산 잔기, 예를 들어, 항체, 중쇄(H), 경쇄(L), 또는 이들의 단편, 및 제 2 (용해) 도메인(또는 존재시 추가 도메인) 사이에 위치한 하나 이상의 아미노산 잔기, 예를 들어, 펩티드 스페이스 또는 링커를 포함한다. 펩티드 스페이스 또는 링커 서열은 임의의 길이일 수 있으나, 통상적으로 약 1-10개, 10-20개, 20-30개, 30-40개, 또는 40-50개의 아미노산 잔기 범위일 수 있다. 특정 구체예에서, 2개(또는 그 초과)의 도메인 사이에 위치한 펩티드 스페이스 또는 링커는 1 내지 5개, 1 내지 10개, 1 내지 20개, 1 내지 25개의 L-아미노산 또는 D-아미노산 잔기, 또는 1 내지 4개, 1 내지 6개 또는 1 내지 8개의 L-아미노산 또는 D-아미노산 잔기이다. 제 1 및 제 2 도메인 사이에 위치한 서열 내에 포함되는 특정 아미노산 잔기는 A, S 또는 G 아미노산 잔기 중 하나 이상을 포함한다. 제 1 및 제 2 도메인 사이에 위치한 펩티드의 특정한 비제한적인 예는 GSGGS(SEQ ID NO.:9), ASAAS(SEQ ID NO.:8) 또는 다수의 특정 링커 서열 (GSGGS(SEQ ID NO.:9)<sub>n</sub> 또는 (ASAAS(SEQ ID NO.:8))<sub>n</sub>(여기서, n=1-5, 5-10, 10-20 등임)로 기재되거나 이들 내의 서열을 포함한다. 아미노산 및 펩티드의 유도체는 2개(또는 그 초과)의 도메인 사이에 위치될 수 있다. 아미노산 유도체의 특정한 비제한적인 예는 리신 유도체이다.
- [0222] 스페이스 또는 링커, 또는 제 3, 제 4, 제 5, 제 6, 제 7 등의 도메인을 갖거나 이들을 갖지 않는 컨주게이트는 자연 아미노산 또는 합성의 비-자연 아미노산 또는 아미노산 유사체로 전적으로 구성될 수 있거나, 유도체화된 형태를 포함할 수 있다. 다양한 구체예에서, 컨주게이트는 항체, 중쇄(H), 경쇄(L), 또는 이들의 단편, 및/또는 제 2 (용해) 도메인(및 존재시 추가 도메인) 내에 하나 이상의 D-아미노산, D-아미노산 및 L-아미노산의 혼합물, 또는 D-아미노산 잔기로 전적으로 구성된 서열을 포함한다.
- [0223] 컨주게이트는 a) 자연 아미드 결합("펩티드 결합") 결합이 아닌 잔기 결합 그룹; b) 자연 발생 아미노산 대신의 비-자연 잔기; 또는 c) 이차 구조 모방을 유도하는, 즉, 이차 구조, 예를 들어, 알파 헬릭스 형태를 유도하거나 안정화시키는 잔기의 통상적으로 3개의 구조적 그룹으로부터 유래되는 비-자연 성분의 임의의 혼합물을 함유할 수 있다. 컨주게이트는 고리형 구조, 예를 들어, 분자의 아미노-말단과 카르복시-말단 사이의 말단-말단 아미드 결합 또는 분자내 또는 분자간 이황화 결합(들)을 포함한다. 컨주게이트는 시험관내 또는 생체내에서 변형될 수 있고, 예를 들어, 당 또는 탄수화물 잔기, 포스페이팅, 지방산, 지질 등을 포함하도록, 예를 들어, 번역후 변형될 수 있다.
- [0224] 첨가의 특정 예는 제 3, 제 4, 제 5, 제 6 또는 제 7 도메인을 포함한다. 따라서, 2개의 도메인을 갖는 컨주게이트는 별개 또는 상보적 기능 또는 활성을 제공하기 위해 이에 공유적으로 연결된 하나 이상의 추가 도메인(제 3, 제 4, 제 5, 제 6, 제 7 등)을 포함할 수 있다. 예시적인 추가 도메인은, 예를 들어, 고정된 금속에 대한 정제를 가능케 하는 금속 킬레이트화 펩티드, 예를 들어, 폴리히스티딘 트랙 및 히스티딘-트립토판 모듈; 고정된 면역글로불린에 대한 정제를 가능케 하는 단백질 A 결합 도메인; 및 FLAGS 연장/친화성 정제 시스템(Immunex Corp, Seattle WA)에서 이용되는 도메인을 포함하는 분리를 촉진하는 도메인을 포함한다. 정제 도메인과 컨주게이트 사이의 분해성 서열, 예를 들어, 인자 Xa 또는 엔테로키나제의 임의의 포함이 정제를 촉진하기 위해 이용될 수 있다. 예를 들어, 발현 벡터는 6개의 히스티딘 잔기에 연결된 컨주게이트-인코딩 핵산 서열, 및 그 뒤에 티오레독신 및 엔테로키나제 분해 부위를 포함할 수 있다. 히스티딘 잔기는 컨주게이트의 검출 및 정제를 촉진하는 한편, 엔테로키나제 분해 부위는 나머지 단백질로부터 작제물을 정제하기 위한 수단을 제공한다(예를 들어, 문헌[roll, *DNA Cell. Biol.* 12:441 (1993)] 참조).
- [0225] 컨주게이트 활성은 다양한 요인에 의해 영향을 받을 수 있고, 따라서 컨주게이트는 하나 이상의 상기 요인을 고려하여 설계되거나 최적화될 수 있다. 상기 요인은, 예를 들어, 세포에 대한 독성에 영향을 미칠 수 있는 길이를 포함한다. 알파 헬릭스 형성 용해 펩티드 도메인의 세포 사멸 활성은 또한 헬릭스의 안정성에 좌우될 수 있다. 링커 및 스페이스는 용해 도메인의 막 상호작용 및 용해 도메인의 헬리칼 구조에 영향을 미칠 수 있다. 도메인에 존재하는 특정 아미노산 잔기에 의해 부분적으로 결정되는 용해 펩티드 도메인의 전하가 또한 세포 사멸 효능에 영향을 미친다. 용해 도메인(특정 아미노산 잔기, 또는 N-말단 또는 C-말단)과 비교한 항체, 중쇄(H), 경쇄(L), 및 제 2(용해) 도메인의 위치결정은 또한 컨주게이트의 세포 사멸 활성에 영향을 미칠 수 있다.
- [0226] 컨주게이트 생체내 반감기는 하나 이상의 비-자연 발생 아미노산 또는 유도체를 갖는 용해 펩티드 도메인을 작

제함으로써 증가될 수 있다. 예를 들어, D-아미노산을 갖는 컨주게이트(예를 들어, 모든 잔기의 30%, 40%, 50%, 60% 또는 그 초과까지가 D-거울상 이성질체임)는 혈청 단백질분해에 내성이 있으며, 따라서 더 긴 시간 동안 활성일 수 있어, 이에 의해 생체내 효능이 증가할 수 있다. 또한, 하나 이상의 비-자연 발생 아미노산 또는 유도체를 갖는 용해 펩티드 도메인을 삭제하는 것은 용혈 활성을 감소시킬 수 있다. 이러한 D-거울상 이성질체를 갖는 컨주게이트는 또한 용액 중에서 단량체가 되는 더 큰 경향을 가지며, 이들은 유의하게 응집되지 않는다.

[0227] 펩티드 및 펩티도미메틱이 당 분야에 공지된 방법을 이용하여 생성되고 분리될 수 있다. 펩티드는 당 분야에 공지된 화학적 방법을 이용하여 전체적으로 또는 부분적으로 합성될 수 있다(예를 들어, 문헌[Caruthers (1980). *Nucleic Acids Res. Symp. Ser.* 215; Horn (1980); and Banga, A.K., Therapeutic Peptides and Proteins, Formulation, Processing and Delivery Systems (1995) Technomic Publishing Co., Lancaster, PA] 참조). 펩티드 합성은 다양한 고체상 기술을 이용하여 수행될 수 있고(예를 들어, 문헌[Roberge *Science* 269:202 (1995); Merrifield, *Methods Enzymol.* 289:3(1997)] 참조), 자동화된 합성은, 예를 들어, 제조업체의 설명서에 따라 ABI 431A Peptide Synthesizer(Perkin Elmer)를 이용하여 달성될 수 있다. 펩티드 및 펩티드 모방체는 또한 조합 방법을 이용하여 합성될 수 있다. 합성 잔기 및 폴리펩티드 포함 모방체는 당 분야에 공지된 다양한 절차 및 방법을 이용하여 합성될 수 있다(예를 들어, 문헌[*Organic Syntheses* Collective Volumes, Gilman, *et al.* (Eds) John Wiley & Sons, Inc., NY] 참조). 변형된 펩티드는 화학적 변형 방법에 의해 생성될 수 있다(예를 들어, 문헌[Belousov, *Nucleic Acids Res.* 25:3440 (1997); Frenkel, *Free Radic. Biol. Med.* 19:373 (1995); 및 Blommers, *Biochemistry* 33:7886 (1994)] 참조).

[0228] 본 발명은 본 발명의 컨주게이트(및 이의 일부, 중쇄(H), 경쇄(L), 및 이들의 단편, 및 제 2 (용해) 도메인, 및 존재시 추가 도메인)를 인코딩하는 핵산, 및 컨주게이트를 인코딩하는 핵산을 포함하는 벡터를 추가로 제공한다. 유전자, 폴리뉴클레오티드, 뉴클레오티드 서열, 프라이머, 올리고뉴클레오티드 또는 프로브로 또한 언급될 수 있는 핵산은 임의의 길이의 자연 또는 변형된 퓨린-함유 및 피리미딘-함유 중합체, 폴리리보뉴클레오티드 또는 폴리데옥시리보뉴클레오티드 또는 이들의 혼합된 폴리리보-폴리데옥시리보 뉴클레오티드 및 α-아노머 형태를 나타낸다. 2개 이상의 퓨린-함유 및 피리미딘-함유 중합체는 통상적으로 포스포에스테르 결합 또는 이의 유사체에 의해 결합된다. 상기 용어는 데옥시리보핵산(DNA) 및 리보핵산(RNA)을 포함하는 핵산의 모든 형태를 나타낸다. 핵산은 단일 가닥, 이중 가닥, 또는 삼중가닥, 선형 또는 원형일 수 있다. 핵산은 유전체 DNA, cDNA, 및 안티센스를 포함한다. RNA 핵산은 스플라이싱되거나 스플라이싱되지 않은 mRNA, rRNA, tRNA 또는 안티센스일 수 있다. 핵산은 자연 발생, 합성, 뿐만 아니라 뉴클레오티드 유사체 및 유도체를 포함한다.

[0229] 유전 부호의 축퇴의 결과로서, 핵산은 본 발명의 컨주게이트를 인코딩하는 서열과 관련된 서열 축퇴를 포함한다. 따라서, 컨주게이트를 인코딩하는 축퇴 핵산 서열이 제공된다.

[0230] 핵산은 임의의 다양한 공지된 표준 클로닝 및 화학적 합성 방법을 이용하여 생성될 수 있고, 당업자에게 공지된 부위-특이적 돌연변이유발 또는 다른 재조합 기술에 의해 고의로 변화될 수 있다. 폴리뉴클레오티드의 순도는 서열분석, 젤 전기영동, UV 분광법을 통해 결정될 수 있다.

[0231] 핵산은 핵산의 발현이 본원에서 "발현 카세트"로서 언급되는 "발현 조절 요소"에 의해 영향을 받거나 조절되는 핵산 작제물로 삽입될 수 있다. 용어 "발현 조절 요소"는 작동 가능하게 연결된 핵산 서열의 발현을 조절하거나 영향을 미치는 하나 이상의 핵산 서열 요소를 나타낸다. 발현 조절 요소는 적절한 경우 단백질-인코딩 유전자 앞에 프로모터, 인핸서, 전사 종료자, 유전자 사일런서(silencer), 개시 코돈(예를 들어, ATG) 등을 포함할 수 있다.

[0232] 핵산 서열에 작동 가능하게 연결된 발현 조절 요소는 핵산 서열의 전사 및 적절한 경우 번역을 조절한다. 용어 "작동 가능하게 연결된"은 언급된 구성요소가 이들의 의도된 방식으로 기능하도록 하는 관계에 있는 근접위치를 나타낸다. 통상적으로, 발현 조절 요소는 유전자의 5' 또는 3' 말단에 나란히 놓여지나 또한 인트론에 존재할 수 있다.

[0233] 발현 조절 요소는 유도성이거나(즉, 활성화를 위해 외부 시그널을 필요로 함) 또는 탈억제성인(즉, 전사를 전환시키기 위해 시그널을 필요로 함; 시그널이 더 이상 존재하지 않는 경우, 전사는 활성화되거나 "탈억제됨"), 항시적으로 전사를 활성화시키는 요소를 포함한다. 또한, 본 발명의 발현 카세트에는 유전자 발현이 특이적 세포-유형 또는 조직에 대해 조절가능하도록 하기에 충분한 조절 요소(즉, 조직-특이적 조절 요소)가 포함된다. 통상적으로, 상기 요소는 코딩 서열의 업스트림 또는 다운스트림(즉, 5' 및 3')에 위치된다. 프로모터는 일반적으로 코딩 서열의 5' 측에 위치된다. 재조합 DNA 또는 합성 기술에 의해 생성된 프로모터를 이용하여 본 발명

의 폴리뉴클레오티드의 전사를 제공할 수 있다. "프로모터"는 전사를 유도하기에 충분한 최소의 서열 요소를 의미한다.

- [0234] 핵산은 숙주 세포로의 증식을 위해 그리고 요망되는 경우 후속하는 유전적 조작을 위해 플라스미드에 삽입될 수 있다. 플라스미드는 숙주 세포에서 안정적으로 증식될 수 있는 핵산이며, 플라스미드는 핵산의 발현을 유도하기 위해 발현 조절 요소를 임의로 함유할 수 있다. 벡터는 본원에서 플라스미드와 동의어로 사용되며, 또한 숙주 세포에서의 발현을 위한 발현 조절 요소를 포함할 수 있다. 플라스미드 및 벡터는 일반적으로 세포 및 프로모터에서의 증식을 위한 복제 기점을 적어도 함유한다. 따라서 플라스미드 및 벡터는 핵산을 인코딩하는 컨주게이트의 유전적 조작에 유용하여, 컨주게이트 또는 안티센스 핵산을 생성하고, 예를 들어, 숙주 세포 및 유기체에서 컨주게이트를 발현시킨다.
- [0235] 박테리아 시스템 프로모터는 T7 및 유도성 프로모터, 예를 들어, 박테리오파지  $\lambda$ 의 pL, plac, ptrp, ptac(ptrp-lac 하이브리드 프로모터) 및 테트라사이클린 반응성 프로모터를 포함한다. 곤충 세포 시스템 프로모터는 항시성 또는 유도성 프로모터(예를 들어, 엑디손(ecdysone))를 포함한다. 포유동물 세포 항시성 프로모터는 SV40, RSV, 소 유두종 바이러스(BPV) 및 기타 바이러스 프로모터, 또는 포유동물 세포의 유전체(예를 들어, 메탈로티오네인 IIA 프로모터; 열 충격 프로모터) 또는 포유동물 바이러스(예를 들어, 아데노바이러스 후기(late) 프로모터; 유도성 마우스 유암 바이러스 긴 말단 반복)로부터 유래된 유도성 프로모터를 포함한다. 대안적으로, 레트로바이러스 유전체는 적절한 숙주 세포에서 컨주게이트를 도입하고 이의 발현을 유도하도록 유전학적으로 변형될 수 있다.
- [0236] 발현 시스템은 생체내 사용을 위해 설계된 벡터를 추가로 포함한다. 특정한 비제한적인 예는 아데노바이러스 벡터(U.S. Patent Nos. 5,700,470 및 5,731,172), 아데노-관련 벡터(U.S. Patent No. 5,604,090), 단순 헤르페스 바이러스 벡터(U.S. Patent No. 5,501,979), 레트로바이러스 벡터(U.S. Patent Nos. 5,624,820, 5,693,508 및 5,674,703), BPV 벡터(U.S. Patent No. 5,719,054) 및 CMV 벡터(U.S. Patent No. 5,561,063)을 포함한다.
- [0237] 효모 벡터는 항시성 및 유도성 프로모터(예를 들어, 문헌[Ausubel et al., In: Current Protocols in Molecular Biology, Vol. 2, Ch. 13, ed., Greene Publish. Assoc. & Wiley Interscience, 1988; Grant et al. Methods in Enzymology, 153:516 (1987), eds. Wu & Grossman; Bitter Methods in Enzymology, 152:673 (1987), eds. Berger & Kimmel, Acad. Press, N.Y.; 및, Strathern et al., The Molecular Biology of the Yeast Saccharomyces (1982) eds. Cold Spring Harbor Press, Vols. I and II] 참조)를 포함한다. ADH 또는 LEU2와 같은 항시성 효모 프로모터 또는 GAL과 같은 유도성 프로모터가 이용될 수 있다(R. Rothstein In: DNA Cloning, A Practical Approach, Vol.11, Ch. 3, ed. D.M. Glover, IRL Press, Wash., D.C., 1986). 예를 들어 동종 재조합을 통한 외래 핵산 서열의 효모 염색체로의 통합을 촉진하는 벡터가 당 분야에 공지되어 있다. 삽입된 폴리뉴클레오티드가 더 통상적인 벡터에 비해 지나치게 큰 경우(예를 들어, 약 12 Kb 초과), 효모 인공 염색체(YAC)가 통상적으로 사용된다.
- [0238] 발현 벡터는 또한 선택압 또는 인식가능한 마커(예를 들어, 베타-갈락토시다제)에 내성을 부여하는 선택가능한 마커를 함유할 수 있어, 벡터를 갖는 세포가 선택되고, 성장하고, 확장되도록 한다. 대안적으로, 선택가능한 마커는 컨주게이트를 인코딩하는 핵산을 함유하는 제 1 벡터와 함께 숙주 세포로 공트랜스펙션되는 제 2 벡터 상에 있을 수 있다.
- [0239] 선택 시스템은 각각 tk<sup>-</sup>, hgp<sup>r</sup>t<sup>-</sup> 또는 apr<sup>t</sup><sup>-</sup> 세포에서 이용될 수 있는 단순 헤르페스 바이러스 티미딘 키나제 유전자(Wigler et al., *Cell* 11:223 (1977)), 하이포잔틴-구아닌 포스포리보실트랜스페라제 유전자(Szybalska et al., *Proc. Natl. Acad. Sci. USA* 48:2026 (1962)), 및 아데닌 포스포리보실트랜스페라제(Lowy et al., *Cell* 22:817 (1980)) 유전자를 포함하나 이로 제한되지 않는다. 추가로, 향대사물 내성은 메토틱세이트에 대해 내성을 부여하는 dhfr(O'Hare et al., *Proc. Natl. Acad. Sci. USA* 78:1527 (1981)); 미코페놀산에 대해 내성을 부여하는 gpt 유전자(Mulligan et al., *Proc. Natl. Acad. Sci. USA* 78:2072 (1981)); 아미노글리코사이드 G-418에 대해 내성을 부여하는 네오마이신 유전자(Colberre-Garapin et al., *J. Mol. Biol.* 150:1(1981)); 푸로마이신; 및 하이그로마이신에 대해 내성을 부여하는 하이그로마이신 유전자(Santerre et al., *Gene* 30:147 (1984))에 대한 선택의 기초로서 사용될 수 있다. 추가의 선택가능한 유전자는, 세포가 트립토판 대신 인돌을 사용하도록 하는 trpB; 세포가 히스티딘 대신 히스티놀을 사용하도록 하는 hisD(Hartman et al., *Proc. Natl. Acad. Sci. USA* 85:8047 (1988)); 및 오르니틴 데카르복실라제 억제제인 2-(디플루오로메틸)-DL-오르니틴, DFMO에 대해 내성을 부여하는 ODC(오르니틴 데카르복실라제)를 포함한다(McConlogue (1987) In: *Current Communications in Molecular Biology*, Cold Spring Harbor Laboratory).

- [0240] 컨주게이트를 발현하는 숙주 세포, 및 컨주게이트를 인코딩하는 핵산(예를 들어, 항체, 중쇄(H), 경쇄(L), 및 이들의 단편, 및 제 2 (용해) 도메인, 및 존재시 추가 도메인) 및 컨주게이트를 인코딩하는 핵산을 포함하는 벡터로 형질전환된 숙주 세포가 또한 제공된다. 한 구체예에서, 숙주 세포는 원핵생물 세포이다. 또 다른 구체예에서, 숙주 세포는 진핵생물 세포이다. 다양한 양태에서, 진핵생물 세포는 효모 또는 포유동물(예를 들어, 사람, 영장류 등) 세포이다.
- [0241] 본원에서 사용되는 "숙주 세포"는 증식될 수 있거나, 전사될 수 있거나, 컨주게이트를 발현하도록 인코딩될 수 있는 핵산이 도입되는 세포이다. 상기 용어는 또한 숙주 세포의 임의의 자손 또는 서브클론을 포함한다. 숙주 세포는 컨주게이트를 발현하는 세포를 포함한다.
- [0242] 숙주 세포는 박테리아 및 효모와 같은 미생물; 및 식물, 곤충 및 포유동물 세포를 포함하나 이에 제한되지 않는다. 예를 들어, 재조합 박테리오파지 핵산, 플라스미드 핵산 또는 코스미드 핵산 발현 벡터로 형질전환된 박테리아; 재조합 효모 발현 벡터로 형질전환된 효모; 재조합 바이러스 발현 벡터(예를 들어, 양배추꽃 모자이크 바이러스, CaMV; 담배 모자이크 바이러스, TMV)로 감염되거나 재조합 플라스미드 발현 벡터(예를 들어, Ti 플라스미드)로 형질전환된 식물 세포 시스템; 재조합 바이러스 발현 벡터(예를 들어, 배칼로바이러스)로 감염된 곤충 세포 시스템; 및 재조합 바이러스 발현 벡터(예를 들어, 레트로바이러스, 아데노바이러스, 백시니아 바이러스)로 감염된 동물 세포 시스템, 또는 일시적이거나 안정한 증식 또는 발현을 위해 조작된 형질전환된 동물 세포 시스템이 있다.
- [0243] 항체 및 폴리펩티드 컨주게이트, 컨주게이트를 인코딩하는 핵산, 및 벡터 및 컨주게이트를 발현시키거나 컨주게이트를 인코딩하는 핵산으로 형질전환된 숙주 세포는 분리되거나 정제된 형태를 포함한다. 본 조성물의 수식어구로서 사용된 용어 "분리된"은 조성물이 실제로 완전히 또는 적어도 부분적으로 자연 발생 생체내 환경으로부터 사람 손에 의해 만들어지거나 분리됨을 의미한다. 일반적으로, 분리된 조성물에는 자연상태에서 이와 정상적으로 회합되는 하나 이상의 물질, 예를 들어, 하나 이상의 단백질, 핵산, 지질, 탄수화물, 세포막이 실제로 없다. 용어 "분리된"은 다합체/올리고머, 변이체, 변형체 또는 유도체화된 형태와 같은 조성물의 대안적인 물리적 형태, 또는 사람 손에 의해 생성된 숙주 세포에서 발현된 형태를 배제하지 않는다. 용어 "분리된"은 또한 그 중 어느 하나가 사람 손에 의해 제조된, 조합물로서 존재하는 형태(예를 들어, 약학적 제형 및 조합 조성물)를 배제하지 않는다.
- [0244] "분리된" 조성물은 또한 자연상태에서 이와 통상적으로 회합되는 물질들 중 일부, 실질적인 수, 대부분 또는 전부가 없을 때 "정제"된 것일 수 있다. 따라서, 실질적으로 순수한 분리된 컨주게이트는, 예를 들어, 단백질 라이브러리의 단백질 또는 유전체 또는 cDNA 라이브러리에 있는 핵산과 같이, 수 백만의 다른 서열 중에 존재하는 폴리펩티드 또는 폴리뉴클레오티드를 포함하지 않는다. "정제된" 조성물은 하나 이상의 다른 분자와 조합될 수 있다.
- [0245] 본 발명에 따르면, 컨주게이트와 조합 조성물의 혼합물이 제공된다. 한 구체예에서, 혼합물은 하나 이상의 컨주게이트와 약학적으로 허용되는 담체 또는 부형제를 포함한다. 또 다른 구체예에서, 혼합물은 하나 이상의 컨주게이트와 항-세포 증식, 항-종양, 항-암 또는 항-신생물 치료제 또는 작용제를 포함한다. 추가의 구체예에서, 혼합물은 하나 이상의 컨주게이트와 면역 향상제를 포함한다. 항-세포 증식, 항-종양, 항-암 또는 항-신생물 치료제 또는 작용제, 및 면역 향상 치료제 또는 작용제 중 하나 이상과 함께, 약학적으로 허용되는 담체 또는 부형제에 존재하는 하나 이상의 컨주게이트와 같은 조합물이 또한 제공된다.
- [0246] 본 발명의 컨주게이트, 예를 들어, 표적(예를 들어, 수용체)에 결합하는 항체, 중쇄(H), 경쇄(L), 및 이들의 단편, 및 제 2 (용해) 도메인이 용해, 세포 사멸 또는 아포토시스를 위해 표적 세포에 대해 사용될 수 있다. 상기 세포는 선택적으로 표적화될 수 있다. 예를 들어, 수용체, 예를 들어, Her2/neu 또는 CD20을 발현하는 세포는 컨주게이트에 의해 표적화될 수 있어서, 임의의 수용체를 덜 발현하는 세포에 비해 우선적으로 사멸될 수 있다.
- [0247] 본 발명에 따르면, 표적(예를 들어, 수용체)을 발현하는 세포의 증식을 감소시키거나 억제하는 방법 및 용도, 및 세포 증식을 감소시키거나 억제하는 방법이 제공된다. 한 구체예에서, 상기 방법 또는 용도는 표적 발현 세포와 세포의 증식을 감소시키거나 억제하기에 충분한 양의 컨주게이트를 접촉시키는 것을 포함한다. 또 다른 구체예에서, 상기 방법은 표적 발현 세포와 세포 증식을 감소시키거나 억제하기에 충분한 양의 컨주게이트를 접촉시키는 것을 포함한다.
- [0248] 또한, 표적(예를 들어, 수용체)을 발현하는 과증식 세포의 증식을 감소시키거나 억제하는 방법 및 용도, 및 표

적(예를 들어, 수용체)을 발현하는 과증식하는 세포의 증식을 감소시키거나 억제하는 방법 및 용도가 제공된다. 한 구체예에서, 상기 방법 또는 용도는 과증식 표적 발현 세포 또는 과증식하는 표적 발현 세포와 증식을 감소시키거나 억제하기에 충분한 양의 컨주게이트를 접촉시키는 것을 포함한다.

- [0249] 표적(예를 들어, 수용체)을 발현하는 비-전이성 또는 전이성 신생물, 암, 종양 및 악성종양 세포의 증식을 감소시키거나 억제하는 방법 및 용도가 추가로 제공된다. 한 구체예에서, 상기 방법 또는 용도는 신생물, 암, 종양 또는 악성종양 표적 발현 세포와 표적 발현 세포의 증식을 감소시키거나 억제하기에 충분한 양의 컨주게이트를 접촉시키는 것을 포함한다.
- [0250] 표적(예를 들어, 수용체)을 발현하는 잠복 또는 분열하지 않는 비-전이성 또는 전이성 신생물, 암, 종양 및 악성종양 세포의 증식을 감소시키거나 억제하는 방법 및 용도가 또한 추가로 제공된다. 한 구체예에서, 상기 방법 또는 용도는 잠복 또는 분열하지 않는 신생물, 암, 종양 또는 악성종양 표적 발현 세포와 잠복 또는 분열하지 않는 세포의 증식을 감소시키거나 억제하기에 충분한 양의 컨주게이트를 접촉시키는 것을 포함한다.
- [0251] 표적(예를 들어, 수용체)을 발현하는 세포(예를 들어, 과증식하는 세포)의 증식을 선택적으로 감소시키거나 억제하는 방법 및 용도가 추가로 제공된다. 한 구체예에서, 상기 방법 또는 용도는 표적 발현 세포와 세포(예를 들어, 과증식하는 세포)의 증식을 감소시키거나 억제하기에 충분한 양의 컨주게이트를 접촉시키는 것을 포함하며, 상기 컨주게이트는 세포에 의해 발현된 표적(예를 들어, 수용체)에 결합한다.
- [0252] 표적(예를 들어, 수용체)을 발현하는 신생물, 종양, 암 또는 악성종양 세포의 증식을 선택적으로 감소시키거나 억제하는 방법 및 용도가 또한 추가로 제공된다. 한 구체예에서, 상기 방법 또는 용도는 세포와 신생물, 종양, 암 또는 악성종양 세포의 증식을 감소시키거나 억제하기에 충분한 양의 컨주게이트를 접촉시키는 것을 포함하며, 상기 컨주게이트는 세포에 의해 발현된 표적(예를 들어, 수용체)에 결합한다.
- [0253] 용어 "접촉시키는"은 두개 이상의 존재물 사이(예를 들어, 컨주게이트와 표적 및/또는 세포 사이)의 직접적 또는 간접적 결합 또는 상호작용을 의미한다. 본원에서 사용되는 접촉은 용액에서, 고체 상에서, 시험관내에서, 생체외에서, 세포에서 및 생체내에서의 접촉을 포함한다. 생체내에서의 접촉은 투여하는, 또는 투여 또는 전달로 언급될 수 있다.
- [0254] 증식을 비선택적으로 또는 선택적으로 감소시키거나 억제하기 위해 표적화되는 세포는 표적(예를 들어, 수용체)을 발현하는 세포를 포함한다. 비제한적인 예시적 세포는 유방, 난소, 자궁, 자궁경부, 복부, 폐, 위, 결장, 방광, 아교, 피부(예를 들어, 멜라닌세포), 혈액 및 자궁내막 세포를 포함한다.
- [0255] 본 발명의 컨주게이트 및 방법 및 용도는 또한 표적(예를 들어, 수용체)을 발현하는 세포를 포함하는 요망되지 않거나 비정상적인 세포 증식 및 과증식 장애를 치료하는데 적용가능하다. 따라서, 본 발명에 따르면, 요망되지 않거나 비정상적인 세포 증식 및 과증식 장애를 치료하는 방법 및 용도가 제공된다. 한 구체예에서, 상기 방법 또는 용도는 요망되지 않거나 비정상적인 세포 증식 또는 과증식 장애를 치료하기에 충분한 컨주게이트의 양을 대상체(치료를 필요로 함)에 투여하는 것을 포함한다.
- [0256] 용어 "과증식 장애"는 임의의 요망되지 않거나 비정상적인 세포 생존(예를 들어, 프로그램화된 세포 사멸 또는 아포토시스를 겪는데 실패), 성장 또는 증식을 나타낸다. 상기 장애는 양성 과다형성, 비-전이성 및 전이성 신생물, 암, 종양 및 악성종양을 포함한다. 요망되지 않거나 비정상적인 세포 증식 및 과증식 장애는 임의의 대상체의 세포, 조직, 기관에 영향을 미칠 수 있다. 요망되지 않거나 비정상적인 세포 증식 및 과증식 장애가 대상체에 국소적, 국부적 또는 전신적으로 존재할 수 있다. 과증식 장애는 다른 이차 부위, 영역 또는 위치로 전이되거나 전이되지 않을 수 있는 유방, 폐(예를 들어, 소세포 또는 비소세포), 갑상샘, 두경부, 뇌, 코인두, 인후, 코 또는 굴, 림프, 부신, 뇌하수체, 갑상샘, 림프, 위장(구강, 식도, 위, 십이지장, 회장, 공장(소장), 결장, 직장), 비뇨생식관(자궁, 난소, 질, 자궁경부, 자궁내막, 난관, 방광, 고환, 음경, 전립선), 신장, 췌장, 간, 뼈, 골수, 림프, 피(혈액), 뇌(아교), 근육, 피부, 피부(멜라닌세포), 및 줄기 세포를 포함하나, 이에 제한되는 않는 다수의 조직 및 기관으로부터 발생할 수 있다.
- [0257] 본 발명의 컨주게이트 및 방법 및 용도는 또한 임의의 세포, 기관 또는 조직 기원의 전이성 또는 비전이성 종양, 암, 악성종양 또는 신생물에 적용가능하다. 상기 장애는 임의의 세포 또는 조직 유형, 예를 들어, 암종, 육종, 흑색종, 신경, 및 그물내피 또는 조혈 신생물 장애(예를 들어, 골수종, 림프종 또는 백혈병)에 실질적으로 영향을 미칠 수 있다.
- [0258] 본원에서 사용되는 용어 "신생물" 및 "종양"은 정상 대응부 세포의 성장, 증식 또는 생존보다 성장, 증식 또는 생존이 더 큰 세포 또는 세포의 집단, 예를 들어, 세포 증식 또는 분화 장애를 나타낸다. 종양은 별개의 덩어리

리 또는 성장을 형성하는 신생물이다. "암" 또는 "악성종양"은 인접한 공간, 조직 또는 기관을 침습할 수 있는 신생물 또는 종양을 나타낸다. "전이"는 이의 원발성 부위로부터 대상체 내의 하나 이상의 이차 부위, 위치 또는 영역으로 전이되거나 퍼지는 신생물, 종양, 암 또는 악성종양이며, 상기 부위, 위치 또는 영역은 원발성 종양 또는 암과 별개이다. 상기 세포의 전부 또는 일부는 표적(예를 들어, 수용체)을 발현할 수 있고, 따라서 본 발명에 따른 컨쥬게이트로 표적화될 수 있다.

- [0259] 신생물, 종양, 암 및 악성종양 세포(전이성 또는 비-전이성)는 잠복 또는 남아있는 신생물, 종양, 암 및 악성종양 세포를 포함하며, 이의 전부 또는 일부는 표적(예를 들어, 수용체)을 발현한다. 상기 세포는 통상적으로 분열되지 않은(G0-G1 정지) 잔유물 종양 세포로 구성된다. 이들 세포는 최소 한도의 남아 있는 질병으로서 원발성 부위에 또는 전이된 신생물, 종양, 암 또는 악성종양 세포로서 존속할 수 있다. 이들 잠복 신생물, 종양, 암 또는 악성종양 세포는 증상이 없는 (un symptomatic) 채로 남아 있으나, 일단 이들 잠복 세포가 증식하면 심각한 증상 및 사멸을 초래할 수 있다. 본 발명의 방법을 이용하여 잠복 신생물, 종양, 암 또는 악성종양 세포의 증식을 감소시키거나 억제시킬 수 있고, 이는 차례로 종양 또는 암 재발이나 종양 또는 암 전이 또는 진행을 억제하거나 감소시킬 수 있다.
- [0260] 본 발명에 따르면, 전이성 또는 비-전이성 종양, 암, 악성종양 또는 신생물을 갖는 대상체를 치료하는 방법이 제공된다. 한 구체예에서, 상기 방법은 전이성 또는 비-전이성 종양, 암, 악성종양 또는 신생물을 치료하기에 (예를 들어, 증식을 감소시키거나 억제하기에) 충분한 컨쥬게이트의 양을 대상체(치료를 필요로 함)에 투여하는 것을 포함한다.
- [0261] 전이성 또는 비-전이성 종양, 암, 악성종양 또는 신생물은 예를 들어, 초기이거나 진행된 것과 같은 임의의 단계일 수 있고, 예를 들어, I, II, III, IV 또는 V기 종양이다. 전이성 또는 비-전이성 종양, 암, 악성종양 또는 신생물은 사전 치료될 수 있거나 안정화되거나(진행하지 않음) 또는 소실될 수 있다.
- [0262] 전이와 관련하여, 본 발명의 방법을 이용하여 원발성 종양 또는 암의 다른 부위로의 전이, 또는 원발성 종양 또는 암으로부터 원위에 있는 다른 부위에서 전이성 종양 또는 암의 형성 또는 확립을 감소시키거나 억제함으로써 종양 또는 암 재발이나 종양 또는 암 진행을 억제하거나 감소시킬 수 있다. 따라서, 본 발명의 방법은 특히 1) 잠재적으로 전이를 발생시키거나 전이를 발생시키는(예컨대, 전이된 종양 세포, DTC) 종양 또는 암 세포의 성장, 증식, 운동성 또는 침습성의 감소 또는 억제; 2) 원발성 종양 또는 암으로부터 원발성 종양 또는 암과 별개인 하나 이상의 다른 부위, 위치 또는 영역으로 발생하는 전이의 형성 또는 확립의 감소 또는 억제; 3) 전이가 형성되거나 확립된 후에 원발성 종양 또는 암과 별개인 하나 이상의 다른 부위, 위치 또는 영역에서의 전이의 성장 또는 증식의 감소 또는 억제; 및 4) 전이가 형성되거나 확립된 후 추가 전이의 형성 또는 확립의 감소 또는 억제를 포함한다.
- [0263] 전이성 또는 비-전이성 종양, 암, 악성종양 또는 신생물의 세포(이의 전부 또는 일부는 표적(예를 들어, 수용체)을 발현함)는 "고형" 세포 덩어리로 응집될 수 있거나 분산되거나 확산될 수 있다. "고형" 종양은 통상적으로 함께 응집하여 덩어리를 형성하는 암, 신생물 또는 전이를 나타낸다. 특정한 비제한적인 예는 유방, 난소, 자궁, 자궁경부, 복부, 폐, 위, 결장, 방광, 아교, 피부(예를 들어, 멜라닌세포) 및 자궁내막 종양/암을 포함한다.
- [0264] 상피 또는 내분비 조직의 악성종양을 나타내는 암종은 호흡계 암종, 위장계 암종, 비뇨생식계 암종, 고환 암종, 유방 암종, 전립선 암종, 내분비계 암종, 및 흑색종을 포함한다. 예시적인 암종으로는 자궁, 자궁경부, 폐, 전립선, 유방, 두경부, 결장, 췌장, 고환, 부신, 신장, 식도, 위, 간 및 난소로부터 형성된 것들을 포함한다. 상기 용어는 또한, 예를 들어, 암종성 및 육종성 조직으로 구성된 악성종양을 포함하는 암육종을 포함한다. 샘암종은 샘 조직의 암종을 포함하거나, 종양이 샘 유사 구조를 형성한다.
- [0265] 육종은 중간엽 세포 기원의 악성종양을 나타낸다. 예시적인 육종은, 예를 들어, 림프육종, 지방육종, 뼈육종, 연골육종, 평활근육종, 횡문근육종 및 섬유육종을 포함한다.
- [0266] 신경 신생물은 신경아교종, 아교모세포종, 수막종, 신경모세포종, 망막모세포종, 별아교세포종 및 핍지세포종을 포함한다.
- [0267] "액상 종양"은 통상적으로 고형 덩어리를 형성하지 않으므로, 자연상태에서 분산되거나 확산된 신생물을 나타낸다. 특정 예는 그물내피 또는 조혈계의 신생물, 예를 들어, 림프종, 골수종 및 백혈병을 포함한다. 백혈병의 비제한적인 예는 급성 및 만성 림프모구, 골수모구 및 다발 골수종을 포함한다. 통상적으로, 상기 질병은 충분히 하지 않게 분화된 급성 백혈병, 예를 들어, 적혈모구 백혈병 및 급성 거핵모구성 백혈병으로부터 발생한다. 특

정한 골수성 장애는 급성 전골수성 백혈병(APML), 급성 골수 백혈병(AML) 및 만성 골수 백혈병(CML)을 포함하나, 이에 제한되지는 않는다. 림프구 악성종양은 B-직계성 ALL(B-ALL) 및 T-직계성 ALL(T-ALL)을 포함하는 급성 림프모구 백혈병(ALL), 만성 림프성 백혈병(CLL), 전림프구성 백혈병(PLL), 털세포 백혈병(HLL) 및 발덴스트롬 마크로글로불린혈증(WM)을 포함하나, 이에 제한되지는 않는다. 특정한 악성 림프종은 비-호지킨 림프종 및 변이체, 말초 T 세포 림프종, 성인 T 세포 백혈병/림프종(ATL), 피부 T-세포 림프종(CTCL), 대과립 림프구성 백혈병(LGF), 호지킨병 및 리드-슈테르베르크병을 포함한다.

[0268] 본원에 개시된 바와 같이, 요망되지 않거나 비정상적인 세포 증식 또는 과증식 장애는 자궁, 유방, 질, 자궁경부, 자궁내막 및 자궁관에서 발생할 수 있다. 따라서, 본 발명에 따르면, 자궁, 유방, 질, 자궁경부, 자궁내막 및 자궁관 과증식 장애를 치료하는 방법 및 용도가 제공된다. 한 구체예에서, 상기 방법 또는 용도는 자궁, 유방, 질, 자궁경부, 자궁내막 또는 자궁관 과증식 장애를 치료하기에 충분한 컨쥬게이트의 양을 대상체에 투여하는 것을 포함한다.

[0269] 항-세포 증식 활성 또는 효과를 갖는 임의의 조성물, 치료, 프로토콜, 요법 또는 섭생은 컨쥬게이트와 조합될 수 있거나, 본 발명의 방법 또는 용도와 조합하여 사용될 수 있다. 따라서, 본 발명의 컨쥬게이트 및 방법 및 용도는 과증식 장애, 예를 들어, 종양, 암, 악성종양 또는 신생물 성장, 진행, 전이, 증식 또는 생존이나 시험관내 또는 생체내 악화를 억제하거나, 감소시키거나, 지연시키거나, 늦추거나, 감소시키거나 예방하는 임의의 다른 조성물, 치료, 프로토콜 또는 치료 섭생을 포함하는, 항-증식, 항-종양, 항-암, 항-신생물 및 항-전이 치료를 포함한다. 항-증식(예를 들어, 종양) 요법의 특정한 비제한적인 예는 화학요법, 면역요법, 방사선요법(이온화 또는 화학적), 국소 열(고열) 요법, 외과적 절제 및 예방접종을 포함한다. 컨쥬게이트는 항-세포 증식, 항-신생물, 항-종양, 항-암, 항-전이 또는 면역-항상 치료 또는 요법의 투여 또는 사용 전에, 실질적으로 동시에, 또는 이후에 투여될 수 있다. 컨쥬게이트는 항-세포 증식성, 항-신생물, 항-종양, 항-암, 항-전이 또는 면역-항상 치료 또는 요법, 전이성 또는 비-전이성 종양, 암, 악성종양 또는 신생물과의 조합 조성물로서 투여되거나 사용될 수 있다.

[0270] 항-증식, 항-신생물, 항-종양, 항-암 및 항-전이 조성물, 요법, 프로토콜 또는 치료는 세포 주기 진행 또는 세포 증식을 예방하거나, 붕괴시키거나, 방해하거나, 억제하거나, 지연시키거나; 아포토시스 또는 세포 사멸을 자극하거나 향상시키거나, 핵산 또는 단백질 합성 또는 대사를 억제하거나, 세포 분열을 억제하거나, 세포 생존 또는 필요한 세포 생존 인자, 성장 인자 또는 신호전달 경로(세포외 또는 세포내)의 생성 또는 이용을 저하시키거나, 감소시키거나, 억제하는 것들을 포함한다. 항-세포 증식, 항-신생물, 항-종양, 항-암 및 항-전이 활성을 갖는 화학제 부류의 비제한적인 예는 알킬화제, 항-대사물, 식물 추출물, 식물 알칼로이드, 니트로소우레아, 호르몬, 뉴클레오사이드 및 뉴클레오티드 유사체를 포함한다. 항-세포 증식, 항-신생물, 항-종양, 항-암 및 항-전이 활성을 갖는 약물의 특정 예는 사이클로포스파미드, 아자티오프린, 사이클로스포린 A, 프레드니솔론, 멜팔란, 클로람부실, 메칼로르에타민, 부술판, 메토트렉세이트, 6-머캅토피린, 티오구아닌, 5-플루오로우라실, 시토신 아라비노사이드, AZT, 5-아자시티딘(5-AZC) 및 5-아자시티딘 관련 화합물, 예를 들어, 데시타빈(5-아자-2' 데옥시시티딘), 시타라빈, 1-베타-D-아라비노푸라노실-5-아자시토신 및 디히드로-5-아자시티딘, 블레오마이신, 악티노마이신 D, 미트라마이신, 미토마이신 C, 카르무스틴, 로무스틴, 세무스틴, 스트렙토조토신, 하이드록시우레아, 시스플라틴, 미토탄, 프로카르바진, 다카르바진, 탁산(예를 들어, 탁솔 또는 파클리탁셀), 빈블라스틴, 빈크리스틴, 독소루비신 및 디브로모만니톨 등을 포함한다.

[0271] 컨쥬게이트 및 방법 및 용도에 적용가능한 추가의 작용제가 당업자에게 공지되어 있고, 이용될 수 있다. 예를 들어, 생물학적 약제, 예를 들어, 컨쥬게이션, 세포 성장 인자, 세포 생존 인자, 세포 분화 인자, 사이토카인 및 케모카인에 사용되는 항체와 상이한 항체가 투여되거나 사용될 수 있다. 모노클로날 항체의 비제한적인 예는 특히 본 발명에 따른 컨쥬게이트와 조합하여 사용될 수 있는 리툭시맵(Rituxan®), 트라스투주맵(Herceptin®), 퍼투주맵(Perjeta®), 베바시주맵(Avastin®), 라니비주맵(Lucentis®), 세톡시맵(Erbix®), 알렘투주맵(Campath®), 파니투주맵(Vectibix®), 이브리투모맵 티옥세탄(Zevalin®), 토시투모맵(Bexxar®), 이필리무맵(ipilimumab), 잘루투무맵(zalutumumab), 달로투주맵(dalotuzumab), 피지투무맵(figureumab), 라무시루맵(ramucirumab), 갈릭시맵(galiximab), 파를레투주맵(farletuzumab), 오크렐리주맵(ocrelizumab), 오파투무맵(Arzerra®), 토시투무맵, 이브리투모맵, 2F2(HuMax-CD20), 7D8, IgM2C6, IgG1 2C6, 11B8, B1, 2H7, LT20, 1F5 또는 AT80 다클리주맵(Zenapax®), 항-LHRH 수용체 항체, 예를 들어, 클론 A9E4, F1G4, AT2G7, GNRH03, GNRHR2 등을 포함한다.

[0272] 컨쥬게이트와의 사용에 적용가능한 다른 표적화된 약물은 키나제 억제제, 예를 들어, 이마티니브(imatinib)(Gleevec®), 제피티니브(gefitinib)(Iressa®), 보르트조미브(bortzomib)(Velcade®), 라파티니브

(lapatinib)(Tykerb®), 수니티니브(sunitinib)(Sutent®), 소라페니브(sorafenib)(Nexavar®), 닐로티니브(nilotinib)(Tasigna®) 등이다. 세포 성장 인자, 세포 생존 인자, 세포 분화 인자, 사이토카인 및 케모카인의 비제한적인 예는 IL-2, IL-1a, IL-1b, IL-3, IL-6, IL-7, 과립구-대식세포-집락 자극 인자(GM-CSF), IFN- $\gamma$ , IL-12, TNF- $\alpha$ , TNF $\beta$ , MIP-1 $\alpha$ , MIP-1 $\beta$ , RANTES, SDF-1, MCP-1, MCP-2, MCP-3, MCP-4, 에오타신(eotaxin), 에오타신-2, I-309/TCA3, ATAC, HCC-1, HCC-2, HCC-3, LARC/MIP-3 $\alpha$ , PARC, TARC, CKb, CKb6, CKb7, CKb8, CKb9, CKb11, CKb12, C10, IL-8, GRO $\alpha$ , GRO $\beta$ , ENA-78, GCP-2, PBP/CTAPIII-TG/NAP-2, Mig, PBSF/SDF-1 및 림포타틴(lymphotactin)을 포함한다.

[0273] 추가의 비제한적인 예는 세포 기반 요법을 포함하는 면역-항상 치료 및 요법을 포함한다. 특히, 면역-항상 치료 및 요법은 림프구, 형질 세포, 대식세포, 수지상 세포, NK 세포 및 B-세포를 투여하는 것을 포함한다.

[0274] 전이성 또는 비-전이성 종양, 암, 악성종양 또는 신생물을 치료하는 방법 및 용도, 전이성 또는 비-전이성 종양, 암, 악성종양 또는 신생물을 갖거나 가질 위험이 있기 때문에 치료를 필요로 하는 대상체를 치료하는 방법 및 용도, 및 항-증식성, 항-종양, 항-암, 항-신생물 또는 항-악성종양 요법의 효과를 증가시키거나 개선시키는 방법 및 용도가 제공된다. 각각의 구체예에서, 상기 방법 또는 용도는 전이성 또는 비-전이성 종양, 암, 악성종양 또는 신생물을 갖거나 그러한 위험이 있는 대상체에게 전이성 또는 비-전이성 종양, 암, 악성종양 또는 신생물을 치료하기에 충분한 양의 컨쥬게이트를 투여하고; 대상체에게 대상체를 치료하기에 충분한 컨쥬게이트의 양을 투여하고; 전이성 또는 비-전이성 종양, 암, 악성종양 또는 신생물 요법을 받고 있거나 받았던 대상체에게 항-증식, 항-종양, 항-암, 항-신생물 또는 항-악성종양 요법의 효과를 증가시키기에 충분한 컨쥬게이트의 양을 투여하는 것을 포함한다.

[0275] 본 발명의 방법 및 용도는 요망되지 않거나 비정상적인 세포 증식 또는 과증식 장애, 질병 또는 질환이 존재한다는 증거(예를 들어, 하나 이상의 증상)가 시작되기 전에(즉, 예방), 이와 동시에 또는 이후에 실시될 수 있다. 요망되지 않거나 비정상적인 세포 증식 또는 과증식 장애의 증상이 발생하기 전에, 동시에 또는 직후에 컨쥬게이트를 투여하거나 이용하는 것은 대상체에서 요망되지 않거나 비정상적인 세포 증식 또는 과증식 장애, 질병 또는 질환의 하나 이상의 증상의 발생, 빈도, 중증도, 진행 또는 기간을 감소시킬 수 있다. 또한, 요망되지 않거나 비정상적인 세포 증식 또는 과증식 장애, 질병 또는 질환의 하나 이상의 증상의 발생 이전에, 동시에 또는 직후에 컨쥬게이트를 투여하거나 이용하는 것은 대상체의 다른 부위, 영역, 조직 또는 기관으로의 과증식 하는 세포의 확산 또는 전이(예를 들어, 전이), 또는 대상체의 다른 부위, 영역, 조직 또는 기관에서의 과증식 하는 세포의 확립(예를 들어, 전이)을 억제하거나, 감소시키거나, 예방할 수 있다.

[0276] 본 발명의 컨쥬게이트 및 방법 및 용도, 예를 들어, 치료 방법 및 용도는 대상체에게 검출될 수 있거나 측정가능한 치료적 이익 또는 개선을 제공할 수 있다. 치료적 이익 또는 개선은 대상체에게 임의의 측정가능하거나 검출될 수 있는 객관적이거나 주관적, 일시적, 임시적 또는 보다 긴-기간의 이익이 되거나, 대상체의 조직, 기관, 세포 또는 세포 집단에서 질환, 장애 또는 질병에서의 어느 정도의 유해한 증상, 결과 또는 근원적인 원인의 개선이다.

[0277] 치료적 이익 및 개선은 장애, 질병 또는 질환과 관련된 하나 이상의 증상 또는 합병증의 발생, 빈도, 중증도, 진행 또는 기간을 감소시키거나 저하시키거나, 장애, 질병 또는 질환의 근원적인 원인 또는 수반하는 효과를 감소시키거나 저하시키는 것을 포함하나, 이에 제한되지는 않는다. 따라서, 본 발명의 컨쥬게이트 및 방법 및 용도는 대상체에게 치료적 이익 또는 개선을 제공하는 것을 포함한다.

[0278] 치료적 이익 또는 개선이 요망되는 결과인 본 발명의 방법 또는 용도에서, 컨쥬게이트는 치료가 필요한 대상체에게 충분하거나 효과적인 양으로 투여될 수 있다. "충분한 양" 또는 "효과적인 양"은 단일 또는 다중 용량으로, 단독으로 또는 하나 이상의 다른 조성물(치료제, 예를 들어, 화학치료제 또는 면역 자극 약물), 치료, 프로토콜 또는 치료적 섭생체와 함께, 임의의 기간(장기 또는 단기)의 검출가능한 반응, 대상체에서 임의의 측정가능하거나 검출가능한 정도의 또는 임의의 기간 동안(예를 들어, 수시간, 수일, 수개월, 수년 또는 치료됨) 요망되는 결과 또는 이익을 제공하는 것이 예상되는 양을 나타낸다. 장애, 질병 또는 질환 또는 증상의 진행 또는 악화를 감소시키거나 억제하는 것이 만족스러운 결과로 고려되나, 치료를 위한 용량 또는 "충분한 양" 또는 "효과적인 양"(예를 들어, 치료적 이익 또는 개선을 제공함)은 통상적으로 장애, 질병 또는 질환, 또는 장애, 질병 또는 질환의 하나, 다수 또는 모든 유해 증상, 결과 또는 합병증을 측정가능한 정도로 개선하는데 효과적이다.

[0279] 용어 "개선시키다"는 대상체 상태의 검출가능한 객관적이거나 주관적인 개선을 의미한다. 검출가능한 개선은 장애, 질병 또는 질환에 의해 야기되거나 이과 관련된 증상의 발생, 빈도, 중증도, 진행 또는 기간의 주관적이거나 객관적인 감소, 장애, 질병 또는 질환의 근원적인 원인 또는 결과의 개선, 또는 장애, 질병 또는 질환의

역전을 포함한다.

- [0280] 따라서, 치료 또는 용도는 장애, 질병 또는 질환, 또는 관련 증상 또는 결과, 또는 근원적인 원인의 억제, 감소 또는 예방; 장애, 질병, 질환, 증상 또는 결과, 또는 근원적인 원인의 진행 또는 악화의 억제, 감소 또는 예방; 또는 장애, 질병, 질환 또는 증상의 하나 이상의 추가 증상의 추가적인 악화 또는 발생의 억제, 감소 또는 예방을 발생시킬 수 있다. 따라서, 성공적인 치료 결과는 "치료적 효과" 또는 "이익"을 발생시키거나, 하나 이상의 증상의 발생, 빈도, 중증도, 진행 또는 기간 또는 대상체의 질환, 장애, 질병 또는 증상의 근원적인 원인 또는 결과의 억제, 감소 또는 예방을 발생시킨다. 따라서, 질환, 장애, 질병 또는 증상의 하나 이상의 근원적인 원인에 영향을 미치는 치료 방법 및 용도가 이로울 것으로 간주된다. 장애 또는 질환의 진행 또는 악화를 안정화 또는 억제시키는 것이 또한 성공적인 치료 결과이다.
- [0281] 따라서, 치료적 이익 또는 개선은 질환, 장애 또는 질병과 관련된 임의의 하나, 대부분 또는 모든 증상, 합병증, 결과 또는 근원적인 원인의 완전한 제거일 필요는 없다. 따라서, 만족스러운 중점은 대상체의 상태가 안정화되거나 점진적으로 개선되거나, 짧거나 긴 기간(수시간, 수일, 수주, 수개월 등)에 걸쳐 장애 또는 질병의 생리학적, 생화학적 또는 세포 소견 또는 특징 중 하나 이상의 발생, 빈도, 중증도, 진행 또는 기간의 부분적인 감소, 또는 하나 이상의 관련 유해 증상 또는 합병증 또는 결과 또는 근원적인 원인, 악화 또는 진행(예를 들어, 질환, 장애 또는 질병의 하나 이상의 증상 또는 합병증의 안정화)의 억제 또는 역전시에 달성된다.
- [0282] 특정 구체예에서, 치료 방법 또는 용도는 전이성 또는 비-전이성 종양, 암, 악성종양 또는 신생물 세포 질량, 부피, 크기 또는 세포 수의 부분적이거나 완전한 파괴를 발생시키거나; 전이성 또는 비-전이성 종양, 암, 악성종양 또는 신생물 세포 괴사, 용해 또는 아포토시스를 자극하거나, 유도하거나, 증가시키거나; 전이성 또는 비-전이성 종양, 암, 악성종양 또는 신생물 부피, 크기, 세포 질량을 감소시키거나; 전이성 또는 비-전이성 종양, 암, 악성종양 또는 신생물 부피, 질량, 크기 또는 세포 수의 증가 또는 진행을 억제하거나, 예방하거나; 과증식하는 세포의 대상체의 다른(이차) 부위, 영역, 조직 또는 기관으로의 확산 또는 전이(예를 들어, 전이), 또는 대상체의 다른(이차) 부위, 영역, 조직 또는 기관에서 과증식하는 세포(예를 들어, 전이)의 확립을 억제하거나, 감소시키거나; 대상체의 수명을 연장시킨다. 추가의 특정 구체예에서, 치료 방법 또는 용도는 전이성 또는 비-전이성 종양, 암, 악성종양 또는 신생물과 관련되거나 이에 의해 야기된 유해 증상 또는 합병증의 중증도, 기간 또는 빈도를 감소시키거나, 저하시킨다.
- [0283] 충분한 양 또는 효과적인 양이 반드시 단일 투여 또는 용량으로 제공될 필요는 없을 수 있고, 단독으로 또는 다른 조성물(예를 들어, 화학요법제 또는 면역항상제 또는 자극제), 치료, 프로토콜 또는 치료 섭생과 함께 제공될 필요도 없을 수 있다. 예를 들어, 상기 양은 대상체의 필요, 치료하려는 장애, 질병 또는 질환의 상태 또는 치료 부작용에 의해 지정된 대로 비례적으로 증가될 수 있다. 또한, 충분한 양 또는 효과적인 양이 제 2 조성물(예를 들어, 화학요법제 또는 면역자극제), 치료, 프로토콜 또는 치료 섭생 없이 단일 또는 다중 용량으로 제공되는 경우 충분하거나 효과적일 필요가 없는데, 그 이유는 상기 용량 이상 및 이를 초과하는 추가의 용량, 양 또는 기간 또는 추가의 조성물(예를 들어, 화학요법제 또는 면역자극제), 치료, 프로토콜 또는 치료 섭생이 제공된 대상체에서 효과적이거나 충분하게 고려되도록 포함될 수 있기 때문이다. 충분하게 고려되는 양은 또한 또 다른 치료, 치료 섭생 또는 프로토콜의 사용 감소를 초래하는 양을 포함한다.
- [0284] 충분한 양 또는 효과적인 양이 치료하려는 각각 및 모든 대상체에서 또는 제공된 그룹 또는 집단에 있는 치료되는 대상체의 대부분에서 예방적 또는 치료적으로 효과적일 필요는 없다. 치료 또는 치료 방법에서 통상적인 대로, 일부 대상체는 제공된 치료, 치료 섭생 또는 프로토콜에 크거나 작은 반응을 나타낼 것이다. 충분한 양 또는 효과적인 양은 그룹 또는 일반적인 집단이 아닌 특정 대상체에서의 충분함 또는 효과를 나타낸다. 상기 양은 치료하려는 상태, 예를 들어, 요망되지 않거나 비정상적인 세포 증식 또는 과증식 장애(예를 들어, 전이성 또는 비-전이성 종양, 암, 악성종양 또는 신생물)의 유형 또는 단계, 요망되는 치료 효과 뿐만 아니라 개별적 대상체(예를 들어, 대상체 내에서의 생체이용률, 성별, 연령 등)에 부분적으로 의존적일 것이다.
- [0285] 요망되지 않거나 비정상적인 세포 증식, 예를 들어, 과증식 장애(예를 들어, 전이성 또는 비-전이성 종양, 암, 악성종양 또는 신생물)에 대한 치료 이익 또는 개선의 특정한 비제한적인 예는 세포 크기, 질량 또는 부피의 감소, 세포 크기, 질량 또는 부피의 증가 억제, 악화 또는 진행의 지연 또는 억제, 세포 괴사, 용해 또는 아포토시스의 자극, 신생물 또는 악성종양 또는 전이의 감소 또는 억제, 사망률 감소 및 대상체의 수명 연장을 포함한다. 따라서, 세포 크기, 질량, 부피 또는 전이(안정화) 증가의 억제 또는 지연은, 전이성 또는 비-전이성 종양, 암, 악성종양 또는 신생물의 완전한 제거가 발생하지 않더라도 비록 수일, 수주 또는 수개월에 불과할지라도 수명을 증가시킬 수 있다(사망률 감소). 감소되거나 저하될 수 있는 과증식 장애(예를 들어, 전이성 또는

비-전이성 종양, 암, 악성종양 또는 신생물)과 관련된 유해 증상 및 합병증은, 예를 들어, 동통, 구역, 불쾌, 식욕 부족, 기면 및 쇠약을 포함한다. 따라서, 요망되지 않거나 비정상적인 세포 증식, 예를 들어, 과증식 장애(예를 들어, 전이성 또는 비-전이성 종양, 암, 악성종양 또는 신생물)의 증상의 발생, 빈도, 중증도, 진행 또는 기간의 감소, 예를 들어, 주관적인 느낌의 개선(예를 들어, 증가된 에너지, 식욕, 감소된 구역, 개선된 운동성 또는 정신적 웰빙 등)이 치료 이익 또는 개선의 모든 예이다.

[0286] 예를 들어, 컨쥬게이트의 충분하거나 효과적인 양은, 그 투여가 더 적은 양의 화학요법 약물, 방사선 또는 면역요법이 요망되지 않거나 비정상적인 세포 증식, 예를 들어, 과증식 장애(예를 들어, 전이성 또는 비-전이성 종양, 암, 악성종양 또는 신생물)의 치료에 요구되도록 하는 경우에 치료 효과를 갖는 것으로 간주된다.

[0287] 용어 "대상체"는 동물, 통상적으로 포유동물, 예를 들어, 인간, 비인간 영장류(유인원, 긴팔원숭이, 침팬지, 오랑우탄, 짧은꼬리원숭이), 애완 동물(개 및 고양이), 농장 동물(말, 소, 염소, 양, 돼지) 및 실험 동물(마우스, 래트, 토끼, 키니아 피그)을 나타낸다. 대상체는 동물 질병 모델, 예를 들어, 생체내 컨쥬게이트의 분석을 위한 요망되지 않거나 비정상적인 세포 증식, 예를 들어, 과증식 장애(예를 들어, 전이성 또는 비-전이성 종양, 암, 악성종양 또는 신생물)의 동물 모델을 포함한다.

[0288] 치료에 적절한 대상체는 종양이 완화된 대상체를 포함하여, 전이성 또는 비-전이성 종양, 암, 악성종양 또는 신생물 세포를 갖거나 가질 위험이 있는 대상체, 진행하고 있는 대상체 뿐만 아니라 항-증식(예를 들어, 전이성 또는 비-전이성 종양, 암, 악성종양 또는 신생물) 요법을 받고 있거나 받았던 대상체를 포함한다. "위험이 있는"의 대상체는 통상적으로 과다형성의 발생(예를 들어, 종양)인 요망되지 않거나 비정상적인 세포 증식과 관련된 위험 요인을 갖는다.

[0289] 위험이 있거나 후보가 되는 대상체의 특정 예는 컨쥬게이트가 결합할 수 있는 표적(예를 들어, 수용체)을 발현시키는 세포를 갖는 대상체를 포함하며, 특히 괴사, 용해, 사멸 또는 파괴를 위해 표적화된 세포는 비-표적 세포보다 더 많은 수 또는 더 많은 양의 표적(예를 들어, 수용체)을 발현시킨다. 상기 세포는 괴사, 용해 또는 사멸을 위해 선택적으로 또는 우선적으로 표적화될 수 있다.

[0290] 위험이 있는 대상체는 또한 외과적 절제, 화학요법, 면역요법, 이온화 또는 화학적 방사선요법, 국소 또는 국부 열(고열) 요법, 또는 예방접종, 또는 예방접종에 대한 후보인 대상체 및 외과적 절제, 화학요법, 면역요법, 이온화 또는 화학적 방사선요법, 국소 또는 국부 열(고열) 요법, 또는 예방접종, 또는 예방접종을 받은 대상체를 포함한다. 따라서, 본 발명은, 예를 들어, 안정 또는 완화의 기간 이후에 전이성 또는 비-전이성 종양, 암, 악성종양 또는 신생물 재발 또는 재성장으로 인한 전이성 또는 비-전이성 종양, 암, 악성종양 또는 신생물, 또는 전이성 또는 비-전이성 종양, 암, 악성종양 또는 신생물과 관련된 합병증의 위험이 있는 대상체를 치료하는데 적용될 수 있다.

[0291] 위험 인자는 성별, 생활 방식(식이, 흡연), 직업(의학 및 임상 직원, 농업 및 축산업 종사자), 환경 인자(발암원 노출), 가족력(자가면역 장애, 당뇨병 등), 유전적 소인 등을 포함한다. 예를 들어, 흑색종이 발생할 위험이 있는 대상체는 과도한 일광 노출(자외선 조사), 창백한 피부(fair skin), 많은 수의 반점(형성이상 반점), 환자 표현형, 가족력, 또는 이전 흑색종 병력을 포함한다. 따라서, 암이 발생할 위험이 있는 대상체는 생활 방식, 직업, 환경 인자, 가족력, 및 종양 관련 유전자, 유전자 결실 또는 유전자 변이에 대한 유전적 스크린에 의해 확인될 수 있다. 유방암이 발생할 위험이 있는 대상체는, 예를 들어, *Brca1*이 결핍되어 있다. 결장암이 발생할 위험이 있는 대상체는 이른 연령 또는 고 빈도의 폴립 형성, 또는 결실되거나 변이된 종양 억제 유전자, 예를 들어, 선종성 결장폴립증(*APC*)을 갖는다.

[0292] 대상체는 또한 다른 치료에서 제외된 대상체를 포함한다. 예를 들어, 특정 대상체는 외과적 절제, 화학요법, 면역요법, 이온화 또는 화학적 방사선요법, 국소 또는 국부 열(고열) 요법, 또는 예방접종, 또는 예방접종에 대해 양호한 후보가 아닐 수 있다. 따라서, 본 발명에 따른 치료를 위한 후보 대상체는 외과적 절제, 화학요법, 면역요법, 이온화 또는 화학적 방사선요법, 국소 또는 국부 열(고열) 요법, 또는 예방접종, 또는 예방접종에 대한 후보가 아닌 대상체를 포함한다.

[0293] 컨쥬게이트는 단위 용량 또는 단위 투여량 형태로 제형화될 수 있다. 특정 구체예에서, 컨쥬게이트는 요망되지 않거나 비정상적인 세포 증식 또는 과증식 장애를 갖는 대상체를 치료하는데 효과적인 것으로 예상되는 양으로 존재한다. 추가의 특정 구체예에서, 컨쥬게이트는 전이성 또는 비전이성 종양, 암, 악성종양 또는 신생물을 갖는 대상체를 치료하는데 효과적인 것으로 예상되는 양으로 존재한다. 예시적인 단위 용량은 약 1-25, 25-250, 250-500, 500-1000, 1000-2500, 2500-5000, 5000-25,000, 5000-50,000  $\mu\text{g}$ ; 및 약 1-25, 25-250, 250-500,

500-1000, 1000-2500 또는 2500-5000, 5000-25,000, 5000-50,000 또는 50,000-100,000 mg의 범위이다.

- [0294] 본 발명의 컨쥬게이트 및 방법 및 용도는 시험관내, 생체외 또는 생체내에서 접촉되거나 제공될 수 있다. 컨쥬게이트는 투여하여, 예를 들어, 효과적이거나 충분한 양으로, 단일 또는 다중 투여량으로서 의도된 효과를 제공할 수 있다. 예시적 용량은 연속하는 날, 또는 격일이나 간헐적으로 약 1-25, 25-250, 250-500, 500-1000, 1000-2500 또는 2500-5000, 5000-25,000, 5000-50,000, 또는 50,000-100,000  $\mu\text{g}/\text{kg}$ 의 범위이다. 단일 또는 다중 용량은 연속하는 날, 또는 격일이나 간헐적으로 투여될 수 있다.
- [0295] 컨쥬게이트는 전신, 국부 또는 국소 투여를 통해 임의의 경로로 투여될 수 있고, 방법 또한 그렇게 실시될 수 있다. 예를 들어, 컨쥬게이트는 전신, 국부 또는 국소, 정맥내, 경구(예를 들어, 섭취 또는 흡입), 근내, 복막내, 피내, 피하, 공동내, 두개내, 경피(국소), 비경구, 예를 들어, 경점막 또는 직장으로 투여될 수 있다. 약학적 제형을 포함하는 본 발명의 조성물 및 방법 및 용도는 (미세)캡슐화된 전달 시스템을 통해 투여되거나, 투여용 임플란트로 패키징될 수 있다.
- [0296] 본 발명은 컨쥬게이트 및 컨쥬게이트가 약학적 조성물에 포함되는 방법 및 용도를 추가로 제공한다. 약학적 조성물은 "약학적으로 허용되는" 및 "생리학적으로 허용되는" 담체, 희석제 또는 부형제를 나타낸다. 본원에서 사용되는 용어 "약학적으로 허용되는" 및 "생리학적으로 허용되는"은 담체, 희석제 또는 부형제를 언급할 때 약학적 투여 및 제형의 다른 성분과 상용되는 용매(수성 또는 비수성), 세제, 용액, 에멀전, 분산 매질, 코팅, 등장화제 및 흡수 촉진제 또는 지연제를 포함한다. 상기 제형은 정제(코팅되거나 비코팅됨), 캡슐(경질 또는 연질), 마이크로비드, 에멀전, 분말, 과립, 결정, 현탁액, 시럽 또는 엘릭서(elixir)에 함유될 수 있다.
- [0297] 약학적 조성물은 특정 투여 경로 또는 용도와 상용되도록 제형화될 수 있다. 비경구, 피내, 또는 피하 투여용 조성물은 멸균 희석제, 예를 들어, 물, 염수 용액, 고정유, 폴리에틸렌 글리콜, 글리세린, 프로필렌 글리콜 또는 다른 합성 용매를 포함할 수 있다. 제조물은 미생물 성장을 예방하기 위한 하나 이상의 보존제를 함유할 수 있다(예를 들어, 벤질 알코올 또는 메틸 파라벤과 같은 향균제; 아스코르브산 또는 소듐 바이셀파이트와 같은 항산화제; 에틸렌디아민테트라아세트산과 같은 킬레이트화제; 아세테이트, 시트레이트 또는 포스페이트와 같은 완충제 및 염화나트륨 또는 텍스토로스과 같은 긴장성 조정제).
- [0298] 주사용 약학적 조성물은 주사가능한 멸균 용액 또는 분산액의 즉시 제조를 위한 멸균 용액(수용성인 경우) 또는 분산액 및 멸균 분말을 포함한다. 정맥내 투여를 위해, 적합한 담체는 생리학적 염수, 정균수, 크레모포르(Cremophor) EL™(BASF, Parsippany, NJ) 또는 인산염 완충된 염수(PBS)를 포함한다. 담체는, 예를 들어, 물, 에탄올, 폴리올(예를 들어, 글리세롤, 프로필렌 글리콜, 및 폴리에틸렌 글리콜), 및 이들의 적합한 혼합물을 함유하는 용매 또는 분산 매질일 수 있다. 유통성은, 예를 들어, 레시틴과 같은 코팅을 사용하거나, 계면활성제를 이용하여 유지될 수 있다. 향균제 및 항진균제는, 예를 들어, 파라벤, 클로로부탄올, 페놀, 아스코르브산 및 티메로살을 포함한다. 흡수를 지연시키는 작용제, 예를 들어, 알루미늄 모노스테아레이트 및 젤라틴을 포함시켜 주사가능한 조성물의 흡수를 연장시킬 수 있다. 폴리소르베이트 20 및 폴리소르베이트 80이, 예를 들어, 1% 이하로 제형 혼합물에 첨가될 수 있다. 다른 비제한적인 첨가제는 히스티딘 HCl,  $\alpha, \alpha$ -트레할로스 데하이드레이트를 포함한다.
- [0299] 추가의 약학적 제형 및 전달 시스템이 당업자에게 공지되어 있고, 본 발명의 방법에 적용될 수 있다(예를 들어, 문헌[Remington's Pharmaceutical Sciences (1990) 18th ed., Mack Publishing Co., Easton, PA; The Merck Index (1996) 12th ed., Merck Publishing Group, Whitehouse, NJ; Pharmaceutical Principles of Solid Dosage Forms, Technic Publishing Co., Inc., Lancaster, Pa., (1993); and Poznansky, et al., Drug Delivery Systems, R. L. Juliano, ed., Oxford, N.Y. (1980), pp. 253-315] 참조).
- [0300] 본 발명은 적합한 패키징 재료에 패키징된 본 발명의 컨쥬게이트, 조합 조성물 및 이의 약학적 제형을 포함하는 키트를 제공한다. 키트는 성분들의 설명 또는 그 안에 있는 성분들의 시험관내, 생체내 또는 생체외 사용을 위한 설명서를 포함하는 라벨 또는 패키징 삽입물을 임의로 포함한다. 예시적인 설명서는 세포의 증식을 감소시키거나 억제하거나, 요망되지 않거나 비정상적인 세포, 예를 들어, 과증식하는 세포의 증식을 감소시키거나 억제하거나, 전이성 또는 비-전이성 종양, 암, 악성종양 또는 신생물 세포의 증식을 감소시키거나 억제하거나, 과증식 장애를 갖는 대상체를 치료하거나, 전이성 또는 비-전이성 종양, 암, 악성종양 또는 신생물을 갖는 대상체를 치료하거나, 동물의 생식능력을 감소시키기 위한 설명서를 포함한다.
- [0301] 키트는 이러한 성분들의 수집물, 예를 들어, 둘 이상의 컨쥬게이트를 단독으로 또는 치료적으로 유용한 또 다른 조성물과 함께(예를 들어, 항-증식 또는 면역-항상 약물) 함유할 수 있다.

- [0302] 용어 "패키징 재료"는 키트의 성분들을 담고 있는 물리적 구조를 나타낸다. 패키징 재료는 성분들을 멸균상태로 유지할 수 있고, 상기 목적에 일반적으로 이용되는 재료로 이루어질 수 있다(예를 들어, 종이, 파형 섬유, 유리, 플라스틱, 호일, 앰플, 바이알, 튜브 등).
- [0303] 본 발명의 키트는 라벨 또는 삽입물을 포함할 수 있다. 라벨 또는 삽입물은 "인쇄된 물질", 예를 들어, 종이 또는 카드보드를 포함하거나, 분리되거나, 성분, 키트 또는 패키징 재료(예를 들어, 박스)에 고정되거나, 키트 성분을 함유하는 앰플, 튜브 또는 바이알에 부착된다. 라벨 또는 삽입물은 컴퓨터 판독가능한 매체, 광학 디스크, 예를 들어, CD- 또는 DVD-ROM/RAM, DVD, MP3, 자기 테이프, 또는 전기 저장 매체, 예를 들어, RAM 및 ROM 또는 이들의 하이브리드, 예를 들어, 자기/광학 저장 매체, FLASH 매체 또는 기억 유형 카드를 추가로 포함할 수 있다.
- [0304] 라벨 또는 삽입물은 그 안에 있는 하나 이상의 성분들의 정보, 용량, 작용 메커니즘을 포함하는 활성 성분(들)의 임상적 약리학, 약동학 및 약역학을 규명하는 것을 포함할 수 있다. 라벨 또는 삽입물은 제조업체 정보, 로트 번호, 제조업체 위치 및 날짜를 확인하는 정보를 포함할 수 있다.
- [0305] 라벨 및 삽입물은 키트 성분이 사용될 수 있는 질환, 장애, 질병 또는 증상에 대한 정보를 포함할 수 있다. 라벨 또는 삽입물은 방법, 치료 프로토콜 또는 치료 섭생에 키트 성분 중 하나 이상을 임상의 또는 대상체가 사용하도록 하는 설명서를 포함할 수 있다. 설명서는 투여량, 빈도 또는 기간, 및 본원에 기재된 임의의 방법, 치료 프로토콜 또는 치료 섭생을 실시하기 위한 설명들을 포함할 수 있다. 예시적인 설명서는 요망되지 않거나 비정상적인 세포 증식, 과증식하는 세포 및 장애(예를 들어, 전이성 또는 비-전이성 종양, 암, 악성종양 또는 신생물)를 치료하기 위한 설명서를 포함한다. 따라서, 본 발명의 키트는 본원에 기재된 본 발명의 임의의 방법 및 용도를 실시하기 위한 라벨 또는 설명서를 추가로 포함할 수 있다.
- [0306] 라벨 또는 삽입물은 성분이 제공할 수 있는 임의의 이익, 예를 들어, 예방적 또는 치료적 이익에 대한 정보를 포함할 수 있다. 라벨 또는 삽입물은 특정 조성물을 사용하는 것이 적절하지 않을 상황들과 관련하여 대상체 또는 임상의에 대한 경고와 같은 잠재적인 유해한 부작용에 대한 정보를 포함할 수 있다. 유해한 부작용은 또한 대상체가 조성물과 상용되지 않을 수 있는 하나 이상의 다른 약물을 지니거나, 섭취할 것이거나 현재 섭취하고 있는 경우, 또는 대상체가 조성물과 상용되지 않을 또 다른 치료 프로토콜 또는 치료 섭생을 받고 있거나, 받을 것이거나 현재 받고 있는 경우에 발생할 수 있으므로, 따라서 설명서는 그러한 비상용성에 대한 정보를 포함할 수 있었다.
- [0307] 본 발명의 키트는 다른 성분을 추가로 포함할 수 있다. 키트의 각각의 성분은 개별적 컨테이너에 동봉될 수 있거나, 다양한 컨테이너가 모두 단일 패키지 내에 있을 수 있다. 본 발명의 키트는 냉장 저장을 위해 설계될 수 있다. 본 발명의 키트는 본 발명의 컨주게이트를 발현시키는 숙주 세포를 함유하거나, 컨주게이트를 인코딩하는 핵산을 함유하도록 추가로 설계될 수 있다. 키트의 세포는 세포가 사용 준비가 될 때까지 적합한 저장 조건 하에 유지될 수 있다. 예를 들어, 하나 이상의 세포를 포함하는 키트는 세포가 해동 및 성장할 수 있도록 적절한 세포 저장 매질을 함유할 수 있다.
- [0308] 달리 정의되지 않는 한, 본원에 사용된 모든 기술 및 과학 용어는 본 발명이 속하는 분야의 당업자에 의해 일반적으로 이해되는 것과 동일한 의미를 갖는다. 본원에 개시된 것들과 유사하거나 동등한 방법 및 물질들이 본 발명의 실시 또는 시험에 사용될 수 있으나, 적합한 방법 및 물질은 본원에 기재되어 있다.
- [0309] 본원에 인용된 모든 출원, 공개, 특허 및 기타 참조문헌, GenBank 인용 및 ATCC 인용은 그 전체내용이 본원에 참조로서 포함된다. 상충되는 경우, 정의를 포함하는 본 명세서가 우선할 것이다.
- [0310] 본원에서 사용된 단수 형태는 문맥에서 명확히 달리 지시되지 않는 한 복수의 지시 대상을 포함한다. 따라서, 예를 들어 "컨주게이트" 또는 "표적(예를 들어, 수용체)" 또는 "용해 도메인"은 복수의 그러한 컨주게이트, 표적, 또는 용해 도메인 등을 포함한다.
- [0311] 본원에서 사용되는 숫자 값은 본 문헌 전체에 걸쳐 범위 형식으로 종종 제공된다. 범위 형식의 사용은 단지 편의 및 간결함을 위한 것으로, 문맥에서 명확히 달리 지시되지 않는 한 본 발명의 범위에 대한 변치않는 제한으로 해석되어선 안 된다. 따라서, 범위는, 문맥에서 명확히 달리 지시되지 않는 한 모든 가능한 하위범위, 상기 범위 내의 모든 개별적 숫자 값, 및 상기 범위 내의 정수 및 범위 내의 값 또는 정수의 분획을 포함하는 모든 숫자 값 또는 숫자 범위를 명백히 포함한다. 상기 구성은 범위의 폭과 상관없이 본 특허 문헌 전체에 걸친 모든 상황에서 적용된다. 따라서, 예를 들어, 90-100%의 범위에 대한 언급은 91-99%, 92-98%, 93-95%, 91-98%, 91-97%, 91-96%, 91-95%, 91-94%, 91-93% 등을 포함한다. 90-100%의 범위에 대한 언급은 또한 91%, 92%, 93%,

94%, 95%, 95%, 97% 등, 뿐만 아니라 91.1%, 91.2%, 91.3%, 91.4%, 91.5% 등, 92.1%, 92.2%, 92.3%, 92.4%, 92.5% 등을 포함한다.

[0312] 또한, 1-5,000배의 범위에 대한 언급은 1, 2, 3, 4, 5, 6, 7, 8, 9, 10, 11, 12, 13, 14, 15, 16, 17, 18, 19, 20배 등, 뿐만 아니라 1.1, 1.2, 1.3, 1.4, 1.5배 등, 2.1, 2.2, 2.3, 2.4, 2.5배 등, 및 상기 범위 내의 임의의 숫자 범위, 예를 들어, 1-2, 5-10, 10-50, 50-100, 100-500, 100-1000, 500-1000, 1000-2000, 1000-5000배 등을 포함한다. 추가 예에서, KD  $10^{-5}$  M 내지 약 KD  $10^{-13}$  M의 범위에 대한 언급은 상기 값 내이거나 상기 값을 포함하는 임의의 숫자 값 또는 범위를 포함한다.

[0313] 또한, 본원에서 사용되는 바와 같은 일련의 범위가 본 문헌 전체에 걸쳐 개시된다. 일련의 범위의 사용은 또 다른 범위를 제공하기 위해 상한 및 하한 범위의 조합을 포함한다. 상기 구성은 범위의 폭과 상관없이 본 특허 문헌 전체에 걸친 모든 상황에서 적용된다. 따라서, 예를 들어, 5-10, 10-20, 20-30, 30-40, 40-50, 50-75, 75-100, 100-150, 및 150-171과 같은 일련의 범위에 대한 언급은 5-20, 5-30, 5-40, 5-50, 5-75, 5-100, 5-150, 5-171, 및 10-30, 10-40, 10-50, 10-75, 10-100, 10-150, 10-171, 및 20-40, 20-50, 20-75, 20-100, 20-150, 20-171 등과 같은 범위를 포함한다.

[0314] 본 발명은 다수의 구체예를 기재하기 위해 단정적인 언어를 이용하여 본원에 일반적으로 개시되었다. 본 발명은 또한 물질 또는 재료, 방법 단계 및 조건, 프로토콜, 절차, 검정 또는 분석과 같이 특정 대상 물질이 완전히 또는 부분적으로 제외된 구체예를 특히 포함한다. 따라서, 본 발명은 일반적으로 본 발명이 포함하지 않는 것과 관련하여 본원에서 표현되지 않지만, 그럼에도 불구하고 본 발명에서 명백하게 포함되지 않은 양태가 본원에 개시된다.

[0315] 본 발명의 다수의 구체예가 기재되었다. 그럼에도 불구하고, 다양한 변형이 본 발명의 사상 및 범위를 벗어나지 않으며 이루어질 수 있는 것으로 이해될 것이다. 따라서, 하기 실시예는 청구범위에 기재된 본 발명의 범위를 설명하기 위한 것이며 이를 제한하지 않는다.

[0316] **실시예**

[0317] 실시예 1

[0318] 본 실시예는 시험관내 연구에서 용해 펩티드 Phor18(KFAKFAK KFAKFAK KFAK) 또는 (KLAKLAK)<sub>2</sub>KLAK(SEQ ID NO.:74)에 컨주게이션된 Her-2 수용체에 대한 재조합적으로 생성된 항체(항체로서) scFv-C<sub>H</sub>3의 세포독성을 결정하기 위한 것이었다. 다양한 링커(GS 및 NRVRRS(SEQ ID NO.:75)) 및 항체 분자 당 용해 펩티드의 1 또는 2개의 분자를 연구하였다.

[0319] 연구된 펩티드는 다음과 같다: Phor18-scFv-C<sub>H</sub>3-Phor18 (항체의 N-말단 및 C-말단에서 연결된 Phor-18의 2개의 분자), scFv-C<sub>H</sub>3-GS-Phor18 (GS 링커에 의해 C-말단에서 항체에 연결된 Phor18의 한 분자), scFv-C<sub>H</sub>3-GS-(KLAKLAK)<sub>2</sub>KLAK (SEQ ID NO.:74)(GS 링커에 의해 C-말단에서 항체에 연결된 (KLAKLAK)<sub>2</sub>KLAK(SEQ ID NO.:74)의 한 분자), scFv-C<sub>H</sub>3-NRVRRS(SEQ ID NO.:75)-Phor18 (NRVRRS 링커에 의해 C-말단에서 항체에 연결된 Phor18의 한 분자), 및 scFv-C<sub>H</sub>3-NRVRRS-(KLAKLAK)<sub>2</sub>KLAK(SEQ ID NO.:74)(NRVRRS 링커에 의해 C-말단에서 항체에 연결된 (KLAKLAK)<sub>2</sub>KLAK(SEQ ID NO.:74)의 한 분자). 세포독성을 Her-2 수용체 양성 세포(SKBR-3 및 SKOV-3, 각각 인간 유방암 및 난소암 세포) 및 Her-2 수용체 음성 유방암 세포(MDA-MB-231)에서 네이키드 항체(용해 펩티드가 없는 항체)와 비교하였다.

[0320] 실시예 2

[0321] 본 실시예는 본원에 기재된 연구에서 사용되는 다양한 재료 및 방법을 기재한다.

[0322] **재료:** 에스케리키아 콜리(*Escherichia coli*)에서 재조합 항체로서 항-Her2/neu 항체를 합성하기 위해 재조합 DNA 기술을 이용하였다. scFv-C<sub>H</sub>3 항체(Olafsen T. et al Protein Engineering, Design & Selection 17, 315-323, 2004)를 표 1에 기재된 바와 같이 펩티드 링커를 통해 또는 링커 없이 Phor18 또는 양친매성 알파-헬리칼 용해 펩티드 (KLAKLAK)<sub>2</sub>KLAK(SEQ ID NO.:74)에 컨주게이션시키고, 시험관 내에서 세포독성에 대해 분석하였다. 플라스미드를 유전자 코돈 최적화를 통해 획득하였다. 유전자를 N-His 태그 서열을 갖도록 합성하고, 플라스미드를 E. 콜리 박테리아 발현 벡터 pUC57로 서브클로닝하였다. 발현 최적화 및 평가 후, His-태그 생성물을 선

택하고, 1 L의 박테리아 발현 생성물을 1-단계 친화성 정제로 정제하였다. 각각의 작제물에 대한 플라스미드 유전자 삽입물의 서열은 표 1에 기재되어 있다.

[0323] 표 1: 각각의 재조합 Her2/neu 항체 및 항체 컨주게이트의 생성을 위한 플라스미드 삽입물의 뉴클레오티드 서열.

[0324] 1. Her2/neu scFv-C<sub>H</sub>3: (SEQ ID NO.:76)

```

1      CATATGCATC ACCACCACCA CCACGACGAC GACGACAAAG ATATTCAAAT GACCCAGTCC
61     CCGAGCAGCC TGAGTGGCTC CGTGGGCGAC CGCGTGACCA TTACGTGCCG TGGGAGCCAG
121    GATGTCAACA CCGCGGTGGC CTGGTATCAG CAAAAACCGG GCAAAGCGCC GAAACTGCTG
181    ATCTATTCAG CCTCGTTTCT GTACAGCGGT GTTCCGTCTC GTTTCAGCGG CTCTCGCAGT
241    GGTACCGATT TTACCCTGAC GATTAGCTCT CTGCAGCCGG AAGACTTTGC GACGTATTAC
301    TGCCAGCAAC ATTACACCAC GCCGCCGACC TTCGGCCAGG GTACGAAAGT GGAATCAAAA
361    GGTTCACCTC CAGGCGGTGG CAGTGGTGGC GGTTCGGCCG GTGGCCGTAG TTCCGAAGTT
421    CAGCTGGTGC AAAGTGGCGG TGGCCTGGTT CAACCGGGTG GTCACCTGCG TCTGTCGTGT
481    GCAGCAAGCG GTTTCAACAT CAAAGATACC TACATCCACT GGGTTCGTCA GGCGCCGGGC
541    AAAGGTCTGG AATGGGTGCG CCGCATTACC CCGACCAATG GCTATACGCG TTACGCAGAT
601    AGCGTGAAAG GTCGCTTTAC CATCTCTGCG GACACCAGTA AAAACACGGC CTATCTGCAG
661    ATGAATAGCC TCGGTGGCGA AGATACGGCC GTTTATTACT GCTCTCGCTG GGGTGGCGAT
721    GGCCTCTATG CTATGGACTA CTGGGGCCAG GGTACCCTGG TGACGGTTTC ATCGGGTCAG
781    CCGCGTGAAC CGCAAGTGTA TACCCTGCCG CCGTCACGCG ATGAACTGAC GAAAAACCGA
841    GTGTGCTGTA CGTGTCTGGT TAAAGGCTTT TACCCGAGCG ACATCGCGGT TGAATGGGAA
901    TCTAATGGTC AACCGGAAAA CAATTATAAA ACCACGCCGC CGGTCCCTGGA TAGTGACGGC
961    TCCTTTTTCC TGTACAGTAA ACTGACCGTG GATAAATCCC GTTGGCAGCA GGGTAACGTC
1021   TTCGIGTGA  GCGTGATGCA TGAAGCCCTG CATAATCACT ATACCCAGAA ATCTCTGAGT
1081   CTGTCCCCGG GCAAAGGTTT AACGTCGGGT GCGGGTCCG GCGGTGGCTC AGGTGGCGGT
1141   GGCAGCTCTG GCCAACCGCG CGAACCGCAG GTTTACACCC TGCCGCCGAG CCGTGACGAA
1201   CTGACCAAAA ACCAAGTCAG CCTGACGTGC CTGGTGAAAG GCTTTTACCC GAGTGACATT
1261   GCAGTTGAAT GGGAAATCAA TGGTCAGCCG GAAAATAACT ACAAACGAC  GCCGCCGGTT
1321   CTGGATTGAG ACGGCTCGTT TTTCTGTAC TCAAACTGA CCGTCGATAA ATCGCGCTGG
1381   CAACAGGGTA ACGTTTTTCAG CTGCTCTGTC ATGCACGAAG CCTTGCACAA CCATTATACC
1441   CAGAAAAGTC TGTCCCTGTC ACCGGGCAAA GAAGTGCAGC TGGTTGAATC TGGTGGCGGT
1501   CTGGTGCAAC CGGGCGGTTT GCTGCGTCTG AGCTGTGAGC CTCTGCGCTT TAATATTTAA
1561   GACACGTACA TCCACTGGGT GCGTCAGGCA CCGGGTAAAG GCCTGGAATG GGTGCTCGT
1621   ATCTATCCGA CGAACGGTTA TACGCGTTAC GCCGATAGCG TCAAAGGCCG TTTTACCATC
1681   AGTGACAGCA CCTCCAAAAA CACGGCTTAT CTGCAGATGA ATAGTCTGCG TGCAGAAGAT
1741   ACCGCTGTTT ATTACTGCAG CCGCTGGGGC GGTGATGGCT TCTATGCAAT GGATTATTGG
1801   GGTCAAGGTA CCCTGGTCAC CGTGAGTTCC GGTTCGACCA GCGGCGGTGG CTCAGGTGGC
1861   GGTTCGGGCG GTGGCGGTTT ATCGGACATT CAGATGACGC AAAGCCCGAG CTCTCTGTCT
1921   GCGAGTGTG GCGATCGTGT CACCATCACG TGTCCGCCTT CTCAGGACGT GAATACCGCA
1981   GTTGCTTGGT ACCAACAAAA ACCGGGCAAA GCACCGAAAC TGCTGATTTA CTCCGCTTCA
2041   TTCTGTACA  GCGGTGTGCC GTCTCGTTTT TCGGGCAGCC GCTCTGGTAC CGATTTACC
2101   CTGACGATTA GTTCCCTGCA ACCGGAAGAT TTCGCCACCT ACTACTGCCA GCAACACTAT
2161   ACGACCCCGC CGACGTTTGG TCAGGGCACG AAAGTGAAAA TTAATAATG AAAGCTT
    
```

[0325]

[0326] 2. scFv-C<sub>H</sub>3-GS-Phor18: (SEQ ID NO.:77)

```

1   CATATGCATC ACCACCACCA CCACGACGAC GACGACAAAG ATATTCAAAT GACCCAGTCC
61  CCGAGCAGCC TGAGTGCCTC CGTTGGCGAC CGCGTGACCA TTACGTGCCG TGCGAGCCAG
121 GATGTCACAAC CCGCGGTGGC CTGGTATCAG CAAAAACCGG GCAAAGCGCC GAAACTGCTG
181 ATCTATTACG CTCGTTTCT GTACAGCGGT GTTCCGTCTC GTTTCAGCGG CTCTCGCAGT
241 GGTACCGATT TTACCCTGAC GATTAGCTCT CTGCAGCCGG AAGACTTTGC GACGTATTAC
301 TGCCAGCAAC ATTACACCAG GCCGCCGACC TTCGGCCAGG GTACGAAAAGT GGAATCAAAA
361 GGTTCACCTC CAGGCGGTGG CAGTGGTGGC GGTTCGCGCG GTGGCGGTAG TTCCGAAGTT
421 CAGCTGGTCT AAAAGTGGCG TGGCCTGGTT CAACCGGGTG GCTCACTGCG TCTGTCTGT
481 GCAGCAAGCG GTTTCACAT CAAAGATACC TACATCCACT GGGTTCGTCA GGCGCCGGGC
541 AAAGGTCTGG AATGGGTCCG CCGCATTAC CCGACCAATG GCTATACCGG TTACGCAGAT
601 AGCGTGAAAAG GTCCGTTTAC CATCTCTGCG GACACCAGTA AAAACACGGC CTATCTGCGA
661 ATGAATAGCC TGCGTGCGGA AGATACGGCC GTTTATTACT GCTCTCGCTG GGGTGGCGAT
721 GGCTTCTATG CTATGACTA CTGGGGCCAG GTTACCCTGG TGACGGTTTC ATCGGGTCAG
781 CCGCGTGAAC CGCAAGTGA TACCCTGCCG CCGTCAACGG ATGAACTGAC GAAAAACCAG
841 GTGTCCGTGA CGTGTCTGGT TAAAGGCTTT TACCAGGCG ACATCGCGGT TGAATGGGAA
901 TCTAATGGTC AACCGGAAAA CAATTATAAA ACCACGCCGC CGGTCCTGGA TAGTGACGGC
961 TCCTTTTTTC TGTACAGTAA ACTGACCGTG GATAAATCCC GTTGGCAGCA GGGTAAACGT
1021 TTCTCGTGTG CCGTGATGCA TGAAGCCCTG CATAATCACT ATACCCAGAA ATCTCTGAGT
1081 CTGTCCCGCG GCAAAGGTTT AACGTCGGGT GCGGTTCGG CCGGTGGCTC AGGTGGCGGT
1141 GGCAGCTCTG ACCAACCCGG CGAACCCGAG GTTTACACCC TGCCCGCGAG CCGTGACGAA
1201 CTGACCAAAA ACCAAGTCCG CCTGACGTGC CTGGTGAAA GCTTTTACC GAGTGACATT
1261 GCAGTTGAAT GGGAAATCAA TGGTCAGCCG GAAAATAACT ACAAACGAC GCCGCCGGTT
1321 CTGGATTACG ACGGCTCGTT TTCTCTGTAC TCAAACTGA CCGTCGATAA ATCGCGCTGG
1381 CAACAGGGA CCGTTTTACG CTGCTCTGTC ATGCACGAAG CCCTGCACAA CCATTATACC
1441 CAGAAAAGTC TGTCCCTGTC ACCGGGCAAA GAAGTGCAGC TGGTTGAAAT TGGTGGCGGT
1501 CTGGTGCAAC CGGGCGGTTT GCTGCGTCTG AGTGTGCAG CTCTGGCTT TAATATATAA
1561 GACACGTACA TCCACTGGT CCGTCAAGCA CCGGGTAAAG GCCTGGAATG GGTGCTCGT
1621 ATCTATCCGA ACGACGGTTA TACGCGTTAC GCGCATAGG TCAAAGCCG TTTTACCATC
1681 AGTGCAGACA CCTCAAAAA CACGGCTTAT CTGCAGATGA ATAGTCTGCG TGCAGAAGAT
1741 ACCGCTGTTT ATTAAGTCA CCGCTGGGGC GGTGATGGCT TCTATGCAAT GGATTATTGG
1801 GGTCAAGGTA CCGTGGTAC CGTGAGTTC GGTTCGACCA CCGCGGTTGG CTCAGGTGGC
1861 GGTTCGGGCG GTGGCGGTTT ATCGGACATT CAGATGACGC AAAGCCCGAG CTCTCTGTCT
1921 GCGAGTGTG GCGATCGTGT CACCATCAGG TGTCCGCGCT CTCAGGACGT GAATACCGCA
1981 GTTGCTTGGT ACCAACAAAA ACCGGGCAAA GCACCGAAAC TGCTGATTTA C1CCGCTTCA
2041 TTCTCTGTAC CCGGTGTGCC GTCTCGTTTT TCGGGCAGCC GCTCTGGTAC CGATTTCACC
2101 CTGACGATTA GTTCCCTGCA ACCGGAAGAT TTCGCCACCT ACTACTGCCA GCAACACTAT
2161 ACGACCCCGC CGACGTTTGG TCAGGGCAGC AAAGTGGAAA TTAAGGCAG CAATTTGCG
2221 AAATTCGCCA AAAAAATTCG AAAAATTCGC AAAAAATTCG CGAAATAATG AAAGCTT

```

[0327]

[0328] 3. scFv-C<sub>H</sub>3-GS-(KLAKLAK)<sub>2</sub>KLAK: (SEQ ID NO.:78)

```

1   CATATGGAAA ATCTGTATT CCAAGGTGAT ATTCAAATGA CCCAGTCCCC GAGCAGCCTG
61  AGTGCCTCCG TTGGCGACCG CGTGACCATT ACGTGCCGTG CGAGCCAGGA TGTCAAACAC
121 GCGGTGGCCT GGTATCAGCA AAAACCGGGC AAAGCGCGA AACTGCTGAT CTATTACGCC
181 TCGTTTCTGT ACAGCGGTGT TCCGTCTCGT TTCAGCGGCT CTCGCAGTGG TACCGATTTT
241 ACCCTGACGA TTAGCTCTGT GCAGCCGGAA GACTTTGCGA CGTATTACTG CACGCAACAT
301 TACACCACGC CGCCGACCTT CGGCCAGGGT ACGAAAAGTG AAATCAAAGG TTCCACCTCA
361 GGCGGTGGCA GTGGTGGCGG TTCCGGCGGT GCGGGTAGTT CCGAAGTICA GCTGGTCGAA
421 AGTGGCGGTG GCCTGGTTCA ACCGGGTGGC TCACTGCGTC TGTCTGTGTC AGCAAGCGGT
481 TTCAACATCA AAGATACCTA CATCCACTGG GTTCGTGAGG CCGCCGGCAA AGGTCTGGAA
541 TGGTTCGCCC GCATTTACCC GACCAATGGC TATACGGTTC ACGCAGATAG CGTGAAAGGT
601 CGCTTTACCA TCTCTGCGGA CACCAGTAAA AACACGGCCT ATCTGCAGAT GAATAGCCTG
661 CGTGCAGGAA ATACGGCCGT TTATTACTGC TCTCGCTGGG GTGGCGATGG CTTCTATGCT
721 ATGGACTACT GGGGCCAGGG TACCCTGGTG ACGGTTTCAT CGGGTACGCC GCGTGAACCG
781 CAAGTGTATA CCTGCGCCGC GTCACCGGAT GAAGTACGCA AAAACAGGTT GTCGCTGACG
841 TGTCTGTTTA AAGGCTTTTA CCGGAGCGAC ATCGCGGTTG AATGGGAATC TAATGTCTAA
901 CCGGAAAAACA ATTATAAAAC CACGCCCGCG GTCCTGGATA GTGACGGCTC CTTTTTCCCTG
961 TACAGTAAAC TGACCGTGGG TAAATCCCGT TGGCAGCAGG GTAACGCTCT CTCGTGTAGC
1021 GTGATGCATG AAGCCCTGCA TAATCACTAT ACCCAGAAAT CTCGTGAGTCT GTCCCCGGGG
1081 AAAGGTTCAA CGTCCGGTGG CCGTTCGGGC GGTGGCTCAG GTGGCGGTGG CAGCTCTGGC
1141 CAACCGCGCG AACCGCAGGT TTACACCTCG CCGCCGAGCC GTGACGAACT GACCAAAAAC
1201 CAAGTACAGC TGACGTGCGT GGTGAAAGGC TTTTACCCTG GTGACATTGC AGTTGAAATG
1261 GAATCCAATG GTACCCGGGA AAATAACTAC AAAACGACGC CCGCGTTTCT GGATTACAGC
1321 GGCCTGTTTT TCCTGTACTC AAAACTGACC GTCGATAAAT CGCGCTGGCA ACAGGGTAAC
1381 GTTTTCAGCT GCTCTGTGAT GCACGAAAGC CTGCACAACC ATTATACCCA GAAAAGTCTG
1441 TCCTGTGTC CCGGCAAAA AGTGCAGCTG GTTGAATCTG GTGGCGGTTT GGTGCAACCG
1501 GCGGGTTCGC TGGCTCTGAG CTGTGACGCT TCTGGCTTTA ATATTAAGA CACGTACATC
1561 CACTGGGTGC GTCAGGCACC GGGTAAAGGC CTGGAATGGG TTGCTCGTAT CTATCCGACG
1621 AACGGTTATA CCGGTTACGC CGATAGCGTC AAAGGCCGTT TTACCATCAG TGACAGACAC
1681 TCCAAAAACA CGGCTTATCT GCAGATGAAT AGTCTGCGTG CAGAAGATAC CAGCTTTTAT
1741 TACTGCAGCC GCTGGGGCGG TGAATGGCTT TATGCAATGG ATTATTGGGG TCAAGGTACC
1801 CTGGTCAACG TGATTTCCGG TTCGACAGC GCGGGTGGCT CAGGTGGCGG TTCGGGCGGT
1861 GCGGTTTCAT CGGACATFCA GATGACGCAA AGCCGAGCT CTCTGTCTGC GAGTGTGGG
1921 GATCGTGTCA CCTACACGTG TCGCGCCTCT CAGGACGTA ATACCGCAGT TGCTTGGTAC
1981 CAACAAAAAC CCGGCAAAAG ACCGAAACTG CTGATTTACT CCGCTTCACT CCTGTACAGC
2041 GGTGTGCGCT CTCGTTTTTC GGGCAGCCGC TCTGGTACCG ATTTACCCCT GACGATTAGT
2101 TCCCTGCAAC CCGGAATTTT GCACCCTAC TACTGCCAGC AACTATATAC GACCCCGCGC
2161 ACGTTTGGTC AGGGCACGAA AGTGGAAATT AAAGGCAGCA AACTGGCGAA ACTGGCCAAA
2221 AACTGGCAA AACTGCGCAA AAAACTGGCG AAATAATGAA AGCTT

```

[0329]

[0330]

4. scFv-C<sub>H</sub>3-NRVRRS-Phor18: (SEQ ID NO.:79)

```

1      CATATGGAAA ATCTGTATTT CCAAGGTGAT ATTCAAATGA CCCAGTCCCC GAGCAGCCTG
61     AGTGCCCTCCG TTGGCGACCG CGTGACCATT ACGTGCCGTG CGAGCCAGGA TGTCAACACC
121    GCGGTGGCCT  GGTATCAGCA AAAACCGGGC AAAGCGCCGA AACTGCTGAT CTATTCAGCC
181    TCGTTTCIGT  ACAGCGGIGT TCCGTCTCGT TTCAGCGGCT CTCGCAGTGG TACCGATTTT
241    ACCCTGACGA  TTAGTCTCT  GCAGCCGGAA GACTTTGCGA CGTATTACTG CCAGCAACAT
301    TACACCACGC  CGCCGACCTT CGGCCAGGGT ACGAAAAGTG AAATCAAAGG TTCCACCTCA
361    GCGGTTGGCA  GTGGTGGCGG TTCGGGCGGT GCGGTTAGTT CCGAAGTTCA GCTGGTCGAA
421    AGTGGCCGGT  GCCTGGTTCA ACCGGGTGGC TCACTGCGTC TGTCGTGTGC AGCAAGCGGT
481    TTCAACATCA  AAGATACCTA CATCCACTGG GTTCGTGTCAG CGCCGGGCAA AGGTCTGGAA
541    TGGGTCGCCC  GCATTTACCC GACCAATGGC TATACGCGTT ACGCAGATAG CGTGAAAGGT
601    CGCTTTACCA  TCTGTGCGGA CACCAGTAAA AACACGGCCT ATCTGCAGAT GAATAGCCTG
661    CGTGGGAAG  ATACGGCCGT TTATTACTGC TCTCGTGGG GTGGCGATGG CTCTATGCT
721    ATGGACTACT  GGGGCCAGGG TACCCTGGTG ACGGTTTCAT CGGGTCAGCC GCGTGAACCG
781    CAAGTGATA  CCTGCCGCC  GTCACGCGAT GAACGTACGA AAAACCAAGT GTCGCTGACG
841    TGCTGGTTA  AAGGCTTTTA CCCGAGCGAC ATCGCGGTTG AATGGGAATC TAATGGTCAA
901    CCGGAAAACA  ATTATAAAAC CACGCCGCCG GTCCTGGATA GTGACGGCTC CTTTTCTCTG
961    TACAGTAAAC  TGACCGTGGG TAAATCCCGT TGGCAGCAGG GTAACGCTT  CTCGTGTAGC
1021   GTGATGCATG  AAGCCCTGCA TAATCACTAT ACCCAGAAAT CTCTGAGTCT GTCCCGGGG
1081   AAAGGTTCAA  CGTGGGTGG  CGGTTCCGGC GGTGGCTCAG GTGGCGGTGG CAGCTCTGGC
1141   CAACCGCGCG  AACCGCAGGT TTACACCTG  CCGCCGAGCC GTGACGAACT GACCAAAAA
1201   CAAGTCAGCC  TGACGTGCCT GGTGAAAGGC TTTTACCCGA GTGACATTGC AGTTGAATGG
1261   GAATCCAATG  GTCAGCCGGA AAATAACTAC AAAACGACGC CGCCGTTTCT GGATTCAGAC
1321   GGCCTCGTTT  TCTGTACTC  AAAACTGACC GTCGATAAAT CGCGCTGGCA ACAGGGTAAC
1381   GTTTTCAGCT  GCTCTGTCAT GCACGAAGCC CTGCACAACC ATTATACCCA GAAAAGTCTG
1441   TCCCTGTAC  CGGGCAAAGA AGTGCAGCTG GTTGAATCTG GTGGCCGTCT GGTGCAACCG
1501   GCGGTTTCG  TCGTCTGAG  CTGTGCAGCT TCTGGCTTTA ATATTAAAGA CACGTACATC
1561   CACTGGGTGC  GTCAGGCACC GGGTAAAGGC CTGGAATGGG TTGCTCGTAT CTATCCGACG
1621   AACGGTTATA  CGCGTTACGC CGATAGCGTC AAAGGCCGTT TTACCATCAG TGCAGACACC
1681   TCCAAAAACA  CGGCTTATCT GCAGATGAAT AGTCTGCGTG CAGAAGATAC CGCTGTTTAT
1741   TACTGCAGCC  GCTGGGGCGG TGATGGCTTC TATGCAATGG ATTATTGGGG TCAAGGTACC
1801   CTGGTCACCG  TGAGTTCCGG TTCGACCAGC GCGGTTGGCT CAGGTGGCGG TTCGGGCGGT
1861   GCGGTTTCAT  CGGACATTCA GATGACGCAA AGCCCGAGCT CTCGTCTGTC GAGTGTGGC
1921   GATCGTGTCA  CCATCACGTG TCGCGCCTCT CAGGACGTGA ATACCGCAGT TGCTTGGTAC
1981   CAACAAAAAC  CGGGCAAAGC ACCGAAACTG CTGATTTACT CCGCTTCATT CCTGTACAGC
2041   GGTGTGCCGT  CTCGTTTTTC GGGCAGCCGC TCTGGTACCG ATTTACCCTT GACGATTAGT
2101   TCCCTGCAAC  CGGAAGATTT CGCCACCTAC TACTGCCAGC AACACTATAC GACCCCGCCG
2161   ACGTTTGGTC  AGGCACAGAA AGTGGAAATT AAAAACCGTG TGCGTGCAG  CAAATTTGCG
2221   AAATTCGCCA  AAAAATTTGC AAAATTCGCT AAAAAATTTG CGAAATAATG AAAGCTT

```

[0331]

[0332]

5. scFv-C<sub>H</sub>3-NRVRRS-(KLAKLAK)<sub>2</sub>KLAK: (SEQ ID NO.:80)

```

1      CATATGCATC ACCACCACCA CCACGACGAC GACGACAAAG ATATTCAAAT GACCCAGTCC
61     CCGAGCAGCC TGAGTGCCCTC CGTGGGCGAC CGCGTGACCA TTACGTGCCG TGCGAGCCAG
121    GATGTCAACA CCGCGGTGGC CTGGTATCAG CAAAAACCGG GCAAAGCGCC GAAACTGCTG
181    ATCTATTGAG CCTCGTTTCT GTACAGCGGT GTTCCGICTC GTTTCAGCGG CTCICGCAGT
241    GGTACCGATT TTACCCTGAC GATTAGCTCT CTGCAGCCGG AAGACTTTGC GACGTATTAC
301    TGCCAGCAAC ATTACACCAC GCCGCCGACC TTCGGCCAGG GTACGAAAGT GGAATCAAAA
361    GGTTCACCT  CAGGCGGTGG CAGTGGTGGC GGTTCGGCGG GTGGCGGTAG TTCCGAAGTT
421    CAGCTGGTCG AAAGTGGCGG TGGCCTGGTT CAACCGGGTG GCTCACTGCG TCTGTCTGTI
481    GCAGCAAGCG GTTTCAACAT CAAAGATACC TACATCCACT GGGTTCGTCA GGCGCCGGGC
541    AAAGGTCTGG AATGGGTGCG CCGCATTTAC CCGACCAATG GCTATACGCG TTACGCAGAT
601    AGCGTGAAAG GTCGCTTTAC CATCTCTGCG GACACCAGTA AAAACACGGC CTATCTGCAG
661    ATGAATAGCC TGCGTGCGGA AGATACGGCC GTTTATTACT GCTCTCGCTG GGTGGCGGAT
721    GGCCTCTAIG CTATGGACTA CTGGGGCCAG GGTACCCITG TGACGGTTTC ATCGGGTCAG
781    CCGCGTGAAC CGCAAGTGTA TACCCTGCCG CCGTCACGCG ATGAACTGAC GAAAAACCAG
841    GTGTCGCTGA CGTGTCTGGT TAAAGGCTTT TACCCGAGCG ACATCGCGGT TGAATGGGAA
901    TCTAATGGTC AACCGGAAAA CAATTATAAA ACCACGCCGC CGGTCCCTGA TAGTGACGGC
961    TCCTTTTTC  TGTACAGTAA ACTGACCGTG GATAAATCCC GTTGGCAGCA GGGTAAACGTC
1021   TTCTCGTGTA GCGTGATGCA TGAAGCCCTG CATAATCACT ATACCCAGAA ATCTCTGAGT
1081   CTGTCCCGG  GCAAAGGTTT AACGTCCGGT GCGGTTCCG  GCGGTGGCTC AGGTGGCGGT
1141   GGCAGCTCTG GCCAACCGCG CGAACCCGAG GTTTACACCC TGCCGCCGAG CCGTGACGAA
1201   CTGACCAAAA ACCAAGTCAG CCTGACGTGC CTGGTAAAG GCTTTTACCC GAGTGACATT
1261   GCAGTTGAAT GGGAATCCAA TGGTCAGCCG GAAAATAACT ACAAACGAC  GCCGCCGGTT
1321   CTGATTTCAG ACGGCTCGTT TTTCTGTAC TCAAACGTA CCGTCGATAA ATCGCGCTGG
1381   CAACAGGGTA ACGTTTTAG  CTGCTCTGTC ATGCACGAAG CCCTGCACAA CCATTATACC
1441   CAGAAAAATC TGTCCCTGTC ACCGGGCAAA GAAGTGCAGC TGGTTGAATC TGGTGGCGGT
1501   CTGGTGCAAC CGGGCGGTTT GCTGCGICTG AGCTGTGCAG CTCTGGCTT  TAATATTAAA
1561   GACACGTACA TCCACTGGGT GCGTCAGGCA CCGGGTAAAG GCCTGGAATG GGTGCTCGT
1621   ATCTATCCGA CGAACGGTTA TACGCGTTAC GCCGATAGCG TCAAAGGCCG TTTTACCATC
1681   AGTGCAGACA CCTCCAAAAA CACGGCTTAT CTGCAGATGA ATAGTCTGCG TGCAGAAGAT
1741   ACCGCTGTTT ATTACTGCAG CCGCTGGGGC GGTGATGGCT TCTATGCAAT GGATTATIGG
1801   GGTCAAGGTA CCTTGGTCAC CGTGAGTTCC GGTTCGACCA GCGGCGGTGG CTCAGGTGGC
1861   GGTTCGGGCG GTGGCGGTTT ATCGGACATT CAGATGACGC AAAGCCCGAG CTCTCTGTCT
1921   GCGAGTGTG  GCGATCGTGT CACCATCACG TGTCCGCCTT CTCAGGACGT GAATACCGCA
1981   GTTGCTTGGT ACCAACAAAA ACCGGGCAAA GCACCGAAAC TGCTGATTTA CTCCGCTTCA
2041   TTCTGTGACA GCGGTGTGCC GTCTCGTTTT TCGGGCAGCC GCTCTGTTAC CGATTTACC
2101   CTGACGATTA GTTCCCTGCA ACCGGAAGAT TTCGCCACCT ACTACTGCCA GCAACACTAT
2161   ACGACCCCGC CGACGTTTGG TCAGGGCACG AAAGTGGAAA TTA AAAACCG  TGTGCGTCGC
2221   AGCAAACTGG CGAAACTGGC CAAAAACTG  GCAAACTGG  CTAAAAACT  GCGAAATAA
2281   TGAAAGCTT

```

[0333]

[0334] 6. Phor18-scFv-C<sub>μ</sub>3-Phor18: (SEQ ID NO.:81)

```

1      CATATGGAAA ATCTGTATTT CCAAGGTAAA TTTGCGAAAT TCGCCAAAAA ATTTCGAAAA
61     TTCGCGAAAA AATTTCGCGAA GATATTCAA ATGACCCAGT CCCCAGCAGC CCTGAGTGGC
121    TCCGTTGGCG ACCCGGTGAC CATTACGTGC CGTGCGAGCC AGGATGTCAA CACCGCGGTG
181    GCCTGGTATC AGCAAAAACC GGGCAAAGCG CCGAAAC TGC TGATCTATTC AGCCTCGTTT
241    CTGTACAGCG GTGTTCCGTC TCGTTTCAGC GGCCTCTGCA GTGGTACCGA TTTTACCCTG
301    ACGATTAGCT CTCGTCAGCC GGAAGACTTT GCGACGTATT ACTGCCAGCA ACATTACACC
361    ACGCCGCCGA CCTTCGGCCA GGTACGAAA GTGAAATCA AAGGTTCCAC CTCAGGCGGT
421    GGCAGTGGTG GCGGTTCCGG CCGTGGCGGT AGTTCCGAAG TTCAGCTGGT CGAAAGTGGC
481    GGTGGCTGG TCAACCCGGG TGGCTCAGT CGTCTGTCGT GTGCAGCAAG CCGTTTCAAC
541    ATCAAAGATA CCTACATCCA CTGGGTTCTG CAGGCGCCGG GCAAAGGTCT GGAATGGGTC
601    GCCCGCATTT ACCCGACCAA TGGCTATACG CGTTACGCAG ATAGCGTGAA AGGTCGCTTT
661    ACCATCTCTG CGGACACCAG TAAAAACACG GCCTATCTGC AGATGAATAG CCTGCGTGCG
721    GAAGATACCG CCGTTTATTA CTGCTCTCGC TGGGGTGGCG ATGGCTTCTA TGCTATGGAC
781    TACTGGGGCG AGGTCACCTT GGTGACGGTT TCATCGGGTC AGCCGCAAGT ACCGCAAGTG
841    TATACCTGTC CGCGTCCAG CGATGAACG ACGAAAAACC AGGTGTCGCT GACGTGTCGT
901    GTTAAAGGCT TTTACCCGAG CGACATCGCG GTTGAATGGG AATCTAATGG TCAACCCGAA
961    AACAAATATA AAACCACGCC GCCGGTCTCT GATAGTGACG GCTCCTTTTT CCTGTACAGT
1021   AAACGTACCC TGGATAAATC CCGTTGGCAG CAGGTAACG TCTTCTCGTG TAGCGTGATG
1081   CATGAAGCCC TGCATAATCA CTATACCAG AAATCTCTGA GTCIGTCCCC GGGCAAAGGT
1141   TCACCGTCCG GTGGCGGTTT CCGCGGTGGC TCAGGTGGCG GTGGCAGCTC TGGCCAACCG
1201   CGCGAACCCG AGTTTTACAG CCGTGGCGCG AGCCGTGACG AACTGACCAA AAACCAAGTC
1261   AGCCTGACGT GCCTGGTGAA AGGCTTTTAC CCGAGTGACA TTGCAAGTGA ATGGGAATCC
1321   AATGGTACAG CCGAAAAATA CTACAAAACG ACGCCGCGCG TTCTGGATTC AGACGGCTCG
1381   TTTTCTCTGT ACTCAAAACT GACCGTCGAT AAATCGCGCT GGC AACAGGG TAACGTTTTT
1441   AGCTGACTGT TCATGTCACG AGCCCTGCAC AACCATATA CCGAGAAAAG TCTGTCCCTG
1501   TCACCGGGCA AAGAAGTGCA GCTGGTTGAA TCTGGTGGCG GTCGTTGCA ACCGGGCGGT
1561   TCCTGTCGTC TGAGCTGTGC AGCTTCTGGC TTTAATATTA AAGACACGTA CATCCACTGG
1621   GTGCGTCAGG CACCGGTAA AGGCTTGAA TGGGTTGCTG GTATCTATCC GACGAACGGT
1681   TATACGCGTT ACGCCGATAG CGTCAAAGGC CGTTTTACCA TCAGTGCAGA CACCTCCAAA
1741   AACACGGCTT ATCTGCAGAT GAATAGTCTG CGTGCAGAAG ATACCGCTGT TTATTACTGC
1801   AGCCGCTGGG GCGGTGATGG CTCTATGCA ATGATTATT GGGTCAAGG TACCCTGGTC
1861   ACCGTGAGTT CCGGTTCCAG CAGCGGCGGT GGCTCAGGTG GCGGTTCCGG CCGTGGCGGT
1921   TCATCGGACA TTCAGATGAC GCAAAGCCCG AGCTCTCTGT CTGCGAGTGT TGGCGATCGT
1981   GTCACCATCA CGTGTCCGCG CTCTCAGGAC GTGAATACCG CAGTTGCTTG GTACCAACAA
2041   AAACCGGCA AAGCACCGAA ACTGCTGATT TACTCCGCTT AATTCCTGTA CAGCGGTGTG
2101   CCGTCTCGTT TTTCCGGCAG CCGCTCTGGT ACCGATTTCA CCCGACGAT TAGTTCCTG
2161   CAACCGGAAG ATTTCCGCCA CTACTACTGC CAGCAACT ATACGACCCC GCCGACGTTT
2221   GGTCAAGGCA CGAAGTGGA AATTAATAA TTTGCGAAAT TCGCCAAAAA ATTTCGAAAA
2281   TTCGCGAAAA AATTTCGCGAA ATAATGAAAG CTT
    
```

[0335]

[0336]

모노클로날 항-Her2/neu 항체 IgG1(MAb)에 대한 Phor18의 화학적 컨쥬게이션: 인산염 완충 염수(PBS) 중 정제된 항체를 약 2 mg/mL의 농도로 농축시켰다. N-숙시니딜-3-(2-피리딜로티오)프로피오네이트(SPDP)의 20 mM 용액을 디메틸설폭시드(DMSO)에서 새로이 제조하고, 20배 과량으로 항체 용액에 첨가하였다. 혼합물을 약 30분 동안 실온에서 인큐베이션하여, 항체-링커 중간체를 생성시켰다. 과량의 반응되지 않은 SPDP를 크기 배제에 의해 제거하였다. 시스템을 함유하는 세포독성 분자를 10배 과량의 리덕타크릴(reductacryl) 시약과의 반응에 의해 충분히 환원시킨 후, 10배 과량으로 항체-링커 작체물과 혼합하였다. 반응물을 18시간 동안 실온에서 인큐베이션시킨 후, 제염시켜 반응되지 않은 세포독성 분자를 제거하였다. 용액을 저장 전에 필터-멸균시켰다.

[0337]

시험관내: 재조합 항체 제조물(컨쥬게이션된 재조합 항체 제조물 및 컨쥬게이션되지 않은 재조합 항체 제조물)의 세포독성을 결정하기 위해 시험관내 세포독성 연구를 수행하였고, 용해 펩티드 Phor18을 대조군 인큐베이션으로 사용하였다. 세포를 2,000 세포/웰을 이용하여 96 웰 플레이트에서 제조하고, 48시간 동안 부착시켰다. 동결건조된 형태의 Phor18을 염수에 새로이 용해시키고, 0, 0.00001, 0.0001, 0.001, 0.01, 0.1, 1, 10, 25, 및 100 μM의 증가하는 농도로 다중-웰 플레이트에 첨가하였다. Tris/HCL-완충액 중 Her2/neu-항체-Phor18 컨쥬게이트(Phor18-scFv-C<sub>μ</sub>3-Phor18, scFv-C<sub>μ</sub>3-GS-Phor18, scFv-C<sub>μ</sub>3-NRVRRS(SEQ ID NO.:75)-Phor18, Her2/neu-항체-(KLAKLAK)<sub>2</sub>KLAK(SEQ ID NO.:74)(scFv-C<sub>μ</sub>3-GS-(KLAKLAK)<sub>2</sub>KLAK(SEQ ID NO.:74), 및 scFv-C<sub>μ</sub>3-NRVRRS(SEQ ID NO.:75)-(KLAKLAK)<sub>2</sub>KLAK(SEQ ID NO.:74), 또는 scFv-C<sub>μ</sub>3- 수용체 항체(네이키드)를 염수에 희석시키고, 0, 0.0012, 0.012, 0.12, 1.2, 6.0, 12.0, 120, 360 및 720 nM의 증가하는 농도로 세포에 첨가하였다. 인큐베이션을 37°C에서 48시간 동안 수행하였다. 세포 생활력을 포르마잔 전환 검정(MTT 검정)을 이용하여 결정하였다. 대조군은 0% 및 100% 세포 사멸 각각에 대한 참조로서 USP 염수 또는 0.1% TritonX-100™을 함유하였다. 모든 데이터를 처리하고, Graph Pad Prizm 4™ 소프트웨어(Graph Pad Prizm, Inc)를 이용하여 분석하였다.

[0338]

실시예 3

[0339]

본 실시예는 항-Her2-Phor18 항체 컨쥬게이트가 Her2 발현 유방암 세포를 사멸한 것을 나타내는 연구를 기재한다.

[0340] 표 2에 제시된 바와 같이, 항-Her2-Phor18 항체 컨쥬게이트(Phor18-scFv-C<sub>H</sub>3 -Phor18, scFv-C<sub>H</sub>3-GS-Phor18, scFv-C<sub>H</sub>3-NRVRRS(SEQ ID NO.:75)-Phor18)는 48시간까지 Her2/neu 양성 인간 유방암 SKBR-3 및 난소암 SKOV-3 세포주를 사멸시킨 반면, Her2/neu 음성 인간 유방암 MDA-MB-231 세포주는 사멸되지 않았다. 24시간의 인큐베이션만큼 초기에 현미경에 의해 세포독성의 증거가 관찰되었다. 예상된 바와 같이, 컨쥬게이션되지 않은 Phor18은 단지 약간의 세포독성을 나타내었다.

[0341] Phor18에 컨쥬게이션된 HER2/neu 항체는 용해 펩티드 (KLAKLAK)<sub>2</sub>KLAK(SEQ ID NO.:74)에 컨쥬게이션된 항체보다 유의하게 더 세포독성이었다(도 1, 표 2). Her2/neu 음성 MDA-MB-231 세포는 어떠한 제조항 항체-용해 펩티드 컨쥬게이트에 의해 사멸되지 않았고, 이는 항체의 세포독성이 Her2/neu 수용체를 통해 매개된 것을 나타낸다. "네이키드"(컨쥬게이션되지 않은) 항체(scFv-C<sub>H</sub>3)는 3개 모두의 세포주에서 세포독성이 아니었는데, 이는 항체-용해 펩티드 컨쥬게이트의 세포-사멸 특성이 용해 펩티드 페이로드(payload) 및 용해 펩티드의 서열의 존재로 인한 것임을 나타낸다. 또한, 예상된 바와 같이, 컨쥬게이션되지 않은 Phor18은 모든 세포주에서 매우 최소의 비특이적 세포독성을 나타내었다(표 2).

[0342] **표 2:** Her2/neu 수용체 양성 SKOV-3, SKBR-3 및 Her2/neu 수용체 음성 MDA-MB-231 암세포에서의 항-Her2-Phor18 항체 컨쥬게이트(scFv-C<sub>H</sub>3-Phor18 및 -scFv-C<sub>H</sub>3-(KLAKLAK)<sub>2</sub>KLAK(SEQ ID NO.:74) 컨쥬게이트, Her2/neu scFv-C<sub>H</sub>3 및 컨쥬게이션되지 않은 Phor18의 시험관내 세포독성. 값은 nM으로 표현된 IC<sub>50</sub>이다.

제조항 항체 컨쥬게이트	IC <sub>50</sub> [nM] SKOV-3	IC <sub>50</sub> [nM] SKBR-3	IC <sub>50</sub> [nM] MDA-MB-231
Phor18-scFv-C <sub>H</sub> 3-Phor18	44.33±9.2	51.56±6.1	> 1000
scFv-C <sub>H</sub> 3-GS-Phor18	27±2.5	30±1.9	> 1000
scFv-C <sub>H</sub> 3-GS-(KLAKLAK) <sub>2</sub> KLAK	235±6.5	246±41	> 1000
scFv-C <sub>H</sub> 3-NRVRRS-Phor18	29.3±3.5	76.3±16	> 1000
scFv-C <sub>H</sub> 3-NRVRRS-(KLAKLAK) <sub>2</sub> KLAK	247±40.5	338±8.7	> 1000
Her2/neu scFv-C <sub>H</sub> 3	> 1000	> 1000	> 1000
Phor18	18,180	11,455	9,258

[0343]

[0344] 결과는 제조항적으로 생성된 Her2 항체 scFv-C<sub>H</sub>3-Phor18 및 Her2 항체 scFv-C<sub>H</sub>3-(KLAKLAK)<sub>2</sub>KLAK(SEQ ID NO.:74) 컨쥬게이트가 Her2/neu 수용체 발현 세포주에 대해 나노몰 범위에서 활성인 것을 나타낸다. 컨쥬게이션되지 않은 항체 또는 자유 용해 펩티드(Phor18)는 효과가 없었는데, 이는 Her2/neu 수용체에 결합하는 리간드(예를 들어, 항체)에 대한 용해 펩티드의 컨쥬게이션이 세포 세포독성 효능을 향상시키는 것을 나타낸다.

[0345] 실시예 4

[0346] 본 실시예는 Her2 양성 난소암 세포주 SKOV-3에 대한 용해 펩티드 Phor18(KFAKFAK KFAKFAK KFAK(SEQ ID NO.:4))에 컨쥬게이션된 Her-2 수용체에 대한 제조항적으로 생성된 항체(scFv-C<sub>H</sub>3-GS-Phor18), 및 화학적으로 컨쥬게이션된 MAb-Phor18 컨쥬게이트의 시험관내 세포독성 연구의 설명을 포함한다.

[0347] 세포를 5,000 세포/웰을 이용하여 96 웰 플레이트에서 제조하고, 48시간 동안 부착시켰다. MAb-Phor18, scFv-C<sub>H</sub>3-GS-Phor18, scFv-C<sub>H</sub>3를 염수에 희석시키고, 0, 0.0012, 0.012, 0.12, 1.2, 6.0, 12, 120, 360 및 720 nM의 증가하는 농도로 첨가하였다, 농도 당 N=8 데이터 포인트. 인큐베이션을 37°C에서 24시간 동안 수행하였다. 세포 생활력을 포르마잔 전환 검정(MTT 검정)을 이용하여 결정하였다. 대조군은 0 및 100% 세포 사멸 각각에 대한 참조로서 USP 염수 또는 0.1% TritonX-100™을 함유하였다.

[0348] 데이터를 처리하고, Graph Pad Prizm 4™ 소프트웨어(Graph Pad Prizm, Inc)를 이용하여 분석하였다. 유의성에 대한 통계적 분석을 양측 스튜던츠 T-검정(two-tailed Student's T-test)에 의해 결정하였다. 전체 MAb-

Phor18은  $60.53 \pm 3.8$  nM의  $IC_{50}$  값을 발생시켰고, scFv-C<sub>H</sub>3-GS-Phor18은  $59.8 \pm 3.8$  nM이었다. "네이키드"(컨쥬게이션되지 않음) 항체(MAb 및 scFv-C<sub>H</sub>3)는 세포독성이 아니었다. 시험관내 화학적으로 연결된 HER2 항체(MAb-Phor18) 및 재조합 Phor18 컨쥬게이트(scFv-C<sub>H</sub>3-GS-Phor18)는 SKOV-3 세포에 대한 유사한 독성을 나타낸 반면, 네이키드 재조합 항체(scFv-C<sub>H</sub>3)는 독성이 아니었다.

[0349] 실시예 5

[0350] 본 실시예는 다양한 용량의 항-Her2-Phor18 항체 컨쥬게이트(scFv-C<sub>H</sub>3-GS-Phor18, MAb-Phor18), 네이키드 전체 항체(MAb) 및 네이키드 재조합 항체(scFv-C<sub>H</sub>3) 처리를 이용한 인간 난소암의 마우스 이종이식 모델에서의 생체 내 연구를 기재한다.

[0351] 암컷 Nu/Nu 마우스에 SKOV-3/Matrigel 현탁액( $4 \times 10^6$  세포)을 피하 주사하였다. 42일에서 사멸된 마우스로부터의 종양 중량을 기준선으로 제공하였다. 요컨대, 처리를  $130.3 \pm 10.25$  mm<sup>3</sup>의 중간 종양 부피의 종양에 대해 종양 세포 주사 43일 후에 시작하였고, 가쪽 꼬리 정맥으로의 단일 볼루스 주사로서 47, 50, 54, 57 및 60일에 지속시켰다.

[0352] 전체 연구 동안, 종양 부피를 주 당 2회 측정하였고, 체중을 결정하였다. 최종 부검을 종양 세포 주사 64일 후에 수행하였고, 이때 종양을 절제하고, 칭량하고, 조직학적 평가를 위해 포르말린에서 고정시켰다.

[0353] 처리는 다음과 같다: 염수 대조군, 전체 네이키드 모노클로날 항-Her2-항체, MAb, (3 mg/kg), 재조합 네이키드-Her2-항체(scFv-C<sub>H</sub>3)(3 mg/kg), scFv-C<sub>H</sub>3-GS-Phor18(0.3 및 3 mg/kg), MAb-Phor18(0.3 및 3mg/kg). 처리 시작 시에 희생된 마우스로부터의 종양에 대해 Her2/neu 수용체의 면역조직화학 평가를 수행하였다. 각각의 그룹은 8-9마리의 마우스로 구성되었다.

[0354] 모든 그룹의 마우스는 주사에 잘 용인되었다. 주사 결과로 사망한 마우스는 없었다.

[0355] 원발성 종양에 대한 항체 컨쥬게이션된 Phor18 주사 및 네이키드 항체의 효과(부피 및 종양 중량, 도 2A, 2B, 및 3) 및 체중이 도 4에 예시되어 있다. 도 2A 및 2B는 염수 대조군, 및 MAb(네이키드)(3 mg/kg), scFv-C<sub>H</sub>3(3 mg/kg), scFv-C<sub>H</sub>3-GS-Phor18(0.3 및 3 mg/kg), MAb-Phor18(0.3 및 3mg/kg)로 처리된 마우스에 대한 각각의 개별적 처리 그룹에 대한 연구 과정 동안의 평균 종양 부피 및 64일에서의 평균 종양 중량을 도시한다.

[0356] 종양 부피 및 중량은 3 mg/kg의 화학적으로 연결된 MAb-Phor18( $p < 0.04$ ) 또는 재조합적으로 생성된 scFv-C<sub>H</sub>3-Phor18 컨쥬게이트( $p < 0.02$ )로 처리된 모든 동물에서 유의하게 감소하였다. 네이키드 MAb 또는 scFv-C<sub>H</sub>3는 3 mg/kg의 용량에서 염수 대조군에 비해 종양 부피 또는 종양 중량을 감소시키지 않았다(도 2A, 2B, 및 3). 윌콕슨 부호 순위 검정(Wilcoxon signed rank test)을 이용하여 Graphpad prizm 4에서 통계 분석을 수행하였다. 체중은 모든 처리 그룹 및 대조군 동물에서 안정적이었다(도 4).

[0357] 실시예 6

[0358] 본 실시예는 난소암 세포에 대한 용해 펩티드 Phor18(KFAKFAK KFAKFAK KFAK(SEQ ID NO.:4))에 컨쥬게이션된 Her-2 수용체에 대한 재조합적으로 생성된 항체의 시험관내 세포독성 연구를 기재한다.

[0359] scFv-C<sub>H</sub>2-C<sub>H</sub>3-GS-Phor18(GS 링커에 의해 C-말단에서 항체에 연결된 Phor18의 한 분자)은 V<sub>L</sub>--G 링커--V<sub>H</sub>-C<sub>H</sub>2-C<sub>H</sub>3--G 링커-C<sub>H</sub>3-C<sub>H</sub>2--V<sub>H</sub>--G 링커-V<sub>L</sub>-GS-(Phor18)로 구성된다. 세포독성을 Her-2 수용체 양성 세포(SKOV-3, 인간 난소암 세포)에서 네이키드 항체(scFv-C<sub>H</sub>2-C<sub>H</sub>3; 용해 펩티드가 없는 항체)와 비교하였다.

[0360] 재료: 에스케리키아 콜리에서 scFv-C<sub>H</sub>2-C<sub>H</sub>3 항체로서 항-Her2 항체를 합성하기 위해 재조합 DNA 기술을 이용하였다. 항체(Olafsen T. et al Protein Engineering, Design & Selection 17, 315-323, 2004)를 펩티드 링커를 통해 Phor18에 컨쥬게이션시키고, 시험관내에서 세포독성에 대해 분석하였다. 플라스미드를 유전자 코돈 최적화를 통해 획득하였다. 유전자를 N-His 태그 서열을 갖도록 합성하고, 플라스미드를 E. 콜리 박테리아 발현 벡터 pUC57로 서브클로닝하였다. 발현 최적화 및 평가 후, His-태그 생성물을 선택하고, 1 L의 박테리아 발현 생성물을 1-단계 친화성 정제로 정제하였다. 각각의 작제물에 대한 아미노산 서열은 표 3에 기재되어 있다.

[0361] 표 3: 각각의 제조항 항체, (A) scFv-C<sub>H</sub>2-C<sub>H</sub>3; 및 항체 컨쥬게이트 (B) scFv-C<sub>H</sub>2-C<sub>H</sub>3-GS-Phor18의 생성을 위한 아미노산 서열.

[0362] A) scFv-C<sub>H</sub>2-C<sub>H</sub>3; 및 항체 컨쥬게이트: (SEQ ID NO.:82)

```

10      20      30      40      50      60
DIQMTQSPSS LSASVGDRTV ITCRASQDVN TAVAWYQQKP GKAPKLLIYS ASFLYSGVPS

70      80      90      100     110     120
RFSGSRSGTD FTLLTISSLQP EDFATYYCQQ HYTTPPTFGQ GTKVEIKGST SGGGSGGGSG

130     140     150     160     170     180
GGGSSEVQLV ESGGGLVQPG GSLRLSCAAS GFNIKDTYIYH WVRQAPGKGL EWVARIYPTN

190     200     210     220     230     240
GYTRYADSVK GRFTISADTS KNTAYLQMNS LRAEDTAVYY CSRWGGDGFY AMDYWGQGTL

250     260     270     280     290     300
VTVSSPCPAP ELLGGPSVFL FPPKPKDILM ISRTPEVTCV VVDVSHEDPE VKFNWYVDGV

310     320     330     340     350     360
EVHNAKTKPR EEQYNSTYRV VSVLTVLHQD WLNKKEYKCK VSNKALPAPI EKTISKAKGQ

370     380     390     400     410     420
PREPQVYILP PSRDELTRNQ VSLTCLVKG F YPSDIAVEWE SNGQPENNYK TTPPVLDSDG

430     440     450     460     470     480
SFFLYSKLTV DKSRWQQGNV FSCSVMHEAL HNHYTQKSL S LSPGKSTSG GGGGGGGGGG

490     500     510     520     530     540
SSSGQPREPQ VYTLPPSRDE LTKNQVSLT L LVKGFYPSDI AVEWESNGQP ENNYKTPPV

550     560     570     580     590     600
LDSDGSEFLY SKLTVDKSRW QQGNVVFSCSV MHEALHNHYT QKSLSLSPGK PCPAPELLGG

610     620     630     640     650     660
PSVFLFPPKP KDTLMISRTV EPTCVVVDVS HEDPEVKFNW YVDGVEVHNA KTKPREEQYN

670     680     690     700     710     720
STYRVVSVLT VLHQDWLNGK EYKCKVSNKA LPAPIEKTI S KAKEVQLVES GGGLVQPGGS

730     740     750     760     770     780
LRLSCAASGF NIKDTYIHWV RQAPGKGLEW VARIYPTNGY TRYADSVKGR FTISADTSKN

790     800     810     820     830     840
TAYLQMNSLR AEDTAVYYCS RWGGDGFYAM DYWGQGTILV T VSSGSTSGGG SGGGSGGGGS

850     860     870     880     890     900
SDIQMTQSPS SLSASVGDRTV ITCRASQDV N TAVAWYQQK PGKAPKLLIY SASFLYSGVP

910     920     930     940
SRFSGSRSGT DFTLTISSLQ PEDFATYYCQ QHYTTPPTFG QGTKVEIK
    
```

[0363]

[0364] B) scFv-C<sub>H</sub>2-C<sub>H</sub>3-GS-Phor18: (SEQ ID NO.:83)

```

10      20      30      40      50      60
DIQMTQSPSS LSASVGRDVT ITCRASQDVN TAVAWYQQKP GKAPKLLIYS ASFLYSGVPS

70      80      90      100     110     120
RFSGSRSGTD FTLTISSLQP EDFATYYCQQ HYTTPPTFGQ GTKVEIKGST SGGSGGGSG

130     140     150     160     170     180
GGGSSEVQLV ESGGGLVQPG GSLRLSCAAS GFNIKDTYIH WVRQAPGKGL EWVARIYPTN

190     200     210     220     230     240
GYTRYADSVK GRFTISADTS KNTAYLQMNS LRAEDTAVYY CSRWGGDGFY AMDYWGQGTL

250     260     270     280     290     300
VTVSSPCPAP ELLGGPSVFL FPPKPKDTLM ISRTPEVTCV VVDVSHEDPE VKFNWYVDGV

310     320     330     340     350     360
EVHNAKTKPR EEQYNSTYRV VSVLTVLHQD WLNGKEYKCK VSNKALPAPI EKTISKAKGQ

370     380     390     400     410     420
PREPQVYTLF PSRDELTKNQ VSLTCLVKGF YPSDIAVEWE SNGQPENNYK TTPPVLDSDG

430     440     450     460     470     480
SFFLYSKLTV DKSRRWQGNV FSCSVMHEAL HNHYTQKSL SLPKGGSTSG GSGGGGGGG

490     500     510     520     530     540
GSSGQPREPQ VYTLPPSRDE LTKNQVSLTCLVKGF YPSDIAVEWE SNGQPENNYK TTPPVLDSDG

550     560     570     580     590     600
LDSGGSFPLY SKLTVDKSRW QGQNVFSCSV MHEALHNHYT QKSLSLSPGK PCPAPELLGG

610     620     630     640     650     660
PSVFLFPPKP KDTLMISRTP EVTCVVDVSD HEDPEVKFNW YVDGVEVHNA KTKPREEQYN

670     680     690     700     710     720
STYRVVSVLT VLHQDWLNGK EYKCKVSNKA LPAPIEKTIS KAKEVQLVES GGGLVQPGGS

730     740     750     760     770     780
LRLSCAASGF NIKDTYIHWV RQAPGKGLEW VARIYPTINGY TRYADSVKGR FTISADTSKN

790     800     810     820     830     840
TAYLQMNSLR AEDTAVYYCS RWGGDGFYAM DYWGQGTLVV VSSGSTSGGG SGGSGGGGG

850     860     870     880     890     900
SDIQMTQSPS SLSASVGRDV TITCRASQDV NTAVAWYQQK PGKAPKLLIY SASFLYSGVP

910     920     930     940     950     960
SRFSGSRSGT DFTLTISSLQ PEDFATYYCQ QHYTTPPTFG QGTKVEIKGS KFAKFAKFA

```

KFAKFAK

[0365]

[0366] 제조합 항체 제조물(scFv-C<sub>H</sub>2-C<sub>H</sub>3, scFv-C<sub>H</sub>3, 및 scFv-C<sub>H</sub>2-C<sub>H</sub>3-GS-Phor18, scFv-C<sub>H</sub>3-GS-Phor18)의 세포독성을 결정하기 위해 시험관내 세포독성 연구를 수행하였다. Her-2 수용체 양성 SKOV-3 세포를 2,000 세포/웰을 이용하여 96 웰 플레이트에서 제조하고, 48시간 동안 부착시켰다. Tris/HCL-완충액 중 Her2-항체-Phor18 컨쥬게이트(scFv-C<sub>H</sub>2-C<sub>H</sub>3-GS-Phor18, scFv-C<sub>H</sub>3 GS-Phor18) 또는 네이키드 항체(scFv-C<sub>H</sub>2-C<sub>H</sub>3, scFv-C<sub>H</sub>3)를 염수로 희석시키고, 0, 0.0012, 0.012, 0.12, 1.2, 6.0, 12.0, 120, 360 및 720 nM의 증가하는 농도로 세포에 첨가하였다. 인큐베이션을 37°C에서 48시간 동안 수행하였다. 세포 생활력을 Cell Titer Glo 발광 세포 생활력 검정(Promega)을 이용하여 결정하였다. 대조군은 0 및 100% 세포 사멸 각각에 대한 참조로서 USP 염수 또는 0.1% TritonX-100™을 함유하였다. 모든 데이터를 처리하고, Graph Pad Prizm 4™ 소프트웨어(Graph Pad Prizm, Inc)를 이용하여 분석하였다.

[0367] Phor18에 컨쥬게이션된 Her2 항체(scFv-C<sub>H</sub>2-C<sub>H</sub>3, scFv-C<sub>H</sub>3)는 scFv-C<sub>H</sub>3-Phor18에 대해 53.7±0.63 nM 및 scFv-C<sub>H</sub>2-C<sub>H</sub>3-Fv-Phor18에 대해 56.7±0.92 nM의 IC<sub>50</sub> 값을 발생시켰다. "네이키드"(컨쥬게이션되지 않음) 항체 scFv-C<sub>H</sub>2-C<sub>H</sub>3, scFv-C<sub>H</sub>3는 세포독성이 아니었다. 시험관내 제조합 Phor18 컨쥬게이트는 SKOV-3 세포에 대해 유사한 독성을 나타낸다.

[0368] 실시예 7

[0369] 본 실시예는 포유동물 발현 시스템에서의 규정된 위치 용해 도메인(Phor18), 및 항체 당 2, 4 및 6 중 특정 수

의 Phor18 용해 도메인을 갖는 전체 항-Her2-IgG1-Phor18 항체 컨주게이트의 작제 및 발현의 설명을 포함한다. 이들 컨주게이트는 또한 항체-약물 컨주게이트(ADC)로 언급된다.

[0370] 포유동물 시스템(CHO 세포)에서의 전체 IgG1 항체-Phor18(KFAKFAKKFAKFAKKFAK(SEQ ID NO.:4)) 컨주게이트의 재조합 발현을 항체 중쇄 및 경쇄에 대한 독점(proprietary) 분비 신호 서열, 및 인간 IgG 카파-경쇄 분비 신호의 2개의 상이한 분비 신호 서열을 이용하여 수행하였다. 발현된 항-Her2 IgG1 항체(Her-2 수용체에 대한 인간화된 가변 경쇄 및 중쇄 도메인 영역) 및 2, 4 및 6의 Phor18:AB의 화학량적 비율을 갖는 다양한 항체-Phor18 컨주게이트를 SDS PAGE, 웨스턴 블롯 분석, 및 표면 플라즈몬 공명(선택된 ADC)을 이용하여 특성규명하였다.

[0371] 중쇄(H) 또는 경쇄(L) C-말단-Phor18 또는 N-말단-Phor18 컨주게이션을 갖는 재조합적으로 생성된 항체(전체 IgG1 항체)의 수율, 순도 및 세포독성을 분석하였다. 전체 항체 분자에 컨주게이션된 2, 4 및 6 분자의 용해 도메인(Phor18)이 발현되었다. 컨주게이션되지 않은 항-Her2 항체, 항-Her2 항체 중쇄(H) 및 경쇄(L)의 아미노산 서열은 표 4에 제시되어 있다.

[0372] 표 4: Drugbank.ca DB00072로부터의 항-Her2/neu 항체 아미노산 서열. 인간 IgG1과 비교하여 항-Her2 항체의 C<sub>H</sub>1 도메인에 하나의 추가의 아미노산이 존재하였다(밑줄).

[0373] 항-HER2/neu 경쇄 (네이키드 L1): (SEQ ID NO.:84)

```

10      20      30      40      50      60
DIQMTQSPSS LSASVGDVRT ITCRASQDVN TAVAWYQQKP GKAPKLLIYS ASFLYSGVPS

70      80      90      100     110     120
RFSGSRSGTD FTLTISSLQP EDFATYYCQQ HYTPPTFGQ GTKVEIKRTV AAPSVFIFPP

130     140     150     160     170     180
SDEQLKSGTA SVVCLLNNFY PREAKVQWKV DNALQSGNSQ ESVTEQDSKD STYLSLSTLT

190     200     210
LSKADYEKHK VYACEVTHQG LSSPVTKSFN RGEK
    
```

[0374] 항-HER2/neu 중쇄 2 (네이키드 H1): (SEQ ID NO.:85)

```

10      20      30      40      50      60
EVQLVESGGG LVQPGGSLRL SCAASGFNIK DTYIHWRVQA PGKGLEWVAR IYPTNGYTRY

70      80      90      100     110     120
ADSVKGRFTI SADTSKNTAY LQMNSLRAED TAVYYCSRWG GDGFYAMDYW GQGTLVIVSS

130     140     150     160     170     180
ASTKGPSVFP LAPSSKSTSG GTAALGCLVK DYFPEPVTVS WNSGALTSGV HTFPAVLQSS

190     200     210     220     230     240
GLYSLSSVVI VPSSSLGTQT YICNVNHKPS NTKVDKKEP PKSCDKTHC PPCPAPELLG

250     260     270     280     290     300
GPSVFLFPPK PKDTLMISRT PEVTCVVVDV SHEDPEVKFN WYVDGVEVHN AKTKPREEQY

310     320     330     340     350     360
NSTYRVVSVL TVLHQDWLNG KEYKCKVSNK ALPAPIEKTI SKAKGQPREP QVYTLPPSRD

370     380     390     400     410     420
ELTKNQVSLT CLVKGFYPSD IAVEWESNGQ PENNYKTPP VLDSGGSFLL YSKLTVDKSR

430     440     450
WQQGNVFSCS VMHEALHNHY TQKSLSLSPG K
    
```

[0376] 항체-용해 펩티드 컨주게이트 중쇄(H) 및 경쇄(L)의 아미노산 서열은 표 5에 제시되어 있다. 유전자 합성을 차 이니즈 햄스터 난소 세포에 대한 바람직한 코돈 사용빈도를 이용하여 Genewiz, Inc(South Plainfield, NJ)에서 수행하였다. 전사물을 pUC57 박테리아 플라스미드로 라이게이션시켰다.

[0378] 표 5: 용해-펩티드(Phor18, KFAKFAKKFAKFAKKFAK (SEQ ID NO.:4))-항체 중쇄 및 경쇄 컨주게이트의 아미노산 서열

[0379] Phor18-V<sub>L</sub> 경쇄 (L2): (SEQ ID NO.:86)

10 20 30 40 50 60  
 KFAKFAKKFA KFAKFAKGS DIQMTQSPSS LSASVGDRVT ITCRASQDVN TAVAWYQQKP  
 70 80 90 100 110 120  
 GKAPKLLIYS ASFLYSGVPS RFGSRSRSGTD FTLTISSLQP EDFATYYCQQ HYTTPPTFGQ  
 130 140 150 160 170 180  
 GTKVEIKRTV AAPSVFIFPP SDEQLKSGTA SVVCLLNIFY PREAKVQWKV DNALQSGNSQ  
 190 200 210 220 230  
 ESVTEQDSKD STYLSSTLT LSKADYKHK VYACEVTHQG LSSPVTKSFN RGEK

[0380]

[0381] C<sub>L</sub>-Phor18 경쇄 (L3): (SEQ ID NO.:87)

10 20 30 40 50 60  
 DIQMTQSPSS LSASVGDRVT ITCRASQDVN TAVAWYQQKP GKAPKLLIYS ASFLYSGVPS  
 70 80 90 100 110 120  
 RFGSRSRSGTD FTLTISSLQP EDFATYYCQQ HYTTPPTFGQ GTKVEIKRTV AAPSVFIFPP  
 130 140 150 160 170 180  
 SDEQLKSGTA SVVCLLNIFY PREAKVQWKV DNALQSGNSQ ESVTEQDSKD STYLSSTLT  
 190 200 210 220 230  
 LSKADYKHK VYACEVTHQG LSSPVTKSFN RGEKSGKFAK FAKKFAKFAK KFAKA

[0382]

[0383] Phor18-V<sub>L</sub>-C<sub>L</sub>-Phor18 경쇄 (L4): (SEQ ID NO.:88)

10 20 30 40 50 60  
 KFAKFAKKFA KFAKFAKGS DIQMTQSPSS LSASVGDRVT ITCRASQDVN TAVAWYQQKP  
 70 80 90 100 110 120  
 GKAPKLLIYS ASFLYSGVPS RFGSRSRSGTD FTLTISSLQP EDFATYYCQQ HYTTPPTFGQ  
 130 140 150 160 170 180  
 GTKVEIKRTV AAPSVFIFPP SDEQLKSGTA SVVCLLNIFY PREAKVQWKV DNALQSGNSQ  
 190 200 210 220 230 240  
 ESVTEQDSKD STYLSSTLT LSKADYKHK VYACEVTHQG LSSPVTKSFN RGEKSGKFAK  
 250  
 FAKKFAKFAK KFAKA

[0384]

[0385] Phor18-V<sub>H</sub> 중쇄 (H2): (SEQ ID NO.:89)

10 20 30 40 50 60  
 KFAKFAKKFA KFAKFAKGS EVQLVESGGG LVQPGGSLRL SCAASGFNIK DTYIHWRQA  
 70 80 90 100 110 120  
 PGKGLEWVAR IYPTNGYTRY ADSVKGRFTI SADTSKNTAY LQMNSLRAED TAVYYCSRWG  
 130 140 150 160 170 180  
 GDGFYAMDYW GQGTILVTVSS ASTKGPSVFP LAPSSKSTSG GTAALGCLVK DYFPEPVTVS  
 190 200 210 220 230 240  
 WNSGALTSKV HTPFAVLQSS GLYSLSSVVT VPSSSLGTQT YICNVNHKPS NTKVDRKVEP  
 250 260 270 280 290 300  
 PKSCDKTHC PPCPAPELLG GPSVFLFPPK PKDTLMISRT PEVTCVVVDV SHEDPEVKFN  
 310 320 330 340 350 360  
 WYVDGVEVHN AKTKPREEQY NSTYRVVSVL TVLHQDWLNG KEYKCKVSNK ALPAPIEKTI  
 370 380 390 400 410 420  
 SKAKGQPREP QVYTLPPSRD ELTKNQVSLT CLVKGFYPSD IAVEWESNGQ PENNYKTTTP  
 430 440 450 460 470  
 VLDSGDGFFL YSKLTVDKSR WQQGNVFSCS VMHEALHNY TQKSLSLSPG K

[0386]

[0387] C<sub>II</sub>3-Phor18 중쇄 (H3): (SEQ ID NO.:90)

```

10      20      30      40      50      60
EVQLVESGGG LVQPGGSLRL SCAASGFNIK DTYIHWRQA PGKGLEWVAR IYPTNGYTRY

70      80      90      100     110     120
ADSVKGRFTI SADTSKNTAY LQMNSLRAED TAVYYCSRWG GDGFYAMDYW GQGTILVTVSS

130     140     150     160     170     180
ASTKGPSVFP LAPSSKSTSG GTAALGCLVK DYFPEPVTVS WNSGALTSKV HTFPAVLQSS

190     200     210     220     230     240
GLYSLSSVVT VPSSSLGTQT YICNVNHKPS NTKVDKKVEP PKSCDKTHTC PPCPAPELLG

250     260     270     280     290     300
GPSVFLFPPK PKDILMISRT PEVTCVVVDV SHEDPEVKFN WYVDGVEVHN AKTKPREEQY

310     320     330     340     350     360
NSTYRVSVL TVLHQDWLNG KEYKCKVSNK ALPAPIEKTI SKAKGQPREP QVYTLPPSRD

370     380     390     400     410     420
ELTKNQVSLT CLVKGFYPSD IAVEWESNGQ PENNYKTPP VLDSGDSFFL YSKLTVDKSR

430     440     450     460     470
WQQGNVFCSC VMHEALHNHY TQKSLSLSPG KSKFAKFAK KFAKFAKFA KA
    
```

[0388]

[0389] Phor18-V<sub>H</sub>-C<sub>II</sub>3-Phor18 중쇄 (H4): (SEQ ID NO.:91)

```

10      20      30      40      50      60
KFAKFAKFA KFAKFAKGS EVQLVESGGG LVQPGGSLRL SCAASGFNIK DTYIHWRQA

70      80      90      100     110     120
PGKGLEWVAR IYPTNGYTRY ADSVKGRFTI SADTSKNTAY LQMNSLRAED TAVYYCSRWG

130     140     150     160     170     180
GDGFYAMDYW GQGTILVTVSS ASTKGPSVFP LAPSSKSTSG GTAALGCLVK DYFPEPVTVS

190     200     210     220     230     240
WNSGALTSKV HTFPAVLQSS GLYSLSSVVT VPSSSLGTQT YICNVNHKPS NTKVDKKVEP

250     260     270     280     290     300
PKSCDKTHTC PPCPAPELLG GPSVFLFPPK PKDILMISRT PEVTCVVVDV SHEDPEVKFN

310     320     330     340     350     360
WYVDGVEVHN AKTKPREEQY NSTYRVSVL TVLHQDWLNG KEYKCKVSNK ALPAPIEKTI

370     380     390     400     410     420
SKAKGQPREP QVYTLPPSRD ELTKNQVSLT CLVKGFYPSD IAVEWESNGQ PENNYKTPP

430     440     450     460     470     480
VLDSGDSFFL YSKLTVDKSR WQQGNVFCSC VMHEALHNHY TQKSLSLSPG KSKFAKFAK

490
KFAKFAKFA KA
    
```

[0390]

[0391] 중쇄(H) 및 경쇄(L) 전사물을 pCMVtnt 포유동물 발현 플라스미드(도 5, Promega, Madison, WI, L5620, lot 14524919)의 다중 클로닝 부위로의 방향적 라이게이션을 위한 5' EcoR1 및 3' Xba1 제한 부위를 함유하는 프라이머를 이용한 PCR을 이용하여 Genewiz pUC57 플라스미드의 외부에서 합성하였다. 각각의 전사물은 5' 말단에 Kozak 컨센서스 서열 및 분비 신호를 포함하였다.

[0392] 항-Her2/neu 항체를 Lonza Inc.(Cambridge, UK)에 의해 생성시켰다. 차이나이즈 햄스터 난소(CHO) 세포 포유동물 발현 시스템을 네이키드(즉, 용해 도메인이 없는) 항-Her2/neu IgG1, 및 규정된 위치(N-말단 또는 C-말단)에서 전체 항체 당 2, 4 및 6의 용해 도메인의 비로 용해 도메인(Phor18)을 갖는 ADC를 생성시키기 위해 이용하였다.

[0393] 요컨대, Free-style CHO Suspension Cell Expression System(Invitrogen Life Sciences, Carlsbad, CA, cat# K9000-20)을 8mM 글루타맥스(glutamax) 및 5 ml/L 페니실린/스트렙토마이신이 보충된 FreeStyle CHO 발현 배지에서 FS-CHO 세포를 성장(제조업체의 지시에 따름)시키기 위해 이용하였다. 세포를 37°C로 미리 가온된 페니실린/스트렙토마이신이 없는 성장 배지로 해동시키고, 8% CO<sub>2</sub> 대기에서 평형화시키고, 125-135 rpm에서 교반기 플

라스크 내에서 30ml로 성장시켰다. 응집을 피하기 위해 세포 밀도를  $1 \times 10^6$  세포/ml 또는 그 미만으로 유지시켰다.

[0394] FS-CHO 세포를 Invitrogen 프로토콜에 따라 트랜스펙션시켰다. FS CHO 세포를 해동 7일 후 또는 그 초과 동안 확장시켰다. 세포는 24시간마다 배가되었다. 트랜스펙션 전날, 응집물을 제거하고, 세포를 펠렛화시키고, P/S-비함유 배지에  $5 \times 10^5$ /ml로 재현탁시켰다. 트랜스펙션일에, 필요시 세포를  $9 \times 10^5$ /ml로 조정하였고, 생활력은 99%에 가까웠다. 180ml의 세포의 각각의 500ml 스피너 플라스크(VWR, cat# PBV125)를 180 $\mu$ l의 FMax 트랜스펙션 시약(Invitrogen, cat# 16447-100)과 혼합된 180 $\mu$ g의 전체 플라스미드 DNA로 트랜스펙션시켰다. DNA 혼합물을 천천히 첨가하면서 세포를 신속히 소용돌이치도록 하였다. 분석된 H:L 사슬의 비는 3:2, 1:1, 및 2:3이었다.

[0395] 트랜스펙션 4일 내지 6일 후에 수거된 세포 배지로 분비된 ADC를 단백질 A 컬럼을 이용하여 정제하였다. 제공된 Genscript 생성물 프로토콜 및 완충제 설명을 이용하여 FS CHO 배지로부터 분비된 ADC를 분리시키기 위해 약 0.25ml의 단백질 A 수지(Genscript L00210, 용적 수지 ml 당 >20mg IgG)를 이용하였다. ADC를 0.5 ml의 0.1M 글리신 pH 2.5의 저 pH 용리 완충액으로 1회 용리시키고, 용리액을 컬럼에 재적용시키고, 두번째로 수거하였다. 1M Tris pH 8을 이용하여 pH를 6.5로 조정하였다.

[0396] 단백질의 존재를 확인하기 위해, SDS-PAGE(4-15% TGX 젤, Bio-Rad Labs, Hercules, CA, cat# 456-1084) 분석을 이용하였다. 젤 상에서 분리된 ADC를 은-염색시켰다(Sigma-Aldrich, St Louis, MO, Prot Sill kit). 항-Phor18 토끼 폴리클로날을 Covance(Denver, PA, cat# 338983)로부터 구입하였고, 검출을 위해 항-토끼-HRP를 이용하였다(cat# 111-035-046, Jackson ImmunoResearch, Philadelphia, PA). Jackson ImmunoResearch로부터의 항-인간 IgG(cat# 109-035-088)로 ADC의 검출을 수행하였다. 경쇄(L)의 존재를 HRP-마우스 항-인간 카파(Invitrogen, cat#053920)를 이용하여 환원된 ADC에서 확인하였다.

[0397] ADC를 제형화시키기 위해, 20X 용액 중 DPBS 염 및 폴리소르베이트 20(PS20)을 4 $^{\circ}$ C에서의 저장 및 동결-해동 주기 동안 안정화시키기 위해 하기 최종 농도로 단백질 A 용리 완충액(Tris-글리신, 50mM-100mM)에 첨가하였다: CaCl<sub>2</sub> 100mg/L, MgCl<sub>2</sub> ( $\cdot$  6H<sub>2</sub>O) 100mg/L, KCl 200mg/L, NaCl 8g/L, 및 0.09 mg/ml PS20. 단백질 농도를 결정하기 위해, 일부 배치(batch)에 대해, 각각의 샘플에 대한 OD<sub>280</sub>을 분광광도계에서 결정하였다. ADC 농도 [mg/ml]를 1.4의 흡광 계수(아미노산 서열을 기초로 함)를 이용하여 계산하였다. 더 큰 정확성을 위해, 항-인간 IgG Elisa 검정(Genway, 40-374-130037)에 의해 ADC 농도를 결정하였다.

[0398] 첫번째 항-Her2/neu 항체-기반 ADC를 신호 서열의 조절하에서 생성시키고, 발현 분석을 수행하였다. 생성된 ADC는 다음과 같다: H1L1(네이키드), H2L2(Phor18-V<sub>L</sub>-Phor18-V<sub>H</sub>-IgG1), H2L1(Phor18-V<sub>H</sub>-IgG1), H1L2(Phor18-V<sub>L</sub>-IgG1), H1L3(C<sub>L</sub>-Phor18-IgG1), H3L1(C<sub>H</sub>3-Phor18-IgG1), H3L3(C<sub>L</sub>-Phor18-C<sub>H</sub>3-Phor18-IgG1), H3L4(Phor18-V<sub>L</sub>-C<sub>L</sub>-Phor18-C<sub>H</sub>3-Phor18-IgG1), 및 H4L3(Phor18-V<sub>H</sub>-C<sub>L</sub>-Phor18-C<sub>H</sub>3-Phor18-IgG1). 분광광도(OD<sub>280</sub>) 분석을 기초로 하여, ADC에 대한 평균 수율은 H2L2 = 0.12mg/L 및 H1L3 = 0.8mg/L였다.

[0399] 표 6은 개별적 ADC 설명, 약어, 및 용해 도메인(Phor18)의 수 및 위치를 나타낸다.

[0400] 표 6: ADC 설명 및 약어

ADC의 명칭	ADC 약어 (H L)	Phor18 위치	Phor18 용해 서열의 수/항체
IgG1	H1 L1	없음 ('네이키드')	0
Phor18-V <sub>L</sub> -IgG1	H1 L2	N-말단 경쇄 (V <sub>L</sub> )	2
C <sub>L</sub> -Phor18-IgG1	H1 L3	C-말단 경쇄 (C <sub>L</sub> )	2
Phor18-V <sub>L</sub> -IgG1-C <sub>L</sub> -Phor18	H1L 4	N-말단 및 C-말단 경쇄 (V <sub>L</sub> , C <sub>L</sub> )	4
Phor18-V <sub>L</sub> -Phor18-V <sub>H</sub> -IgG1	H2 L2	N-말단 중쇄 및 경쇄 (V <sub>H</sub> , V <sub>L</sub> )	4
Phor18-V <sub>H</sub> -IgG1	H2 L1	N-말단 중쇄 (V <sub>H</sub> )	2
Phor18-V <sub>H</sub> -C <sub>L</sub> -Phor18-IgG1	H2 L3	N-말단 중쇄 및 C-말단 경쇄 (V <sub>H</sub> , C <sub>L</sub> )	4
C <sub>H3</sub> -Phor18-IgG1	H3 L1	C-말단 중쇄 (C <sub>H3</sub> )	2
Phor18-V <sub>L</sub> -C <sub>H3</sub> -Phor18-IgG1	H3 L2	N-말단 경쇄, C-말단 중쇄 (V <sub>L</sub> , C <sub>H3</sub> )	4
C <sub>L</sub> -Phor18-C <sub>H3</sub> -Phor18-IgG1	H3 L3	C-말단 경쇄 및 중쇄 (C <sub>L</sub> , C <sub>H3</sub> )	4
Phor18-V <sub>L</sub> -C <sub>L</sub> -Phor18-C <sub>H3</sub> -Phor18-IgG1	H3 L4	N-말단 경쇄 및 C-말단 경쇄 및 중쇄 (V <sub>L</sub> , C <sub>L</sub> , C <sub>H3</sub> )	6
Phor18-V <sub>H</sub> -C <sub>L</sub> -Phor18-C <sub>H3</sub> -Phor18-IgG1	H4 L3	N-말단 중쇄; C-말단 중쇄 및 경쇄 (V <sub>H</sub> , C <sub>L</sub> , C <sub>H3</sub> )	6
Phor18-V <sub>H</sub> -C <sub>H3</sub> -Phor18-IgG1	H4 L1	N- 및 C-말단 중쇄 (V <sub>H</sub> , C <sub>H3</sub> )	4
Phor18-V <sub>H</sub> -Phor18V <sub>L</sub> -C <sub>H3</sub> -Phor18-IgG1	H4L2	N-말단 중쇄 및 경쇄, C-말단 중쇄 (V <sub>H</sub> , V <sub>L</sub> , C <sub>H3</sub> )	6

[0401]

[0402]

환원된 항체의 면역블롯에서 ADC의 품질을 분석하여, 중쇄 및 경쇄를 시각화시켰다. Phor18의 존재가 H1L2 Phor18-V<sub>L</sub>-IgG1(H1L2)의 경쇄(L), H1L3(C<sub>L</sub>-Phor18-IgG1)의 경쇄(L) 및 H3L1(C<sub>H3</sub>-Phor18-IgG1)의 중쇄(H)에서 확인되었고, 경쇄의 C-말단에만 Phor18을 가졌다(도 6).

[0403]

중쇄 및 경쇄에서의 Phor18의 존재가 Phor18 컨주게이션을 갖는 중쇄에 대한 웨스턴 블롯 분석(도 7A)에서 확인되었다. H1L1 및 항-Her2/neu 항체, 네이키드 항체를 음성 대조군으로 제공하였으며, 이들은 Phor18을 탐지하는 밴드를 나타내지 않았다. 제조합적으로 생성된 항체 및 항체 컨주게이트에서의 경쇄의 존재가 H1L1(IgG1), H3L1(C<sub>H3</sub>-Phor18-IgG1), H1L3(IgG1-C<sub>L</sub>-Phor18)에 대한 웨스턴 블롯 분석에서 확인되었고(카파 경쇄), H2L2(Phor18-V<sub>L</sub>-Phor18-V<sub>H</sub>-IgG1)는 IgG 웨스턴 블롯 분석, 카파-경쇄 웨스턴 블롯 분석(도 7B) 및 항-Phor18 면역 블롯(도 6 및 7A)을 기초로 하여 중쇄 및 경쇄 둘 모두를 가졌다.

[0404]

본 데이터는 2, 4 및 6의 용해 도메인(Phor18):AB의 소정의 화학량론, 및 소정의 위치의 용해 도메인(Phor18)을 갖는 전체 항체-용해 도메인(Phor18) 컨주게이트가 포유동물 발현 시스템에서 제조합적으로 생성될 수 있는 것을 나타낸다.

[0405]

실시예 8

[0406]

본 실시예는 8개의 ADC의 효능 및 특이성의 설명을 포함한다.

[0407]

N-말단 또는 C-말단에서 2, 4 또는 6개의 Phor18 분자에 컨주게이션된 항-Her-2 수용체(IgG1)를 갖는 ADC를 Her2/neu 양성 난소암 세포주(SKOV-3 인간 난소암 세포)를 이용하여 시험관 내에서 분석하였고, "네이키드"항체와 비교하였다. Her-2 수용체 음성, ER 음성, PR 음성 인간 유방암 세포(MDA-MB-231)를 대조군으로 제공하였다.

[0408]

요컨대, SKOV-3(Her2/neu 양성, 계대 번호 pU51) 및 MDA-MB-231(Her2/neu 음성, ER 음성, PR 음성, pu 14) 세포를 세포 해리 완충액을 이용하여 열 비활성화 완전 배지 내에 불투명한 플레이트에 웰 당 2,000개 세포의 밀도로 시딩하였다. 2일 후, 세포에 새로운 배지(75 μl)를 공급하고, 25μl의 각각의 ADC의 4x 연속 희석액과 함께 인큐베이션하고, 세포 배양 배지에서 제조된 네이키드 항체를 첨가하였다.

[0409]

4시간 동안 인큐베이션된 세포를 발광측정 검정 키트(Promega, Cytotox Glo G9292 lot # 317872)를 이용하여 막 온전성에 대해 검정하였다. 세포 생활력을 발광 검정 키트(Promega, W, Cell Titer Glo, G 7572, lot 31511202)를 이용하여 24, 48 및 72시간 후에 결정하였다. 100% 세포 생활력(배양 배지) 및 100% 세포 사멸(0.1% Triton X 100)에 대한 대조군을 동일 조건하에서 인큐베이션하였다.

[0410]

Windows용 Graph Pad Prizm version 5.00, GraphPad Software, San Diego California USA, www.graphpad.com(Graph Pad Prizm, Inc)을 이용하여 데이터를 처리하고 분석하여 IC<sub>50</sub> 값을 획득하였다. 유의성에 대한 통계 분석을 양측 스튜던츠 T-검정에 의해 결정하였다. 각각의 검정을 각각 2-3웰의 이중 플레이트를 이용하여 수행하여, 시점 당 4-6 데이터 포인트의 N을 획득하였다.

- [0411] 각각의 ADC의 농도를 분광광도( $OD_{280}$ ) 결정하였고, 일부 경우에 ELISA 검정을 이용한 IgG 결정에 의해 결정하였다. 각각의 ADC 및 네이키드 항체를 동결된 스톱으로부터 제조하여 최초 농도에 따라 가장 높은 농도로서 800 nM 또는 그 미만을 발생시켰다.
- [0412] 분광광도 결정된 농도에 대한 0.00015, 0.0015, 0.015, 0.15, 1.5, 15, 30 및 60  $\mu\text{g/ml}$ 에 상응하는 0, 0.001, 0.01, 0.1, 1, 10, 100 및 200 nM의 웰 당 최종 농도를 달성하도록 연속 희석액을 세포 배양 배지에서 제조하였다. IgG 내용물을 갖는 연구를 위해, 가장 높은 가능한 농도를 시험한 후, 각각의 ADC에 대한 1:1 및 1:10 희석액을 시험하였다.
- [0413] 제조합적으로 발현된 ADC의 활성을 결정하기 위해 다양한 시점을 포함시켰다. 활성의 가장 이른 표시를 Her2/neu 양성 SKOV-3 세포에서의 ADC 노출 4시간 후의 막 통합에 대한 효과로서 측정하였다.
- [0414] 가변 경쇄에서 Phor18을 갖는 N-말단 컨쥬게이션된 ADC(Phor18- $V_L$ -IgG1)는 표적 세포막을 분해시켰다( $IC_{50}$  =  $187.9 \pm 12.8$  nM). 하나의 Phor18 분자를 갖는 C-말단 컨쥬게이션된 ADC( $C_{H3}$ -Phor18-IgG1)는 검출가능한 막 활성을 갖지 않았다. 네이키드 항-Her2-IgG1은 또한 막 온전성에 검출가능하게 영향을 미치지 않았다.
- [0415] 표 7에는 상기 활성 연구의 결과가 요약되어 있다. ADC는 음성 대조군(Her2/neu 음성) MDA-MB-231에 비해 표적 세포주 SKOV-3에 대한 높은 특이성을 나타내었다.
- [0416] 최대 독성 수준을 48시간 후에 결정하였다.  $IC_{50}$  값[nM]은 C-말단 컨쥬게이션된 ADC인 항체 당 2개의 Phor18 분자를 갖는  $C_{H3}$ -Phor18-IgG1( $27.4 \pm 5.1$  nM, 2 Phor18/AB, H3L1, C-말단)에 비해 N-말단 컨쥬게이션된 ADC Phor18- $V_H$ -IgG1( $13.02 \pm 2.3$  nM, 2 Phor18/AB, N-말단) 및 H2L1 Phor18- $V_L$ -IgG1( $6.9 \pm 3.4$  nM, 2 Phor18/AB, N-말단)에 대해 낮은 나노몰 범위였다.
- [0417] N-말단에 4개 분자의 Phor18을 갖는 N-말단 컨쥬게이션된 ADC는 C-말단 대응물  $C_L$ -Phor18- $C_{H3}$ -Phor18-IgG1( $36.3 \pm 10.6$  nM, 4 Phor18/AB, H3L3, C-말단,  $p < 0.001$ )과 비교하여  $0.54 \pm 0.2$  nM(Phor18- $V_L$ -Phor18- $V_H$ -IgG1, 4 Phor18/AB, N-말단, H2L2)의  $IC_{50}$  값을 가졌다. N-말단에서의 용해 도메인 컨쥬게이션은 C-말단에서의 컨쥬게이션보다 70배 더 효능이 있었다.
- [0418] 이들 데이터는 N-말단 Phor18 컨쥬게이션을 갖는 ADC가 항체 당 2 및 4개 분자의 화학량적 비율에 대해 C-말단 Phor18 컨쥬게이션에 비해 우수한 것을 나타낸다.
- [0419] 항체 당 2개로부터 4개 분자로의 Phor18 컨쥬게이션의 증가는 N-말단에서의 컨쥬게이션을 갖는 12배 더 효능 있는 ADC를 발생시켰으나, C-말단에서는 그렇지 않았다. 항체 당 6개의 Phor18 분자와 컨쥬게이션된 ADC는 Phor18- $V_L$ - $C_L$ -Phor18- $C_{H3}$ -Phor18-IgG1(6 Phor18, N 및 C 말단, H3L4)에 대해  $1.1 \pm 0.2$  nM, 및 Phor18- $V_H$ - $C_L$ -Phor18- $C_{H3}$ -Phor18-IgG1(6 Phor18, H4L3)에 대해  $1.1 \pm 0.4$  nM의  $IC_{50}$  값으로 대략 동일한 효능을 나타내었다.
- [0420] 네이키드 항-Her2-IgG1은 48시간 후에 SKOV-3 표적 세포에서 실질적으로 덜한 세포 사멸 활성을 나타내었다 ( $234.6 \pm 49$  nM의  $IC_{50}$  값). ADC 중 어느 것도 동일 조건 하에서 표적 음성 MDA-MB-231 세포를 사멸시키지 않았다.
- [0421] 이들 데이터는 용해 도메인 (Phor18)-컨쥬게이션된 항-Her-2 수용체 항체(ADCs)가 Her2/neu 발현 세포에 매우 특이적인 것을 나타낸다. 표적 수용체의 부재는 세포를 손상되지 않은 채로 남겨둔다.
- [0422] 용해 도메인 (Phor18) 컨쥬게이션된 항체(ADC)의 효능은 컨쥬게이션의 위치 및 용해 도메인 (Phor18) 분자의 수에 좌우되었으며, 표적 세포에 대한 가장 높은 효능이 항체 당 2 및 4개의 용해 도메인(Phor18) 분자를 갖는 N-말단 용해 도메인 (Phor18)-항체 컨쥬게이트에 대해 관찰되었다. N-말단 컨쥬게이션은 C-말단 용해 도메인 (Phor18)-항체 컨쥬게이션에 비해 70배 활성 증가를 나타내었다. N-말단 Phor18 컨쥬게이션된 ADC는 항체 당 2 및 4개 Phor18 분자를 갖는 둘 모두의 C-말단 Phor18 컨쥬게이트에 비해 더욱 효능이 있었다. 또한, N-말단 컨쥬게이션은 표적 세포 SKOV-3의 막 온전성을 감소시키는 것에 대해 측정가능한 효과를 나타내었다.
- [0423] 컨쥬게이션된 용해 도메인 (Phor18) 분자의 수를 항체 당 6개로 증가시키는 것은 낮은 나노몰 범위에서 최대 활성을 갖도록 하였다. Phor18 컨쥬게이션된 ADC는 네이키드 항체에 비해 433배까지 더 효능이 있었다.

[0424] 표 7: CHO 세포에서 생성된 ADC 및 네이키드 항체의 시험관내 활성

ADC 및 네이키드 항체	ADC - ID	AB 에 대한 Phor18 의 컨주게이션의 말단	48 시간 후의 시험관내 활성	
			IC <sub>50</sub> [nM] SKOV-3 Her2/neu (+)	IC <sub>50</sub> [nM] MDA-MB-231 Her2/neu(-)
IgG1	H1L1	없음	234.6±49	독성이 아님
Phor18-V <sub>L</sub> -IgG1	H1L2	N-말단, L 사슬	6.9±3.4	독성이 아님
Phor18-V <sub>H</sub> -IgG1	H2L1	N-말단, H 사슬	13.02±2.3	독성이 아님
Phor18-V <sub>L</sub> -Phor18-V <sub>H</sub> -IgG1	H2L2	N-말단, H 및 L 사슬	0.54±0.2	독성이 아님
C <sub>H</sub> 3-Phor18-IgG1	H3L1	C 말단 H 사슬	27.4±5.1	독성이 아님
C <sub>L</sub> -Phor18-C <sub>H</sub> 3-Phor18-IgG1	H3L3	C-말단 H 및 L 사슬	36.3±10.6	독성이 아님
Phor18-V <sub>L</sub> -C <sub>L</sub> -Phor18-C <sub>H</sub> 3-Phor18-IgG1	H3L4	N-말단 L 사슬 및 C 사슬 H 사슬	1.1±0.2	독성이 아님
Phor18-V <sub>H</sub> -C <sub>L</sub> -Phor18-C <sub>H</sub> 3-Phor18-IgG1	H4L3	N-말단 H 사슬 및 C-말단 L 사슬	1.1±0.4	독성이 아님

[0425]

[0426] 실시예 9

[0427] 본 실시예는 IgG 카파 신호 서열을 이용한 ADC 발현의 최적화의 설명을 포함한다. 대안적 분비 신호 펩티드를 ADC의 품질 및 발현 수준의 개선에 대해 평가하였다. N-말단 Phor18을 갖는 중쇄 및 경쇄의 발현을 위한 인간 IgG 카파 신호 서열을 생성시키기 위해, 5' 말단에 새로운 신호 펩티드를 갖는 L2(Phor18-V<sub>L</sub>), L4(Phor18-V<sub>L</sub>-C<sub>L</sub>-Phor18), 및 H2(Phor18-V<sub>H</sub>) 항체 중쇄(H) 및 경쇄(L) 전사물에 대한 새로운 유전자 합성을 Genewiz, Inc.에 의해 수행하였다. 인간 IgG 카파 신호 펩티드의 아미노산 서열은 MQTDTLLLVWLLLVWPGSTGA이다(Felgenhauer M, et al., *Nucleic Acids Res.*, 18:4927 (1990)).-

[0428] igk 분비 신호를 이용하여 생성된 Phor18-V<sub>L</sub>-IgG1 및 Phor18-V<sub>L</sub>-Phor18-V<sub>H</sub>-IgG1 ADC는 항-C<sub>L</sub> 카파 및 항-Phor18로 탐지된 환원된 단백질의 면역블롯에서 경쇄에 대한 강한 신호를 가졌다. IgG 카파 신호 펩티드가 더 높은 발현 및 품질을 유도하므로, ADC 생성을 위해 igk 전사물을 선택하였다. Elisa 정량을 기초로 한 IgG 카파 신호 서열을 이용하여 CHO 세포에서 발현된 ADC의 생성 수준은 다음과 같다: H1L1 = 0.8mg/L, C<sub>L</sub>-Phor18-IgG1 = 0.8mg/L, Phor18-V<sub>L</sub>-IgG1 = 0.3mg/L, 및 Phor18-V<sub>L</sub>-Phor18-V<sub>H</sub>-IgG1 = 0.15mg/L. IgG 카파 신호 서열을 이용하여 N-말단 Phor18 ADC의 여러 추가 배치를 생성시키고, 발현 수준, 품질 및 동등한 발현 수준을 이용한 시험관내에서의 효능에 대해 분석하였다.

[0429] Phor18-V<sub>L</sub>-IgG1(H1L2), IgG1-C<sub>L</sub>-Phor18-IgG1(H1L3) 및 Phor18-V<sub>L</sub>-Phor18-V<sub>H</sub>-IgG1(H2L2). 이들 N-말단 및 C-말단 컨주게이션된 Phor18 ADC를 항-Phor18 면역블롯, IgG 및 카파 경쇄 웨스턴 블롯 분석에 의해 품질 및 순도에 대해 분석하였다(도 8). Phor18 존재를 이들의 분자량을 통해 중쇄 및 경쇄에서 확인하였다(도 8).

[0430] ADC의 면역블롯 분석은 igk 분비 신호를 이용하여 생성된 Phor18-V<sub>L</sub>-IgG1, C<sub>L</sub>-Phor18-IgG1 및 Phor18-V<sub>L</sub>-Phor18-V<sub>H</sub>-IgG1 ADC가 Phor18과 함께 제공된 중쇄 및 경쇄를 갖는 것을 나타내었다. 발현 수준은 Phor18-V<sub>L</sub>-IgG1 및 Phor18-V<sub>L</sub>-Phor18-V<sub>H</sub>-IgG1 둘 모두에 대해 0.5mg/L보다 낮았다.

[0431] 실시예 10

[0432] 본 실시예는 항-Her2/neu 항체에 대한 Her2/neu 단백질의 결합에 비한 Phor18-V<sub>L</sub>-IgG1 및 Phor18-V<sub>L</sub>-Phor18-V<sub>H</sub>-IgG1에 대한 Her2/neu 단백질의 결합 동역학을 특성규명하기 위한 연구를 기재한다.

[0433] 염소 항-인간 IgG로 코팅된 GLM 센서 칩을 이용하여 BioRad ProteOn 시스템에서 표면 플라즈몬 공명 연구를 수

행하였다. ADC(Phor18-V<sub>L</sub>-IgG1 및 Phor18-V<sub>L</sub>-Phor18-V<sub>H</sub>-IgG1) 및 항-Her2/neu 항체를 5 µg/ml의 농도로 희석시키고, 포획을 위해 항-인간 IgG 표면 상에 주입하였다. 항-Her2/neu 항체를 150 RU 내지 1000 RU로 포획하였다. Phor18-V<sub>L</sub>-IgG1 및 Phor18-V<sub>L</sub>-Phor18-V<sub>H</sub>-IgG1 포획 수준은 200 내지 900 RU였다.

[0434] ErbB2/Her2/neu(Sino Biological #1004-H08H)를 3배 희석 시리즈(N=4) 중 가장 높은 농도로서 50 nM에서 분석하였다. 데이터를 25°C에서 수집하였다. 표적 표면으로부터의 반응에서 참조 표면을 공제한 후, 1:1 상호작용 모델로 전체적으로 적합화시켰다. 결합 상수를 표 8에 제시된 바와 같이 결정하였다.

[0435] 표 8: 25°C에서 결정된 결합 상수.

	$K_a$ (M <sup>-1</sup> s <sup>-1</sup> )	$K_d$ (s <sup>-1</sup> )	$K_D$ (pM)
Phor18-V <sub>L</sub> -IgG1	2.20 x 10 <sup>5</sup>	4.43 x 10 <sup>-5</sup>	201±24
Phor18-V <sub>L</sub> -Phor18-V <sub>H</sub> -IgG1	2.05 x 10 <sup>5</sup>	3.55 x 10 <sup>-5</sup>	175±13
항-Her2/neu 항체	3.90 x 10 <sup>5</sup>	3.28 10 <sup>-5</sup>	84±13

[0436]

[0437] 결과는 ErbB2가 84±13 pM의 친화성으로 항-Her2/neu 항체에 결합하였고, 200±24 및 175±13 pM으로 각각 약 2.5배 및 2배 더 약한 친화성으로 Phor18-V<sub>L</sub>-IgG1 및 Phor18-V<sub>L</sub>-Phor18-V<sub>H</sub>-IgG1에 결합한 것을 나타낸다. 관찰된 가장 유의한 차이는 Phor18-V<sub>L</sub>-IgG1 및 Phor18-V<sub>L</sub>-Phor18-V<sub>H</sub>-IgG1에 대한 것보다 약 2배 더 신속한 Anti-Her2/neu 항체에 대한 회합 속도였다. 따라서, 전체 항체에 컨주게이션된 Phor18의 결합 동역학은 항-Her2/neu 항체와 유사하며, 이는 결합 특성이 가변 경쇄 및 중쇄에서의 컨주게이션에 의해 거의 영향을 받지 않는 것을 나타낸다.

[0438] 실시예 11

[0439] 본 실시예는 세포독성에 대해 ADC를 특성규명하고 평가하기 위한 연구를 기재한다.

[0440] 다양한 발현 배치를 제조하였다. ADC 농도를 분광광도 측정(OC<sub>280</sub>) 및 IgG 정량 검정으로 결정하였다. 항체 당 2 및 4개의 Phor18 분자에 대한 N-말단 Phor18 컨주게이션을 갖는 선택 ADC(Phor18-V<sub>L</sub>-IgG1 및 Phor18-V<sub>L</sub>-Phor18-V<sub>H</sub>-IgG1)의 연속 희석액을 실시예 10에 기재된 바와 같이 제조하였다. 시험관내 활성은 Phor18-V<sub>L</sub>-IgG1 및 Phor18-V<sub>L</sub>-Phor18-V<sub>H</sub>-IgG1의 각각의 제조물의 IgG 내용물을 기초로 하였다.

[0441] 세포막 온전성에 대한 ADC의 효과를 결정하기 위해 4시간 시점을 분석하였다(표 8). 2의 Phor18/AB 및 4의 Phor18/AB의 화학량적 비율을 갖는 ADC는 4시간 노출 후에 SKOV-3 표적 양성 세포의 세포막을 파괴시켰고 (Phor18-V<sub>L</sub>-IgG1에 대해 21.5±1 및 Phor18-V<sub>L</sub>-Phor18-V<sub>H</sub>-IgG1에 대해 2.51±0.2 nM의 IC<sub>50</sub> 값), 이는 막 붕괴를 나타낸다. 막 활성은 N-말단의 4개의 Phor18 컨주게이션된 항체보다 10배 더 높았다.

[0442] 세포 사멸을 Phor18-V<sub>L</sub>-IgG1(3.7±0.9 nM) 및 Phor18-V<sub>L</sub>-Phor18-V<sub>H</sub>-IgG1(0.2±0.04 nM)에 대한 낮은 나노몰 범위 내의 IC<sub>50</sub> 값으로 24시간 후에 측정하였다. Phor18-V<sub>L</sub>-IgG1 및 Phor18-V<sub>L</sub>-Phor18-V<sub>H</sub>-IgG1의 최대 효능을 Phor18-V<sub>L</sub>-IgG1(0.54±0.2 nM) 및 Phor18-V<sub>L</sub>-Phor18-V<sub>H</sub>-IgG1(0.07±0.02 nM; p<0.0001)에 대해 48시간 후에 측정하였다. 둘 모두의 경우에서, 4 Phor18 항체 컨주게이트(Phor18-V<sub>L</sub>-Phor18-V<sub>H</sub>-IgG1)에 대한 시험관내 효능은 2 Phor18 항체 컨주게이트(Phor18-V<sub>L</sub>-IgG1)보다 10-20배 더 높았다(p<0.0001). 네이키드 항체는 24 및 48시간 후에 225.8±43 및 295.3±80.6 nM에서 Her2/neu 양성 표적 세포(SKOV-3)를 사멸시켰다.

[0443] 이전 결과와 일치하게, Phor18-V<sub>L</sub>-Phor18-V<sub>H</sub>-IgG1은 가장 활성의 ADC였고, Phor18-V<sub>L</sub>-IgG1보다 10배 더 높은 활성을 나타냈다. Her2/neu 음성 대조군 세포주 MDA-MB-231은 네이키드 항체 또는 ADCs(Phor18-V<sub>L</sub>-IgG1 또는 Phor18-V<sub>L</sub>-Phor18-V<sub>H</sub>-IgG1)로 사멸되지 않았다(표 9). 상기 데이터는 항체의 N-말단 도메인에 컨주게이션된 더 많은 수의 Phor18(4 vs 2)이 C-말단 Phor18 컨주게이션을 갖는 항체와 비교하여 가장 효능이 있는 것을 입증한

다.

[0444] 표 9: Her2/neu 양성 난소암 세포주에 대한 2 및 4개의 펩티드의 N-말단 Phor18 컨주게이션을 갖도록 재조합적으로 생성된 ADC의 시험관내 활성.

ADC 및 mAB	시험관내 활성 표적 세포(SKOV-3) [IC <sub>50</sub> - nM]		
	4 hr (막 온전성)	24hr	48 hr
항-Her2-IgG1	온전함	225.8±43	295.3±80.6
Phor18-V <sub>L</sub> -IgG1	21.5±1.0	3.7±0.9	0.54±0.2
Phor18-V <sub>L</sub> -Phor18-V <sub>H</sub> -IgG1	2.51±0.2	0.2±0.04	0.07±0.02

[0445]

[0446] 실시예 12

[0447] 본 실시예는 CD20에 결합하는 ADC의 생성을 기재한다.

[0448] CD20은 B-세포 악성종양의 표면 상에서 발현되며, 내재화되지 않는 표면 표적이다. 항체 단편 컨주게이트를 *E. 콜리*(단일쇄 단편 및 Phor18-컨주게이트) 및 피키아 파스토리스(*Pichia pastoris*)(단일쇄 이합체 및 Phor18-컨주게이트)에서 생성시키고, 2, 4, 및 6개의 Phor18 분자를 갖는 전체 항체 컨주게이트를 CHO 세포에서 발현시켰다. 항-CD20 IgG1 항체 AT80 및 MS4A1을 이용하여 화학적 컨주게이션을 수행하였다.

[0449] 화학적 컨주게이션 - AT80(마우스 IgG1, Tenovus) 및 MS4A1(리툽시맙(rituximab) 유사, R&D)

[0450] 정제된 항체 IgG1 AT80 및 IgG1 MS4A1을 수득하였고, Phor18과의 화학적 컨주게이션에 사용하였다. 항체를 인산염 완충 염수(PBS)에서 약 2 mg/mL로 농축시켰다. SPDP의 20 mM 용액을 DMSO에서 새로이 제조하고, 20배 과량으로 항체 용액에 첨가하였다. 혼합물을 약 30분 동안 실온에서 인큐베이션하여, 항체-링커 중간체를 생성시켰다. 과량의 반응되지 않은 SPDP를 크기 배제 크로마토그래피에 의해 제거하였다. 시스테인을 함유하는 세포독소 분자를 10배 과량의 리덕타크릴 시약과의 반응에 의해 충분히 환원시킨 후, 10배 과량으로 항체-링커 작제물과 혼합하였다. 반응물을 18시간 동안 실온에서 인큐베이션시킨 후, 탈염시켜, 반응되지 않은 세포독소 분자를 제거하였다. 용액을 저장 전에 필터-멸균시켰다. 최종 ADC의 농도는 브래드포드(Bradford) 단백질 측정에 의해 결정시 AT80-Phor18 컨주게이트에 대해 0.76 mg/ml였고, MS4A1-Phor18 컨주게이트에 대해 0.34 mg/ml였다. 컨주게이션을 위한 SPDP 방법을 이용한 항체 당 Phor18 분자의 통상적인 수는 항체 당 3-5분자의 Phor18이다.

[0451] Phor18에 화학적으로 컨주게이션된 CD20에 대한 2개의 항체를 분석하였는데, 이는 이들이 세포의 CD20 루프의 다양한 도메인에 결합하기 때문이다. 시험관내 연구에서, CD20 양성 세포(Daudi 및 Raji, 버킷림프종)에서 2개의 화학적으로 컨주게이션된 CD20을 표적으로 하는 전체 항체 IgG1-Phor18 컨주게이트와 "네이키드" 항체(IgG1)의 세포독성을 비교하였다. CD20 음성 백혈병 세포(U937)를 대조군으로 제공하였다.

[0452] 네이키드 항체 항-CD20-IgG1-Phor18을 0.34 mg/ml(MS4A-Phor18) 및 0.76 mg/ml(AT-80-Phor18)의 농도로 약 158,000 g/mol의 분자량으로 화학적으로 컨주게이션시켰다(MS4A 및 AT80). 세포주를 미국 미생물보존센터(American Type Cell Collection)(Mannassas, VA)에서 수득하였다. 인간 비-호지킨 림프종 세포 Daudi(CD20 양성, 계대 번호 p2), Raji(CD20 양성 p 2) 및 인간 백혈병 세포주 U937(CD20 음성, p 10)을 열 비활성화된 완전 배지에서 불투명한 플레이트에 웰 당 3,000개 세포의 밀도로 시딩하였다. 24시간 후, 세포에 새로운 배지(75 μl)를 공급하고, 25μl의 0.001, 0.01, 0.1, 1, 10, 100 및 500 nM(N=6)의 MS4A1-Phor18 및 AT80-Phor18의 4x 연속 희석액과 함께 인큐베이션하였다. 2-5시간 동안 인큐베이션된 세포를 발광측정 검정 키트(Promega, Madison, WI, Cytotox Glo G9292 lot # 301329)를 이용하여 막 온전성에 대해 검정하였다. 세포 생활력을 발광 검정 키트(Promega, Madison, WI, Cell Titer Glo, G 7572, lot 30068102)를 이용하여 24, 및 48시간 후에 결정하였다.

[0453] 화학적으로 컨주게이션된 MS4A1-Phor18 및 AT80-Phor18을 이들의 막 활성에 대해 시험하였다. MS4A1-Phor18은 CD20 양성 세포주 Raji 및 Daudi에서 2 또는 5시간 후에 활성이 아니었던 반면, AT-80-Phor18은 106.1±2.9 nM

의 IC<sub>50</sub> 값으로 CD20 양성 Daudi 세포에서 막 온전성을 파괴하였다. Daudi 세포는 11.9±0.9 nM의 IC<sub>50</sub> 값으로 48시간 이내에 AT-80-Phor18 컨쥬게이트에 의해 사멸되었고, Raji 세포는 6.3±1.02 nM의 IC<sub>50</sub> 값으로 사멸되었다. CD20 음성 대조군 세포주 U937은 네이키드 AT-80 항체 또는 AT-80-Phor18 컨쥬게이트에 의해 사멸되지 않았다.

[0454] MS4A1-Phor18 컨쥬게이트는 24 및 46시간 후에 267±13 및 227±11 nM의 IC<sub>50</sub> 값으로 Raji 세포에서 낮은 활성을 나타내었다. Daudi 세포는 10.6±2.1 및 3.0±1.2 nM의 IC<sub>50</sub> 값으로 MS4A1-Phor18 컨쥬게이트에 대해 훨씬 더 민감하였다. 네이키드 MS4A1 항체는 Raji 또는 Daudi 세포주에 대해 독성이 아니었다. CD20 음성 인간 백혈병 세포(U937)는 어느 ADC에 의해서도 사멸되지 않았다(표 10).

[0455] 이들 데이터는 화학적으로 컨쥬게이션된 Phor18 ADC가 접촉시 CD20 양성 세포를 사멸시키고, 내재화를 필요로 하는 것으로 보이지 않는 것을 나타낸다. 세포독성은 CD20 표적에 특이적이며, ADC의 결합 도메인에 좌우된다.

[0456] 표 10: CD20 양성 비-호지킨 림프종 세포주 Raji 및 Daudi 및 CD20 음성 세포주 U937에서의 화학적으로 컨쥬게이션된 항-CD20 IgG1-Phor18 컨쥬게이트의 시험관내 활성

Raji	항-CD20-Phor18 (AT80) [IC <sub>50</sub> nM]	항-CD20 AT80 [IC <sub>50</sub> nM]	항-CD20-Phor18 (MS4A1) [IC <sub>50</sub> nM]	항-CD20 MS4A1 [IC <sub>50</sub> nM]
2 h	120.8± 0.45	독성이 아님	ND	ND
5 h (N=6)	138.2± 28.8	독성이 아님	ND	ND
24 h	ND	ND	267.1±13	독성이 아님
46 h	6.3± 1.02	ND	227±11	독성이 아님
Daudi	항-CD20-Phor18 (AT80) [IC <sub>50</sub> nM]	항-CD20 AT80 [IC <sub>50</sub> nM]	항-CD20-Phor18 (MS4A1) [IC <sub>50</sub> nM]	항-CD20 MS4A1 [IC <sub>50</sub> nM]
2 h	126.5± 12.1	독성이 아님	독성이 아님	독성이 아님
5 h (N=6)	106.1± 2.9	독성이 아님	독성이 아님	독성이 아님
24 h	ND	ND	10.6±2.1	독성이 아님
46 h	11.9± 0.9	115.5± 53	3.0± 1.2	독성이 아님
U937 (CD20 음성)	항-CD20-Phor18 (AT80) [IC <sub>50</sub> nM]	항-CD20 AT80 [IC <sub>50</sub> nM]	항-CD20-Phor18 (MS4A1) [IC <sub>50</sub> nM]	항-CD20 MS4A1 [IC <sub>50</sub> nM]
2-46 h	독성이 아님	독성이 아님	독성이 아님	독성이 아님

[0457] ND = 결정되지 않음

[0458] 실시예 13

[0460] 본 실시예는 CD20 표적화 ADC의 카스파제 활성화의 비교를 기재한다.

[0461] CD20 표적화 ADC는 내재화되지 않는다. 세포 사멸의 개시는 아포토시스 관련 경로를 결정함으로써 측정될 수 있다. 초기 아포토시스 과정은 카스파제 3 및 7의 활성화를 나타낸다. 카스파제는 시스템인 아스파르트산-특이적 프로테아제 패밀리의 일원이며, 포유동물 세포의 아포토시스에서 중요한 효과기 역할을 한다. 상기 검정은 카스파제 활성화, 루시페라제 활성화 및 세포 용해에 최적화된 시약에서 테트라펩티드 서열 DEVD를 함유하는 루미노제닉(luminogenic) 카스파제-3/7 기질을 제공한다.

[0462] 시험관내 연구에서, CD20 양성 세포(Daudi 버킷림프종)에서 화학적으로 컨쥬게이션된 CD20을 표적으로 하는 전체 항체 IgG1-Phor18 컨쥬게이트와 "네이키드" 항체(IgG1-AT80)의 카스파제 활성화를 비교하였다.

[0463] 인간 비-호지킨 림프종 세포 Daudi(CD20 양성, 계대 번호 p2)를 열 비활성화 완전 배지 내에 불투명한 플레이트

에 웰 당 3,000개 세포의 밀도로 시딩하였다. 24시간 후, 세포에 새로운 배지(75  $\mu$ l)를 공급하고, 15 및 75  $\mu$ g/ml(100 및 500 nM)(N=6)의 AT80-Phor18(0.76 mg/ml) 또는 네이키드 항체 AT-80와 함께 인큐베이션하였다. 10  $\mu$ M의 스타우로스포린을 카스파제 3/7 활성화에 대한 양성 대조군으로 제공하였다. 인큐베이션 5시간 후, 배양물을 발광측정 검정 키트(Promega, Madison, WI, Caspase Glo 3/7 G811C lot # 28731802)를 이용하여 카스파제 3/7 수준에 대해 검정하였다.

[0464] 카스파제 3/7 활성화를 발광측정 신호로부터의 상대 광 단위로부터 계산하였다. 스타우로스포린을 100% 카스파제 3/7 활성화로 설정하였고, 시약의 첨가가 없는 세포 현탁액 단독을 0% 카스파제 수준으로 제공하였다. AT80-Phor18은 15  $\mu$ g/ml에서 카스파제 3/7 수준을  $13 \pm 2.6\%$ 로 상승시켰고, 75  $\mu$ g/ml에서  $85.7 \pm 5\%$ 에 도달시켰다. 15 또는 75  $\mu$ g/ml 농도에서 컨주게이션되지 않은 AT-80은 카스파제 활성화가 결핍되었다(-12.3 및 -2.3%). AT80-Phor18의 가장 높은 용량은 스타우로스포린과 동등한 카스파제 활성화를 발생시켰다(도 9).

[0465] Phor18-컨주게이션된 ADC는 표적 세포에 결합된 경우 카스파제 3/7을 활성화시키고, 이에 따라 5시간 이내에 아포토시스 세포 사멸을 촉진한다.

[0466] 실시예 14

[0467] 본 실시예는 E. 콜리에서의 단일쇄 항-CD20 Phor18(scFv-Phor18) 컨주게이트의 발현 작제물 및 특성규명을 기재한다.

[0468] p185의 인간화 가변 영역으로 리투산(Rituxan) CDR을 삽입함으로써 단일쇄 Fv 항-CD20 단편을 설계하였다. 폴리-히스티딘 태그를 정제를 위해 단백질의 N-말단에 첨가하였다. 아미노산 서열이 하기 제시되며, 삽입된 CDR은 굵은 글씨로 제시된다. 폴리-글리신 가요성 링커를  $V_L$ 과  $V_H$  도메인 사이에 삽입하였고, Phor18을 GS 링커 뒤의 C-말단에 두었다.

[0469] scFv 단편의 아미노산 서열 (네이키드 AB); 굵은 글씨의 CDR (SEQ ID NO.:92)

```

      10           20           30           40           50           60
HHHHHHDIQL TQSPAILSAS PGEKVTMTCR ASSSVSYIHW FQKPGSSPK PWIYATSNLA

      70           80           90           100          110          120
SGVPVRFSGS GSGTSYSLTI SRVEAEDAAT YYCQOWTSNP PTFGGGTKLE IGSTSGGGSG

      130          140          150          160          170          180
GGSGGGGSSV QLQQPGAELV KPGASVKMSC KASGYTFTSY NMHWVKQTPG RGLEWIGAIY

      190          200          210          220          230          240
PGNGDTSYNQ KFKGKATLTA DKSSSTAYMQ LSSLTSEDSA VYYCARSTYY GGDWYFDVWG
    
```

[0470] QGTTIVVSS

[0471] scFv-Phor18 컨주게이트의 아미노산 서열 (C-말단); 굵은 글씨의 CDR (SEQ ID NO.:93)

```

      10           20           30           40           50           60
HHHHHHDIQL TQSPAILSAS PGEKVTMTCR ASSSVSYIHW FQKPGSSPK PWIYATSNLA

      70           80           90           100          110          120
SGVPVRFSGS GSGTSYSLTI SRVEAEDAAT YYCQOWTSNP PTFGGGTKLE IGSTSGGGSG

      130          140          150          160          170          180
GGSGGGGSSV QLQQPGAELV KPGASVKMSC KASGYTFTSY NMHWVKQTPG RGLEWIGAIY

      190          200          210          220          230          240
PGNGDTSYNQ KFKGKATLTA DKSSSTAYMQ LSSLTSEDSA VYYCARSTYY GGDWYFDVWG
    
```

[0472] QGTTIVVSSG SKFAKFAKFK AKFAKFAK

[0473] 상기 항체 단편을 E. 콜리에서의 생성을 위해 Genscript USA(Piscataway, NJ)로부터 주문하였다. Genscript는 E. 콜리 극한 발현 세포에서의 생성을 위해 이들의 pGS21a 발현 플라스미드를 사용하였다. Genscript는 E. 콜리 봉입체로부터 단백질을 분리시켰다.

[0474] 네이키드 scFv 단편은 친화성 크로마토그래피를 통해 정제하였고, 0.31 mg/ml의 농도에서 15 mg/L의 수율을 발생시켰다. 순도는 85%로 결정되었다. 분자량을 27,088 g/mol을 이용한 쿠마시 염색된 SDS PAGE 분석을 이용하여 결정하였다. Phor18 컨주게이트는 쿠마시 염색된 SDS-Page를 기초로 하여 15 mg/L의 유사한 수율 및 85%의

순도를 가졌다. 분자량을 29,349 g/mol에서 측정하였다. 네이키트 AB 및 ADC 둘 모두는 50 mM Tris 완충액, pH 8.0 내에 제공되었다.

[0475] 항-CD20 ScFv-Phor18은 29.3kD의 계산된 분자량을 갖는다. 항체 단편을 정제를 위해 폴리-히스티딘 태그와 함께 발현시켰다. 항-히스티딘으로 탐지된 단백질의 면역블롯 및 분자량을 나타낸 쿠마시 블루로 염색된 SDS-PAGE는 정확한 범위 내였다.

[0476] 실시예 15

[0477] 본 실시예는 E. 콜리에서 재조합적으로 생성된 CD20 표적화 Fv-C<sub>H</sub>3-C<sub>H</sub>3-Fv-Phor18 컨쥬게이트의 발현 및 특성구명을 기재한다:

[0478] 2가 항-CD20 미니바디를 가변 도메인 사이 및 C<sub>H</sub>3 도메인 사이에 가요성 글리신-세린 링커를 첨가하여 Fv-C<sub>H</sub>3-C<sub>H</sub>3-Fv 미니바디를 생성시킴으로써 설계하였다. 폴리-히스티딘 태그를 봉입체로부터의 정제를 위해 단백질의 N-말단으로 첨가하였고, Phor18을 GS 링커 뒤의 C-말단에 위치시켰다. 아미노산 서열은 하기 제시되며, 다양한 도메인에서 삽입된 CDR은 굵은 글씨로 제시되며, C<sub>H</sub>3 도메인은 소문자 알파벳으로 표시된다.

[0479] 항-CD20 미니바디 Fv-C<sub>H</sub>3-C<sub>H</sub>3-Fv의 아미노산 서열; 굵은 글씨의 CDR (SEQ ID NO.:94)

```

10      20      30      40      50      60
DIQLTQSPA I LSASPGEKVT MTCCRASSSVS YIHWFFQQRPG SSPKPKWIYAT SNLASGVPVR

70      80      90      100     110     120
FSGSGSGTSY SLTISRVEAE DAATYYCQOW TSNPPTFGGG TKLEIGSTSG GSGGGSGGG

130     140     150     160     170     180
GSSVQLQQPG AELVKPGASV KMSCKASGYT FTSYNMHWVVK QTPGRGLEWI GAIYPGNGDT

190     200     210     220     230     240
SYNQKFKGKA TLTADKSSST AYMQLSSLTS EDSAVYYCAR STYYGGDWYF DVWGQGTIVT

250     260     270     280     290     300
VSSGQPREPQ VYTLPPSRDE LTKNQVSLTC LVKGFYPSDI AVEWESNGQP ENNYKITPPV

310     320     330     340     350     360
LDSDGFFLY SKLTVDKSRW QQGNVFSV MHEALHNHYT QKSLSLSPGK GSTSGGGSGG

370     380     390     400     410     420
GSGGGSSGQ PREPQVYTLF PSRDELTKNQ VSLTCLVKGF YPSDIAVEWE SNGQPENNYK

430     440     450     460     470     480
TTPVLDSDG SFFLYSKLTV DKSRWQQGNV FSCVMHEAL HNHYTQKSL SPSGKVLQQ

490     500     510     520     530     540
PGAELVKPGA SVKMSCKASG YFTSYNMHW VKQTPGRGLE WIGAIYPGNG DTSYNQKFKG

550     560     570     580     590     600
KATLTADKSS STAYMQLSSL TSEDSAVYYC ARSTYYGGDW YFDVWGQGTI VTVSSGSTSG

610     620     630     640     650     660
GSGGGSGGG GSSDIQLTQS PAILSASPGE KVTMTCCRASS SVSYIHWFQQ KPGSSPKWI

670     680     690     700     710
YATSNLASGV PVFSGSGSGT SYSLTISRVE AEDAATYYCQ QWTSNPPTFG GGTKLEI
    
```

[0480]

[0481] 항-CD20-Phor18 미니바디 컨주게이트 Fv-C<sub>H</sub>3-C<sub>H</sub>3-Fv-Phor18의 아미노산 서열; 굵은 글씨의 CDR (SEQ ID NO.:95)

```

10      20      30      40      50      60
DIQLTQSPAI LSASPGEKVT MTCRASSSVS YIHWFQQKPG SSPKPWIYAT SNLASGVVPR

70      80      90      100     110     120
FSGSGSGTSY SLTISRVEAE DAATYYCQQW TSNPPTFGGG TKLEIGSTSG GSGGGSGGG

130     140     150     160     170     180
GSSVQLQQPG AELVKPGASV KMSCKASGYT FTSYNMHVVK QTPGRGLEWI GAIYPGNGDT

190     200     210     220     230     240
SYNQKFKGKA TLTADKSSST AYMQLSSLTS EDSAVYYCAR STYYGGDWYF DVWGQTTVT

250     260     270     280     290     300
VSSGQPREPQ VYTLPPSRDE LTKNQVSLTC LVKGFYPSDI AVEWESNGQP ENNYKTTTPV

310     320     330     340     350     360
LDSGSGFFLY SKLTVDKSRW QQGNVFCVSV MHEALHNHYT QKSLSLSPGK GSTSGGGGG

370     380     390     400     410     420
GSGGGGSSGQ PREPQVYILP PSRDELTKNQ VSLTCLVKGF YPSDIAVEWE SNGQPENNYK

430     440     450     460     470     480
TTPPVLDSDG SFFLYSKLTV DKSRWQQGNV FSCSVMHEAL HNHYTQKSL S LSPGKVQLQQ

490     500     510     520     530     540
PGAELVKPGA SVKMSCKASG YTFTSYNMHW VKQTPGRGLE WIGAIYPGNG DTSYNQKFKG

550     560     570     580     590     600
KATLTADKSS STAYMQLSSL TSEDSAVYYC ARSTYYGGDW YFDVWGQTT VTVSSGSTSG

610     620     630     640     650     660
GSGGGGSGGG GSSDIQLTQS PAILSASPGE KVTMTCRASS SVSYIHWFQQ KPGSSPKPWI

670     680     690     700     710     720
YATSNLASGV PVFSGSGSGT SYSLTISRVE AEDAATYYCQ QWTSNPPTFG GGTKLEIGSK
    
```

[0482] FAKFAKKFAK FAKKFAK

[0483] 항체 단편을 E. 콜리에서의 생성을 위해 Genscript USA(Piscataway, NJ)로부터 획득하였다. Genscript는 E. 콜리 극한 발현 세포에서의 생성을 위해 이들의 pGS21a 발현 플라스미드를 사용하였다. Genscript는 E. 콜리 봉입체로부터 단백질을 분리시켰다.

[0484] 네이키드 항-CD20 미니바디는 친화성 크로마토그래피를 통해 정제하였고, 0.23 mg/ml의 농도에서 3 mg/L의 수율을 발생시켰다. 순도는 80%로 결정되었다. 분자량을 78,988 g/mol을 이용한 쿠마시 염색된 SDS PAGE 분석을 이용하여 결정하였다. Phor18 컨주게이트는 쿠마시 염색된 SDS-Page를 기초로 하여 3 mg/L의 유사한 수율 및 70%의 순도를 가졌다. 분자량을 93,515 g/mol에서 측정하였다. 네이키드 AB 및 ADC 둘 모두는 50 mM Tris 완충제, 150 mM NaCl, 15-20% 글리세롤, pH 8-9.5 내에 제공되었다.

[0485] 네이키드 단일쇄 Fv 및 항-CD20 미니바디 및 scFv-Phor18 및 항 CD20-Phor18 컨주게이트를 E. 콜리에서 발현시켰다. 각각의 항체 단편 백본에 해당하는 별개의 분자량이 SDS-PAGE 젤 및 웨스턴 블롯에서 입증되었다.

[0486] 실시예 16

[0487] 본 실시예는 CD20 양성 및 CD20 음성 세포주에서의 scFv 및 항-CD20 네이키드 미니바디 및 Phor18 컨주게이트의 시험관내 분석을 기재한다.

[0488] 시험관내 연구에서, CD20 양성 세포(Daudi, 버킷림프종)에서 박테리아 발현 시스템에서 재조합적으로 생성된 CD20을 표적으로 하는 scFv-Phor18 및 항-CD20-Phor18 미니바디와 "네이키드" 항체(scFv 및 항-CD20 미니바디)의 세포독성을 비교하였다. CD20 음성 백혈병 세포(U937)를 대조군으로 제공하였다.

[0489] 각각의 네이키드 항체 단편 및 ADC의 농도를 브래드포드에 따라 결정하였다. 0.3 mg/ml 농도의 네이키드 항체 scFv는 Mw 27,088 g/mol이었고, 미니바디는 Mw 78,988 g/mol, 0.231 mg/ml였고; Phor 18 컨주게이션된 항체는 scFv-Phor18(Mw 29,349 g/mol, 0.9 mg/ml) 및 미니바디-Phor18(Mw 93,515, 0.48 mg/ml)이었다. 세포주를 미국 미생물보존센터(Mannassas,VA)에서 획득하였다. 인간 비-호지킨 림프종 세포 Daudi(CD20 양성, 계대 번호 p8) 및 인간 백혈병 세포주 U937(CD20 음성, p 16)을 열 비활성화된 완전 배지에서 불투명한 플레이트에 웰 당

2,000개 세포의 밀도로 시딩하였다. 24시간 후, 세포에 새로운 배지(75  $\mu$ l)를 공급하고, 25 $\mu$ l의 scFv-Phor18 및 미니바디-Phor18 ADC의 4x 연속 희석액과 함께 인큐베이션하고, 세포 배양 배지에서 제조된 네이키드 항체 단편(scFv 및 미니바디)을 0.0001, 0.001, 0.01, 0.1, 1, 10, 100, 200, 및 500 nM(N=6)의 농도로 첨가하였다. 4시간 동안 인큐베이션된 세포를 발광측정 검정 키트(Promega, Madison, WI, , Cytotox Glo G9292 lot # 301329)를 이용하여 막 온전성에 대해 검정하였다. 세포 생활력을 발광 검정 키트(Promega, Madison, WI, Cell Titer Glo, G 7572, lot 30062102)를 이용하여 24, 48 및 72시간 후에 결정하였다.

[0490] 100% 세포 생활력(배양 배지) 및 100% 세포 사멸(0.1% Triton X 100)에 대한 대조군을 동일 조건하에서 인큐베이션하였다.

[0491] Windows용 Graph Pad Prizm version 5.00, GraphPad Software, San Diego California USA, www.graphpad.com(Graph Pad Prizm, Inc)을 이용하여 데이터를 처리하고 분석하여 IC<sub>50</sub> 값을 획득하였다. 유의성에 대한 통계 분석을 양측 스튜던츠 T-검정에 의해 결정하였다. 각각의 검정을 각각 2-3월의 2개의 플레이트를 이용하여 수행하여, 시점 당 4-6 데이터 포인트의 N을 획득하였다.

[0492] 재조합 scFv-Phor18 컨쥬게이트를 E. 콜리에서 발현시켰다. 도 10, 표 11에 제시된 바와 같이, 항-CD20-scFv-Phor18 컨쥬게이트는 CD20 양성 Daudi 세포에서 막 온전성을 파괴시켰다. 인간 버킷 림프종 세포(Daudi)는 48시간 이내에 사멸된 반면, CD20 음성 인간 백혈병 세포(U937)는 사멸되지 않았다. 네이키드 scFv 항체는 어느 세포주도 사멸시키지 않았다. 세포 생활력 데이터의 힐 플롯(Hill plot) 분석은 Daudi 세포에서 24시간 후 10.02 $\pm$ 0.5 nM 및 48시간 후 1.5 $\pm$ 0.3 nM의 미니바디 컨쥬게이트에 대한 IC<sub>50</sub> 값을 발생시켰다. 네이키드 scFv는 독성이 아니었다. CD20 음성 세포주 U937은 네이키드 scFv 또는 scFv-Phor18 또는 미니바디-Pho18 컨쥬게이트에 의해 사멸되지 않았다. 미니바디-Phor18 컨쥬게이트의 시험관내 활성은 24 및 46시간 후에 CD20 양성 Daudi 세포에서 10.5 $\pm$ 0.5 및 3.9 $\pm$ 1.6 nM이었다. 네이키드 미니바디는 독성이 아니었다.

[0493] 표 11: scFv-Phor18 및 Fv-C<sub>H</sub>3-C<sub>H</sub>3-Fv-Phor18, 및 CD20을 표적으로 하는 scFv 및 Fv-C<sub>H</sub>3-C<sub>H</sub>3-Fv의 시험관내 독성. Daudi 세포(NHL)는 CD20에 대해 양성이고, U937 세포(백혈병)는 CD20에 대해 음성이다.

Daudi	scFv [IC <sub>50</sub> nM]	scFv-Phor18 [IC <sub>50</sub> nM]	Fv-C <sub>H</sub> 3-C <sub>H</sub> 3-Fv [IC <sub>50</sub> nM]	Fv-C <sub>H</sub> 3-C <sub>H</sub> 3-Fv-Phor18 [IC <sub>50</sub> nM]
2 h	독성이 아님	109.8 $\pm$ 0.9	ND	ND
5 h (N=8)	독성이 아님	111.6 $\pm$ 15.1	ND	ND
24 h (N=6)	독성이 아님	10.02 $\pm$ 0.5	독성이 아님	10.5 $\pm$ 0.5
46 h (N=6)	독성이 아님	1.5 $\pm$ 0.3	독성이 아님	3.6 $\pm$ 1.6
<b>U937</b>				
2-48 h	독성이 아님	독성이 아님	독성이 아님	독성이 아님

[0494] ND= 결정되지 않음

[0495] 효능 있는 scFv-Phor18 및 Fv-C<sub>H</sub>3-C<sub>H</sub>3-Fv-Phor18 컨쥬게이트를 E. 콜리에서 발현시켰고, 이는 네이키드 scFv 또는 Fv-C<sub>H</sub>3-C<sub>H</sub>3-Fv보다 더 효능이 있었다. CD20 표적화 ADC는 표적 세포를 특이적으로 사멸시켰고, 세포 사멸은 내재화와 독립적이었다. scFv-Phor18 또는 Fv-C<sub>H</sub>3-C<sub>H</sub>3-Fv-Phor18 표적화 컨쥬게이트는 아포토시스 경로를 활성화시켰으나, 네이키드 scFv 항체 단편은 그렇지 않았다. C-말단 컨쥬게이션된 scFv 및 Fv-C<sub>H</sub>3-C<sub>H</sub>3-Fv 컨쥬게이트는 24시간 후에 나노몰 범위의 유사한 활성을 나타내었다.

[0497] 실시예 17

[0498] 본 실시예는 CD20 표적화 ADC의 가능한 작용 메커니즘을 기재한다.

[0499] 시험관내 연구에서, CD20 양성 세포(Daudi 버킷 림프종)에서 재조합적으로 발현된 CD20을 표적으로 하는 scFv-Phor18 컨주게이트와 "네이키드" 항체(scFv)의 카스파제 활성화를 비교하였다. 인간 비-호지킨 림프종 세포 Daudi(CD20 양성, p 5) 및 Raji(CD20 양성, 계대 번호 p 3)를 열 비활성화된 완전 배지에서 불투명한 플레이트에 웰 당 3,000개 세포의 밀도로 시딩하였다. 24시간 후, 세포에 새로운 배지(75  $\mu$ l)를 공급하고, scFv-Phor18(0.365 mg/ml) 또는 5 및 15  $\mu$ g/ml(100 및 500 nM)(N=6)의 네이키드 항체 scFv와 함께 인큐베이션하였다. 10  $\mu$ M의 스타우로스포린을 카스파제 3/7 활성화를 위한 양성 대조군으로 제공하였다. 5시간 후, 발광측정 검정 키트(Promega, Madison, WI, Caspase Glo 3/7 G811C lot # 28731802)를 이용하여 카스파제 3/7 활성화에 대해 검정하였다.

[0500] 상대 카스파제 3/7 활성화를 발광측정 신호로부터의 상대 광 단위로부터 계산하였다. 스타우로스포린을 100% 카스파제 3/7 활성화로 설정하였고, 시약이 없음을 0% 활성화 대조군으로 설정하였다. 5  $\mu$ g/ml의 scFv-Phor18은 스타우로스포린에 비해 18.3 $\pm$ 0.8 및 29.3 $\pm$ 0.9%의 상승된 카스파제 3/7 수준을 가졌다(도 11).

[0501] Phor18-컨주게이션된 ADC는 표적 세포에서 카스파제 3/7을 활성화시키고, 이에 따라 아포토시스 세포 사멸을 촉진한다. 따라서, 단일쇄 또는 미니바디 단편으로서의 항체 Phor18 컨주게이트는 재조합적으로 생성될 수 있고, 표적 세포에서의 내재화 없이 활성화이다. ADC를 통한 카스파제 활성화는 가능한 작용 메커니즘일 수 있다.

[0502] 실시예 18

[0503] 본 실시예는 N 또는 C 말단에서 컨주게이션된 Phor18을 갖고, 항체 단편 당 1 및 2개의 Phor18 분자의 화학량론을 갖는 CD20 표적화 scFvFc Phor18 컨주게이트의 발현을 기재한다.

[0504] 재조합 시리즈를 원형질막 주위 분비를 이용하여 E. 콜리에서 Genscript, USA(Piscataway, NJ)에 의해 생성시켰다. 전사물을 합성하고, 코돈 사용빈도를 E. 콜리에 대해 최적화시켰다. Genscript pGS-21a 발현 벡터를 이용하였다. 발현된 단백질은 아미노산 MKYLLPTAAAGLLLLAAQPAMA(SEQ ID NO.:101)로 구성된 분해가능한 Pe1B 박테리아 신호 서열의 N-말단으로의 첨가에 의해 E. 콜리 세포의 원형질막 주위공간으로 유도되었다. 리투산 CDR을 p185 허셉틴(Herceptin)의 인간화 가변 영역으로 삽입하였고, 이는 굵은 글씨로 제시된다. 4개의 글리신 및 세린이 가요성 첨가를 위해 가변 영역에 연결되었다. Phor18을 N-말단, C-말단, 또는 둘 모두에 위치시켰다. 항체 단편의 아미노산 서열은 하기와 같다:

[0505] 분해된 Pe1B N-말단 신호 서열 MKYLLPTAAAGLLLLAAQPAMA (SEQ ID NO.:96)

[0506] scFv-Fc의 아미노산 서열 (네이키드 항체); 굵은 글씨의 CDR (SEQ ID NO.:97)

```

10      20      30      40      50      60
DIQMTQSPSS LSASVGDTRVIT ITCRASSSVSY YIHWYQQKPG KAPKLLIYAT SNLASGVPSR

70      80      90      100     110     120
FSGSRSGTDF TLTIISSLQPE DFATYYCQQW TSNPPTFGQG TKVEIKGGGG SEVQLVESGG

130     140     150     160     170     180
GLVQPGGSLR LSCAASGYTF TSYNMHWVRQ APGKGLEWVA AIYPGNGDTS YNQKFKGRFT

190     200     210     220     230     240
ISADTSKNTA YLQMNSLRAE DTAVYYCSRS TYYGDDWYFD VWGQGITLVTV SSVQPCPAPE

250     260     270     280     290     300
LLGGPSVFLF PPKPKDTLMI SRTPEVTCVV VDVSHEDPEV KFNWYVDGVE VHNAKTKPRE

310     320     330     340     350     360
EQYNSTYRVV SVLTIVLHQDW LNGKEYKCKV SNKALPAPIE KTISKAKGQP REPQVYTLPP

370     380     390     400     410     420
SRDELTKNQV SLTCLVKGFY PSDIAVEWES NGQPENNYKT TPPVLDS DGS FFLYSKLTVD

430     440     450
KSRWQQGNVF SCSVMHEALH NHYTQKSLSL SPGK
    
```

[0507]

[0508] 용해-펩티드 Phor18-항체 컨주게이트의 아미노산 서열; 굵은 글씨의 CDR

[0509] Phor18-scFv-Fc-Phor18: N-말단 및 C-말단 컨주게이션 (SEQ ID NO.:98)

10 20 30 40 50 60  
 KFAKFAKKFA KFAKFAKGS DIQMTQSPSS LSASVGDVRT ITCRASSSVS **YIH**WYQQKPG  
 70 80 90 100 110 120  
 KAPKLLIY**AT** **SNLAS**GVPSR FSGSRSGTDF TLTISLQPE DFATYYCQ**QW** **TSNP**PTFGQ**G**  
 130 140 150 160 170 180  
 TKVEIKGGGG SEVQLVESGG GLVQPGGSLR LSCAASGYTF **TSY**NMH**WVR**Q APGKGLEWVA  
 190 200 210 220 230 240  
**AIY**PGNGD**TS** **YNQ**KFKGRFT ISADTSKNTA YLQMNSLRAE DTAVYYCSRS **TY**YGGDW**YFD**  
 250 260 270 280 290 300  
**VW**QGTLVTV SSVQPCPAPE LLGGPSVFLF PPKPKDTLMI SRTPEVTCV**V** VDVSHEDPE**V**  
 310 320 330 340 350 360  
 KFNWYVDGVE VHNAKTKPRE EQYNSTYRVV SVLTVLHQD**W** LNGKEYKCKV SNKALPA**PIE**  
 370 380 390 400 410 420  
 KTISKAKGQP REPQVYTLPP SRDELTKNQV SLTCLVKGFY PSDIAVEWES NGQPENNYKT  
 430 440 450 460 470 480  
 TPPVLDSDGS FFLYSKLTV**D** KSRWQQGNVF SCSVMHEALH NHYTQKSL**SL** SPGKGSK**FAK**  
 490  
 FAKKFAKFAK KFAK

[0510]

[0511] 용해-펩티드 Phor18-항체 컨주게이트의 아미노산 서열; 굵은 글씨의 CDR

[0512] Phor18-scFv-Fc: N-말단 컨주게이션 (SEQ ID NO.:99)

10 20 30 40 50 60  
 KFAKFAKKFA KFAKFAKGS DIQMTQSPSS LSASVGDVRT ITCRASSSVS **YIH**WYQQKPG  
 70 80 90 100 110 120  
 KAPKLLIY**AT** **SNLAS**GVPSR FSGSRSGTDF TLTISLQPE DFATYYCQ**QW** **TSNP**PTFGQ**G**  
 130 140 150 160 170 180  
 TKVEIKGGGG SEVQLVESGG GLVQPGGSLR LSCAASGYTF **TSY**NMH**WVR**Q APGKGLEWVA  
 190 200 210 220 230 240  
**AIY**PGNGD**TS** **YNQ**KFKGRFT ISADTSKNTA YLQMNSLRAE DTAVYYCSRS **TY**YGGDW**YFD**  
 250 260 270 280 290 300  
**VW**QGTLVTV SSVQPCPAPE LLGGPSVFLF PPKPKDTLMI SRTPEVTCV**V** VDVSHEDPE**V**  
 310 320 330 340 350 360  
 KFNWYVDGVE VHNAKTKPRE EQYNSTYRVV SVLTVLHQD**W** LNGKEYKCKV SNKALPA**PIE**  
 370 380 390 400 410 420  
 KTISKAKGQP REPQVYTLPP SRDELTKNQV SLTCLVKGFY PSDIAVEWES NGQPENNYKT  
 430 440 450 460 470  
 TPPVLDSDGS FFLYSKLTV**D** KSRWQQGNVF SCSVMHEALH NHYTQKSL**SL** SPGK

[0513]

[0514] 용해-펩티드 Phor18-항체 컨주게이트의 아미노산 서열; 굵은 글씨의 CDR

[0515] Phor18-scFv-Fc: C-말단 컨주게이션 (SEQ ID NO.:100)

```

10           20           30           40           50           60
DIQMTQSPSS LSASVGDVRT ITCRASSVS YIHWYQQKPG KAPKLLIYAT SNLASGVPSR

70           80           90           100          110          120
FSGSRSGTDF TLTIISSLQPE DFATYYCQW TSNPPTFGQG TKVEIKGGGG SEVQLVESGG

130          140          150          160          170          180
GLVQPGGSLR LSCAASGYTF TSYNMHWVRQ APGKGLEWVA AIYPGNGDTS YNQKFKGRFT

190          200          210          220          230          240
ISADTSKNTA YLQMNSLRAE DTAVYYCSRS TYYGDWYFD VWGQTLVTV SSVQPCPAPE

250          260          270          280          290          300
LLGGPSVFLF PPKPKDTLMI SRTPEVTCVV VDVSHEDPEV KFNWYVDGVE VHNAKTKPRE

310          320          330          340          350          360
EQYNSTYRVV SVLTVLHQDW LNGKEYKCKV SNKALPAPIE KTISKAKGQP REPQVYTLPP

370          380          390          400          410          420
SRDELTKNQV SLTCLVKGFY PSDIAVEWES NGQPENNYKT TPPVLDSDGS FFLYSKLTVD

430          440          450          460          470
KSRWQQGNVF SCSVMHEALH NHYTQKSLSL SPGKSKFAK FAKFAKFAK KFAK
    
```

[0516]

[0517] ADC를 단백질 A 친화성 크로마토그래피 컬럼 상에서 정제하고, 동결 저장(-20℃)하였다. 각각의 네이키드 항체 단편 및 ADC의 농도를 분광광도(OD<sub>280</sub>) 결정하였다. 1.1 mg/ml의 농도의 네이키드 항체 scFv-Fc는 Mw 52,562 g/mol이었고, Phor 18 컨주게이션된 항체는 Phor18-V<sub>L</sub>-scFvFc(Mw 54,685 g/mol, 1.0 mg/ml)였고, Phor18-C<sub>H</sub>3-scFvFc(Mw 54,685 g/mol, 0.8 mg/ml)는 단일쇄를 형성하였다.

[0518] 실시예 19

[0519] 본 실시예는 시험관내 연구에서 scFv-Fc-Phor18 컨주게이트의 활성을 기재한다.

[0520] CD20 양성 세포(Daudi, 버킷 림프종)에서 N-말단 또는 C-말단 및 N-말단 및 C-말단에서 Phor18 컨주게이션을 갖는 E. 콜리 발현 시스템에서 재조합적으로 생성된 CD20을 표적으로 하는 scFv-Fc-Phor18 컨주게이트의 세포독성을 "네이키드" 항체(scFv-Fc)와 비교하였다. CD20 음성 백혈병 세포(U937)를 대조군으로 제공하였다. E. 콜리 발현된 ADC는 단일쇄이며, V<sub>L</sub> 사슬의 N 말단의 1개의 Phor18 분자(Phor18-V<sub>L</sub>-scFv-Fc), 및 C<sub>H</sub>3 사슬의 C-말단의 1개의 Phor18 분자(scFv-Fc-C<sub>H</sub>3-Phor18)에 컨주게이션되었다.

[0521] 각각의 네이키드 항체 단편 및 ADC의 농도를 분광광도(OD<sub>280</sub>) 결정하였다. 1.1 mg/ml의 농도의 네이키드 항체 scFv-Fc는 Mw 52,562 g/mol이었고, Phor 18 컨주게이션된 항체는 Phor18-V<sub>L</sub>-scFvFc(Mw 54,685 g/mol, 1.0 mg/ml)였고, scFv-Fc-C<sub>H</sub>3-Phor18(Mw 54,685 g/mol, 0.8 mg/ml)이었다. 인간 비-호지킨 림프종 세포 Daudi(CD20 양성, 계대 번호 p7) 및 인간 백혈병 세포주 U937(CD20 음성, p 6)을 세포 해리 완충액을 이용하여 열 비활성화 완전 배지 내에 불투명한 플레이트에 웰 당 2,000개 세포의 밀도로 시딩하였다. 24시간 후, 세포에 새로운 배지(75 μl)를 공급하고, 25 μl의 각각의 ADC의 4x 연속 희석액과 함께 인큐베이션시키고, 세포 배양 배지에서 제조된 네이키드 항체를 scFvFc, Phor18-V<sub>L</sub>-scFvFc 및 scFv-Fc-C<sub>H</sub>3-Phor18에 대해 0.01, 0.1, 1, 10, 100, 200 및 500 nM의 농도로 첨가하였다.

[0522] 4시간 동안 인큐베이션된 세포를 발광측정 검정 키트(Promega, Madison, WI, Cytotox Glo G9292 lot # 26229601)를 이용하여 막 온전성에 대해 검정하였다. 세포 생활력을 발광 검정 키트(Promega, Madison, WI, Cell Titer Glo, G 7572, lot 30731602)를 이용하여 24시간 후에 결정하였다. 100% 세포 생활력(배양 배지) 및 100% 세포 사멸(0.1% Triton X 100)에 대한 대조군을 동일 조건하에서 인큐베이션하였다.

[0523] Windows용 Graph Pad Prizm version 5.00, GraphPad Software, San Diego California USA, www.graphpad.com(Graph Pad Prizm, Inc)을 이용하여 데이터를 처리하고 분석하여 IC<sub>50</sub> 값을 획득하였다. 유의성에 대한 통계 분석을 양측 스튜던츠 T-검정에 의해 결정하였다. 각각의 검정을 각각 2-3웰의 2개의 플레이트를 이용하여 수행하여, 시점 당 4-6 데이터 포인트의 N을 획득하였다.

[0524] N-말단 또는 C-말단에 1개의 Phor18을 갖는 재조합 ScFv-Fc-Phor18 컨주게이트를 E. 콜리에서 발현시켰다. 표

12에 제시된 바와 같이, 항-CD20-Phor18 컨주게이트 Phor18-V<sub>L</sub>-scFvFc는 277±37.5 nM의 IC<sub>50</sub> 값으로 4시간 후에 CD20 양성 Daudi 세포에서 막 온전성을 파괴하였다. scFv-Fc-C<sub>H</sub>3-Phor18에 대한 C-말단 컨주게이트에 대해 2558±259 nM로 10배 더 높은 값이 획득되었다. 네이키드 scFvFc는 독성이 아니었다.

[0525] 인간 버킷 림프종 세포(Daudi)를 Phor18-V<sub>L</sub>-scFv-Fc에 대해 21.8±0.8 nM, 및 scFv-Fc-C<sub>H</sub>3-Phor18에 대해 422.6±47.5 nM의 IC<sub>50</sub> 값으로 24시간 이내에 사멸시켰다.

[0526] 네이키드 scFv는 CD20 양성 Daudi 세포주에서 677.2±45.3 nM에서 세포 사멸을 야기시켰다. CD20 음성 인간 백혈병 세포(U937)는 4시간 후에 사멸되지 않았고, 표적 세포주와 비교하여 네이키드 scFvFc에 대해 495.4±35.2 nM, Phor18-V<sub>L</sub>-scFv-Fc에 대해 105.3±15.6nM 및 scFv-Fc-C<sub>H</sub>3-Phor18 컨주게이트에 대해 722.3±33.2 nM의 IC<sub>50</sub> 값의 더 낮은 민감도를 나타내었다.

[0527] 표 12: Phor18-V<sub>L</sub>-scFv-Fc 및 scFv-Fc-C<sub>H</sub>3-Phor18, 및 CD20을 표적으로 하는 scFv-Fc의 시험관내 독성. Daudi 세포(NHL)는 CD20에 대해 양성이고, U937 세포(백혈병)는 CD20에 대해 음성이다.

Daudi	scFvFc 네이키드 AB	Phor18-V <sub>L</sub> -scFv-Fc IC <sub>50</sub> 값 [nM]	scFv-Fc-C <sub>H</sub> 3-Phor18 IC <sub>50</sub> 값 [nM]
4 h (N=8)	독성이 아님	277±37.5	2558± 259
24 h (N=8)	677.2 ± 45.3	21.8±0.8	422.6±47.5
U937	scFvFc 네이키드 AB	Phor18-V <sub>L</sub> -scFv-Fc IC <sub>50</sub> 값 [nM]	scFv-Fc-C <sub>H</sub> 3-Phor18 IC <sub>50</sub> 값 [nM]
4 h (N=8)	독성이 아님	독성이 아님	독성이 아님
24 h (N=8)	495.4±35.2	105.3±15.6	722.3±33.2

[0528]

[0529] N-말단 컨주게이션된 Phor18 항체 단편은 C-말단 컨주게이션된 Phor18 항체 단편에 비해 더 독성이었다.

[0530] 실시예 20

[0531] 본 실시예는 피키아 파스토리스(효모)에서 생성된 CD20을 표적으로 하는 scFv-Fc-Phor18 컨주게이트의 발현 및 활성을 기재한다.

[0532] p185의 인간화 가변 영역으로 리투산 CDR을 삽입함으로써 4개의 항-CD20 단일쇄 Fv-Fc 항체 단편을 설계하였다. 삽입된 CDR은 하기 제시된 아미노산 서열에서 굵은 글씨로 표현된다. 가변 영역 및 인간 불변 도메인 힌지, C<sub>H</sub>2 및 C<sub>H</sub>3 사이에서 폴리-G 링커를 사용하였다. 하기 제시된 항체 단편 서열의 순서는 다음과 같다: 네이키드 항체, C-말단 및 N-말단 Phor18, N-말단 Phor18 단독, C-말단 Phor18 단독. 각각의 작제물에 대한 아미노산 서열은 하기에 제시된다:

[0533] 네이키드 항체의 아미노산 서열; 굵은 글씨의 CDR (SEQ ID NO.:101)

10 20 30 40 50 60  
 DIQMTQSPSS LSASVGDRTV ITC**CRASSVS** **YIHWYQQKPG** KAPKLLI**YAT** **SNLASGVPSR**  
 70 80 90 100 110 120  
 FSGSRSGTDF TLTIS**SLQPE** DFATYYC**QQW** **TSNPPTFGQG** TKVEIKGGG SGGGGSGGG  
 130 140 150 160 170 180  
 SEVQLVESGG GLVQPGGSLR LSCAAS**GYTF** **TSY**N**MHWVRQ** APGKGLEWVA **AIYPNGD**T**S**  
 190 200 210 220 230 240  
**Y**N**Q**K**F**K**GRFT** ISADTSKNTA YLQ**M**NSLRAE DTAVYYC**SRS** **TY**Y**GGD**W**Y**F**D** VWQ**Q**TLVTV  
 250 260 270 280 290 300  
 SSTHTCPPCP APELLGGPSV FLFPPKPKDT LMISRTPEVT CVVVDVSHED PEVKFNWYVD  
 310 320 330 340 350 360  
 GVEVHNAKTK PREEQ**YN**STY RVVSVLTVLH QDWLNGKEYK CKVSNKALPA PIEKTISKAK  
 370 380 390 400 410 420  
 GQPREPQVY**T** LPPSRDELTK NQVSLTCLVK GFYPSDIAVE WESNGQPENN YKTT**PP**VLDS  
 430 440 450 460  
 DGSFFLYSKL TVDKSRW**Q**QGV N**V**FSCSV**M**HE ALHNHYT**Q**KS LSLSPGK

[0534]

[0535] 권주게이션된 항체 Phor18-V<sub>L</sub>-scFv-Fc-C<sub>H</sub>3-Phor18의 아미노산 서열; 굵은 글씨의 CDR (SEQ ID NO.:102)

10 20 30 40 50 60  
 KFAKFAKFA KFAKFAKGS DIQMTQSPSS LSASVGDRTV ITC**CRASSVS** **YIHWYQQKPG**  
 70 80 90 100 110 120  
 KAPKLLI**YAT** **SNLASGVPSR** FSGSRSGTDF TLTIS**SLQPE** DFATYYC**QQW** **TSNPPTFGQG**  
 130 140 150 160 170 180  
 TKVEIKGGG SGGGGSGGG SEVQLVESGG GLVQPGGSLR LSCAAS**GYTF** **TSY**N**MHWVRQ**  
 190 200 210 220 230 240  
 APGKGLEWVA **AIYPNGD**T**S** **Y**N**Q**K**F**K**GRFT** ISADTSKNTA YLQ**M**NSLRAE DTAVYYC**SRS**  
 250 260 270 280 290 300  
**TY**Y**GGD**W**Y**F**D** VWQ**Q**TLVTV SSTHTCPPCP APELLGGPSV FLFPPKPKDT LMISRTPEVT  
 310 320 330 340 350 360  
 CVVVDVSHED PEVKFNWYVD GVEVHNAKTK PREEQ**YN**STY RVVSVLTVLH QDWLNGKEYK  
 370 380 390 400 410 420  
 CKVSNKALPA PIEKTISKAK GQPREPQVY**T** LPPSRDELTK NQVSLTCLVK GFYPSDIAVE  
 430 440 450 460 470 480  
 WESNGQPENN YKTT**PP**VLDS DGSFFLYSKL TVDKSRW**Q**QGV N**V**FSCSV**M**HE ALHNHYT**Q**KS  
 490 500  
 LSLSPGKGSK AFKKAFKAFK KAFKAFK

[0536]

[0537] 컨주게이션된 항체 Phor18-V<sub>L</sub>-scFv-Fc의 아미노산 서열; 굵은 글씨의 CDR (SEQ ID NO.: 103)

```

10      20      30      40      50      60
KFAKFAKKFA KFAKKFAKGS DIQMTQSPSS LSASVGDRVIT ITCRASSSVS YIHWYQQKPG

70      80      90      100     110     120
KAPKLLIYAT SNLASGVPSR FSGSRSGTDF TLTISLQPE DFATYYCQQW TSNPPTFGQG

130     140     150     160     170     180
TKVEIKGGGG SGGGGSGGGG SEVQLVESGG GLVQPGGSLR LSCAASGYTF TSYNMHWVRQ

190     200     210     220     230     240
APGKGLEWVA AIYPGNGDTS YNQKFKGRFT ISADTSKNTA YLQMNSLRAE DTAVYYCSRS

250     260     270     280     290     300
TYYGGDWYFD VWGQGLTVIV SSTHTCPPCP APELLGGPSV FLFPPKPKDT LMISRTPEVT

310     320     330     340     350     360
CVVVDVSHED PEVKFNWYVD GVEVHNAKTK PREEQYNSTY RVVSVLTVLH QDWLNGKEYK

370     380     390     400     410     420
CKVSNKALPA PIEKTISKAK GQPREPQVYT LPPSRDELTK NQVSLTCLVK GFYPSDIAVE

430     440     450     460     470     480
WESNGQPENN YKTTTPVLDS DGSFFLYSKL TVDKSRWQQG NVFSCSVME ALHNHYTQKS

```

LSLSPGK

[0538]

[0539] 컨주게이션된 항체 scFv-Fc-C<sub>H</sub>3-Phor18의 아미노산 서열; 굵은 글씨의 CDR (SEQ ID NO.:104)

```

10      20      30      40      50      60
DIQMTQSPSS LSASVGDRVIT ITCRASSSVS YIHWYQQKPG KAPKLLIYAT SNLASGVPSR

70      80      90      100     110     120
FSGSRSGTDF TLTISLQPE DFATYYCQQW TSNPPTFGQG TKVEIKGGGG SGGGGSGGGG

130     140     150     160     170     180
SEVQLVESGG GLVQPGGSLR LSCAASGYTF TSYNMHWVRQ APGKGLEWVA AIYPGNGDTS

190     200     210     220     230     240
YNQKFKGRFT ISADTSKNTA YLQMNSLRAE DTAVYYCSRS TYYGGDWYFD VWGQGLTVIV

250     260     270     280     290     300
SSTHTCPPCP APELLGGPSV FLFPPKPKDT LMISRTPEVT CVVVDVSHED PEVKFNWYVD

310     320     330     340     350     360
GVEVHNAKTK PREEQYNSTY RVVSVLTVLH QDWLNGKEYK CKVSNKALPA PIEKTISKAK

370     380     390     400     410     420
GQPREPQVYT LPPSRDELTK NQVSLTCLVK GFYPSDIAVE WESNGQPENN YKTTTPVLDS

430     440     450     460     470     480
DGSFFLYSKL TVDKSRWQQG NVFSCSVME ALHNHYTQKS LSLSPGKGSK AFKKAFAFK

```

KAFKAFK

[0540]

[0541] 4개의 scFv-Fc 단편에 대한 유전자 합성을 Genscript USA로부터 주문하였고, 코돈을 Genscript에서 피키아 파스토리스 효모 균주 GS115에서의 생성에 대해 최적화시켰다. Genescript는 각각의 발현 플라스미드를 InVitrogen 효모 발현 플라스미드 pPICZ αA(cat#V195-20 lot#900479, 도 12)로 서브클로닝하였다. 상기 발현 플라스미드는 효모 α-인자 분비 신호를 가져, 항체 단백질이 배지로부터 분리될 수 있다.

[0542] 은 염색된 SDS PAGE에서의 CD20을 표적으로 하는 scFv-Fc-Phor18 컨주게이트의 특성규명은 피키아 파스토리스 발현된 ADC가 단일쇄 이합체이며, V<sub>L</sub> 사슬의 N-말단(Phor18-V<sub>L</sub>-scFvFc), C<sub>H</sub>3 사슬의 C-말단(scFvFc-C<sub>H</sub>3-Phor18) 및 V<sub>L</sub> 사슬의 N 말단 및 C<sub>H</sub>3 사슬의 C-말단(Phor18-V<sub>L</sub>-scFv-Fc-C<sub>H</sub>3-Phor18)에서 2 또는 4개의 Phor18 분자에 컨주게이션된 것을 나타내었다.

[0543] 각각의 네이키드 항체 단편 및 ADC의 농도를 분광광도(OD<sub>280</sub>) 결정하였다. 네이키드 항체 scFv-Fc(Mw 102,078

g/mol)는 0.26 mg/ml의 농도였고, Phor 18 컨쥬게이션된 항체는 Phor18-V<sub>L</sub>-scFvFc(Mw 106,616 g/mol, 0.5 mg/ml), scFvFc-C<sub>H</sub>3-Phor18(Mw 106,616 g/mol, 0.17 mg/ml) 및 Phor18-V<sub>L</sub>-scFv-Fc-C<sub>H</sub>3-Phor18(Mw 111,154 g/mol, 0.7 mg/ml)이었다.

[0544] 시험관내 연구에서, CD20 양성 세포(Daudi, 버킷 림프종)에서 효모 발현 시스템에서 재조합적으로 생성된 CD20을 표적으로 하는 scFv-Fc-Phor18 컨쥬게이트와 "네이키드" 항체(scFv-Fc)의 세포독성을 비교하였다. CD20 음성 백혈병 세포(U937)를 대조군으로 제공하였다. 피키아 발현된 ADC는 단일쇄 이합체이며, V<sub>L</sub> 사슬의 N-말단(Phor18-V<sub>L</sub>-scFvFc), C<sub>H</sub>3 사슬의 C-말단(scFvFc-C<sub>H</sub>3-Phor18) 및 V<sub>L</sub> 사슬의 N-말단 및 C<sub>H</sub>3 사슬의 C-말단(Phor18-V<sub>L</sub>-scFv-Fc-C<sub>H</sub>3-Phor18)에서 2 또는 4개의 Phor18 분자에 컨쥬게이션되었다.

[0545] 인간 비-호지킨 림프종 세포 Daudi(CD20 양성, 계대 번호 p3) 및 인간 백혈병 세포주 U937(CD20 음성, p 12)을 세포 해리 완충액을 이용하여 열 비활성화 완전 배지 내에 불투명한 플레이트에 웰 당 2,000개 세포의 밀도로 시딩하였다. 24시간 후, 세포에 새로운 배지(75 μl)를 공급하고, 25μl의 각각의 ADC의 4x 연속 희석액과 함께 인큐베이션시키고, 세포 배양 배지에서 제조된 네이키드 항체를 Phor18-V<sub>L</sub>-scFv-Fc-C<sub>H</sub>3-Phor18 및 Phor18-V<sub>L</sub>-scFvFc에 대해 0.013, 0.133, 1.33, 13.3, 133, 266, 및 633 nM 및 네이키드 항체 scFv-Fc 및 scFvFc-C<sub>H</sub>3-Phor18에 대해 0.013-266 nM의 농도로 첨가하였다.

[0546] 4시간 동안 인큐베이션된 세포를 발광측정 검정 키트(Promega, Madison, WI, Cytotox Glo G9292 lot # 26229601)를 이용하여 막 온전성에 대해 검정하였다. 세포 생활력을 발광 검정 키트(Promega, Madison, WI, Cell Titer Glo, G 7572, lot 31386501)를 이용하여 24, 및 48시간 후에 결정하였다. 100% 세포 생활력(배양 배지) 및 100% 세포 사멸(0.1% Triton X 100)에 대한 대조군을 동일 조건하에서 인큐베이션하였다.

[0547] Windows용 Graph Pad Prizm version 5.00, GraphPad Software, San Diego California USA, www.graphpad.com (Graph Pad Prizm, Inc)를 이용하여 데이터를 처리하고 분석하여 IC<sub>50</sub> 값을 획득하였다. 유의성에 대한 통계 분석을 양측 스튜던츠 T-검정에 의해 결정하였다. 각각의 검정을 각각 2-3개의 웰을 갖는 2개의 플레이트를 이용하여 수행하여, 시점 당 4-6의 데이터 포인트의 N을 획득하였다.

[0548] 재조합 ScFv-Fc-Phor18 컨쥬게이트를 피키아 파스토리스에서 발현시켰다. 도 13 및 표 13에 제시된 바와 같이, 항-CD20-Phor18 컨쥬게이트는 Phor18-V<sub>L</sub>-scFv-Fc-C<sub>H</sub>3-Phor18에 대해 6.2±2 nM, 및 Phor18-V<sub>L</sub>-scFvFc에 대해 23.5±2.5 nM 및 scFv-Fc-C<sub>H</sub>3-Phor18에 대해 282.4±15 nM의 IC<sub>50</sub> 값으로 4시간 후에 CD20 양성 Daudi 세포에서 막 온전성을 파괴하였고, 컨쥬게이션되지 않은 네이키드 scFvFc는 독성이 아니었다. 인간 버킷 림프종 세포(Daudi)는 Phor18-V<sub>L</sub>-scFv-Fc-C<sub>H</sub>3-Phor18에 대해 9.9±2 nM, 및 Phor18-V<sub>L</sub>-scFvFc에 대해 18.8±4 nM 및 scFv-Fc-C<sub>H</sub>3-Phor18에 대해 141.1±6 nM의 IC<sub>50</sub> 값으로 24시간 이내에 사멸되었고, 네이키드 scFvFc는 287±28 nM의 IC<sub>50</sub> 값을 가졌다. 가장 낮은 IC<sub>50</sub> 값이 Phor18-V<sub>L</sub>-scFv-Fc-C<sub>H</sub>3-Phor18에 대해 1.6±0.3 nM, 및 Phor18-V<sub>L</sub>-scFvFc에 대해 3.4±0.05 nM 및 scFv-Fc-C<sub>H</sub>3-Phor18에 대해 106±10 nM로 48시간 후에 측정되었고, 네이키드 scFvFc는 339±26 nM의 IC<sub>50</sub> 값을 가졌다. CD20 음성 인간 백혈병 세포(U937)는 컨쥬게이션된 ADC 및 컨쥬게이션되지 않은 ADC에 대해 동일한 반응을 나타내었고, 4시간 후에 막 온전성에 대해서는 효과가 없었고, 24시간 후의 IC<sub>50</sub> 값은 298±13.4를 갖는 네이키드 scFv-Fc, Phor18-V<sub>L</sub>-scFv-Fc-C<sub>H</sub>3-Phor18에 대해 246.1±14.8, Phor18-V<sub>L</sub>-scFvFc에 대해 875±81 및 scFv-Fc-C<sub>H</sub>3-Phor18에 대해 274±154 nM로 동등하였다.

[0549] 이들 데이터는 N-말단 컨쥬게이션된 ADC가 C-말단 컨쥬게이션된 ADC보다 더 효능 있는 것을 입증한다. 4개의 Phor18 분자를 갖는 ADC가 2개의 Phor18 분자를 갖는 컨쥬게이트보다 더 활성이었다.

[0550] **표 13:** Phor18-V<sub>L</sub>-scFv-Fc 및 scFv-Fc-C<sub>H</sub>3-Phor18, Phor18-V<sub>L</sub>-scFv-Fc-C<sub>H</sub>3-Phor18 및 CD20을 표적으로 하는 scFv-Fc의 시험관내 독성. Daudi 세포(NHL)는 CD20에 대해 양성이고, U937 세포(백혈병)는 CD20에 대해 음성이다.

	scFvFc (네이키드)	Phor18-V <sub>L</sub> -scFv-Fc-C <sub>H3</sub> - Phor18	Phor18-V <sub>L</sub> - scFv-Fc	scFv-Fc-C <sub>H3</sub> - Phor18
Phor18 의 수	0	4 (N- 및 C-말단)	2 (N-말단)	2 (C-말단)
<b>Daudi</b>	<b>IC<sub>50</sub> 값 [nM]</b>	<b>IC<sub>50</sub> 값 [nM]</b>	<b>IC<sub>50</sub> 값 [nM]</b>	<b>IC<sub>50</sub> 값 [nM]</b>
4h(막 온전성)	독성이 아님	6.2±2	23.5±2.5	282.4±15
24 h	287±28	9.9±2	18.8±4	141.1±6
48 h	339±26	1.6±0.3	3.4±0.05	106±10
<b>U937</b>	<b>IC<sub>50</sub> 값 [nM]</b>	<b>IC<sub>50</sub> 값 [nM]</b>	<b>IC<sub>50</sub> 값 [nM]</b>	<b>IC<sub>50</sub> 값 [nM]</b>
4h(막 온전성)	독성이 아님	독성이 아님	독성이 아님	독성이 아님
24 h	298±13.4	246.1±14.8	875±81	274±154
48 h	112.7±4	117±7	독성이 아님	116±4.5

[0551]

[0552]

N-말단 또는 C-말단 및 N-말단 및 C-말단에 2 및 4개의 Phor18 분자를 갖는 효능있는 scFv-Fc-Phor18 컨쥬게이트를 피키아 파스토리스에서 발현시켰다. ADC는 네이키드 scFv-Fc보다 더 효능이 있었다. ScFv-Fc-Phor18 컨쥬게이트는 N 및 C-말단이 컨쥬게이션되거나, N-말단이 컨쥬게이션된 경우에 표적 세포의 막 온전성을 파괴하였다. C-말단 컨쥬게이션은 N-말단, 및 C-말단 및 N-말단 컨쥬게이션된 ADC에 비해 50-100배 덜 활성이었다. CD20 표적화 ADC는 표적 세포를 특이적으로 사멸시켰고, 세포 사멸은 내재화에 독립적이었다. ADC에서 Phor18의 수를 증가시키는 것은 효능을 증가시켰다.

[0553]

실시예 21

[0554]

본 실시예는 포유동물 시스템에서 생성된 IgG2-Phor18 컨쥬게이트를 기재한다:

[0555]

CHO 세포 발현된 CD20 표적화 ADC는 전체 항체이며, 다양한 위치에서 2, 4 및 6개의 Phor18에 컨쥬게이션되었다. 생성된 ADC를 특성구명하여, 중쇄 및 경쇄에서의 Phor18 존재, 및 이들의 분자량을 확인하였다.

[0556]

CHO 세포 발현 시스템으로부터의 제조합적으로 생성된 CD20 표적화 IgG2-Phor18 컨쥬게이트를 이용하여 시험관 내에서 세포독성을 결정하였고, CD20 양성 세포(Daudi, 버킷 림프종)에서 "네이키드" 항체(리투산)와 비교하였다. CD20 음성 백혈병 세포(U937)를 대조군으로 제공하였다.

[0557]

항-CD20 ADC의 V<sub>L</sub> 및 V<sub>H</sub> 도메인은 리투산 항-CD20 CDR에 의해 대체된 CDR을 갖는 항-p185 허셉틴으로부터의 인간화된 서열이다. 불변 경쇄(C<sub>L</sub>) 도메인의 λ 아이소형을 갖는 전체 항체 백본에 대해 전체 인간 IgG2를 이용하였다.

[0558]

FcR 상호작용을 최소화시키고, 리투산 ADC에 의한 면역 세포의 결합 및 사멸을 제한하기 위해 IgG2 아이소형을 선택하였다. 유전자 합성을 CHO 세포에 대해 최적화된 코돈 사용빈도를 이용하여 Genscript USA Inc., Piscataway, NJ에 의해 수행하였다. "컨쥬게이션되지 않은" 항-CD20 항체 항-CD20 항체 중쇄(H) 및 경쇄(L)의 아미노산 서열이 하기에 제시된다. 가변 도메인 내의 리투산 CDR이 굵은 글씨체로 제시된다.

[0559]

리투산 CDR을 갖는 경쇄 및 중쇄의 항-CD20 항체 아미노산 서열

[0560] **경쇄: V<sub>L</sub>** (SEQ ID NO.:105)

```

10           20           30           40           50           60
MDIQMTQSPS SLSASVGRV TITCRASSV SYIHWYQQK GKAPKLLIYA TSNLASGVPS

```

[0561]

```

70           80           90           100
RFSGSRSGTD FTLTISSLQP EDFATYYCQQ WTSNPPTFGQ GTKVEIKR

```

[0562] **C<sub>L</sub> (λ)** (SEQ ID NO.:106)

```

10           20           30           40           50           60
GQPKANPTVT LFPPSSEELQ ANKATLVCLI SDFYPGAVTV AWKADGSPVK AGVETTKPSK

```

[0563]

```

70           80           90           100
QSNNKYAASS YLSLTIPEQWK SHRSYSCQVT HEGSTVEKTV APTECS

```

[0564] **중쇄: V<sub>H</sub>** (SEQ ID NO.:107)

```

10           20           30           40           50           60
MEVQLVESGG GLVQPGGSLR LSCAASGYTF TSYNMHWVRQ APGKGLEWVA AIYPGNGDTS

```

[0565]

```

70           80           90           100           110           120
YNQKFKGRFT ISADTSKNTA YLQMNSLRAE DTAVYYCSRS TYYGGDWYFD VWGQGITLVTV

```

[0565] SS

[0566] **IGg2 C<sub>H1</sub> 및 힌지** (SEQ ID NO.:108)

```

10           20           30           40           50           60
ASTKGPSVF1LAPCSRSTSE STAALGCLVK DYFPEPVIVS WNSGALTS2GV HTFPAVLQSS

```

[0567]

```

70           80           90           100           110
GLYSLSSVVT VPSSNFGTQT YTCNV3DHKPS NTKVDK4TV5ER KCCV6ECPPCP

```

[0568] **IGg2 C<sub>H2</sub> 및 C<sub>H3</sub>** (SEQ ID NO.:109)

```

10           20           30           40           50           60
APPVAGPSVF LFPPKPKDTL MISRIPEVTC VVVDVSHEDP EVQFNWYVDG VEVHNAKTKP

```

[0569]

```

70           80           90           100           110           120
REEQFNSTFR VVSVLTVVHQ DWLNGKEYKC KVS7NKGLPAP IEKTISK8TKG QPREPQVYTL

```

[0569]

```

130          140          150          160          170          180
PPSREEMTKN QVSLTCLVKG FYPSDIAVEW ESN9QPENNY K10TPPMLDSD GSFFLYSKLT

```

[0569]

```

190          200          210
VDKSRWQQGN VFSCSV11MHEA LHNHYTQKSL SLSPGK

```

[0570] 포유동물 시스템(CHO 세포)에서의 전체 IgG2 항체-Phor18(KFAKFAKKFAKFAK KFAK(SEQ ID NO.:4)) 컨쥬게이트의 제조합 발현. 중쇄 및 경쇄 전사물을 pSECTag2 포유동물 발현 플라스미드(Invitrogen cat# V900-20, lot 842626)로의 방향적 클로닝을 위한 AscI 및 EcoRI 제한 부위를 갖는 PCR 프라이머를 이용하여 Genscript DNA 전사물 외부에서 합성하였다. pSecTag2 플라스미드를 선택하였는데, 이는 이것이 포유동물 CMV 프로모터 및 항체의 분비를 위한 Igk 신호 서열을 갖기 때문이다. 신호 서열에 비한 발현 플라스미드 내의 다중 클로닝 부위의 위치 때문에, 발현된 ADC 단백질 내의 신호 펩티드의 분해는 플라스미드 설계로 인해 각각의 펩티드의 N-말단에 다음과 같은 6개의 아미노산을 남긴다: DAAQPA(SEQ ID NO.:152).

[0571] Phor18(이탈릭체)을 갖는 ADC의 전체 경쇄 및 전체 중쇄에 대해 Genscript ADC 전사물 DNA 서열이 하기에 제시된다:

[0572] CHO 세포 내의 CD20 표적화 항체-Phor18 컨쥬게이트의 발현을 위한 유전자의 서열

[0573] 전체 ADC 경쇄 표적 서열은 다음과 같다: (SEQ ID NO.:110)

**ATGAAGTTCGCAAAGTTCGCCAAAAAGTTCGCAAAGTTCGCAAAGTTCGCCAAAG  
GGTCAGATATTCAGATGACTCAGAGCCCCAGCTCCCTGTCCGCATCTGTGGGCGACCG  
AGTCACTATCACCTGCCAGCCTCTAGTTCAGTGTGAGCTACATTCAGTGGTATCAGCAGAA  
GCCTGGGAAAGCCCCAAAGCTGCTCATCTACGCCACAAGCAACCTGGCTTCCGGTGTG  
CCTTCTAGGTTTCAAGTGGGTCAAGAAGCGGTACAGACTTTACACTGACTATTAGCTCCCTC  
CAGCCAGAGGATTTCCGCCACTTACTATTGCCAGCAGTGGACTTCCAATCCCCCTACCTTT  
GGCCAGGGAACAAAAGTGGAAATCAAGGGCAGCCCAAAGCTAACCCCTACCGTCACAC  
TGTTCCACCCTCTAGTGTGGAAGTCCAGGCAATAAGGCCACTCTGGTGTGTCTCATT  
CCGACTTTTACCCCGGAGCTGTGACCGTCTGCTTGAAGGCAGATGGCTCTCCAGTGAAA  
GCAGGAGTCGAGACCACAAAACCCAGTAAGCAGTCAAACAATAAGTACGCCGCTTCAAG  
CTATCTGAGTCTCACCCCTGAACAGTGGAAAAGCCATAGGTCTTATTCTTCCAGGTGAC  
TCACGAAGGTAGCACTGTGGAAAAGACTGTCGCACCAACCGAATGTAGC**GGCTCCAAG  
GCTTTCAAGAAGGCCTTCAAGGCCTTCAAGAAAGCATTCAAGGCCTTTAAATGATAA****

[0574]

[0575] 전체 ADC 중쇄 표적 서열은 다음과 같다: (SEQ ID NO.:111)

**ATGAAGTTCGCCAAATTGCTAAGAAATTGCAAAGTTGCAAAGAAATTGCTAAAG  
GCTCCGAAGTGCAGCTCGTGGAAAGCGGGGGGGGACTCGTGCAGCCAGGGGGAAGCC  
TCAGACTCTCATGCGCCGCCTCAGGTTATACCTTTCACAAGCTACAACATGCACTGGGTCA  
GACAGGCACCTGGGAAGGGTCTGGAGTGGGTGGCCGCTATCTACCCAGGCAACGGAG  
ACACATCTTATAATCAGAAGTTCAAAGGCGGTTTACTATTAGCGCAGATACATCCAAGA  
ACACTGCCTACCTGCAGATGAATAGCCTCCGGGCTGAAGACACTGCAGTGTACTATTGC  
AGTCGCTCAACCTACTATGGCCGAGACTGGTATTTTCGATGTGTGGGGGCGAGGGTACTCT  
GGTCACCGTGAGCTCCGCCTCTACCAAGGGGCCAGTGTGTTTCCACTGGCTCCCTGC  
AGCCGTTCCACCTCTGAGAGTACAGCAGCCCTGGGTTTCTCGTGAAAGATTACTTCCC  
TGAACCAAGTCAACCGTGTCTGGAAGTCTGGCGCTCTGACCAGCGGAGTCCACACATTT  
CTGCAGTGTCTCAGTCTAGTGGGCTGTACTCCCTCTCAAGCGTGGTCCACAGTCCCATCC  
TCTAATTTTCGTAAGTCTCAGACCTATACATGCAACGTGGACCATAAGCCCTCCAATACTAAG  
GTGATAAAAACCGTGGAGCGCAAATGCTGTGTGGAATGCCACCTTGTCCAGCACCAAC  
AGTCGCTGGGCTAGCGTGTCTGTTCTTCTCCAAAGCCAAAAGACACTCTCATGATCTC  
TCGAACTCCCGAGGTCACCTGTGTGGTCTGTGGACGTCAGTACAGGATCCTGAAGTC  
CAGTTTAACTGGTACGTGGATGGAGTGCATAATGCAAAGACCAACCAAGGGA  
GGAACAGTTCAACTCAACCTTTAGAGTCTGAGCGTGTGACAGTGTGATCAGGACT  
GGCTCAACGGGAAGGAGTATAAGTGCAAAGTGTCTAATAAGGGTCTGCCCGCTCCTATC  
GAGAAAACAATTAGCAAGACTAAAGGACAGCCTCGAGAACCACAGGTGTACACACTGCC  
CCCTAGCAGGGAGGAAATGACAAAGAACCAGGTCTCCCTGACTTGTCTCGTGAAGGCT  
TCTATCCCAGTGCAGTATGCCGTGGAGTGGGAATCAAATGGACAGCCTGAGAACAATTAC  
AAGACCACACCACCCATGCTGGACAGTGTGGCTCATTCTTCTGTATTCCAAGCTCACC  
GTGGATAAATCTAGGTGGCAGCAGGGAAATGTCTTTTCATGTAGCGTGTGACAGGAGGC  
TCTCCATAACCATTACACCCAGAAGTCCCTGTACTCTCCCCGGCAAAG**GGCTCCAAGG  
CTTTCAAGAAGGCCTTCAAGGCCTTCAAGAAAGCATTCAAGGCCTTTAAATGATAA****

[0576]

[0577] 경쇄 및 중쇄를 서브클로닝하기 위해 사용된 PCR 프라이머가 하기에 제시된다.

[0578] ADC PCR 프라이머:

[0579] 정방향 프라이머는 5' 말단에 ASCII 제한 부위(GGCGGCC)를 갖는다.

[0580] 역방향 프라이머는 5' 말단에 EcoR1 제한 부위(GAATTC)를 갖는다.

[0581] 경쇄 프라이머 (SEQ ID NOs.:112-115)

**480L for: GGGGGCGCGCC GATATTCAGATGACTCAGAGCC (Tm=55.6)**  
**485L for: GGGGGCGCGCC AAGTTCGCAAAGTTCGCCAA (Tm=63)**  
**480L rev: GGG GAATTC TTATCAGCTACATTCGGTTGGT (Tm=58.65)**  
**487L rev: GGG GAATTC TTATCATTAAAGGCCTTGAATGCT (Tm = 61.37) Mar18**

[0582]

[0583] 중쇄 프라이머 (SEQ ID NOs.:116-118)

**480H for: GGG GGCGCGCC GAAGTGCAGCTCGTCGAAAG (Tm=61)**  
**485H for: GGG GGCGCGCC AAGTTCGCCAAATTTGCTAAGA (Tm=60.25)**  
**480H rev: GGG GAATTC TTATCATTGCGGGGGA (Tm= 62)**

[0584]

[0585] 2개의 Phor18 분자(Phor18-V<sub>L</sub> IgG2, Phor18-V<sub>H</sub> IgG2), 4개의 Phor18 분자(Phor18-V<sub>L</sub>-Phor18V<sub>H</sub>-IgG2), 6개의 Phor18 분자(Phor18-V<sub>L</sub>-C<sub>L</sub>-Phor18-Phor18-V<sub>H</sub>-IgG2) 및 8개의 Phor18 분자 Phor18-V<sub>L</sub>-C<sub>L</sub>-Phor18-V<sub>H</sub>-Phor18-C<sub>H</sub>3-Phor18-IgG2 및 Phor18-V<sub>L</sub>-C<sub>L</sub>-Phor18-V<sub>H</sub>-Phor18-C<sub>H</sub>3-IgG2)를 갖는 Phor18-IgG2 컨쥬게이트 및 네이키드 IgG2 항체 각각에 대한 아미노산 서열이 하기에 제시된다.

[0586] 네이키드 항체, 용해-펩티드 Phor18-항체 중쇄 및 경쇄 컨จู게이트의 아미노산 서열

[0587] IgG2 (480) (네이키드) (SEQ ID NO.:119)

[0588] 경쇄

```

10      20      30      40      50      60
DIQMTQSPSS LSASVGDRVT ITCRASSSVS YIHWYQQKPG KAPKLLIYAT SNLASGVPSR

70      80      90      100     110     120
FSGSRSGTDF TLTISLQPE DFATYYCQQW TSNPPTFGQG TKVEIKGQPK ANPTVTLFPP

130     140     150     160     170     180
SSEELQANKA TLVCLISDFY PGAVTVANKA DGSPVKAGVE TTKPSKQSNN KYAASSYLSL

190     200     210
TPEQWKSHRS YSCQVTHEGS TVEKTVAPTE CS
    
```

[0589]

[0590] 중쇄 (SEQ ID NO.:120)

```

10      20      30      40      50      60
EVQLVESGGG LVQPGGSLRL SCAASGYTFT SYNMHWRQA PGKGLEWVAA IYPNGDTSY

70      80      90      100     110     120
NQKFKGRFTI SADTSKNITAY LQMNSLRAED TAVYYCSRST YYGGDWYFDV WQGQTLVTVS

130     140     150     160     170     180
SASTKGPSVF PLAPCSRSTS ESTAALGCLV KDYFPEPVTV SWNSGALTSG VHTFPAVLQS

190     200     210     220     230     240
SGLYSLSSVV TVPSSNFGTQ TYTCNVDHKP SNTKVDKIVE RKCCVECPPC PAPPVAGPSV

250     260     270     280     290     300
FLFPPKPKDT LMISRTPEVT CVVVDVSHED PEVQFNWYVD GVEVHNAKTK PREEQFNSTF

310     320     330     340     350     360
RVVSVLTVVH QDWLNGKEYK CKVSNKGLPA PIEKTIKTK GQPREPQVYT LPPSREEMTK

370     380     390     400     410     420
NQVSLTCLVK GFYPSDIAVE WESNGQPENN YKTPPMLDS DGSFFLYSKL TVDKSRWQQG

430     440
NVFSCSVMHE ALHNHYTQKS LSLSPGK
    
```

[0591]

[0592] Phor18-V<sub>L</sub> IgG2 (481) (2 Phor18, N-말단) (SEQ ID NO.:121)

[0593] 경쇄

```

10      20      30      40      50      60
MKFAKFAKFF AKFAKFAKFG SDIQMTQSPS SLSASVGDRV TITCRASSSV SYIHWYQQKP

70      80      90      100     110     120
GKAPKLLIYA TSNLASGVPS RFSGSRSGTD FTLTISLQPE EDFATYYCQQ WTSNPPTFGQ

130     140     150     160     170     180
GTKVEIKGQP KANPTVTLFP PSSEELQANK ATLVCLISDF YPGAVTVAWK ADGSPVKAGV

190     200     210     220     230
ETTKPSKQSN NKYAASSYLS LTPEQWKSHR SYSCQVTHEG STVEKTVAPT ECS
    
```

[0594]

[0595] 중쇄 (SEQ ID NO.:122)

```

10      20      30      40      50      60
EVQLVESGGG LVQPGGSLRL SCAASGYTFT SYNMHWVRQA PGKGLEWVAA IYPNGDTSY

70      80      90      100     110     120
NQKFKGRFTI SADTSKNTAY LQMNSLRAED TAVYYCSRST YYGGDWYFDV WGQGTTLVTVS

130     140     150     160     170     180
SASTKGPSVF PLAPCSRSTS ESTAALGCLV KDYFPEPVTV SWNSGALTSG VHTFPAVLQS

190     200     210     220     230     240
SGLYSLSSVV TVPSSNFGTQ TYTCNVDHKP SNTKVDKIVE RKCCVECPPC PAPPVAGPSV

250     260     270     280     290     300
FLFPPKPKDT LMISRTPEVT CVVVDVSHED PEVQFNWYVD GVEVHNAKTK PREEQFNSTF

310     320     330     340     350     360
RVVSVLTVVH QDWLNGKEYK CKVSNKGLPA PIEKTISKTK GQPREPQVYT LPPSREEMTK

370     380     390     400     410     420
NQVSLTCLVK GFYPSDIAVE WESNGQPENN YKTPPMLDS DGSFFLYSKL TVDKSRWQQG

430     440
NVFSCSVME ALHNHYTQKS LSLSPGK
    
```

[0596]

[0597] Phor18-V<sub>H</sub> IgG2 (483) (2 Phor18, N-말단) (SEQ ID NO.:123)

[0598] 경쇄

```

10      20      30      40      50      60
DIQMTQSPSS LSASVGDVRT ITCRASSSVS YIHWYQQKPG KAPKLLIYAT SNLASGVPSR

70      80      90      100     110     120
FSGSRSGTDF TLISSSLQPE DFATYYCQQW TSNPPTFGQG TKVEIKGQPK ANPTVTLFPP

130     140     150     160     170     180
SSEELQANKA TLVCLISDFY PGAVTVAWKA DGSPVKAGVE TTKPSKQSNN KYAASSYLSL

190     200     210
TPEQWKSHRS YSCQVTHEGS TVEKTVAPTE CS
    
```

[0599]

[0600] 중쇄 (SEQ ID NO.:124)

```

10      20      30      40      50      60
MKFAKFAKFF AKFAKFAKFG SEVLVESGGG GLVQPGGSLR LSCAASGYTF TSYNMHWVRQ

70      80      90      100     110     120
APGKGLEWVA AIYPNGDTS YNQKFKGRFT ISADTSKNTA YLQMNSLRAE DTAVYYCSRS

130     140     150     160     170     180
TYYGGDWYFD VWGQGTTLVTV SSASTKGPSV FPLAPCSRST SESTAALGCL VKDYFPEPVT

190     200     210     220     230     240
VSWNSGALTS GVHTFPAVLQ SSGLYSLSSV TVPSSNFGT QTYTCNVDHK PSNTKVDKTV

250     260     270     280     290     300
ERKCCVECPP CPAPPVAGPS VFLFPPKPKD TLMISRTPEV TCVVVDVSH E DPEVQFNWYV

310     320     330     340     350     360
DGVEVHNAKT KPREEQFNST FRVSVLTVV HQDWLNGKEY KCKVSNKGLP APIEKTISK T

370     380     390     400     410     420
KGQPREPQVY TLPPSREEMT KNQVSLTCLV KGFYPSDIAV EWESNGQPEN NYKTPPMLD

430     440     450     460
SDGSFFLYSK LTVDKSRWQQ GNVFSCSVMH EALHNHYTQK SLSLSPGK
    
```

[0601]

[0602] Phor18-V<sub>L</sub>-Phor18V<sub>H</sub>-IgG2 (485) (4 Phor18, 2 N-말단) (SEQ ID NO.:125)

[0603] 경쇄

10            20            30            40            50            60  
 MKFAKFAKFF AKFAKFAKFG SDIQMTQSPS SLSASVGDRV TITCRASSSV SYIHWYQQKP  
  
70            80            90            100            110            120  
 GKAPKLLIYA TSNLASGVPS RFGSGRSGTD FTLTISSLQP EDFATYYCQQ WTSNPPTFGQ  
  
130            140            150            160            170            180  
 GTKVEIKGQP KANPIVTLEFP PSSEELQANK ATLVCLISDF YPGAVTVAWK ADGSPVKAGV  
  
190            200            210            220            230  
 ETTKPSKQSN NKYAASSYLS LTPEQWKSHR SYSCQVTHEG STVEKTVAPT ECS

[0604]

[0605] 중쇄 (SEQ ID NO.:126)

10            20            30            40            50            60  
 MKFAKFAKFF AKFAKFAKFG SEVQLVESGG GLVQPGGSLR LSACAASGYTF TSYNMHWVRQ  
  
70            80            90            100            110            120  
 APGKGLEWVA AIYPGNQDTS YNQKFKGRFT ISADTSKNTA YLQMNSLRAE DTAVYYCSRS  
  
130            140            150            160            170            180  
 TYYGGDWYFD VWGQGTLVTV SSASTKGPSV FPLAPCSRST SESTAALGCL VKDYFPEPVT  
  
190            200            210            220            230            240  
 VSWNSGALTS GVHTFPAVLQ SSGLYLSLVV VTVPSNFGT QTYTCNVDPK PSNTKVDKTV  
  
250            260            270            280            290            300  
 ERKCCVECP CPAPPVAGPS VFLFPPKPKD TLMISRTPEV ICSVVDVSH E DPEVQFNWYV  
  
310            320            330            340            350            360  
 DGVEVHNAKT KPREEQFNST FRVVSVLTVV HQDWLNGKEY KCKVSNKGLP APIEKTISKI  
  
370            380            390            400            410            420  
 KGQPREPQVY TLPPSREEMT KNQVSLTCLV KGFYPSDIAV EWESNGQPEN NYKTPPMLD  
  
430            440            450            460  
 SDGSFFLYSK LTVDKSRWQQ GNVFSCSVMH EALHNHYTQK SLSLSPGK

[0606]

[0607] Phor18-V<sub>L</sub>-C<sub>L</sub>-Phor18-Phor18-V<sub>H</sub>-IgG2 (487) (6 Phor18, 2 N 및 1 C-말단) (SEQ ID NO.:127)

[0608] 경쇄

10            20            30            40            50            60  
 MKFAKFAKFF AKFAKFAKFG SDIQMTQSPS SLSASVGDRV TITCRASSSV SYIHWYQQKP  
  
70            80            90            100            110            120  
 GKAPKLLIYA TSNLASGVPS RFGSGRSGTD FTLTISSLQP EDFATYYCQQ WTSNPPTFGQ  
  
130            140            150            160            170            180  
 GTKVEIKGQP KANPIVTLEFP PSSEELQANK ATLVCLISDF YPGAVTVAWK ADGSPVKAGV  
  
190            200            210            220            230            240  
 ETTKPSKQSN NKYAASSYLS LTPEQWKSHR SYSCQVTHEG STVEKTVAPT ECSGSKAFKK

[0609]

250  
 AFKAFKKAFK AFK

[0610] 중쇄 (SEQ ID NO.:128)

```

      10      20      30      40      50      60
MKFAKFAKFK AKFAKFAKFK SEVQLVESGG GLVQPGGSLR LSCAASGYTF TSYNMHWVRQ

      70      80      90     100     110     120
APGKGLEWVA AIYPGNGDTS YNQKFKGRFT ISADTSKNTA YLQMNSLRAE DTAVYYCSRS

      130     140     150     160     170     180
TYYGDDWYFD VWGQGTLVTV SSASTKGPSV FPLAPCSRST SESTAALGCL VKDYFPEPVT

      190     200     210     220     230     240
VSWNSGALTS GVHTFPAVLQ SSGLYSLSSV VTPSSNFGT QTYTCNVDPK PSNTKVDKTV

      250     260     270     280     290     300
ERKCCVECPP CPAPPVAGPS VFLFPPKPKD TLMISRTPEV TCVVVDVSH E DPEVQFNWYV

      310     320     330     340     350     360
DGVEVHNAKT KPREEQFNST FRVVSVLTVV HQDWLNGKEY KCKVSNKGLP APIEKTISK T

      370     380     390     400     410     420
KGQPREPQVY TLPPSREEMT KNQVSLTCLV KGFYPSDIAV EWESNGQPEN NYKTTTPMLD

      430     440     450     460
SDGSFFLYSK LTVDKSRWQQ GNVFSCSVMH EALHNHYTQK SLSLSPGK
    
```

[0611]

[0612] Phor18-V<sub>L</sub>-C<sub>L</sub>-Phor18-V<sub>H</sub>-Phor18-C<sub>H</sub>3-Phor18-IgG2 (489) (8 Phor18, 2 N 및 2 C-말단) (SEQ ID NO.:129)

[0613] 경쇄

```

      10      20      30      40      50      60
MKFAKFAKFK AKFAKFAKFK SDIQMTQSPS SLSASVGDV TITCRASSSV SYIHWYQQK P

      70      80      90     100     110     120
GKAPKLLIYA TSNLASGVPS RFGSRSRGT DFTLTISLQP EDFATYYCQQ WTSNPPTFGQ

      130     140     150     160     170     180
GTKVEIKGQP KANPTVTLFP PSSEELQANK ATLVCLISDF YPGAVTVAWK ADGSPVKAGV

      190     200     210     220     230     240
ETTKPSKQSN NKYAASSYLS LTPEQWKSHR SYSCQVTHEG STVEKTVAPT ECSGSKAFKK

      250
AFKAFKFAFK AFK
    
```

[0614]

[0615] 중쇄 (SEQ ID NO.:130)

```

      10      20      30      40      50      60
MKFAKFAKFK AKFAKFAKFK SEVQLVESGG GLVQPGGSLR LSCAASGYTF TSYNMHWVRQ

      70      80      90     100     110     120
APGKGLEWVA AIYPGNGDTS YNQKFKGRFT ISADTSKNTA YLQMNSLRAE DTAVYYCSRS

      130     140     150     160     170     180
TYYGDDWYFD VWGQGTLVTV SSASTKGPSV FPLAPCSRST SESTAALGCL VKDYFPEPVT

      190     200     210     220     230     240
VSWNSGALTS GVHTFPAVLQ SSGLYSLSSV VTPSSNFGT QTYTCNVDPK PSNTKVDKTV

      250     260     270     280     290     300
ERKCCVECPP CPAPPVAGPS VFLFPPKPKD TLMISRTPEV TCVVVDVSH E DPEVQFNWYV

      310     320     330     340     350     360
DGVEVHNAKT KPREEQFNST FRVVSVLTVV HQDWLNGKEY KCKVSNKGLP APIEKTISK T

      370     380     390     400     410     420
KGQPREPQVY TLPPSREEMT KNQVSLTCLV KGFYPSDIAV EWESNGQPEN NYKTTTPMLD

      430     440     450     460     470     480
SDGSFFLYSK LTVDKSRWQQ GNVFSCSVMH EALHNHYTQK SLSLSPGKGS KAFKFAKFAK
    
```

[0616] KFAKFAKFAK

[0617] Invitrogen 자유-방식 현탁액 성장된 CHO 세포(Free-style MAX CHO expression system cat# K9000-20)를 Invitrogen 프로토콜을 이용하여 트랜스펙션시켰다. 간단히, FS CHO 세포를 해동 후 6 내지 7일 동안 신속한 성장기로 확장시키고, 24시간 마다 배가시켰다. 트랜스펙션일에, 응집물을 제거하고, 세포를 펠렛화시키고, P/S-비함유 배지에  $5 \times 10^5$ /ml로 재현탁시켰다. 트랜스펙션일에, 필요시 세포의 30ml의 배양물을  $9 \times 10^5$ /ml로 조정하였고, 생활력은 99%에 가까워야 한다.

[0618] 30ml의 세포의 각각의 125ml 스피너 플라스크(VWR, cat# PBV125)를 35 $\mu$ l의 FSMax 트랜스펙션 시약(Invitrogen, cat# 16447-100)과 혼합된 35 $\mu$ g의 전체 플라스미드 DNA로 트랜스펙션시켰다. DNA는 1mg/ml 또는 그보다 높은 농도여야 한다. DNA 혼합물을 천천히 첨가하면서 세포를 신속히 소용돌이치도록 하였다. 시험된 H:L 사슬의 비는 3:2, 1:1, 및 2:3이었다.

[0619] 단백질을 트랜스펙션 3일 및 6일 후에 수거하였다. 약 0.25ml의 단백질 A 수지(Genscript L00210, 수용량 수지 ml 당 >20mg IgG)를 제공된 Genscript 프로토콜을 이용하여 FS CHO 배지로부터 분비된 ADC를 분리시키기 위해 이용하였다. 발현된 항-CD20 IgG2 항체(CD20 수용체에 대한 인간화된 가변 경쇄 및 중쇄 도메인 영역) 및 2:1, 4:1 및 6:1의 Phor18:AB의 화학량적 비율을 갖는 다양한 항체-Phor18 컨주게이트를 SDS PAGE, 및 웨스턴 블롯 분석을 이용하여 특성규명하였다(표 14).

[0620] 표 14: CD20을 표적으로 하는 ADC에 대한 ADC 설명

ADC의 명칭	ID	Phor18 위치	Phor18의 수/항체
IgG2	480	없음 ("네이키드")	0
Phor18-V <sub>L</sub> -IgG2	481	N-말단 경쇄 (V <sub>L</sub> )	2
Phor18-V <sub>H</sub> -IgG2	483	N-말단 중쇄 (V <sub>H</sub> )	2
Phor18-V <sub>L</sub> -Phor18-V <sub>H</sub> -IgG2	485	N-말단 중쇄 및 경쇄 (V <sub>H</sub> V <sub>L</sub> )	4
Phor18-V <sub>L</sub> -Phor18-V <sub>H</sub> -C <sub>L</sub> -Phor18-IgG2	487	N-말단 및 C-말단 경쇄 (V <sub>L</sub> V <sub>H</sub> C <sub>L</sub> )	6
Phor18-V <sub>L</sub> -C <sub>L</sub> -Phor18-V <sub>H</sub> -Phor18-C <sub>H3</sub> -Phor18-IgG2	489	N-말단 및 C-말단 경쇄 (V <sub>L</sub> C <sub>L</sub> V <sub>H</sub> C <sub>H3</sub> )	8

[0621] ADC를 항-Phor18로 탐지되는 웨스턴 블롯 상에서 탐지하였다. 모든 ADC는 중쇄 및 경쇄에 단일한 Phor18을 갖는다. 중쇄(H) 또는 경쇄(L) C-말단 또는 N-말단-Phor18 컨주게이션을 갖는 재조합적으로 생성된 항체(전체 IgG2 항체)의 수율, 순도 및 세포독성을 분석하였다. 전체 항체 분자에 컨주게이션된 2, 4 및 6개 분자의 용해 도메인(Phor18)을 발현시켰다.

[0623] 재조합적으로 생성된 항체 및 항체-Phor18 컨주게이트의 농도를 분광광도 측정(OD<sub>280</sub>)을 이용하여 결정하였고, 이는 다음과 같다: IgG2(Mw 150,000; 1.096 mg/ml), Phor18-V<sub>L</sub>-IgG2(Mw 154,340 g/mol, 0.561 mg/ml), Phor18-V<sub>H</sub>-IgG2(Mw 154,340 g/mol, 0.1 mg/ml) 및 Phor18-V<sub>L</sub>-Phor18V<sub>H</sub>-IgG2(Mw 158,400 g/mol, 0.561 mg/ml) 및 Phor18-V<sub>L</sub>-Phor18V<sub>H</sub>-C<sub>L</sub>-Phor18-IgG2(Mw 162,600, 0.07 mg/ml).

[0624] 실시예 22

[0625] 본 실시예는 재조합적으로 생성된 IgG2-Phor18 컨주게이트의 시험관내 활성을 기재한다.

[0626] 포유동물 발현 시스템에서 재조합적으로 생성된 CD20을 표적으로 하는 IgG2-Phor18 컨주게이트의 세포독성을 CD20 양성 세포(Daudi, 버킷 림프종)에서 "네이키드" 항체(IgG2)와 비교하였다. CD20 음성 백혈병 세포(U937)를 대조군으로 제공하였다. CHO 세포 발현된 ADC는 온전한 항체였고, V<sub>L</sub> 사슬의 N-말단, V<sub>H</sub> 사슬의 N-말단, V<sub>H</sub> 및 V<sub>L</sub> 사슬의 N-말단 및 V<sub>L</sub>, V<sub>H</sub>의 N-말단 및 C<sub>L</sub> 사슬의 C-말단에서 2, 4 및 6개의 Phor18 분자에 컨주게이션되었다. 서열 설명이 표 14에 요약되어 있다.

[0627] 인간 비-호지킨 림프종 세포 Daudi(CD20 양성, 계대 번호 p6) 및 인간 백혈병 세포주 U937(CD20 음성, p 10)을 세포 해리 완충액을 이용하여 열 비활성화 완전 배지 내에 불투명한 플레이트에 웰 당 2,000개 세포의 밀도로 시딩하였다. 24시간 후, 세포에 새로운 배지(75  $\mu$ l)를 공급하고, 25 $\mu$ l의 각각의 ADC의 4x 연속 희석액과 함께 인큐베이션하고, 세포 배양 배지에서 제조된 네이키드 항체를 IgG2, Phor18-V<sub>L</sub>-IgG2, Phor18-V<sub>H</sub>-IgG2 및 Phor18-V<sub>L</sub>-Phor18V<sub>H</sub>-IgG2에 대해 0.001-200 nM, 및 Phor18-V<sub>L</sub>-Phor18V<sub>H</sub>-C<sub>L</sub>-Phor18-IgG2에 대해 0.001-100 nM의 농도로 첨가하였다.

[0628] 4시간 동안 인큐베이션된 세포를 발광측정 검정 키트(Promega, Madison, WI, Cytotox Glo G9292 lot # 31787 2)를 이용하여 막 온전성에 대해 검정하였다. 세포 생활력을 발광 검정 키트(Promega, Madison, WI, Cell Titer Glo, G 7572, lot 336262)를 이용하여 24 및 48시간 후에 결정하였다.

[0629] 100% 세포 생활력(배양 배지) 및 100% 세포 사멸(0.1% Triton X 100)에 대한 대조군을 동일 조건하에서 인큐베이션하였다.

[0630] Windows용 Graph Pad Prizm version 5.00, GraphPad Software, San Diego California USA, www.graphpad.com(Graph Pad Prizm, Inc)을 이용하여 데이터를 처리하고 분석하여, IC<sub>50</sub> 값을 획득하였다. 유의성에 대한 통계 분석을 양측 스튜던츠 T-검정에 의해 결정하였다. 각각의 검정을 각각 2-3웰의 이중 플레이트를 이용하여 수행하여, 시점 당 4-6 데이터 포인트의 N을 획득하였다.

[0631] 표 15: CD20을 표적으로 하는 항-CD20 IgG2, Phor18-V<sub>L</sub>-IgG2, Phor18-V<sub>H</sub>-IgG2, Phor18-V<sub>L</sub>-Phor18V<sub>H</sub>-IgG2 및 Phor18-V<sub>L</sub>-Phor18V<sub>H</sub>-C<sub>L</sub>-Phor18-IgG2의 시험관내 독성. Daudi 세포(NHL)는 CD20에 대해 양성하였고, U937 세포(백혈병)는 CD20에 대해 음성이다.

	IgG2	Phor18-V <sub>L</sub> -IgG2 IC <sub>50</sub> [nM]	Phor18-V <sub>H</sub> -IgG2 IC <sub>50</sub> [nM]	Phor18-V <sub>L</sub> -Phor18V <sub>H</sub> -IgG2 IC <sub>50</sub> [nM]	Phor18-V <sub>L</sub> -Phor18V <sub>H</sub> -C <sub>L</sub> -Phor18-IgG2 IC <sub>50</sub> [nM]
	네이키드	V <sub>L</sub> N-말단	V <sub>H</sub> N-말단	V <sub>L</sub> 및 V <sub>H</sub> N-말단	V <sub>L</sub> 및 V <sub>H</sub> N-말단, C <sub>L</sub> C-말단
	0	2 Phor18	2 Phor18	4 Phor18	6 Phor18
<b>Daudi</b>	<b>IC<sub>50</sub> [nM]</b>	<b>IC<sub>50</sub> [nM]</b>	<b>IC<sub>50</sub> [nM]</b>	<b>IC<sub>50</sub> [nM]</b>	<b>IC<sub>50</sub> [nM]</b>
4h (막 온전성)	독성이 아님	ND	1108±198	109.6±20.1	71.6±29
24 h	독성이 아님	824±63	75.24±37.5	40.1±15.1	18.8±5.9
48 h	독성이 아님	>436	4.8±2	20.4±8.2	1.9±0.2
<b>U937</b>	<b>IC<sub>50</sub> [nM]</b>	<b>IC<sub>50</sub> [nM]</b>	<b>IC<sub>50</sub> [nM]</b>	<b>IC<sub>50</sub> [nM]</b>	<b>IC<sub>50</sub> [nM]</b>
4h (막 온전성)	독성이 아님	독성이 아님	독성이 아님	독성이 아님	독성이 아님
24 h	독성이 아님	독성이 아님	독성이 아님	독성이 아님	독성이 아님
48 h	독성이 아님	>1000	독성이 아님	249.6±29	258±41

[0632] ND=결정되지 않음

[0634] 막 온전성의 파괴를 Phor18-V<sub>H</sub>-IgG2(2 Phor18)에 대해 1,108±198, Phor18-V<sub>L</sub>-Phor18V<sub>H</sub>-IgG2(4 Phor18)에 대해 109.6±20.1 및 Phor18-V<sub>L</sub>-Phor18V<sub>H</sub>-C<sub>L</sub>-Phor18-IgG2(6 Phor18)에 대해 71.6±29의 나노몰 농도에서 4시간 후에 측정하였다. 네이키드 항체는 CD20 양성 Daudi 세포에 대해 24 또는 48시간 후에 독성이 아니었다.

[0635] IC<sub>50</sub> 값[nM]으로 표현된 24시간 후의 표적 세포의 사멸은 824±63, 75.24±37.5, (2 Phor18), 40.1±15.1 (4 Phor18) 및 18.8±5.9 (6 Phor18) nM이었다. 최대 효과는 48시간 후에 측정되었다(각각 IC<sub>50</sub> [nM] >436 (Phor18-V<sub>L</sub>-IgG2), 4.8±2 Phor18-V<sub>H</sub>-IgG2 (2 클립(Clips)) 및 20.4±8.2 nM Phor18-V<sub>L</sub>-Phor18V<sub>H</sub>-IgG2 (4 클립), 및 1.9±0.2 nM Phor18-V<sub>L</sub>-Phor18V<sub>H</sub>-C<sub>L</sub>-Phor18-IgG2 (6 Phor18)). CD20 음성 세포주(U937)는 4 및 24시간 후에 네이키드 항체 또는 2, 4, 및 6개의 Phor18 컨주게이션된 ADC에 의해 사멸되지 않았다. 48시간 후의 독성 수준은 249 및 258 nM의 IC<sub>50</sub> 값과 유사하였다. 이들 데이터는 Phor18의 위치가 Phor18-V<sub>H</sub>-IgG2에 대한 증가된 효능을 갖는 CD20 ADC의 효능을 결정하는 것을 입증한다. 항체 당 Phor18 분자의 증가는 효능을 증가시켰다.

[0636] 2, 4 및 6의 Phor18: 항체 화학량론을 갖는 전체 항체 Phor18 컨쥬게이트를 CHO 세포에서 재조합적으로 발현시켰다. 이들 항체 약물 컨쥬게이트는 중쇄 및 경쇄에서 Phor18 분자가 확인되었다. 이들은 4시간 후에 막 분해의 활성과 함께 시험관 내에서 CD20 양성 세포에서 활성이었다. 48시간 후, 6 및 4개의 Phor18을 갖는 ADC에서 가장 높은 한 자릿수의 나노몰 활성이 측정되었다.

[0637] 비-내재화 CD20 항체 컨쥬게이트는 4시간 이내에 표적 세포(Daudi)의 막 온전성을 파괴하였다. 세포 사멸이 낮은 나노몰 범위의 IC<sub>50</sub> 값으로 24시간 후에 관찰되었다. CD20 음성 세포(U937)는 사멸되지 않았다. 4 및 6개의 클립을 갖는 전체 IgG2 ADC는 2개의 Phor18 컨쥬게이트에 비해 표적 양성 세포에 대한 증가된 효능을 가졌다. N-말단에서의 Phor18의 위치는 더 높은 효능을 갖는 ADC를 발생시켰다. 항체 당 Phor18 수의 증가는 증가된 효능을 나타내었다.

[0638] N-말단 도메인에 컨쥬게이션된 항체에서의 Phor18의 더 높은 수(6 대 4 대 2)는 네이키드 항체에 비해 더욱 효능이 있다.

[0639] *실시예 23*

[0640] 본 실시예는 본 발명의 항체 및 폴리펩티드 컨쥬게이트 및 네이키드 항체 및 이들의 Phor18 컨쥬게이트가 생성될 수 있는 대표적 표적 단백질에 대한 표적 서열 정보를 포함한다.

[0641] **ERBB2** (HER2/NEU) 아이소형(Isoform) 1 [UniParc]: (SEQ ID NO.:131)

[0642] 

10	20	30	40	50	60
MELAALCRWG	LLLALLPPGA	ASTQVCTGTD	MKLRLPASPE	THLDMLRHLY	QGCQVVQGNL

<u>70</u>	<u>80</u>	<u>90</u>	<u>100</u>	<u>110</u>	<u>120</u>
ELTYLPTNAS	LSFLQDIQEV	QGYVLIAHNQ	VRQVPLQRLR	IVRGTQLFED	NYALAVLDNG
<u>130</u>	<u>140</u>	<u>150</u>	<u>160</u>	<u>170</u>	<u>180</u>
DPLNNTTPVT	GASPGGLREL	QLRSLTEILK	GGVLIQRNPQ	LCYQDTILWK	DIFHKNNQLA
<u>190</u>	<u>200</u>	<u>210</u>	<u>220</u>	<u>230</u>	<u>240</u>
LTLIDTNRSR	ACHPCSPMCK	GSRCWGESSE	DCQSLTRTVC	AGGCARCKGP	LPTDCCHEQC
<u>250</u>	<u>260</u>	<u>270</u>	<u>280</u>	<u>290</u>	<u>300</u>
AAGCTGPKHS	DCLACLHFNH	SGICELHCPA	LVTYNIDTIFE	SMPNPEGRYT	FGASCVTACP
<u>310</u>	<u>320</u>	<u>330</u>	<u>340</u>	<u>350</u>	<u>360</u>
YNYLSTDVGS	CTLVCPHNNQ	EVTAEDGTQR	CEKCSKPCAR	VCYGLGMEHL	REVRAVTSAN
<u>370</u>	<u>380</u>	<u>390</u>	<u>400</u>	<u>410</u>	<u>420</u>
IQEFAGCKKI	FGSLAFLPES	FDGDPASNTA	PLQPEQLQVF	ETLEEITGYL	YISAWPDSL P
<u>430</u>	<u>440</u>	<u>450</u>	<u>460</u>	<u>470</u>	<u>480</u>
DLSVFQNLQV	IRGRILHNGA	YSLTLQGLGI	SWLGLRSLRE	LGSGLALIH H	NTHLCFVHTV
<u>490</u>	<u>500</u>	<u>510</u>	<u>520</u>	<u>530</u>	<u>540</u>
PWDQLFRNPH	QALLHTANRP	EDECVGEGLA	CHQLCARGHC	WGP GPTQCVN	CSQFLRGQEC
<u>550</u>	<u>560</u>	<u>570</u>	<u>580</u>	<u>590</u>	<u>600</u>
VEECRVLQGL	PREYV NARHC	LPCHPECQPQ	NGSVTCFGPE	ADQCVACAHY	KDPPFCVARC
<u>610</u>	<u>620</u>	<u>630</u>	<u>640</u>	<u>650</u>	<u>660</u>
PSGVKPDLSY	MPIWKFPDEE	GACQPCPINC	THSCVDLDDK	GCPAEQRASP	LTSIISAVVG
<u>670</u>	<u>680</u>	<u>690</u>	<u>700</u>	<u>710</u>	<u>720</u>
ILLVVVLGVV	FGILIKRRQQ	KIRKYTM RRL	LQETELVEPL	TPSGAMPNQA	QMRILKETEL
<u>730</u>	<u>740</u>	<u>750</u>	<u>760</u>	<u>770</u>	<u>780</u>
RKVKVLGSGA	FGTVYKGIWI	PDGENVKIPV	AIKVLRENTS	PKANKEILDE	AYVMAGVGSP
<u>790</u>	<u>800</u>	<u>810</u>	<u>820</u>	<u>830</u>	<u>840</u>
YVSRLLGICL	TSTVQLVTQL	MPYGCLLDHV	REN RGR LGSQ	DLLNWC MQIA	KGMSYLEDVR

[0643]

```

      850      860      870      880      890      900
LVHRDLAARN VLVKSPNHVK ITDFGLARLL DIDETEHYHAD GGVPIKWMA LESILRRRFT

      910      920      930      940      950      960
HQSDVWSYGV TVWELMTFGA KPYDGIIPARE IPDLLEKGER LPQPPICTID VYMIMVKCWM

      970      980      990      1000     1010     1020
IDSECRPRFR ELVSEFSRMA RDPQRFVVIQ NEDLGPASPL DSTFYRSLLE DDDMGDLVDA

      1030     1040     1050     1060     1070     1080
EEYLVPPQGF FCPDPAPGAG GMVHHRHRSS STRSGGGDLT LGLEPSEEEA PRSPLAPSEG

      1090     1100     1110     1120     1130     1140
AGSDVFDGDL MGAAKGLQS LPTHDPSPLO RYSEDPTVPL PSETDGYVAP LTCSPQPEYV

      1150     1160     1170     1180     1190     1200
NQPDVVRPQP SPREGPLPAA RPAGATLERP KTLSPGKNGV VKDVFAFGGA VENPEYLTPQ

      1210     1220     1230     1240     1250
GGAAPQPHPP PAFSPAFDNL YYWDQDPPER GAPPSTFKGT PTAENPEYLG LDVPV
    
```

[0644]

[0645] **CD19:** B-림프구 표면 항원 B4, B-세포 공동-수용체의 성분, NCBI 참조 서열: NP\_001171569.1:

[0646] 기점 (SEQ ID NO.:132)

```

1 mppprlffll flftpmevrp eeplvvkvee gdnavlqclk gtsdgptqql twsrespkpk
61 flklslgplg lghimrplai wlifnvsqq mggfyfcqpg ppsekawqpg wtvnvegsge
121 lfrwnvsdlg glgcglnrns segpsspsgk lmspklyvwa kdrpeiwege ppclprrdsl
181 nqslsqdltm apgstlwlsc gvppdsvsrg plswthvhpk gpkslslsl kddrpardmw
241 vmetglllpr ataqdagkyy chrgnlitmsf hleitarpvl whwillrtggw kvsavtlayl
301 ifclcslvgi lhlqralvlr rkrkrmtcpt rffkvtppp gsgpqnqygn vlsptptsg
361 lgraqrwaag lggatpysgn pssdvqadga lgsrsppgvg peeeegegy epdseedsef
421 yendsnlqgd qlsqdgsyge npedeplgpe dedsfnsaes yenedeeltq pvarmdfls
481 phgsawdpsr eatslagsqs yedmrgilya apqlrsirgq pgpnheedad syenmdnpgd
541 pdpawggggr mgtwstr
    
```

[0647]

[0648] **CD20:** B-세포 림프종, 털모양 세포 백혈병, 및 B-세포 만성 림프성 백혈병에서 발견되는, 세포 활성화에 필요한 칼슘의 유입을 가능케 하는 세포막 내의 칼슘 채널을 형성하는 B 세포에서 발견된 타입 III 막횡단 단백질. CD20에 대한 항체로서 상기 질병의 치료를 위해 중요하다: 리툭시맙. NCBI 참조 서열 NP\_068769.2, **MS4A1 - P11836:** (SEQ ID NO.:133)

```

1 mttprnsvng tfaepmkgp iamqsgpkpl frmrsslvgp tqsfmresk tlgavqimng
61 lfhlalggll mipagiyapi cvtvwyplwg gimyiisgsl laateknsrk clvkgkmimn
121 slslfaaisg milsimdiln ikishflkme slnfirahtp yiniyncepa npseknspst
181 qycysiqslf lgilsvmlif affqelviag ivenewkrct srpksnivll saeekkeqti
241 eikeevvgltr etssqpknee dieiipiqee eeeetetnfp eppqdqessp iendssp
    
```

[0649]

[0650] **CD22:** N-말단에 위치한 면역글로불린(Ig) 도메인을 갖는, 시알산에 특이적으로 결합하는 당 결합 막횡단 단백질. 이는 면역글로불린 상과 및 SIGLEC 패밀리의 일원이다. CD22는 B 세포 수용체(BCR) 신호전달에 대한 억제 수용체로 작용한다. NCBI 참조 서열 NP\_001172028.1:

[0651] 기점 (SEQ ID NO.:134)

```

1 mhllgpwlll lvleylafsd sskwvfehpe tlyawegacv wipctyrald gdlesfilfh
61 npeynkntsk fdgtrlyest kdqkvpseqk rvqflgdknk nctlsihpvh lndsgqlglr
121 mesktekwme rihlnvserp fpphiqlppe iqesqevltt ellnfscygy piqlqwllleg
181 vpmrqaavts tsltiksvft rselkfspqw shhgkivtcq lqdadgkfls ndtvqlnvkh
241 tpkleikvtp sdaiivregds vtmtcevsss npeyttvswl kdgtslkkqn tftlnlrevt
301 kdqsgkyccq vsndvqpggrs eevflqvqyp pkkvttviqn pmpiregdtv tllscnynssn
361 psvtryewkp hgaweepsig vlkiqnvqwd nttiacaacn swcswaspva lnvqyaprdv
421 rvrkikplse ihsgnsvsq cdfssshpke vqffwekngr llgkesqlnf dsispedags
481 yscwvnsig qtaskawtle vlyaprllrv smspgdqvme gksatltes danppvshyt
541 wfdwnnqslp yhsqklrlep kvqhgsgayw cqgtnsvgkg rsplstltvy yspetigrrv
601 avglgsclai lilaicglkl qrrwrtqsq gglqenssgq sffvrnkvr raplseghs
661 lgcynpmed gisyttlrfp emniprtgda essemqrppp dcdtdvtysa lhkrqvgdye
721 nvipdfpede gihyseliqf gvgerpqaq nvdyvilkh
    
```

[0652]

[0653] **CD23:** IgE와 복합체화된 항원의 포획 및 가공을 향상시키는, 성숙 B 세포, 단핵구, 활성화된 대식세포, 호산구, 혈소판, 및 수지상 세포에서 발견되는 타입 II 막횡단 단백질. NCBI 참조 서열 NP\_001193948.2:

[0654] 기점 (SEQ ID NO.:135)

```

1 mnppsqeiee lprrrccrrg tqivllglvt aalwaglltl lllwhwdttq slkqleeraa
61 rnvsvqsknl eshhdqdmaq ksqstqisqe leelraeqqr lksqdlslsw nlnqlqadls
121 sfksqelner neasdllderl reevtklrme lqvssgfvn tcpekwinfq rkcyfygkgt
181 kqvwvharyac ddmeqglvsi hspceqdfllt khashtgswi glrnldlkge fiwvdgshvd
241 ysnwapgept srsqgedcvm mrgsgrwnda fcdrklgawv cdrlatctpp asegsaesmg
301 pdsrpdpdgr lptpsaplhs
    
```

[0655]

[0656] **CD27:** TNF-수용체. 휴지 기억 B 세포의 표면에 존재한다. NCBI 참조 서열 NP\_001233.1:

[0657] 기점 (SEQ ID NO.:136)

```

1 marphpwlc vlgtlvglsa tpapkscper hywaggklcc qmcepgtflv kdcdqhrkaa
61 qcdpcipgvs fspdhhrph cesrhcnsg llvrnctita naecacrngw qcrdkectec
121 dplpnpelta rssqalsphq qpthlpyvse mleartaghm qtladfrqlp artlsthwp
181 qslcslsdfi rilvifsgmf lvftlagalf lhqrrkyrsn kgespvepae pcryscpre
241 egstipiqed yrkpepacsp
    
```

[0658]

[0659] **CD28:** 모든 T-세포 상에 존재하고, CD80 또는 CD86일 수 있는 적절한 리간드인 표지된 B7과 매치되는 경우, 이는 T-세포에 대한 공동자극 효과를 갖는다. 이는 또한 특히 조직 침윤 후에 호산구 과립구에서 발견된다. 이의 라이제이션은 효능 있는 신경독 IL-2 및 IL-13 뿐만 아니라 IFN- $\gamma$ 의 방출을 발생시킨다. Checksum 1D9B6552A5878DOF: (SEQ ID NO.:137)

10	20	30	40	50	60
MLRLLLALNL	FPSIQVTGNK	ILVKQSPMLV	AYDNAVNLSC	KYSYNLFSRE	FRASLHKGLD
70	80	90	100	110	120
SAVEVCVVYG	NYSQQLQVYS	KTGFNCDGKL	GNESVTFYLQ	NLYVNQTDIY	FCKIEVMYPP
130	140	150	160	170	180
PYLDNEKSNG	TIIHVKGKHL	CPSPLFPGPS	KPFWLVVVG	GVLACYSLLV	TVAFIIFWVR
190	200	210	220		

[0660] SKRSRLHSD YMNMPRRPG PTRKHYQPYA PPRDFAAYRS

[0661] **CD30:** 세포 활성화 및/또는 분화에서 역할을 할 수 있는, 활성화된 T 및 B 세포에 존재하는 타입 I 막횡단 단백질; 호지킨 질병, 일부 T-세포 림프종, 및 역형성 큰세포 림프종에서 발견됨. (SEQ ID NO.:138)

```

    10      20      30      40      50      60
MRVLLAALGL LFLGALRAFP QDRPFEDTCH GNPSHYDYKA VRRCCYRCPM GLFPTQQCPQ

    70      80      90      100     110     120
RPTDCRKQCE PDYYLDEADR CTACVTCSR D LVEKTPCAW NSSRVCECRP GMFCSTSAVN

    130     140     150     160     170     180
SCARCFHHSV CPAGMIVKFP GTAQKNIVCE PASPGVSPAC ASPENCKEPS SGTIPQAKPT

    190     200     210     220     230     240
PVPATSSAS TMPVRGGTRL AQEAASKLTR APDSPSSVGR PSSDPGLSPT QPCPEGSGDC

    250     260     270     280     290     300
RKQCEPDYYL DEAGRCTACV SCSRDDLVEK TPCAMNSRT CECRPGMICA TSATNSCARC

    310     320     330     340     350     360
VPYPICAAET VIKPQDMAEK DTTFEAPPLG TQDCNPTPE NGEAPASTSP TQSLLVDSQA

    370     380     390     400     410     420
SKTLPIPTSA PVALSSTGKP VLDAGPVLFW VILVLVVVVG SSAFLLCHRR ACRKRIRQKL

    430     440     450     460     470     480
HLCYPVQTSQ PKLELVDSRP RRSSTQLRSG ASVTEPVAEE RGLMSQPLME TCHSVGAAYL

    490     500     510     520     530     540
ESLPLQDASP AGGPSSPRDL PEPRVSTEHT NNKIEKIYIM KADTVIVGTV KAELPEGRGL

    550     560     570     580     590

```

AGPAEPELEE ELEADHTPHY PEQETEPPLG SCSDVMLSVE EEGKEDPLPT AASGK

[0662]

[0663] P28908-2, 중앙 피사 인자 수용체 상과 일원 8, 호모 사피엔스(Homo sapiens)(SEQ ID NO.:139):

```

    10      20      30      40      50      60
MSQPLMETCH SVGAAYLES PLQDASPAGG PSSPRDLPEP RVSTEHTN NK IEKIYIMKAD

    70      80      90      100     110     120
TVIVGTVKAE LPEGRGLAGP AEPELEEELE ADHTPHYEQ ETEPPLGSCS DVMLSVEEEG

    130
KEDPLPTAAS GK

```

[0664]

[0665] **CD31**: PECAM-1, 혈소판 및 내피 세포 상의 세포 부착 분자 (SEQ ID NO.:140).

```

10      20      30      40      50      60
MQPRWAQGAT MWLGVLLILL LCSSLEGQEN SFTINSVDMK SLPDWTVQNG KNLTLCQCFAD

70      80      90      100     110     120
VSTTSHVKPQ HQMLFYKDDV LFYNISSMKS TESYFIPEVR IYDSGTYKCT VIVNNKEKTI

130     140     150     160     170     180
AEYQLLVEGV PSRPVTLDDK EAIQGGIVRV NCSVPPEEKAP IHFTIEKLEL NEKMKVKKRE

190     200     210     220     230     240
KNSRDQNFVI LEFFVEEQDR VLSFRCQARI ISGIHMOTSE STKSELVTVI ESFSTPKFHI

250     260     270     280     290     300
SPTGMIMEGA QLHIKCTIQV THLAQEFPEI IIQKDKAIVA HNRHGKAVY SVMAMVEHSG

310     320     330     340     350     360
NYTCKVESSR ISKVSSIVVN ITELFSKPEL ESSFTHLDQG ERLNLSCSIP GAPPANFTIQ

370     380     390     400     410     420
KEDTIVSQTQ DFTKIASKSD SGTYICTAGI DKVVKKSNTV QIVVCEMLSQ PRISYDAQFE

430     440     450     460     470     480
VIKQTIEVR  CESISGTLPI SYQLLKTSKV LENSTKNSND PAVFKDNPTE DVEYQCVADN

490     500     510     520     530     540
CHSHAKMLSE VLRVKVIAFV DEVQISILSS KVVESGEDIV LQCAVNEGSG PITYKFYREK

550     560     570     580     590     600
EGKPFYQMTS NATQAFWIKQ KASKEQEGEY YCTAFNRANH ASSVPRSKIL TVRVILAPWK

610     620     630     640     650     660
KGLIAVVIIG VIIALLIIAA KCYFLRKAKA KQMPVEMSRP AVPLLNSNNE KMSDPNMEAN

670     680     690     700     710     720
SHYGHNDVDR NHAMKPINDN KEPLNSDVQY TEVQVSSAES HKDLGKKDTE TVYSEVRKAV

730
PDAVESRYSR TEGSLDGT
    
```

[0666]

[0667] **CD33**: 급성 골수성 백혈병 모세포 및 성숙 단핵구를 포함하는 미성숙 골수성 세포에서 발견되는 공지되지 않은 기능의 마커. P20138: (SEQ ID NO.:141)

```

10      20      30      40      50      60
MPLLLLLLPLL WAGALAMDPN FWLQVQESVT VQEGLCVLVP CTFPHPIPIYY DKNSPVHGYW

      70      80      90      100     110     120
FREGAIISRD  SPVATNKLDQ  EVQEETQGRF  RLLGDPSRNN  CSLSIVDARR  RDNGSYFFRM

      130     140     150     160     170     180
ERGSTKYSYK  SPQLSVHVID  LTHRPKILIP  GTLEPGHSKN  LTCSVSWACE  QGTPPIFSWL

      190     200     210     220     230     240
SAAPTSLGPR  TTHSSVLIIT  PRPQDHGTNL  TCQVKFAGAG  VTTERIQLN   VTYVPQNPTI

      250     260     270     280     290     300
GIFPGDGSJK  QETRAGVVHG  AIGGAGVTAL  LALCLCLIFF  IVKTHRRKAA  RTAVGRNDTH

      310     320     330     340     350     360
PTTGSASPKH  QKKSCLHGPT  ETSSCSGAAP  TVEMDEELHY  ASLNFHGMNP  SKDTSTEYSE
    
```

[0668] VRTQ

[0669] **CD34:** 조혈 전구체(제대혈에서 높은 농도로 발견됨), 모세관 내피, 및 배아 섬유모세포에서 발견되는 줄기 세포 마커, 부착. 아이소형 CD34-F: (SEQ ID NO.:142)

```

      10      20      30      40      50      60
MLVRRGARAG  PRMPRGWTAL  CLLSLLPSGF  MSLDNNGTAT  PELPTQGTFS  NVSTINVSQE

      70      80      90      100     110     120
TTTTPSILGST SLHPVSQHGN  EATTNITETT  VKFTSTSVIT  SVYGNTNSSV  QSQTSVISTV

      130     140     150     160     170     180
FTTPANVSTP  ETTLKPSLSP  GNVSDLSTTS  TSLATSPTKP  YTSSSPILSD  IKAEIKCSGI

      190     200     210     220     230     240
REVKLTQGIC  LEQNTSSCA  EFKKDRGEGE  ARVLCGEEQA  DADAGAQVCS  LLLAQSEVRP

      250     260     270     280     290     300
QCLLLVLNR  TEISSKLQLM  KKHQSDLKKL  GILDFTEQDV  ASHQSYSQKT  LIALVTSGAL

      310     320     330     340     350     360
LAVLGITGYF  LMNRRSWSPT  GERLGEDPYY  TENGGGQGYG  SGPPTSPEAQ  GKASVNRGAQ

      370     380
    
```

[0670] ENGTGQATSR NGHSARQHVV ADTEL

[0671] **CD40:** 항원 제시 세포에서 발견되는 공동자극 단백질. CD40은 T 세포 상에서 CD154(CD40L)와 조합되어 B 세포에서의 항체 아이소형 스위칭(itching)을 유도한다. 아이소형 I: (SEQ ID NO.:143)

```

    10      20      30      40      50      60
MVRPLPQCVL WGCLLTAVHP EPPTACREKQ YLINSQCSSL CQPGQKLVSD CTEFTETECL
    70      80      90     100     110     120
PCGESEFLDT WNRETHCHQH KYCDPNLGLR VQKGTSETD TICTCEEGWH CTSEACESCV
    130     140     150     160     170     180
LHRSCSPGFG VKQIATGVSD TICEPCPVGF FSNVSSAFEK CHPWTSCETK DLVVQQAGTN
    190     200     210     220     230     240
KTDVVCQPQD RLRALVVIPI IFGILFAILL VLVFIKKVAK KPTNKAPHPK QEPQEINFPD
    250     260     270

```

[0672]

DLPGSNTAAP VQETLHGQPF VTQEDGKESR ISVQERQ

[0673]

**CD52:** P31358m(SEQ ID NO.:144)

```

    10      20      30      40      50      60
MKRFLFLLLT ISLLVMVQIQ TGLSGQNDTS QTSSPSASSN ISGGIFLFFV ANAIIHLFCF

```

[0674]

S

[0675]

Q9UJ81 (SEQ ID NO.:145)

```

    10

```

[0676]

MKRFLFLLLT ISLLVMVQ

[0677]

**CD 56:** 신경 세포 부착 분자 1. 짧은 명칭=N-CAM-1, *대안적 명칭(들)*. CD\_항원=CD56. 아이소형 1: (SEQ ID NO.:146)

10        20        30        40        50        60  
 MLQTKDLIWT LFFLGTAVSL QVDIVPSQGE ISVGESKFFL CQVAGDAKDK DISWFSPNGE  
  
70        80        90        100        110        120  
 KLTPNQQRIS VVWNDDSSST LTIYNANIDD AGIYKCVVTG EDGSESEATV NVKIFQKLMF  
  
130        140        150        160        170        180  
 KNAPTPQEFR EGEDAVIVCD VVSSLPPTII WKHKGRDVIL KKDVRFIVLS NNYLQIRGIK  
  
190        200        210        220        230        240  
 KTDEGTYRCE GRILARGEIN FKDIQVIVNV PPTIQARQNI VNATANLGQS VTLVCDAEFG  
  
250        260        270        280        290        300  
 PEPTMSWTKD GEQIEQEEDD EKYIFSDSS QLTIKKVDKN DEAEYICIAE NKAGEQDATI  
  
310        320        330        340        350        360  
 HLKVFAPKPI TYVENQTAME LEEQVTLTCE ASGDPIPSIT WRTSTRNISS EEKASWTRPE  
  
370        380        390        400        410        420  
 KQETLDGHMV VRSHARVSSL TLKSIQYTDG GEYICTASNT IGQDSQSMYL EVQYAPKLQG  
  
430        440        450        460        470        480  
 PVAVYTWEGN QVNITCEVFA YPSATISWFR DGQLLSSNY SNIKIYNTPS ASYLEVTPDS  
  
490        500        510        520        530        540  
 ENDFGNYNCT AVNRIGQESL EFILVQADTP SSPSIDQVEP YSSTAQVQFD EPEATGGVPI  
  
550        560        570        580        590        600  
 LKYKAEWRAP GEEVWHKQWY DAKEASMEGI VTIVGLKPET TYAVRLAALN GKGLGEISAA  
  
610        620        630        640        650        660  
 SEFKTQPVOG EPSAPKLEGQ MGEDGNSIKV NLIKQDDGGS PIRHYLVRYR ALSSEWKPEI  
  
670        680        690        700        710        720  
 RLPSSGDHVM LKSLDWNAAEY EVYVVAENQQ GKSAAHFVF RTSAQFTAIP ANGSPTSGLS  
  
730        740        750        760        770        780  
 TGAIVGILIV IFVLLLVVVD ITCYFLNCKG LFMCIAVNLC GKAGPGARKG DMEEGKAAPS  
  
790        800        810        820        830        840  
 KDESKEPIVE VRTEEERTPN HDGGKHTEPN ETIPLTEPEK GPVEAKPECQ ETETKPAPAE  
  
850  
 VKTVPNDATQ TKENESKA

[0678]

[0679] **CD70**: 중앙 괴사 인자 리간드 상과 일원 7. P32970 (CD70\_HUMAN): (SEQ ID NO.:147)

```

    10         20         30         40         50         60
MPEEGSGCSV RRRPYGCVLR AALVPLVAGL VICLVVCIQR FAQAQQQLPL ESLGWDVAEL

    70         80         90        100        110        120
QLNHTGPQQD PRLYWQGGPA LGRSFLHGPE LDKGQLRIHR DGIYVHIQV TLAICSSTA

   130        140        150        160        170        180
SRHHPTTAV GICSPASRSI SLLRLSFHQG CTIASQRLTP LARGDTLCTN LTGILLPSRN

   190

```

[0680] IDEIFFGVQW VRP

[0681] **CD123**: IL3RA. 아이소형 1: (SEQ ID NO.:148)

```

    10         20         30         40         50         60
MVLWLTLTLL IALPCLLQTK EDPNPPITNL RMKAKAQQLT WDLNRNVTDI ECVKDADYSM

    70         80         90        100        110        120
PAVNNSYQF GAISLCEVTN YTVRVANPPF STWILFPENS GKPWAGAENL TCWIHDVDFL

   130        140        150        160        170        180
SCSWAVGPGA PADVQYDLYL NVANRRQQYE CLHYKTDAG TRIGCRFDDI SRLSSGSQSS

   190        200        210        220        230        240
HILVRGRSAA FGIPCTDKFV VFSQIEILTP PNMTAKCNKT HSFMHWKMRS HFNKFRYEL

   250        260        270        280        290        300
QIQKRMQPVI TEQVRDRISF QLLNPGTYTV QIRARERVYE FLSAWSTPQR FECDQEEGAN

   310        320        330        340        350        360
TRAWRTSLLI ALGTLALVC VFVICRYLV MQRLEFPRIPH MKDPIGDSFQ NDKLVVWEAG

   370

```

[0682] KAGLEECLVT EVQVVQKT

[0683] **CD154**: CD40에 대한 리간드. 이는 B 세포 활성화가 가장 공지되어 있으나, APC 상의 MHC 분자에 의한 T 세포 수용체 자극과 관련된 APC의 활성화를 유도하는 것으로 또한 공지된, 많은 역할을 하는 공동자극 분자이다. Q3L8U2: (SEQ ID NO.:149)

```

    10      20      30      40      50      60
MIETYNQTS RSAATGLPIS MKIFMYLLTV FLITQMIGSA LFAVYLHRRL DKIEDERNLH

    70      80      90      100     110     120
EDFVFMKTIQ RCNTGERSLS LLNCEEIKSQ FEGFVKDIML NKEETKENS FEMQKVLQWA

    130     140     150     160     170     180
EKGYTMSNN LVTLENGQL TVKROGLYYI YAQVTFCSNR EASSQAPFIA SLCLKSPGRF

    190     200     210     220     230     240

```

[0684] ERILLRAANT HSSAKPCGQQ SIHGGVFEL QPGASVFNV TDPSQVSHGT GFTSFGLLKL

[0685] **CD138**: 신데칸-1(syndecan-1)으로 공지된 형질 세포-표면 당단백질인 신데칸. 신데칸은 콜라겐, 섬유결합소 및 트롬보스폰딘에 대한 알파 수용체로 작용한다. P18827: (SEQ ID NO.:150)

```

    10      20      30      40      50      60
MRRAALWLWL CALALSLQPA LPQIVATNLP PEDQDGSDD SDFSGSGAG ALQDITLSQQ

    70      80      90      100     110     120
TPSTWKDTQL LTAIPTSPEP TGLEATAAST STLPAGEGPK EGEAVVLPEV EPGLTAREQE

    130     140     150     160     170     180
ATPRPRETTQ LPTTHLASTI TATTAQEPAT SHPHRDMQPG HHETSTPAGP SQADLHTPHT

    190     200     210     220     230     240
EDGGPSATER AAEDGASSQL PAAEGSGEQD FTFETSGENT AVVAVEPDRR NQSPVDQGAT

    250     260     270     280     290     300
GASQGLLDRK EVLGGVIAGG LVGLIFAVCL VGFMLYRMKK KDEGSYSLEE PKQANGGAYQ

    310

```

[0686] KPTKQEEFYA KPTKQEEFYA

[0687] **은코페토프로테인 - 5T4 영양막 당단백질**. NCBI 참조 서열 NP\_001159864.1:

[0688] 기점 (SEQ ID NO.:151)

```

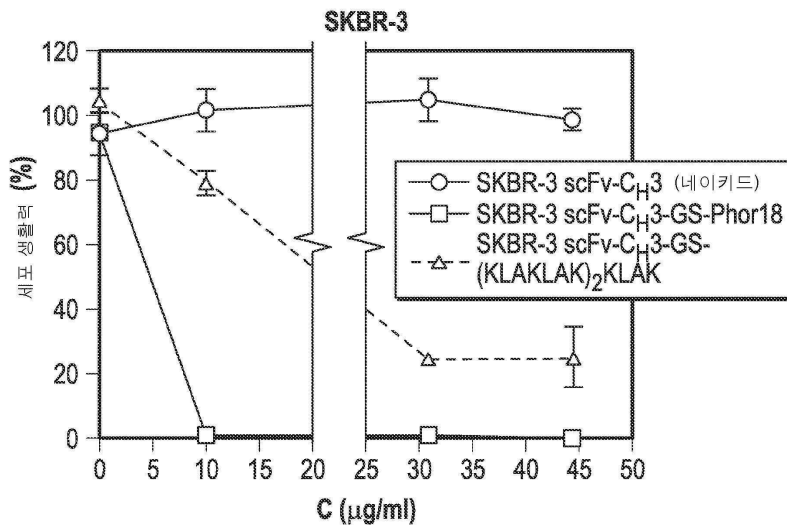
1  mpggcsrgpa agdgrlrlar lalvllgwvs sssptssass fsssapflas avsaqpplpd
61  qcpalceese aartvkcvnr ntevtptdlp ayvrnflitg nqlavlpaga farrpplael
121 aalnlsgrsl devragafeh lpslrqldls hnpladlspf afsgsnasvs apsplvelil
181 nhivppeder qnrsfegmvv aallagralq glrrlelasn hflylprdv1 aqlpslrhld
241 lsnnslvslt yvsfrnlthl eslhlednal kvlhngtlae lqglphirvf ldnnpwvcdc
301 hmadmvtw1k etevvggkdr ltcaypekmr nrvillelnsa dldcdpilpp slqtsyvflg
361 ivl1aligaif llvlylnrkq ikkwmhnird acrdhmeqyh yryeinadpr ltnlssnsdv

```

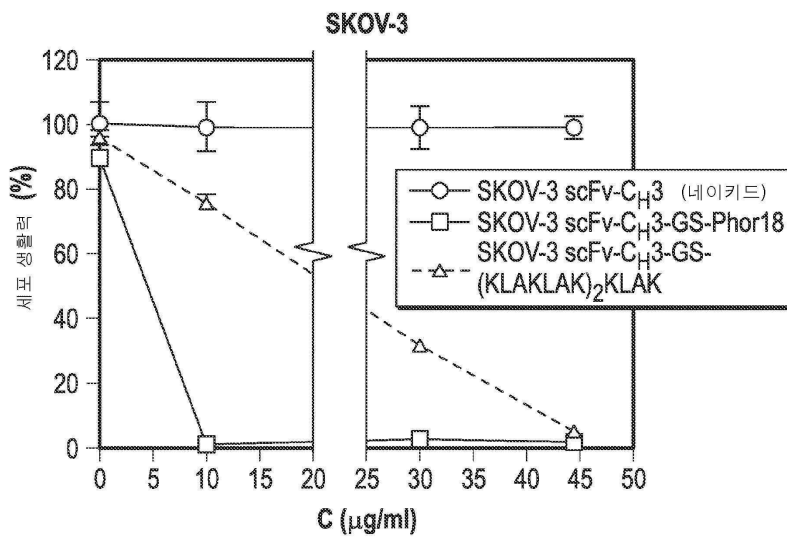
[0689]

도면

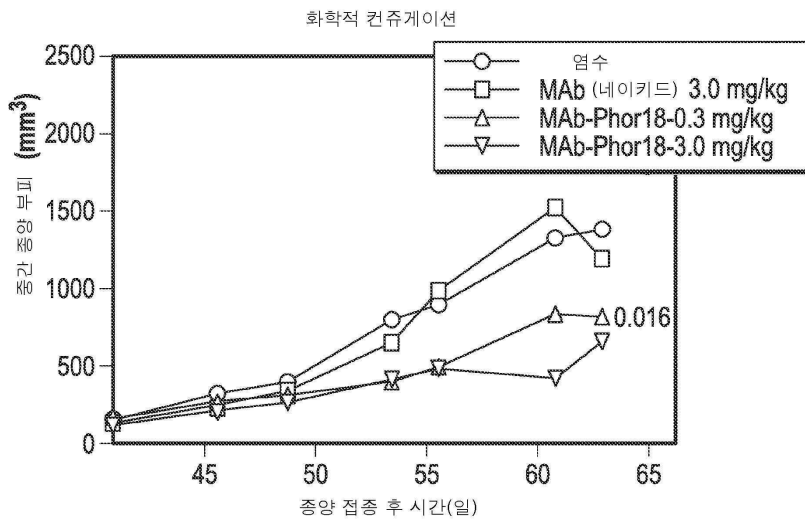
도면1a



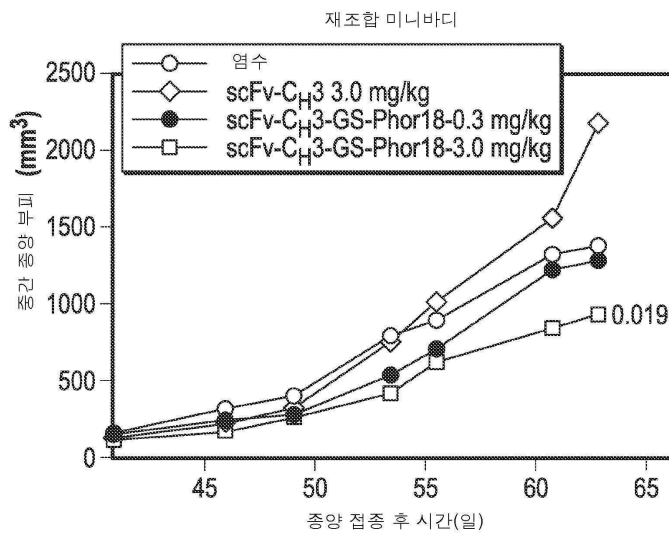
도면1b



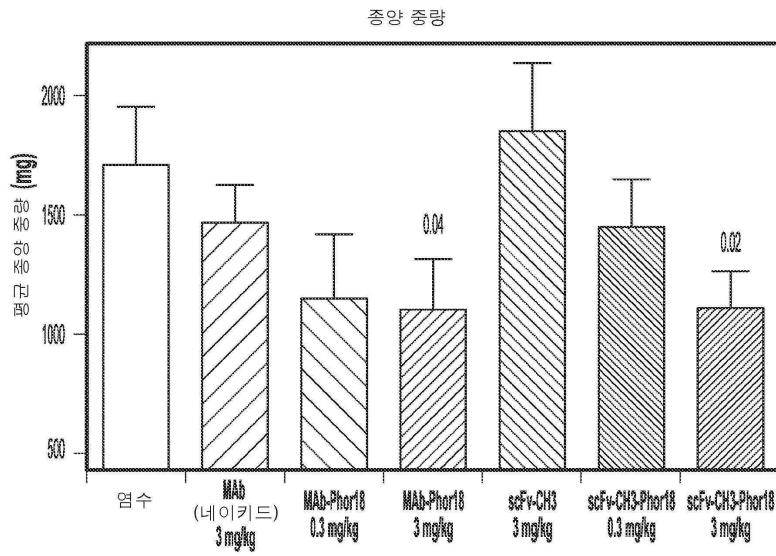
도면2a



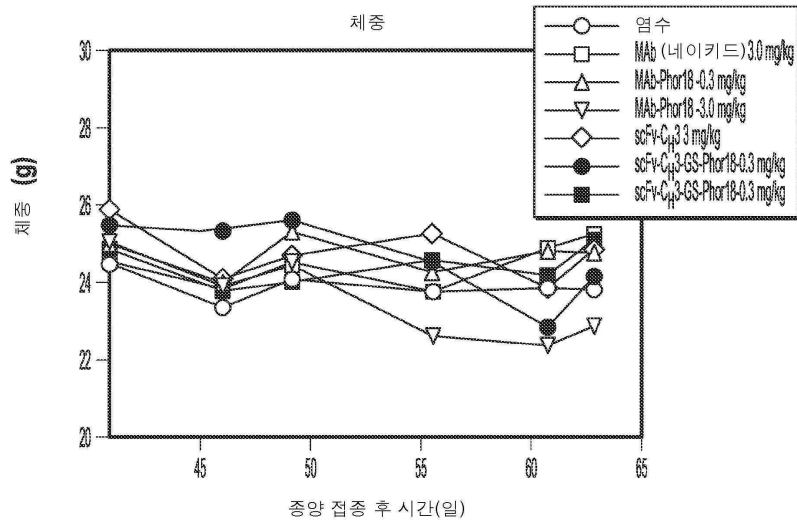
도면2b



도면3

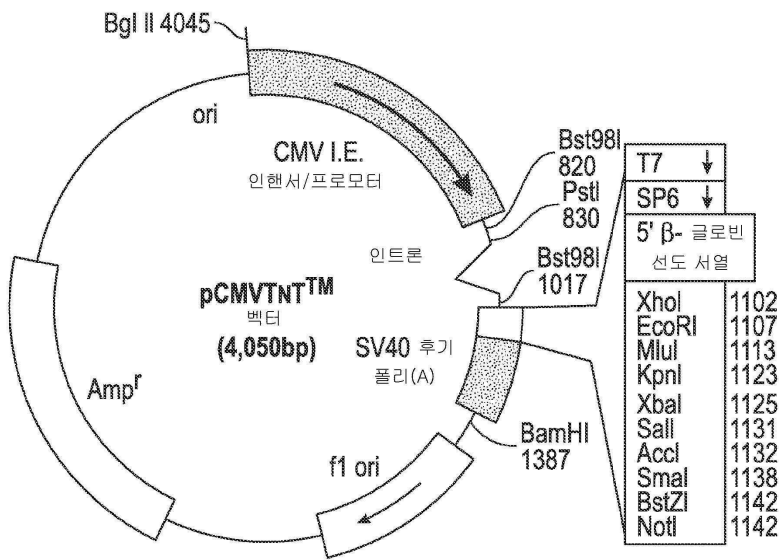


도면4



도면5

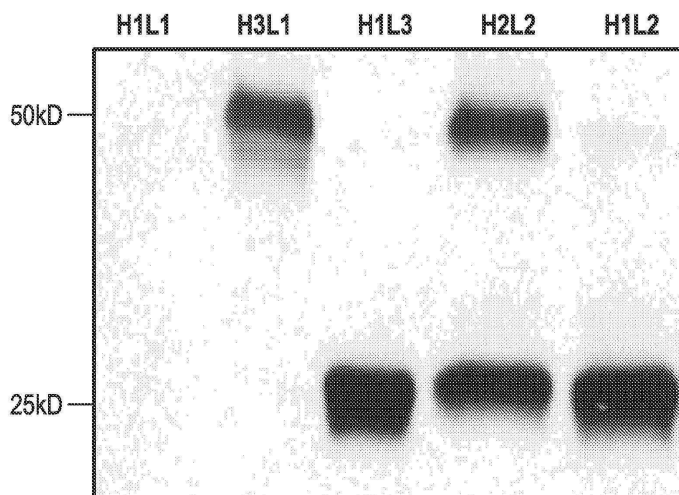
pCMVTnT™ 벡터 다중 클로닝 부위 및 원형 맵



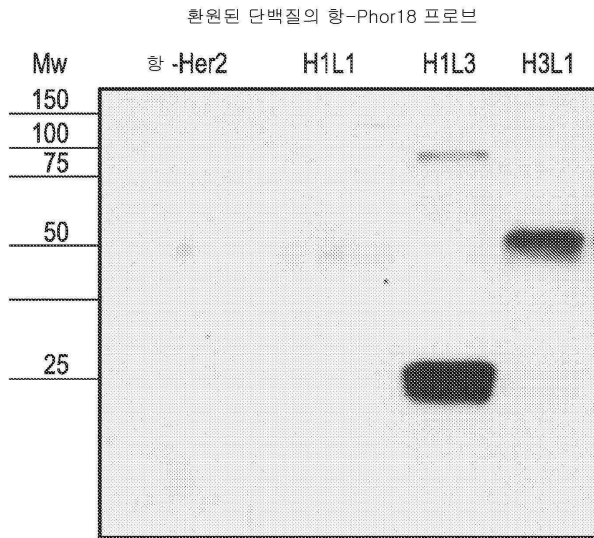
pCMVTnT™ 벡터 원형 맵 및 서열 참조 포인트

사이토메갈로바이러스 즉시-초기 인핸서/프로모터 영역	1-795
키메라 인트론	857-989
T7 RNA 중합효소 프로모터	1034-1052
SP6 RNA 중합효소 프로모터	1058-1074
5' β-글로빈 선도 서열	1075-1101
다중 클로닝 영역	1102-1148
SV40 후기 아데닐중합체형성 신호	1155-1376
f1 단계 영역	1466-1921
β- 락타마제 (Amp <sup>r</sup> ) 코딩 영역	2358-3218

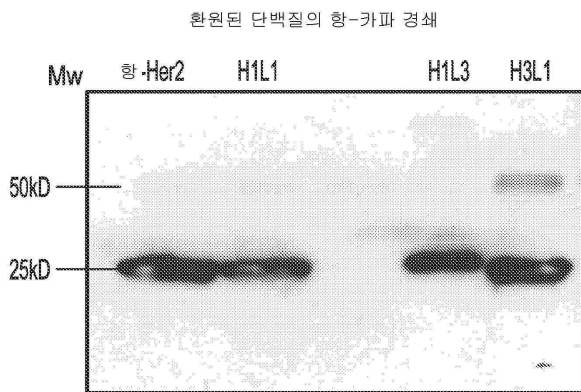
도면6



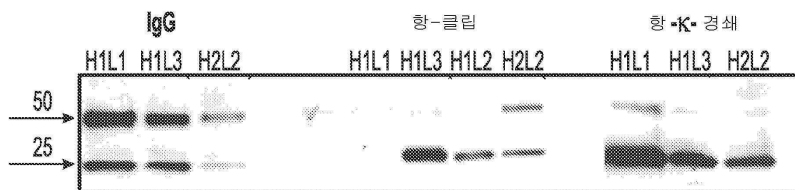
도면7a



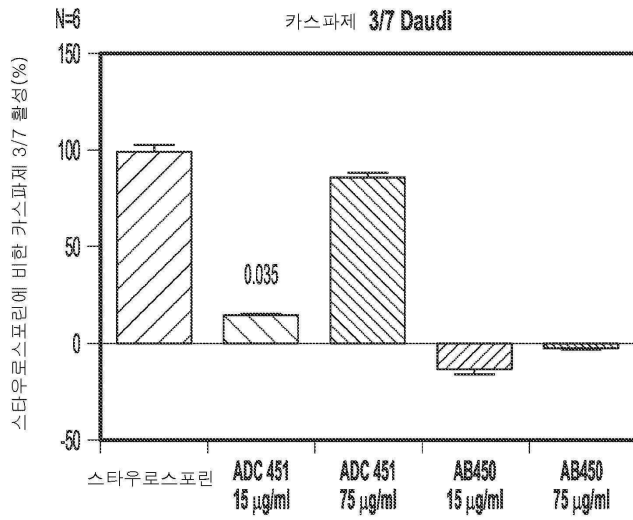
도면7b



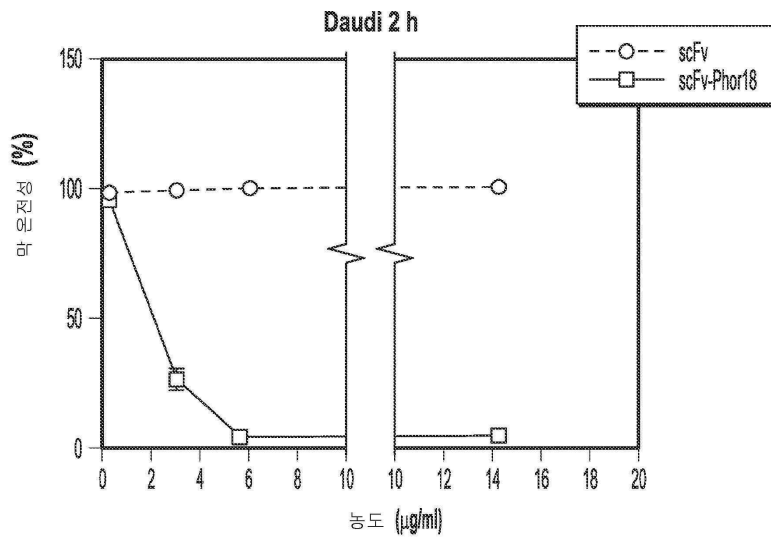
도면8



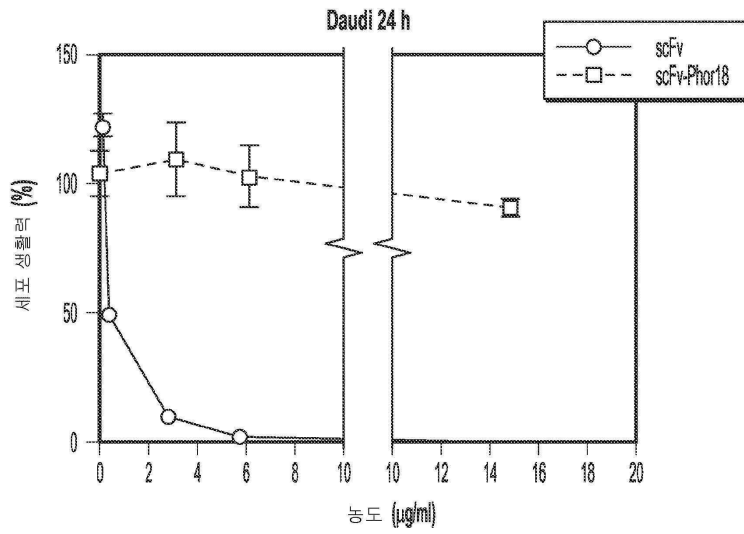
도면9



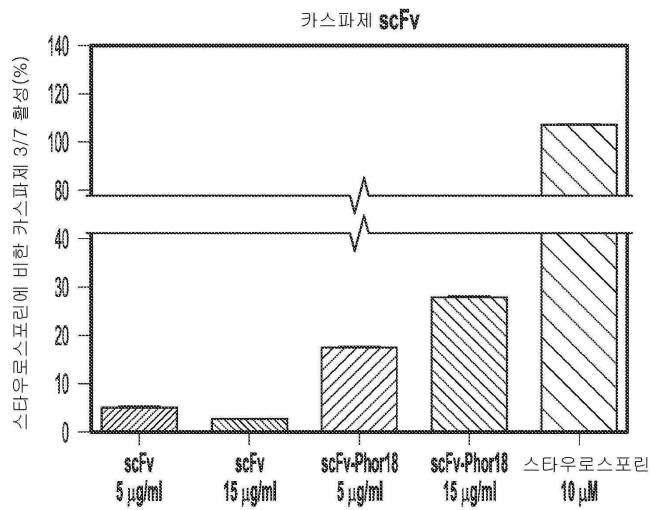
도면10a



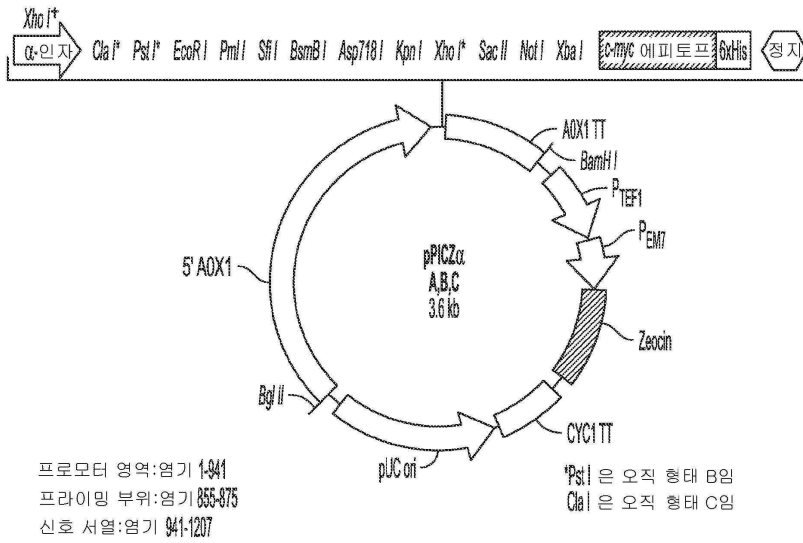
도면10b



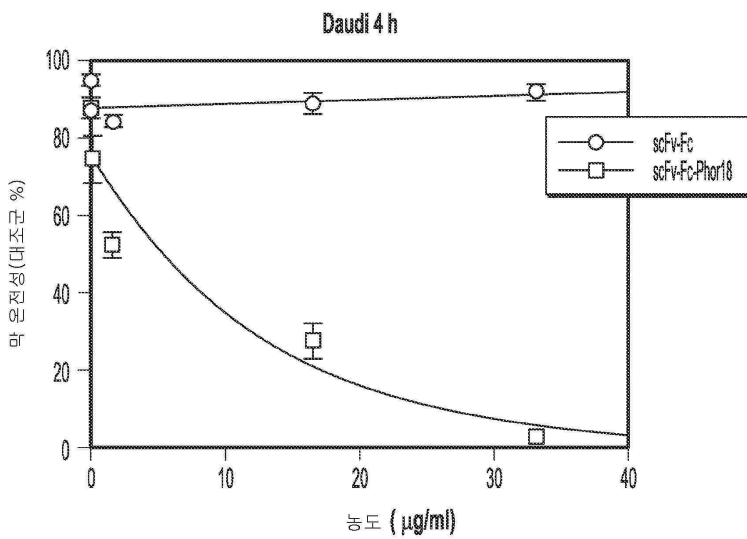
도면11



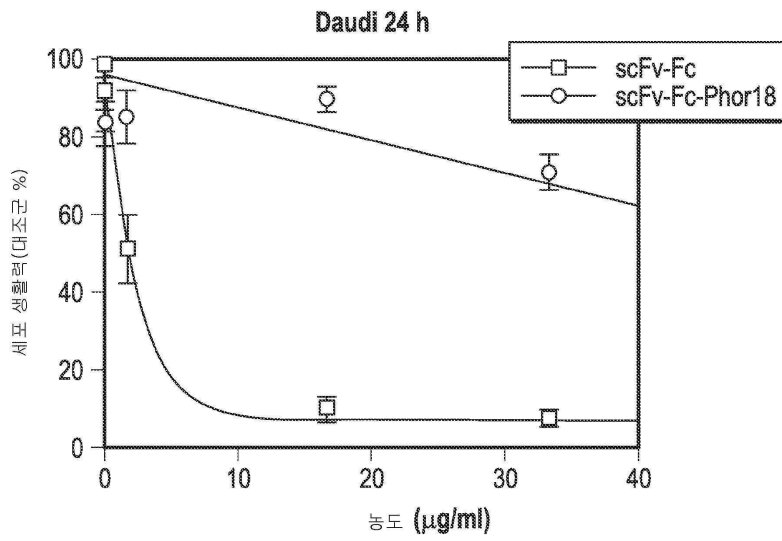
도면12



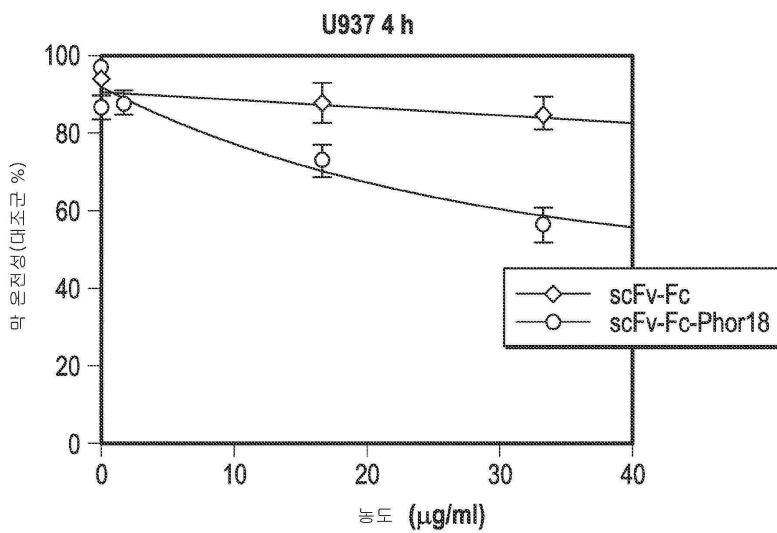
도면13a



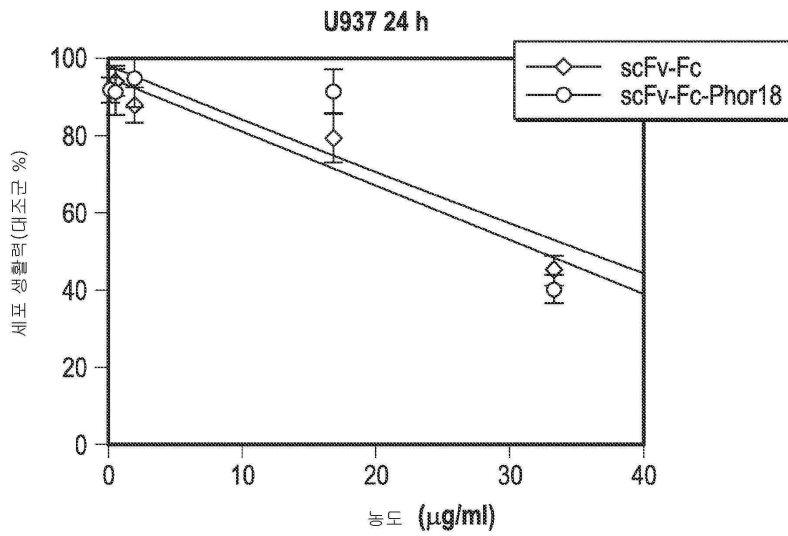
도면13b



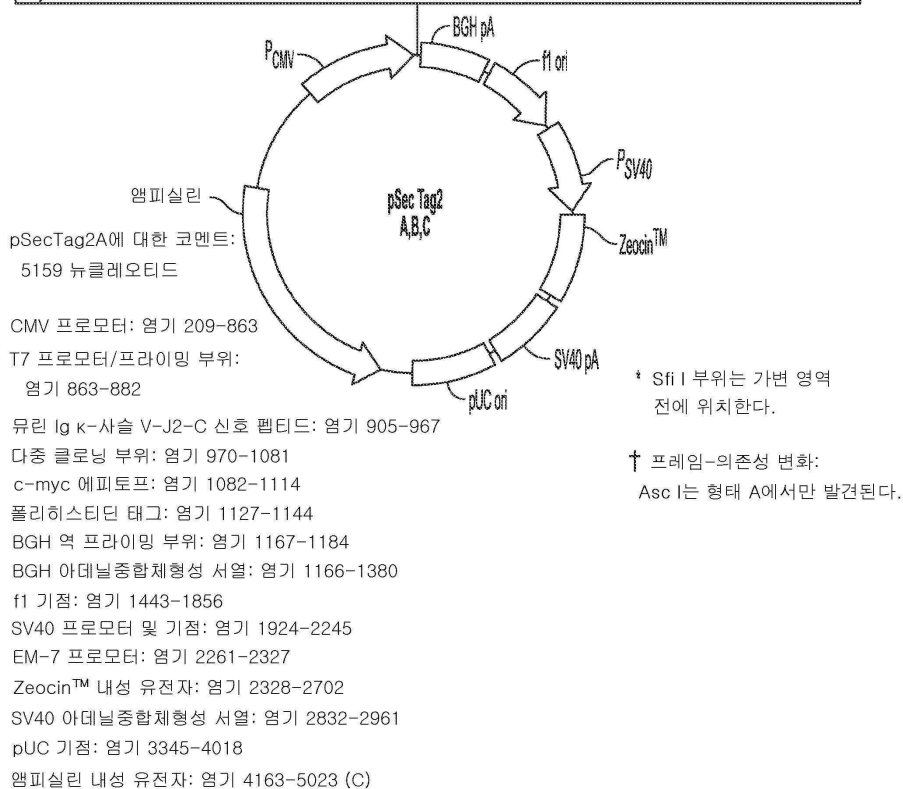
도면13c



도면13d



도면14



서열 목록

SEQUENCE LISTING

<110> ESPERANCE PHARMACEUTICALS, INC.  
LEUSCHNER, CAROLA

ALILA, HECTOR

<120> ANTIBODY/DRUG CONJUGATES AND METHODS OF USE

<130> 026039-0424485

<140> To Be Assigned

<141> Herewith

<150> 61/720,257

<151> 2012-10-30

<160> 152

<170> PatentIn version 3.5

<210> 1

<211> 15

<212> PRT

<213> Artificial Sequence

<220><223> Description of Artificial Sequence: Lytic peptide

<400> 1

Lys Phe Ala Lys Phe Ala Lys Lys Phe Ala Lys Phe Ala Lys Lys

1                    5                    10                    15

<210> 2

<211> 16

<212> PRT

<213> Artificial Sequence

<220><223> Description of Artificial Sequence: Lytic peptide

<400> 2

Lys Phe Ala Lys Phe Ala Lys Lys Phe Ala Lys Phe Ala Lys Lys Phe

1                    5                    10                    15

<210> 3

<211> 17

<212> PRT

<213> Artificial Sequence

<220><223> Description of Artificial Sequence: Lytic peptide

<400> 3

Lys Phe Ala Lys Phe Ala Lys Lys Phe Ala Lys Phe Ala Lys Lys Phe

1                    5                    10                    15  
Ala

<210> 4

<211> 18

<212> PRT

<213> Artificial Sequence

<220><223> Description of Artificial Sequence: Lytic peptide

<400> 4

Lys Phe Ala Lys Phe Ala Lys Lys Phe Ala Lys Phe Ala Lys Lys Phe

1                    5                    10                    15

Ala Lys

<210> 5

<211> 19

<212> PRT

<213> Artificial Sequence

<220><223> Description of Artificial Sequence: Lytic peptide

<400> 5

Lys Phe Ala Lys Phe Ala Lys Lys Phe Ala Lys Phe Ala Lys Lys Phe

1                    5                    10                    15

Ala Lys Phe

<210> 6

<211> 20

<212> PRT

<213> Artificial Sequence

<220><223> Description of Artificial Sequence: Lytic peptide

<400> 6

Lys Phe Ala Lys Phe Ala Lys Lys Phe Ala Lys Phe Ala Lys Lys Phe

1                    5                    10                    15

Ala Lys Phe Ala

20

<210> 7

<211> 28

<212> PRT

<213>

Artificial Sequence

<220><223> Description of Artificial Sequence: Lytic peptide

<400> 7

Lys Phe Ala Lys Phe Ala Lys Lys Phe Ala Lys Phe Ala Lys Lys Phe

1                    5                    10                    15

Ala Lys Phe Ala Lys Lys Phe Ala Lys Phe Ala Lys

20                    25

<210> 8

<211> 5

<212> PRT

<213> Artificial Sequence

<220><223> Description of Artificial Sequence: Linker peptide

<400> 8

Gly Ser Gly Gly Ser

1                    5

<210> 9

<211> 5

<212> PRT

<213> Artificial Sequence

<220><223> Description of Artificial Sequence: Linker peptide

<400> 9

Ala Ser Ala Ala Ser

1                    5

<210> 10

<211> 6

<212> PRT

<213> Artificial Sequence

<220><223> Description of Artificial Sequence: Linker peptide

<400> 10

Gly Ser Gly Arg Ser Ala

1                    5

<210> 11

<211> 6

<212> PRT

<213> Artificial Sequence

<220><223> Description of Artificial Sequence: Linker peptide

<400>

> 11

Arg Val Arg Arg Ser Val

1                    5

<210> 12

<211> 107

<212> PRT

<213> Artificial Sequence

<220><223> Description of Artificial Sequence: Light chain mammalian  
humanized antibody

<400> 12

Asp Ile Gln Met Thr Gln Ser Pro Ser Ser Leu Ser Ala Ser Val Gly

1                    5                    10                    15

Asp Arg Val Thr Ile Thr Cys Arg Ala Ser Gln Asp Val Asn Thr Ala

20                    25                    30

Val Ala Trp Tyr Gln Gln Lys Pro Gly Lys Ala Pro Lys Leu Leu Ile

35                    40                    45

Tyr Ser Ala Ser Phe Leu Glu Ser Gly Val Pro Ser Arg Phe Ser Gly

50                    55                    60

Ser Gly Ser Gly Thr Asp Phe Thr Leu Thr Ile Ser Ser Leu Gln Pro

65                    70                    75                    80

Glu Asp Phe Ala Thr Tyr Tyr Cys Gln Gln His Tyr Thr Thr Pro Pro

85                    90                    95

Thr Phe Gly Gln Gly Thr Lys Val Glu Ile Lys

100                    105

<210> 13

<211> 120

<212> PRT

<213> Artificial Sequence

<220><223> Description of Artificial Sequence: Heavy chain mammalian  
humanized antibody

<400> 13

Glu Val Gln Leu Val Glu Ser Gly Gly Gly Leu Val Gln Pro Gly Gly

1                    5                    10                    15

Ser Leu Arg Leu Ser Cys Ala Ala Ser Gly Phe Asn Ile Lys Asp Thr

                  20                    25                    30

Tyr Ile His Trp Val Arg Gln Ala Pro Gly Lys Gly Leu Glu Trp Val

                  35                    40                    45

Ala Arg Ile Tyr Pro Thr Asn Gly Tyr Thr Arg Tyr Ala Asp Ser Val

                  50                    55                    60

Lys Gly Arg Phe Thr Ile Ser Arg Asp Asp Ser Lys Asn Thr Leu Tyr

65                    70                    75                    80

Leu Gln Met Asn Ser Leu Arg Ala Glu Asp Thr Ala Val Tyr Tyr Cys

                  85                    90                    95

Ala Arg Trp Gly Gly Asp Gly Phe Tyr Ala Met Asp Val Trp Gly Gln

                  100                    105                    110

Gly Thr Leu Val Thr Val Ser Ser

                  115                    120

<210> 14

<211> 107

<212> PRT

<213> Artificial Sequence

<220><223> Description of Artificial Sequence: Light chain mammalian  
humanized antibody

<400> 14

Asp Ile Gln Met Thr Gln Ser Pro Ser Ser Leu Ser Ala Ser Val Gly

1                    5                    10                    15

Asp Arg Val Thr Ile Thr Cys Arg Ala Ser Gln Asp Val Asn Thr Ala

                  20                    25                    30

Val Ala Trp Tyr Gln Gln Lys Pro Gly Lys Ala Pro Lys Leu Leu Ile  
 35 40 45  
 Tyr Ser Ala Ser Phe Leu Glu Ser Gly Val Pro Ser Arg Phe Ser Gly  
 50 55 60  
 Ser Gly Ser Gly Thr Asp Phe Thr Leu Thr Ile Ser Ser Leu Gln Pro  
 65 70 75 80  
 Glu Asp Phe Ala Thr Tyr Tyr Cys Gln Gln His Tyr Thr Thr Pro Pro  
 85 90 95

Thr Phe Gly Gln Gly Thr Lys Val Glu Ile Lys  
 100 105

<210> 15

<211> 120

<212> PRT

<213> Artificial Sequence

<220><223> Description of Artificial Sequence: Heavy chain mammalian  
 humanized antibody

<400> 15

Glu Val Gln Leu Val Glu Ser Gly Gly Gly Leu Val Gln Pro Gly Gly  
 1 5 10 15  
 Ser Leu Arg Leu Ser Cys Ala Ala Ser Gly Phe Asn Ile Lys Asp Thr  
 20 25 30

Tyr Ile His Trp Val Arg Gln Ala Pro Gly Lys Gly Leu Glu Trp Val  
 35 40 45  
 Ala Arg Ile Tyr Pro Thr Asn Gly Tyr Thr Arg Tyr Ala Asp Ser Val  
 50 55 60  
 Lys Gly Arg Phe Thr Ile Ser Ala Asp Asp Ser Lys Asn Thr Leu Tyr  
 65 70 75 80  
 Leu Gln Met Asn Ser Leu Arg Ala Glu Asp Thr Ala Val Tyr Tyr Cys  
 85 90 95

Ala Arg Trp Gly Gly Asp Gly Phe Tyr Ala Met Asp Val Trp Gly Gln  
 100 105 110  
 Gly Thr Leu Val Thr Val Ser Ser

115 120  
 <210> 16  
 <211> 107  
 <212> PRT  
 <213> Artificial Sequence  
 <220><223> Description of Artificial Sequence: Light chain mammalian  
 humanized antibody

<400> 16  
 Asp Ile Gln Met Thr Gln Ser Pro Ser Ser Leu Ser Ala Ser Val Gly  
 1 5 10 15

Asp Arg Val Thr Ile Thr Cys Arg Ala Ser Gln Asp Val Asn Thr Ala  
 20 25 30  
 Val Ala Trp Tyr Gln Gln Lys Pro Gly Lys Ala Pro Lys Leu Leu Ile  
 35 40 45  
 Tyr Ser Ala Ser Phe Leu Glu Ser Gly Val Pro Ser Arg Phe Ser Gly  
 50 55 60  
 Ser Gly Ser Gly Thr Asp Phe Thr Leu Thr Ile Ser Ser Leu Gln Pro  
 65 70 75 80

Glu Asp Phe Ala Thr Tyr Tyr Cys Gln Gln His Tyr Thr Thr Pro Pro  
 85 90 95  
 Thr Phe Gly Gln Gly Thr Lys Val Glu Ile Lys  
 100 105

<210> 17  
 <211> 120  
 <212> PRT  
 <213> Artificial Sequence  
 <220><223> Description of Artificial Sequence: Heavy chain mammalian  
 humanized antibody

<400> 17  
 Glu Val Gln Leu Val Glu Ser Gly Gly Gly Leu Val Gln Pro Gly Gly  
 1 5 10 15

Ser Leu Arg Leu Ser Cys Ala Ala Ser Gly Phe Asn Ile Lys Asp Thr

20 25 30  
 Tyr Ile His Trp Val Arg Gln Ala Pro Gly Lys Gly Leu Glu Trp Val  
 35 40 45  
 Ala Arg Ile Tyr Pro Thr Asn Gly Tyr Thr Arg Tyr Ala Asp Ser Val  
 50 55 60  
 Lys Gly Arg Phe Thr Ile Ser Ala Asp Thr Ser Lys Asn Thr Ala Tyr  
 65 70 75 80

Leu Gln Met Asn Ser Leu Arg Ala Glu Asp Thr Ala Val Tyr Tyr Cys  
 85 90 95  
 Ser Arg Trp Gly Gly Asp Gly Phe Tyr Ala Met Asp Val Trp Gly Gln  
 100 105 110  
 Gly Thr Leu Val Thr Val Ser Ser  
 115 120

<210> 18

<211> 107

<212> PRT

<213> Artificial Sequence

<220><223> Description of Artificial Sequence: Light chain mammalian  
 humanized antibody

<400> 18

Asp Ile Gln Met Thr Gln Ser Pro Ser Ser Leu Ser Ala Ser Val Gly  
 1 5 10 15  
 Asp Arg Val Thr Ile Thr Cys Arg Ala Ser Gln Asp Val Asn Thr Ala  
 20 25 30  
 Val Ala Trp Tyr Gln Gln Lys Pro Gly Lys Ala Pro Lys Leu Leu Ile  
 35 40 45  
 Tyr Ser Ala Ser Phe Leu Glu Ser Gly Val Pro Ser Arg Phe Ser Gly  
 50 55 60  
 Ser Arg Ser Gly Thr Asp Phe Thr Leu Thr Ile Ser Ser Leu Gln Pro  
 65 70 75 80  
 Glu Asp Phe Ala Thr Tyr Tyr Cys Gln Gln His Tyr Thr Thr Pro Pro  
 85 90 95

Thr Phe Gly Gln Gly Thr Lys Val Glu Ile Lys

100 105

<210> 19

<211> 120

<212> PRT

<213> Artificial Sequence

<220><223> Description of Artificial Sequence: Heavy chain mammalian  
humanized antibody

<400> 19

Glu Val Gln Leu Val Glu Ser Gly Gly Gly Leu Val Gln Pro Gly Gly

1 5 10 15

Ser Leu Arg Leu Ser Cys Ala Ala Ser Gly Phe Asn Ile Lys Asp Thr

20 25 30

Tyr Ile His Trp Val Arg Gln Ala Pro Gly Lys Gly Leu Glu Trp Val

35 40 45

Ala Arg Ile Tyr Pro Thr Asn Gly Tyr Thr Arg Tyr Ala Asp Ser Val

50 55 60

Lys Gly Arg Phe Thr Ile Ser Ala Asp Thr Ser Lys Asn Thr Leu Tyr

65 70 75 80

Leu Gln Met Asn Ser Leu Arg Ala Glu Asp Thr Ala Val Tyr Tyr Cys

85 90 95

Ser Arg Trp Gly Gly Asp Gly Phe Tyr Ala Met Asp Val Trp Gly Gln

100 105 110

Gly Thr Leu Val Thr Val Ser Ser

115 120

<210> 20

<211> 107

<212> PRT

<213> Artificial Sequence

<220><223> Description of Artificial Sequence: Light chain mammalian  
humanized antibody

<400> 20

Asp Ile Gln Met Thr Gln Ser Pro Ser Ser Leu Ser Ala Ser Val Gly  
 1                    5                    10                    15  
 Asp Arg Val Thr Ile Thr Cys Arg Ala Ser Gln Asp Val Asn Thr Ala  
                   20                    25                    30  
 Val Ala Trp Tyr Gln Gln Lys Pro Gly Lys Ala Pro Lys Leu Leu Ile  
                   35                    40                    45  
 Tyr Ser Ala Ser Phe Leu Glu Ser Gly Val Pro Ser Arg Phe Ser Gly  
                   50                    55                    60  
 Ser Arg Ser Gly Thr Asp Phe Thr Leu Thr Ile Ser Ser Leu Gln Pro  
 65                    70                    75                    80  
 Glu Asp Phe Ala Thr Tyr Tyr Cys Gln Gln His Tyr Thr Thr Pro Pro  
                   85                    90                    95  
 Thr Phe Gly Gln Gly Thr Lys Val Glu Ile Lys  
                   100                    105

<210> 21

<211> 120

<212> PRT

<213> Artificial Sequence

<220><223> Description of Artificial Sequence: Heavy chain mammalian

humanized antibody

<400> 21

Glu Val Gln Leu Val Glu Ser Gly Gly Gly Leu Val Gln Pro Gly Gly  
 1                    5                    10                    15  
 Ser Leu Arg Leu Ser Cys Ala Ala Ser Gly Phe Asn Ile Lys Asp Thr  
                   20                    25                    30  
 Tyr Ile His Trp Val Arg Gln Ala Pro Gly Lys Gly Leu Glu Trp Val  
                   35                    40                    45  
 Ala Arg Ile Tyr Pro Thr Asn Gly Tyr Thr Arg Tyr Ala Asp Ser Val  
                   50                    55                    60

Lys Gly Arg Phe Thr Ile Ser Ala Asp Thr Ser Lys Asn Thr Ala Tyr  
 65                    70                    75                    80  
 Leu Gln Met Asn Ser Leu Arg Ala Glu Asp Thr Ala Val Tyr Tyr Cys

85 90 95  
 Ser Arg Trp Gly Gly Asp Gly Phe Tyr Ala Met Asp Val Trp Gly Gln  
 100 105 110

Gly Thr Leu Val Thr Val Ser Ser  
 115 120

<210> 22

<211> 107

<212> PRT

<213> Artificial Sequence

<220><223> Description of Artificial Sequence: Light chain mammalian  
 humanized antibody

<400> 22

Asp Ile Gln Met Thr Gln Ser Pro Ser Ser Leu Ser Ala Ser Val Gly  
 1 5 10 15

Asp Arg Val Thr Ile Thr Cys Arg Ala Ser Gln Asp Val Asn Thr Ala  
 20 25 30

Val Ala Trp Tyr Gln Gln Lys Pro Gly Lys Ala Pro Lys Leu Leu Ile  
 35 40 45

Tyr Ser Ala Ser Phe Leu Tyr Ser Gly Val Pro Ser Arg Phe Ser Gly

50 55 60

Ser Arg Ser Gly Thr Asp Phe Thr Leu Thr Ile Ser Ser Leu Gln Pro  
 65 70 75 80

Glu Asp Phe Ala Thr Tyr Tyr Cys Gln Gln His Tyr Thr Thr Pro Pro  
 85 90 95

Thr Phe Gly Gln Gly Thr Lys Val Glu Ile Lys  
 100 105

<210> 23

<211> 120

<212> PRT

<213> Artificial Sequence

<220><223> Description of Artificial Sequence: Heavy chain mammalian  
 humanized antibody

<400> 23

Glu Val Gln Leu Val Glu Ser Gly Gly Gly Leu Val Gln Pro Gly Gly  
 1                    5                    10                    15  
 Ser Leu Arg Leu Ser Cys Ala Ala Ser Gly Phe Asn Ile Lys Asp Thr  
                   20                    25                    30  
 Tyr Ile His Trp Val Arg Gln Ala Pro Gly Lys Gly Leu Glu Trp Val  
                   35                    40                    45  
 Ala Arg Ile Tyr Pro Thr Asn Gly Tyr Thr Arg Tyr Ala Asp Ser Val  
                   50                    55                    60

Lys Gly Arg Phe Thr Ile Ser Ala Asp Thr Ser Lys Asn Thr Ala Tyr  
 65                    70                    75                    80  
 Leu Gln Met Asn Ser Leu Arg Ala Glu Asp Thr Ala Val Tyr Tyr Cys  
                   85                    90                    95  
 Ser Arg Trp Gly Gly Asp Gly Phe Tyr Ala Met Asp Val Trp Gly Gln  
                   100                    105                    110

Gly Thr Leu Val Thr Val Ser Ser  
                   115                    120

<210> 24

<211> 107

<212> PRT

<213> Artificial Sequence

<220><223> Description of Artificial Sequence: Light chain mammalian  
 humanized antibody

<400> 24

Asp Ile Gln Met Thr Gln Ser Pro Ser Ser Leu Ser Ala Ser Val Gly  
 1                    5                    10                    15  
 Asp Arg Val Thr Ile Thr Cys Arg Ala Ser Gln Asp Val Asn Thr Ala  
                   20                    25                    30  
 Val Ala Trp Tyr Gln Gln Lys Pro Gly Lys Ala Pro Lys Leu Leu Ile  
                   35                    40                    45  
 Tyr Ser Ala Ser Phe Leu Glu Ser Gly Val Pro Ser Arg Phe Ser Gly  
                   50                    55                    60

Ser Arg Ser Gly Thr Asp Phe Thr Leu Thr Ile Ser Ser Leu Gln Pro  
 65                              70                              75                              80  
 Glu Asp Phe Ala Thr Tyr Tyr Cys Gln Gln His Tyr Thr Thr Pro Pro  
    85                              90                              95  
 Thr Phe Gly Gln Gly Thr Lys Val Glu Ile Lys  
    100                              105

<210> 25

<211> 120

<212> PRT

<213> Artificial Sequence

<220><223> Description of Artificial Sequence: Heavy chain mammalian

humanized antibody

<400> 25

Glu Val Gln Leu Val Glu Ser Gly Gly Gly Leu Val Gln Pro Gly Gly  
 1                              5                              10                              15  
 Ser Leu Arg Leu Ser Cys Ala Ala Ser Gly Phe Asn Ile Lys Asp Thr  
    20                              25                              30  
 Tyr Ile His Trp Val Arg Gln Ala Pro Gly Lys Gly Leu Glu Trp Val  
    35                              40                              45  
 Ala Arg Ile Tyr Pro Thr Asn Gly Tyr Thr Arg Tyr Ala Asp Ser Val  
    50                              55                              60

Lys Gly Arg Phe Thr Ile Ser Ala Asp Thr Ser Lys Asn Thr Ala Tyr  
 65                              70                              75                              80  
 Leu Gln Met Asn Ser Leu Arg Ala Glu Asp Thr Ala Val Tyr Tyr Cys  
    85                              90                              95  
 Ser Arg Trp Gly Gly Asp Gly Phe Tyr Ala Met Asp Tyr Trp Gly Gln  
    100                              105                              110

Gly Thr Leu Val Thr Val Ser Ser  
    115                              120

<210> 26

<211> 107

<212> PRT

<213> Artificial Sequence

<220><223> Description of Artificial Sequence: Light chain mammalian  
humanized antibody

<400> 26

Asp Ile Gln Met Thr Gln Ser Pro Ser Ser Leu Ser Ala Ser Val Gly

1                    5                    10                    15

Asp Arg Val Thr Ile Thr Cys Arg Ala Ser Gln Asp Val Asn Thr Ala

20                    25                    30

Val Ala Trp Tyr Gln Gln Lys Pro Gly Lys Ala Pro Lys Leu Leu Ile

35                    40                    45

Tyr Ser Ala Ser Phe Leu Tyr Ser Gly Val Pro Ser Arg Phe Ser Gly

50                    55                    60

Ser Arg Ser Gly Thr Asp Phe Thr Leu Thr Ile Ser Ser Leu Gln Pro

65                    70                    75                    80

Glu Asp Phe Ala Thr Tyr Tyr Cys Gln Gln His Tyr Thr Thr Pro Pro

85                    90                    95

Thr Phe Gly Gln Gly Thr Lys Val Glu Ile Lys

100                    105

<210> 27

<211> 120

<212> PRT

<213> Artificial Sequence

<220><223> Description of Artificial Sequence: Heavy chain mammalian

humanized antibody

<400> 27

Glu Val Gln Leu Val Glu Ser Gly Gly Gly Leu Val Gln Pro Gly Gly

1                    5                    10                    15

Ser Leu Arg Leu Ser Cys Ala Ala Ser Gly Phe Asn Ile Lys Asp Thr

20                    25                    30

Tyr Ile His Trp Val Arg Gln Ala Pro Gly Lys Gly Leu Glu Trp Val

35                    40                    45

Ala Arg Ile Tyr Pro Thr Asn Gly Tyr Thr Arg Tyr Ala Asp Ser Val

50                                    55                                    60  
 Lys Gly Arg Phe Thr Ile Ser Ala Asp Thr Ser Lys Asn Thr Ala Tyr  
 65                                    70                                    75                                    80  
 Leu Gln Met Asn Ser Leu Arg Ala Glu Asp Thr Ala Val Tyr Tyr Cys  
     85                                    90                                    95  
 Ser Arg Trp Gly Gly Asp Gly Phe Tyr Ala Met Asp Tyr Trp Gly Gln  
     100                                    105                                    110  
 Gly Thr Leu Val Thr Val Ser Ser  
     115                                    120  
 <210> 28  
 <211> 107  
 <212> PRT  
 <213> Artificial Sequence

<220><223> Description of Artificial Sequence: Light chain mammalian  
     humanized antibody

<400> 28  
 Asp Ile Gln Met Thr Gln Ser Pro Ser Ser Leu Ser Ala Ser Val Gly  
 1                                    5                                    10                                    15  
 Asp Arg Val Thr Ile Thr Cys Arg Ala Ser Gln Asp Val Asn Thr Ala  
     20                                    25                                    30  
 Val Ala Trp Tyr Gln Gln Lys Pro Gly Lys Ala Pro Lys Leu Leu Ile  
     35                                    40                                    45  
 Tyr Ser Ala Ser Phe Leu Tyr Ser Gly Val Pro Ser Arg Phe Ser Gly  
  
     50                                    55                                    60  
 Ser Arg Ser Gly Thr Asp Phe Thr Leu Thr Ile Ser Ser Leu Gln Pro  
 65                                    70                                    75                                    80  
 Glu Asp Phe Ala Thr Tyr Tyr Cys Gln Gln His Tyr Thr Thr Pro Pro  
     85                                    90                                    95  
 Thr Phe Gly Gln Gly Thr Lys Val Glu Ile Lys  
     100                                    105  
 <210> 29  
 <211> 120

<212> PRT

<213> Artificial Sequence

<220><223> Description of Artificial Sequence: Heavy chain mammalian

humanized antibody

<400> 29

Glu Val Gln Leu Val Glu Ser Gly Gly Gly Leu Val Gln Pro Gly Gly

1                    5                    10                    15

Ser Leu Arg Leu Ser Cys Ala Ala Ser Gly Phe Asn Ile Lys Asp Thr

                  20                    25                    30

Tyr Ile His Trp Val Arg Gln Ala Pro Gly Lys Gly Leu Glu Trp Val

                  35                    40                    45

Ala Arg Ile Tyr Pro Thr Asn Gly Tyr Thr Arg Tyr Ala Asp Ser Val

                  50                    55                    60

Lys Gly Arg Phe Thr Ile Ser Ala Asp Thr Ser Lys Asn Thr Ala Tyr

65                    70                    75                    80

Leu Gln Met Asn Ser Leu Arg Ala Glu Asp Thr Ala Val Tyr Tyr Cys

                  85                    90                    95

Ser Arg Trp Gly Gly Asp Gly Phe Tyr Ala Met Asp Tyr Trp Gly Gln

                  100                    105                    110

Gly Thr Leu Val Thr Val Ser Ser

                  115                    120

<210> 30

<211> 107

<212> PRT

<213> Artificial Sequence

<220><223> Description of Artificial Sequence: Light chain mammalian

humanized antibody

<400> 30

Asp Ile Gln Met Thr Gln Ser Pro Ser Ser Leu Ser Ala Ser Val Gly

1                    5                    10                    15

Asp Arg Val Thr Ile Thr Cys Arg Ala Ser Gln Asp Val Asn Thr Ala

                  20                    25                    30

Val Ala Trp Tyr Gln Gln Lys Pro Gly Lys Ala Pro Lys Leu Leu Ile  
 35 40 45

Tyr Ser Ala Ser Phe Leu Tyr Ser Gly Val Pro Ser Arg Phe Ser Gly

50 55 60

Ser Arg Ser Gly Thr Asp Phe Thr Leu Thr Ile Ser Ser Leu Gln Pro

65 70 75 80

Glu Asp Phe Ala Thr Tyr Tyr Cys Gln Gln His Tyr Thr Thr Pro Pro

85 90 95

Thr Phe Gly Gln Gly Thr Lys Val Glu Ile Lys

100 105

<210> 31

<211> 120

<212> PRT

<213> Artificial Sequence

<220><223> Description of Artificial Sequence: Heavy chain mammalian

humanized antibody

<400> 31

Glu Val Gln Leu Val Glu Ser Gly Gly Gly Leu Val Gln Pro Gly Gly

1 5 10 15

Ser Leu Arg Leu Ser Cys Ala Ala Ser Gly Phe Asn Ile Lys Asp Thr

20 25 30

Tyr Ile His Trp Val Arg Gln Ala Pro Gly Lys Gly Leu Glu Trp Val

35 40 45

Ala Arg Ile Tyr Pro Thr Asn Gly Tyr Thr Arg Tyr Ala Asp Ser Val

50 55 60

Lys Gly Arg Phe Thr Ile Ser Ala Asp Thr Ser Lys Asn Thr Ala Tyr

65 70 75 80

Leu Gln Met Asn Ser Leu Arg Ala Glu Asp Thr Ala Val Tyr Tyr Cys

85 90 95

Ser Arg Trp Gly Gly Asp Gly Phe Tyr Ala Met Asp Tyr Trp Gly Gln

100 105 110

Gly Thr Leu Val Thr Val Ser Ser

115                                      120  
 <210> 32  
 <211> 108  
 <212> PRT  
 <213> Artificial Sequence  
 <220><223> Description of Artificial Sequence: Light chain mammalian  
                   humanized antibody  
 <400> 32

Asp Ile Gln Met Thr Gln Ser Pro Ser Ser Leu Ser Ala Ser Val Gly  
 1                        5                                      10                                      15  
 Asp Arg Val Thr Ile Thr Cys Arg Ala Ser Gln Asp Val Ser Ser Ala  
                   20                                      25                                      30  
 Val Ala Trp Tyr Gln Gln Lys Pro Gly Lys Ala Pro Lys Leu Leu Ile  
                   35                                      40                                      45  
 Asp Trp Ser Ala Ser Phe Leu Tyr Ser Gly Val Pro Ser Arg Phe Ser  
                   50                                      55                                      60  
 Gly Ser Arg Ser Gly Thr Asp Phe Thr Leu Thr Ile Ser Ser Leu Gln  
 65                                      70                                      75                                      80  
 Pro Glu Asp Phe Ala Thr Tyr Tyr Cys Gln Gln His Tyr Thr Thr Pro  
                   85                                      90                                      95  
 Pro Thr Phe Gly Gln Gly Thr Lys Val Glu Ile Lys  
                   100                                      105

<210> 33  
 <211> 121  
 <212> PRT  
 <213> Artificial Sequence  
 <220><223> Description of Artificial Sequence: Heavy chain mammalian  
                   humanized antibody  
 <400> 33

Glu Val Gln Leu Val Glu Ser Gly Gly Gly Leu Val Gln Pro Gly Gly  
 1                        5                                      10                                      15  
 Ser Leu Arg Leu Ser Cys Ala Ala Ser Gly Phe Asn Ile Lys Asp Thr

20 25 30  
 Tyr Ile His Trp Val Arg Gln Ala Pro Gly Lys Gly Leu Glu Trp Val  
 35 40 45

Ala Arg Ile Tyr Pro Thr Asn Gly Tyr Thr Arg Tyr Ala Asp Ser Val  
 50 55 60

Lys Gly Arg Phe Thr Ile Ser Ala Asp Thr Ser Lys Asn Thr Ala Tyr  
 65 70 75 80

Leu Gln Met Asn Ser Leu Arg Ala Glu Asp Thr Ala Val Tyr Tyr Cys  
 85 90 95

Ser Arg Trp Gly Gly Trp Gly Pro Lys Leu Ala Met Asp Tyr Trp Gly  
 100 105 110

Gln Gly Thr Leu Val Thr Val Ser Ser  
 115 120

<210> 34

<211> 216

<212> PRT

<213> Artificial Sequence

<220><223> Description of Artificial Sequence: Light chain mammalian  
 humanized antibody

<400> 34

Asp Ile Gln Met Thr Gln Ser Pro Ser Ser Leu Ser Ala Ser Val Gly  
 1 5 10 15

Asp Arg Val Thr Ile Thr Cys Lys Ala Ser Gln Asp Val Ser Ile Gly  
 20 25 30

Val Ala Trp Tyr Gln Gln Lys Pro Gly Lys Ala Pro Lys Leu Leu Ile  
 35 40 45

Tyr Ser Ala Ser Tyr Arg Tyr Thr Gly Val Pro Ser Arg Phe Ser Gly  
 50 55 60

Ser Gly Ser Gly Thr Asp Phe Thr Leu Thr Ile Ser Ser Leu Gln Pro  
 65 70 75 80

Glu Asp Phe Ala Thr Tyr Tyr Cys Gln Gln Tyr Tyr Ile Tyr Pro Tyr  
 85 90 95

Thr Phe Gly Gln Gly Thr Lys Val Glu Ile Lys Arg Thr Val Ala Ala  
 100 105 110

Pro Ser Val Phe Ile Phe Pro Pro Ser Asp Glu Gln Leu Lys Ser Gly  
 115 120 125

Thr Ala Ser Val Val Cys Leu Leu Asn Asn Asn Phe Tyr Pro Arg Glu  
 130 135 140

Ala Lys Val Gln Trp Lys Val Asp Asn Ala Leu Gln Ser Gly Glu Asn  
 145 150 155 160

Ser Gln Glu Ser Val Thr Glu Gln Asp Ser Lys Asp Ser Thr Tyr Ser  
 165 170 175

Leu Ser Ser Thr Leu Thr Leu Ser Lys Ala Asp Tyr Glu Lys His Lys  
 180 185 190

Val Tyr Ala Cys Glu Val Thr His Gln Gly Leu Ser Ser Pro Val Thr  
 195 200 205

Lys Ser Phe Asn Arg Gly Glu Cys  
 210 215

<210> 35

<211> 448

<212> PRT

<213> Artificial Sequence

<220><223> Description of Artificial Sequence: Heavy chain mammalian  
 humanized antibody

<400> 35

Glu Val Gln Leu Val Glu Ser Gly Gly Gly Leu Val Gln Pro Gly Gly  
 1 5 10 15

Ser Leu Arg Leu Ser Cys Ala Ala Ser Gly Phe Thr Phe Thr Asp Tyr  
 20 25 30

Thr Met Asp Trp Val Arg Gln Ala Pro Gly Lys Gly Leu Glu Trp Val  
 35 40 45

Ala Asp Val Asn Pro Asn Ser Gly Gly Ser Ile Tyr Asn Gln Arg Phe  
 50 55 60





50 55 60  
 Phe Ser Gly Ser Gly Ser Gly Thr Asp Phe Thr Leu Thr Ile Ser Ser  
 65 70 75 80  
 Leu Gln Pro Glu Asp Phe Ala Thr Tyr Tyr Cys Gln Gln Tyr Tyr Ile  
 85 90 95  
 Tyr Pro Tyr Thr Phe Gly Gln Gly Thr Lys Val Glu Ile Lys Arg Thr  
 100 105 110

Val Ala Ala Pro Ser Val Phe Ile Phe Pro Pro Ser Asp Glu Gln Leu  
 115 120 125  
 Lys Ser Gly Thr Ala Ser Val Val Cys Leu Leu Asn Asn Phe Tyr Pro  
 130 135 140  
 Arg Glu Ala Lys Val Gln Trp Lys Val Asp Asn Ala Leu Gln Ser Gly  
 145 150 155 160  
 Asn Ser Gln Glu Ser Val Thr Glu Gln Asp Ser Lys Asp Ser Thr Tyr  
 165 170 175

Ser Leu Ser Ser Thr Leu Thr Leu Ser Lys Ala Asp Tyr Glu Lys His  
 180 185 190  
 Lys Val Tyr Ala Cys Glu Val Thr His Gln Gly Leu Ser Ser Pro Val  
 195 200 205  
 Thr Lys Ser Phe Asn Arg Gly Glu Cys  
 210 215

<210> 37

<211> 448

<212> PRT

<213> Artificial Sequence

<220><223> Description of Artificial Sequence: Heavy chain mammalian  
 humanized antibody

<400

> 37

Glu Val Gln Leu Val Glu Ser Gly Gly Gly Leu Val Gln Pro Gly Gly  
 1 5 10 15  
 Ser Leu Arg Leu Ser Cys Ala Ala Ser Gly Phe Thr Phe Thr Asp Tyr  
 20 25 30

Thr Met Asp Trp Val Arg Gln Ala Pro Gly Lys Gly Leu Glu Trp Val  
 35 40 45  
 Ala Asp Val Asn Pro Asn Ser Gly Gly Ser Ile Tyr Asn Gln Arg Phe  
 50 55 60  
  
 Lys Gly Arg Phe Thr Leu Ser Val Asp Arg Ser Lys Asn Thr Leu Tyr  
 65 70 75 80  
 Leu Gln Met Asn Ser Leu Arg Ala Glu Asp Thr Ala Val Tyr Tyr Cys  
 85 90 95  
 Ala Arg Asn Leu Gly Pro Ser Phe Tyr Phe Asp Tyr Trp Gly Gln Gly  
 100 105 110  
 Thr Leu Val Thr Val Ser Ser Ala Ser Thr Lys Gly Pro Ser Val Phe  
 115 120 125  
  
 Pro Leu Ala Pro Ser Ser Lys Ser Thr Ser Gly Gly Thr Ala Ala Leu  
 130 135 140  
 Gly Cys Leu Val Lys Asp Tyr Phe Pro Glu Pro Val Thr Val Ser Trp  
 145 150 155 160  
 Asn Ser Gly Ala Leu Thr Ser Gly Val His Thr Phe Pro Ala Val Leu  
 165 170 175  
 Gln Ser Ser Gly Leu Tyr Ser Leu Ser Ser Val Val Thr Val Pro Ser  
 180 185 190  
  
 Ser Ser Leu Gly Thr Gln Thr Tyr Ile Cys Asn Val Asn His Lys Pro  
 195 200 205  
 Ser Asn Thr Lys Val Asp Lys Lys Val Glu Pro Lys Ser Cys Asp Lys  
 210 215 220  
 Thr His Thr Cys Pro Pro Cys Pro Ala Pro Glu Leu Leu Gly Gly Pro  
 225 230 235 240  
 Ser Val Phe Leu Val Pro Pro Lys Pro Lys Asp Thr Leu Met Ile Ser  
 245 250 255  
  
 Arg Thr Pro Glu Val Thr Cys Val Val Val Asp Val Ser His Glu Asp  
 260 265 270  
 Pro Glu Val Lys Phe Asn Trp Tyr Val Asp Gly Val Glu Val His Asn

275 280 285  
Ala Lys Thr Lys Pro Arg Glu Glu Gln Tyr Asn Ser Thr Tyr Arg Val  
290 295 300  
Val Ser Val Leu Thr Val Leu His Gln Asp Trp Leu Asn Gly Lys Glu  
305 310 315 320  
Tyr Lys Cys Lys Val Ser Asn Lys Ala Leu Pro Ala Pro Ile Glu Lys  
325 330 335  
Thr Ile Ser Lys Ala Lys Gly Gln Pro Arg Glu Pro Gln Val Tyr Thr  
340 345 350  
Leu Pro Pro Ser Arg Glu Glu Met Thr Lys Asn Gln Val Ser Leu Thr  
355 360 365  
Cys Leu Val Lys Gly Phe Tyr Pro Ser Asp Ile Ala Val Glu Trp Glu  
370 375 380  
Ser Asn Gly Gln Pro Glu Asn Asn Tyr Lys Thr Thr Pro Pro Val Leu  
385 390 395 400  
Asp Ser Asp Gly Ser Phe Phe Leu Tyr Ser Lys Leu Thr Val Asp Lys  
405 410 415  
Ser Arg Trp Gln Gln Gly Asn Val Phe Ser Cys Ser Val Met His Glu  
420 425 430  
Ala Leu Asn His Tyr Thr Gln Lys Ser Leu Ser Leu Ser Pro Gly Lys  
435 440 445

<210> 38

<211> 216

<212> PRT

<213> Artificial Sequence

<220><223> Description of Artificial Sequence: Light chain mammalian  
humanized antibody

<400> 38

Asp Ile Gln Met Thr Gln Ser Pro Ser Ser Leu Ser Ala Ser Val Gly  
1 5 10 15  
Asp Arg Val Thr Ile Thr Cys Lys Ala Ser Gln Asp Val Ser Ile Gly  
20 25 30

Val Ala Trp Tyr Gln Gln Lys Pro Gly Lys Ala Pro Lys Leu Leu Ile  
 35 40 45

Tyr Ser Ala Ser Tyr Arg Tyr Thr Gly Val Pro Ser Arg Phe Ser Gly  
 50 55 60

Ser Gly Ser Gly Thr Asp Phe Thr Leu Thr Ile Ser Ser Leu Gln Pro  
 65 70 75 80

Glu Asp Phe Ala Thr Tyr Tyr Cys Gln Gln Tyr Tyr Ile Tyr Pro Tyr  
 85 90 95

Thr Phe Gly Gln Gly Thr Lys Val Glu Ile Lys Arg Thr Val Ala Ala  
 100 105 110

Pro Ser Val Phe Ile Phe Pro Pro Ser Asp Glu Gln Leu Lys Ser Gly  
 115 120 125

Thr Ala Ser Val Val Cys Leu Leu Asn Asn Asn Phe Tyr Pro Arg Glu  
 130 135 140

Ala Lys Val Gln Trp Lys Val Asp Asn Ala Leu Gln Ser Gly Glu Asn  
 145 150 155 160

Ser Gln Glu Ser Val Thr Glu Gln Asp Ser Lys Asp Ser Thr Tyr Ser  
 165 170 175

Leu Ser Ser Thr Leu Thr Leu Ser Lys Ala Asp Tyr Glu Lys His Lys  
 180 185 190

Val Tyr Ala Cys Glu Val Thr His Gln Gly Leu Ser Ser Pro Val Thr  
 195 200 205

Lys Ser Phe Asn Arg Gly Glu Cys  
 210 215

<210> 39

<211> 448

<212> PRT

<213> Artificial Sequence

<220><223> Description of Artificial Sequence: Heavy chain mammalian

humanized antibody

<400> 39

Glu Val Gln Leu Val Glu Ser Gly Gly Gly Leu Val Gln Pro Gly Gly  
 1                    5                    10                    15  
 Ser Leu Arg Leu Ser Cys Ala Ala Ser Gly Phe Thr Phe Thr Asp Tyr  
                   20                    25                    30  
 Thr Met Asp Trp Val Arg Gln Ala Pro Gly Lys Gly Leu Glu Trp Val  
                   35                    40                    45  
 Ala Asp Val Asn Pro Asn Ser Gly Gly Ser Ile Tyr Asn Gln Arg Phe  
                   50                    55                    60  
  
 Lys Gly Arg Phe Thr Leu Ser Val Asp Arg Ser Lys Asn Thr Leu Tyr  
 65                    70                    75                    80  
 Leu Gln Met Asn Ser Leu Arg Ala Glu Asp Thr Ala Val Tyr Tyr Cys  
                   85                    90                    95  
 Ala Arg Asn Leu Gly Pro Ser Phe Tyr Phe Asp Tyr Trp Gly Gln Gly  
                   100                    105                    110  
 Thr Leu Val Thr Val Ser Ser Ala Ser Thr Lys Gly Pro Ser Val Phe  
                   115                    120                    125  
  
 Pro Leu Ala Pro Ser Ser Lys Ser Thr Ser Gly Gly Thr Ala Ala Leu  
                   130                    135                    140  
 Gly Cys Leu Val Lys Asp Tyr Phe Pro Glu Pro Val Thr Val Ser Trp  
 145                    150                    155                    160  
 Asn Ser Gly Ala Leu Thr Ser Gly Val His Thr Phe Pro Ala Val Leu  
                   165                    170                    175  
 Gln Ser Ser Gly Leu Tyr Ser Leu Ser Ser Val Val Thr Val Pro Ser  
                   180                    185                    190  
  
 Ser Ser Leu Gly Thr Gln Thr Tyr Ile Cys Asn Val Asn His Lys Pro  
                   195                    200                    205  
 Ser Asn Thr Lys Val Asp Lys Lys Val Glu Pro Lys Ser Cys Asp Lys  
                   210                    215                    220  
 Thr His Thr Cys Pro Pro Cys Pro Ala Pro Glu Leu Leu Gly Gly Pro  
 225                    230                    235                    240  
 Ser Val Phe Leu Phe Pro Pro Lys Pro Lys Asp Thr Leu Met Ile Ser

	245	250	255
Arg Thr Pro Glu Val Thr Cys Val Val Val Asp Val Ser His Glu Asp			
	260	265	270
Pro Glu Val Lys Phe Asn Trp Tyr Val Asp Gly Val Glu Val His Asn			
	275	280	285
Ala Lys Thr Lys Pro Arg Glu Glu Gln Tyr Asn Ser Thr Tyr Arg Val			
	290	295	300
Val Ser Val Leu Thr Val Leu His Gln Asp Trp Leu Asn Gly Lys Glu			
305	310	315	320
Tyr Lys Cys Lys Val Ser Asn Lys Ala Leu Pro Ala Pro Ile Glu Lys			
	325	330	335
Thr Ile Ser Lys Ala Lys Gly Gln Pro Arg Glu Pro Gln Val Tyr Thr			
	340	345	350
Leu Pro Pro Ser Arg Glu Glu Met Thr Lys Asn Gln Val Ser Leu Thr			
	355	360	365
Cys Leu Val Lys Gly Phe Tyr Pro Ser Asp Ile Ala Val Glu Trp Glu			
	370	375	380
Ser Asn Gly Gln Pro Glu Asn Asn Tyr Lys Thr Thr Pro Pro Val Leu			
385	390	395	400
Asp Ser Asp Gly Ser Phe Phe Leu Tyr Ser Lys Leu Thr Val Asp Lys			
	405	410	415
Ser Arg Trp Gln Gln Gly Asn Val Phe Ser Cys Ser Val Met His Glu			
	420	425	430
Ala Leu His Asn His Tyr Thr Gln Lys Ser Leu Ser Leu Ser Pro Gly			
	435	440	445

<210> 40

<211> 58

<212> PRT

<213> Artificial Sequence

<220><223> Description of Artificial Sequence: Mammalian humanized antibody

<400> 40

Val Asp Asn Lys Phe Asn Lys Glu Gln Gln Asn Ala Phe Tyr Glu Ile  
 1                    5                    10                    15  
 Leu His Leu Pro Asn Leu Asn Glu Glu Gln Arg Asn Ala Phe Ile Gln  
                   20                    25                    30  
 Ser Leu Lys Asp Asp Pro Ser Gln Ser Ala Asn Leu Leu Ala Glu Ala  
                   35                    40                    45

Lys Lys Leu Asn Asp Ala Gln Ala Pro Lys  
                   50                    55

<210> 41

<211> 58

<212> PRT

<213> Artificial Sequence

<220><223> Description of Artificial Sequence: Mammalian humanized antibody

<400> 41

Val Asp Asn Lys Phe Asn Lys Glu Leu Arg Gln Ala Tyr Trp Glu Ile  
 1                    5                    10                    15  
 Gln Ala Leu Pro Asn Leu Asn Trp Thr Gln Ser Arg Ala Phe Ile Arg  
                   20                    25                    30  
 Ser Leu Tyr Asp Asp Pro Ser Gln Ser Ala Asn Leu Leu Ala Glu Ala  
                   35                    40                    45

Lys Lys Leu Asn Asp Ala Gln Ala Pro Lys  
                   50                    55

<210> 42

<211> 58

<212> PRT

<213> Artificial Sequence

<220><223> Description of Artificial Sequence: Mammalian humanized antibody

<400> 42

Val Asp Asn Lys Phe Asn Lys Glu Pro Lys Thr Ala Tyr Trp Glu Ile  
 1                    5                    10                    15  
 Val Lys Leu Pro Asn Leu Asn Pro Glu Gln Arg Arg Ala Phe Ile Arg  
                   20                    25                    30

Ser Leu Tyr Asp Asp Pro Ser Gln Ser Ala Asn Leu Leu Ala Glu Ala  
 35 40 45

Lys Lys Leu Asn Asp Ala Gln Ala Pro Lys  
 50 55

<210> 43

<211> 58

<212> PRT

<213> Artificial Sequence

<220><223> Description of Artificial Sequence: Mammalian humanized antibody

<400> 43

Val Asp Asn Lys Phe Asn Lys Glu Pro Arg Glu Ala Tyr Trp Glu Ile  
 1 5 10 15

Gln Arg Leu Pro Asn Leu Asn Asn Lys Gln Lys Ala Ala Phe Ile Arg

20 25 30

Ser Leu Tyr Asp Asp Pro Ser Gln Ser Ala Asn Leu Leu Ala Glu Ala  
 35 40 45

Lys Lys Leu Asn Asp Ala Gln Ala Pro Lys  
 50 55

<210> 44

<211> 58

<212> PRT

<213> Artificial Sequence

<220><223> Description of Artificial Sequence: Mammalian humanized antibody

<400> 44

Val Asp Asn Lys Phe Asn Lys Glu Trp Met Thr Ala Gly Lys Glu Ile  
 1 5 10 15

Tyr Arg Leu Pro Asn Leu Asn Gly Thr Gln Val Arg Ala Phe Ile Gln  
 20 25 30

Ser Leu Ser Asp Asp Pro Ser Gln Ser Ala Asn Leu Leu Ala Glu Ala  
 35 40 45

Lys Lys Leu Asn Asp Ala Gln Ala Pro Lys  
 50 55

<210> 45

<211> 58

<212> PRT

<213> Artificial Sequence

<220><223> Description of Artificial Sequence: Mammalian humanized antibody

<400> 45

Val Asp Asn Lys Phe Asn Lys Glu Trp Val Gln Ala Gly Ser Glu Ile

1	5	10	15
Tyr Asn Leu Pro Asn Leu Asn Arg Ala Gln Met Arg Ala Phe Ile Arg			
	20	25	30
Ser Leu Ser Asp Asp Pro Ser Gln Ser Ala Asn Leu Leu Ala Glu Ala			
	35	40	45
Lys Lys Leu Asn Asp Ala Gln Ala Pro Lys			
	50	55	

<210> 46

<211> 58

<212> PRT

<213> Artificial Sequence

<220><223> Description of Artificial Sequence: Mammalian humanized antibody

<400> 46

Val Asp Asn Lys Phe Asn Lys Glu Ile Lys Gln Ala Phe His Glu Ile

1	5	10	15
Val Arg Leu Pro Asn Leu Asn Ala Asp Gln Val Arg Ala Phe Ile Tyr			
	20	25	30
Ser Leu Gly Asp Asp Pro Ser Gln Ser Ala Asn Leu Leu Ala Glu Ala			
	35	40	45
Lys Lys Leu Asn Asp Ala Gln Ala Pro Lys			
	50	55	

<210> 47

<211>

57

<212> PRT

<213> Artificial Sequence

<220><223> Description of Artificial Sequence: Mammalian humanized antibody

<400> 47

Val Asp Asn Lys Phe Asn Lys Glu Met Val Asp Ala Gly Ala Glu Ile  
 1                    5                    10                    15  
 Trp Arg Leu Pro Asn Leu Asn Ala Lys Gln Met Ala Phe Ile Asp Ser  
                   20                    25                    30  
 Leu Gly Asp Asp Pro Ser Gln Ser Ala Asn Leu Leu Ala Glu Ala Lys  
                   35                    40                    45

Lys Leu Asn Asp Ala Gln Ala Pro Lys  
                   50                    55

<210> 48

<211> 106

<212> PRT

<213> Artificial Sequence

<220><223> Description of Artificial Sequence: Light chain antibody

<400> 48

Asp Ile Gln Met Thr Gln Ser Pro Ser Ser Leu Ser Ala Ser Val Gly  
 1                    5                    10                    15  
 Asp Arg Val Thr Ile Thr Cys Arg Ala Ser Ser Ser Val Ser Tyr Ile  
                   20                    25                    30  
 His Trp Tyr Gln Gln Lys Pro Gly Lys Ala Pro Lys Leu Leu Ile Tyr  
                   35                    40                    45  
 Ala Thr Ser Asn Leu Ala Ser Gly Val Pro Ser Arg Phe Ser Gly Ser  
                   50                    55                    60  
 Arg Ser Gly Thr Asp Phe Thr Leu Thr Ile Ser Ser Leu Gln Pro Glu  
 65                    70                    75                    80  
 Asp Phe Ala Thr Tyr Tyr Cys Gln Gln Trp Thr Ser Asn Pro Pro Thr  
                   85                    90                    95  
 Phe Gly Gln Gly Thr Lys Val Glu Ile Lys  
                   100                    105

<210> 49

<211> 121

<212> PRT

<213> Artificial Sequence

<220><223> Description of Artificial Sequence: Heavy chain antibody

<400> 49

Glu Val Gln Leu Val Glu Ser Gly Gly Gly Leu Val Gln Pro Gly Gly

1                    5                    10                    15

Ser Leu Arg Leu Ser Cys Ala Ala Ser Gly Tyr Thr Phe Thr Ser Tyr

                  20                    25                    30

Asn Met His Trp Val Arg Gln Ala Pro Gly Lys Gly Leu Glu Trp Val

                  35                    40                    45

Ala Ala Ile Tyr Pro Gly Asn Gly Asp Thr Ser Tyr Asn Gln Lys Phe

                  50                    55                    60

Lys Gly Arg Phe Thr Ile Ser Ala Asp Thr Ser Lys Asn Thr Ala Tyr

65                    70                    75                    80

Leu Gln Met Asn Ser Leu Arg Ala Glu Asp Thr Ala Val Tyr Tyr Cys

                  85                    90                    95

Ser Arg Ser Thr Tyr Tyr Gly Gly Asp Trp Tyr Phe Asp Val Trp Gly

                  100                    105                    110

Gln Gly Thr Leu Val Thr Val Ser Ser

                  115                    120

<210> 50

<211> 106

<212> PRT

<213> Artificial Sequence

<220><223> Description of Artificial Sequence: Light chain antibody

<400> 50

Gln Ile Val Leu Ser Gln Ser Pro Ala Ile Leu Ser Ala Ser Pro Gly

1                    5                    10                    15

Glu Lys Val Thr Met Thr Cys Arg Ala Ser Ser Ser Val Ser Tyr Ile

                  20                    25                    30

His Trp Phe Gln Gln Lys Pro Gly Ser Ser Pro Lys Pro Trp Ile Tyr

                  35                    40                    45

Ala Thr Ser Asn Leu Ala Ser Gly Val Pro Val Arg Phe Ser Gly Ser

50 55 60  
 Gly Ser Gly Thr Ser Tyr Ser Leu Thr Ile Ser Arg Val Glu Ala Glu  
 65 70 75 80  
 Asp Ala Ala Thr Tyr Tyr Cys Gln Gln Trp Thr Ser Asn Pro Pro Thr  
 85 90 95  
 Phe Gly Gly Gly Thr Lys Leu Glu Ile Lys  
 100 105

<210> 51

<211> 120

<212> PRT

<213> Artificial Sequence

<220><223> Description of Artificial Sequence: Heavy chain antibody

<400> 51

Gln Val Gln Leu Gln Gln Pro Gly Ala Glu Leu Val Lys Pro Gly Ala  
 1 5 10 15  
 Ser Val Lys Met Ser Cys Lys Ala Ser Gly Tyr Thr Phe Thr Ser Tyr  
 20 25 30  
 Asn Met His Trp Val Lys Gln Thr Pro Gly Arg Gly Leu Glu Trp Ile  
 35 40 45

Gly Ala Ile Tyr Pro Gly Asn Gly Asp Thr Ser Tyr Asn Gln Lys Phe  
 50 55 60  
 Lys Gly Lys Ala Thr Leu Thr Ala Asp Lys Ser Ser Ser Thr Ala Tyr  
 65 70 75 80  
 Met Gln Leu Ser Ser Leu Thr Ser Glu Asp Ser Ala Val Tyr Tyr Cys  
 85 90 95  
 Ala Arg Ser Thr Tyr Tyr Gly Gly Asp Trp Tyr Phe Asn Val Trp Gly  
 100 105 110

Ala Gly Thr Thr Val Thr Val Ser  
 115 120

<210> 52

<211> 106

<212> PRT

<213> Artificial Sequence

<220><223> Description of Artificial Sequence: Light chain antibody

<400> 52

Gln Ile Val Leu Ser Gln Ser Pro Ala Ile Leu Ser Ala Ser Pro Gly

1                    5                    10                    15

Glu Lys Val Thr Met Thr Cys Arg Ala Ser Ser Ser Val Ser Tyr Met

                  20                    25                    30

His Trp Tyr Gln Gln Lys Pro Gly Ser Ser Pro Lys Pro Trp Ile Tyr

                  35                    40                    45

Ala Pro Ser Asn Leu Ala Ser Gly Val Pro Ala Arg Phe Ser Gly Ser

                  50                    55                    60

Gly Ser Gly Thr Ser Tyr Ser Leu Thr Ile Ser Arg Val Glu Ala Glu

65                    70                    75                    80

Asp Ala Ala Thr Tyr Tyr Cys Gln Gln Trp Ser Phe Asn Pro Pro Thr

                  85                    90                    95

Phe Gly Ala Gly Thr Lys Leu Glu Leu Lys

                  100                    105

<210> 53

<211> 121

<212> PRT

<213> Artificial Sequence

<220><223> Description of Artificial Sequence: Heavy chain antibody

<400> 53

Gln Ala Tyr Leu Gln Gln Ser Gly Ala Glu Leu Val Arg Pro Gly Ala

1                    5                    10                    15

Ser Val Lys Met Ser Cys Lys Ala Ser Gly Tyr Thr Phe Thr Ser Tyr

                  20                    25                    30

Asn Met His Trp Val Lys Gln Thr Pro Arg Gln Gly Leu Glu Trp Ile

                  35                    40                    45

Gly Ala Ile Tyr Pro Gly Asn Gly Asp Thr Ser Tyr Asn Gln Lys Phe

                  50                    55                    60

Lys Gly Lys Ala Thr Leu Thr Val Asp Lys Ser Ser Ser Thr Ala Tyr



<400> 55

Gln Ala Tyr Leu Gln Gln Ser Gly Ala Glu Leu Val Arg Pro Gly Ala  
 1                    5                    10                    15  
 Ser Val Lys Met Ser Cys Lys Ala Ser Gly Tyr Thr Phe Thr Ser Tyr  
                   20                    25                    30  
 Asn Met His Trp Val Lys Gln Thr Pro Arg Gln Gly Leu Glu Trp Ile  
                   35                    40                    45

Gly Ala Ile Tyr Pro Gly Asn Gly Asp Thr Ser Tyr Asn Gln Lys Phe  
                   50                    55                    60  
 Lys Gly Lys Ala Thr Leu Thr Val Asp Lys Ser Ser Ser Thr Ala Tyr  
 65                    70                    75                    80  
 Met Gln Leu Ser Ser Leu Thr Ser Glu Asp Ser Ala Val Tyr Phe Cys  
                   85                    90                    95  
 Ala Arg Val Val Tyr Tyr Ser Asn Ser Tyr Trp Tyr Phe Asp Val Trp  
                   100                    105                    110

Gly Thr Gly Thr Thr Val Thr Val Ser  
                   115                    120

<210> 56

<211> 123

<212> PRT

<213> Artificial Sequence

<220><223> Description of Artificial Sequence: Heavy chain antibody

<400> 56

Ala Val Gln Leu Val Glu Ser Gly Gly Gly Leu Val Gln Pro Gly Arg  
 1                    5                    10                    15  
 Ser Leu Arg Leu Ser Cys Ala Ala Ser Gly Phe Thr Phe Gly Asp Tyr  
                   20                    25                    30  
 Thr Met His Trp Val Arg Gln Ala Pro Gly Leu Gly Leu Glu Trp Val  
                   35                    40                    45  
 Ser Gly Ile Ser Trp Asn Ser Gly Ser Ile Gly Tyr Ala Asp Ser Val  
                   50                    55                    60  
 Leu Gly Arg Phe Thr Ile Ser Arg Asp Asn Ala Leu Asn Ser Leu Tyr

65                    70                    75                    80  
 Leu Gln Met Asn Ser Leu Arg Ala Glu Asp Thr Ala Leu Tyr Tyr Cys

                         85                    90                    95  
 Thr Leu Asp Asn Gln Tyr Gly Ser Gly Ser Thr Tyr Gly Leu Gly Val

                         100                    105                    110  
 Trp Gly Gln Gly Thr Leu Val Thr Val Ser Ser

                         115                    120

<210> 57

<211> 107

<212> PRT

<213> Artificial Sequence

<220><223> Description of Artificial Sequence: Light chain antibody

<400> 57

Glu Ile Val Leu Thr Gln Ser Pro Ala Thr Leu Ser Leu Ser Pro Gly

1                    5                    10                    15

Glu Arg Ala Thr Leu Ser Cys Arg Ala Ser Gln Ser Val Ser Ser Tyr

20                    25                    30

Leu Ala Trp Tyr Gln Gln Lys Pro Gly Gln Ala Pro Arg Leu Leu Ile

35                    40                    45

Tyr Asp Ala Ser Asn Arg Ala Thr Gly Ile Pro Ala Arg Phe Ser Gly

50                    55                    60

Ser Gly Ser Gly Thr Asp Phe Thr Leu Thr Ile Ser Ser Leu Glu Pro

65                    70                    75                    80

Glu Asp Phe Ala Val Tyr Tyr Cys Gln Gln Arg Ser Asn Trp Pro Leu

85                    90                    95

Thr Phe Gly Gly Gly Thr Lys Val Glu Ile Leu

100                    105

<210> 58

<211> 141

<212> PRT

<213> Artificial Sequence

<220><223> Description of Artificial Sequence: Heavy chain antibody

<400> 58

Met Phe Leu Gly Leu Ser Trp Ile Phe Leu Leu Ala Ile Leu Lys Gly  
 1                    5                    10                    15  
 Val Gln Cys Glu Val Gln Leu Val Glu Ser Gly Gly Gly Leu Val Gln  
                   20                    25                    30  
 Pro Gly Arg Ser Leu Arg Leu Ser Cys Ala Ala Ser Gly Phe Thr Phe  
                   35                    40                    45  
 Asn Asp Tyr Ala Met His Trp Val Arg Gln Ala Pro Gly Lys Gly Leu  
                   50                    55                    60  
 Glu Trp Val Ser Thr Ile Ser Trp Asn Ser Gly Ser Ile Gly Tyr Ala  
 65                    70                    75                    80  
 Asp Ser Val Lys Gly Arg Phe Thr Ile Ser Arg Asp Asn Ala Lys Lys  
                   85                    90                    95  
 Ser Leu Tyr Leu Gln Met Asn Ser Leu Arg Ala Glu Asp Thr Ala Leu  
                   100                    105                    110  
 Tyr Tyr Cys Ala Lys Asp Ile Gln Tyr Gly Asn Tyr Tyr Tyr Gly Met  
                   115                    120                    125  
 Asp Val Trp Gly Gln Gly Thr Thr Val Thr Val Ser Ser  
                   130                    135                    140

<210> 59

<211> 126

<212> PRT

<213> Artificial Sequence

<220><223> Description of Artificial Sequence: Light chain antibody

<400> 59

Met Glu Ala Pro Ala Gln Leu Leu Phe Leu Leu Leu Leu Trp Leu Pro  
 1                    5                    10                    15  
 Asp Thr Thr Gly Glu Ile Val Leu Thr Gln Ser Pro Ala Thr Leu Ser  
                   20                    25                    30  
 Leu Ser Pro Gly Glu Arg Ala Thr Leu Ser Cys Arg Ala Ser Gln Ser  
                   35                    40                    45  
 Val Ser Ser Tyr Leu Ala Trp Tyr Gln Gln Lys Pro Gly Gln Ala Pro

50 55 60  
 Arg Leu Leu Ile Tyr Asp Ala Ser Asn Arg Ala Thr Gly Ile Pro Ala

65 70 75 80  
 Arg Phe Ser Gly Ser Gly Ser Thr Asp Phe Thr Leu Thr Ile Ser Ser

85 90 95  
 Leu Glu Pro Glu Asp Phe Ala Val Tyr Tyr Cys Gln Gln Arg Ser Asn

100 105 110  
 Trp Pro Ile Thr Phe Gly Gln Gly Thr Arg Leu Glu Ile Lys

115 120 125  
 <210> 60

<211> 144

<212> PRT

<213> Artificial Sequence

<220><223> Description of Artificial Sequence: Heavy chain antibody

<400> 60

Met Glu Leu Gly Leu Ser Trp Val Phe Leu Val Ala Ile Leu Lys Gly  
 1 5 10 15

Val Gln Cys Glu Val Gln Leu Val Gln Ser Gly Gly Gly Leu Val His  
 20 25 30

Pro Gly Gly Ser Leu Arg Leu Ser Cys Thr Gly Ser Gly Phe Thr Phe  
 35 40 45

Ser Tyr His Ala Met His Trp Val Arg Gln Ala Pro Gly Lys Gly Leu

50 55 60  
 Glu Trp Val Ser Ile Ile Gly Thr Gly Gly Val Thr Tyr Tyr Ala Asp

65 70 75 80  
 Ser Val Lys Gly Arg Phe Thr Ile Ser Arg Asp Asn Val Lys Asn Ser

85 90 95  
 Leu Tyr Leu Gln Met Asn Ser Leu Arg Ala Glu Asp Met Ala Val Tyr

100 105 110  
 Tyr Cys Ala Arg Asp Tyr Tyr Gly Ala Gly Ser Phe Tyr Asp Gly Leu

115 120 125

Tyr Gly Met Asp Val Trp Gly Gln Gly Thr Thr Val Thr Val Ser Ser  
 130 135 140

<210> 61

<211> 127

<212> PRT

<213> Artificial Sequence

<220><223> Description of Artificial Sequence: Light chain antibody

<400> 61

Met Glu Ala Pro Ala Gln Leu Leu Phe Leu Leu Leu Leu Trp Leu Pro  
 1 5 10 15

Asp Thr Thr Gly Glu Ile Val Leu Thr Gln Ser Pro Ala Thr Leu Ser

20 25 30

Leu Ser Pro Gly Glu Arg Ala Thr Leu Ser Cys Arg Ala Ser Gln Ser  
 35 40 45

Val Ser Ser Tyr Leu Ala Trp Tyr Gln Gln Lys Pro Gly Gln Ala Pro  
 50 55 60

Arg Leu Leu Ile Tyr Asp Ala Ser Asn Arg Ala Thr Gly Ile Pro Ala  
 65 70 75 80

Arg Phe Ser Gly Ser Gly Ser Gly Thr Asp Phe Thr Leu Thr Ile Ser

85 90 95

Ser Leu Glu Pro Glu Asp Phe Ala Val Tyr Tyr Cys Gln Gln Arg Ser

100 105 110

Asp Trp Pro Leu Thr Phe Gly Gly Gly Thr Lys Val Glu Ile Lys

115 120 125

<210> 62

<211> 141

<212> PRT

<213> Artificial Sequence

<220><223> Description of Artificial Sequence: Heavy chain antibody

<400> 62

Met Glu Leu Gly Leu Ser Trp Ile Phe Leu Leu Ala Ile Leu Lys Gly

1 5 10 15

Val Gln Cys Glu Val Gln Leu Val Glu Ser Gly Gly Gly Leu Val Gln  
 20 25 30  
 Pro Asp Arg Ser Leu Arg Leu Ser Cys Ala Ala Ser Gly Phe Thr Phe  
 35 40 45  
 His Asp Tyr Ala Met His Trp Val Arg Gln Ala Pro Gly Lys Gly Leu  
 50 55 60  
 Glu Trp Val Ser Thr Ile Ser Trp Asn Ser Gly Thr Ile Gly Tyr Ala  
 65 70 75 80  
 Asp Ser Val Lys Gly Arg Phe Thr Ile Ser Arg Asp Asn Ala Lys Asn  
 85 90 95  
 Ser Leu Tyr Leu Gln Met Asn Ser Leu Arg Ala Glu Asp Thr Ala Leu  
 100 105 110  
 Tyr Tyr Cys Ala Lys Asp Ile Gln Tyr Gly Asn Tyr Tyr Tyr Gly Met  
 115 120 125  
 Asp Val Trp Gly Gln Gly Thr Thr Val Thr Val Ser Ser

130 135 140

<210> 63

<211> 127

<212> PRT

<213> Artificial Sequence

<220><223> Description of Artificial Sequence: Light chain antibody

<400> 63

Met Glu Ala Pro Ala Gln Leu Leu Phe Leu Leu Leu Trp Leu Pro  
 1 5 10 15  
 Asp Thr Thr Gly Glu Ile Val Leu Thr Gln Ser Pro Ala Thr Leu Ser  
 20 25 30  
 Leu Ser Pro Gly Glu Arg Ala Thr Leu Ser Cys Arg Ala Ser Gln Ser  
 35 40 45  
 Val Ser Ser Tyr Leu Ala Trp Tyr Gln Gln Lys Pro Gly Gln Ala Pro  
 50 55 60  
 Arg Leu Leu Ile Tyr Asp Ala Ser Asn Arg Ala Thr Gly Ile Pro Ala  
 65 70 75 80

Arg Phe Ser Gly Ser Gly Ser Gly Thr Asp Phe Thr Leu Thr Ile Ser  
 85 90 95

Ser Leu Glu Pro Glu Asp Phe Ala Val Tyr Tyr Cys Gln Gln Arg Ser

100 105 110

Asn Trp Pro Ile Thr Phe Gly Gln Gly Thr Arg Leu Glu Ile Lys

115 120 125

<210> 64

<211> 443

<212> PRT

<213> Artificial Sequence

<220><223> Description of Artificial Sequence: Heavy chain antibody

<400> 64

Gln Ala Tyr Leu Gln Gln Ser Gly Ala Glu Leu Val Arg Pro Gly Ala

1 5 10 15

Ser Val Lys Met Ser Cys Lys Ala Ser Gly Tyr Thr Phe Thr Ser Tyr

20 25 30

Asn Met His Trp Val Lys Gln Thr Pro Arg Gln Gly Leu Glu Trp Ile

35 40 45

Gly Ala Ile Tyr Pro Gly Asn Gly Asp Thr Ser Tyr Asn Gln Lys Phe

50 55 60

Lys Gly Lys Ala Thr Leu Thr Val Asp Lys Ser Ser Ser Thr Ala Tyr

65 70 75 80

Met Gln Leu Ser Ser Leu Thr Ser Glu Asp Ser Ala Val Tyr Phe Cys

85 90 95

Ala Arg Val Val Tyr Tyr Ser Asn Ser Tyr Trp Tyr Phe Asp Val Trp

100 105 110

Gly Thr Gly Thr Thr Val Thr Val Ser Ala Pro Ser Val Tyr Pro Leu

115 120 125

Ala Pro Val Cys Gly Asp Thr Thr Gly Ser Ser Val Thr Leu Gly Cys

130 135 140

Leu Val Lys Gly Tyr Phe Pro Glu Pro Val Thr Leu Thr Trp Asn Ser



Asp Gly Ser Tyr Phe Met Tyr Ser Lys Leu Arg Val Glu Lys Lys Asn

405 410 415

Trp Val Glu Arg Asn Ser Tyr Ser Cys Ser Val Val His Glu Gly Leu

420 425 430

His Asn His His Thr Thr Lys Ser Phe Ser Arg

435 440

<210> 65

<211> 209

<212> PRT

<213> Artificial Sequence

<220><223> Description of Artificial Sequence: Light chain antibody

<400> 65

Gln Ile Val Leu Ser Gln Ser Pro Ala Ile Leu Ser Ala Ser Pro Gly

1 5 10 15

Glu Lys Val Thr Met Thr Cys Arg Ala Ser Ser Ser Val Ser Tyr Met

20 25 30

His Trp Tyr Gln Gln Lys Pro Gly Ser Ser Pro Lys Pro Trp Ile Tyr

35 40 45

Ala Pro Ser Asn Leu Ala Ser Gly Val Pro Ala Arg Phe Ser Gly Ser

50 55 60

Gly Ser Gly Thr Ser Tyr Ser Leu Thr Ile Ser Arg Val Glu Ala Glu

65 70 75 80

Asp Ala Ala Thr Tyr Tyr Cys Gln Gln Trp Ser Phe Asn Pro Pro Thr

85 90 95

Phe Gly Ala Gly Thr Lys Leu Glu Leu Lys Arg Ala Asp Ala Ala Pro

100 105 110

Thr Val Phe Ile Phe Pro Pro Ser Asp Glu Gln Leu Lys Ser Gly Thr

115 120 125

Ala Ser Val Val Cys Leu Leu Asn Asn Phe Tyr Pro Arg Glu Ala Lys

130 135 140

Val Gln Trp Lys Val Asp Asn Ala Leu Gln Ser Gly Asn Ser Gln Glu

145                    150                    155                    160  
 Ser Val Thr Glu Gln Asp Ser Lys Asp Ser Thr Tyr Ser Leu Ser Ser  
                          165                    170                    175  
 Thr Leu Thr Leu Ser Lys Ala Asp Tyr Glu Lys His Lys Val Tyr Ala  
                          180                    185                    190  
 Cys Glu Val Thr His Gln Gly Leu Ser Ser Pro Val Thr Lys Ser Phe  
                          195                    200                    205

Asn

<210> 66

<211> 451

<212> PRT

<213> Artificial Sequence

<220><223> Description of Artificial Sequence: Heavy chain antibody

<400> 66

Gln Val Gln Leu Gln Gln Pro Gly Ala Glu Leu Val Lys Pro Gly Ala  
 1                    5                    10                    15  
 Ser Val Lys Met Ser Cys Lys Ala Ser Gly Tyr Thr Phe Thr Ser Tyr  
                          20                    25                    30  
 Asn Met His Trp Val Lys Gln Thr Pro Gly Arg Gly Leu Glu Trp Ile  
                          35                    40                    45

Gly Ala Ile Tyr Pro Gly Asn Gly Asp Thr Ser Tyr Asn Gln Lys Phe  
                          50                    55                    60  
 Lys Gly Lys Ala Thr Leu Thr Ala Asp Lys Ser Ser Ser Thr Ala Tyr  
 65                    70                    75                    80  
 Met Gln Leu Ser Ser Leu Thr Ser Glu Asp Ser Ala Val Tyr Tyr Cys  
                          85                    90                    95  
 Ala Arg Ser Thr Tyr Tyr Gly Gly Asp Trp Tyr Phe Asn Val Trp Gly  
                          100                    105                    110

Ala Gly Thr Thr Val Thr Val Ser Ala Ala Ser Thr Lys Gly Pro Ser  
                          115                    120                    125  
 Val Phe Pro Leu Ala Pro Ser Ser Lys Ser Thr Ser Gly Gly Thr Ala

130                      135                      140  
 Ala Leu Gly Cys Leu Val Lys Asp Tyr Phe Pro Glu Pro Val Thr Val  
 145                      150                      155                      160  
 Ser Trp Asn Ser Gly Ala Leu Thr Ser Gly Val His Thr Phe Pro Ala  
                             165                      170                      175  
  
 Val Leu Gln Ser Ser Gly Leu Tyr Ser Leu Ser Ser Val Val Thr Val  
                             180                      185                      190  
 Pro Ser Ser Ser Leu Gly Thr Gln Thr Tyr Ile Cys Asn Val Asn His  
                             195                      200                      205  
 Lys Pro Ser Asn Thr Lys Val Asp Lys Lys Val Glu Pro Lys Ser Cys  
                             210                      215                      220  
 Asp Lys Thr His Thr Cys Pro Pro Cys Pro Ala Pro Glu Leu Leu Gly  
 225                      230                      235                      240  
  
 Gly Pro Ser Val Phe Leu Phe Pro Pro Lys Pro Lys Asp Thr Leu Met  
                             245                      250                      255  
 Ile Ser Arg Thr Pro Glu Val Thr Cys Val Val Val Asp Val Ser His  
                             260                      265                      270  
 Glu Asp Pro Glu Val Lys Phe Asn Trp Tyr Val Asp Gly Val Glu Val  
                             275                      280                      285  
 His Asn Ala Lys Thr Lys Pro Arg Glu Glu Gln Tyr Asn Ser Thr Tyr  
                             290                      295                      300  
  
 Arg Val Val Ser Val Leu Thr Val Leu His Gln Asp Trp Leu Asn Gly  
 305                      310                      315                      320  
 Lys Glu Tyr Lys Cys Lys Val Ser Asn Lys Ala Leu Pro Ala Pro Ile  
                             325                      330                      335  
 Glu Lys Thr Ile Ser Lys Ala Lys Gly Gln Pro Arg Glu Pro Gln Val  
                             340                      345                      350  
 Tyr Thr Leu Pro Pro Ser Arg Asp Glu Leu Thr Lys Asn Gln Val Ser  
                             355                      360                      365  
  
 Leu Thr Cys Leu Val Lys Gly Phe Tyr Pro Ser Asp Ile Ala Val Glu  
                             370                      375                      380

Trp Glu Ser Asn Gly Gln Pro Glu Asn Asn Tyr Lys Thr Thr Pro Pro  
 385                      390                      395                      400  
 Val Leu Asp Ser Asp Gly Ser Phe Phe Leu Tyr Ser Lys Leu Thr Val  
                          405                      410                      415  
 Asp Lys Ser Arg Trp Gln Gln Gly Asn Val Phe Ser Cys Ser Val Met  
                          420                      425                      430

His Glu Ala Leu His Asn His Tyr Thr Gln Lys Ser Leu Ser Leu Ser  
                          435                      440                      445

Pro Gly Lys  
 450

<210> 67

<211> 213

<212> PRT

<213> Artificial Sequence

<220><223> Description of Artificial Sequence: Light chain antibody

<400> 67

Gln Ile Val Leu Ser Gln Ser Pro Ala Ile Leu Ser Ala Ser Pro Gly  
 1                      5                      10                      15  
 Glu Lys Val Thr Met Thr Cys Arg Ala Ser Ser Ser Val Ser Tyr Ile  
                          20                      25                      30

His Trp Phe Gln Gln Lys Pro Gly Ser Ser Pro Lys Pro Trp Ile Tyr  
                          35                      40                      45

Ala Thr Ser Asn Leu Ala Ser Gly Val Pro Val Arg Phe Ser Gly Ser  
                          50                      55                      60

Gly Ser Gly Thr Ser Tyr Ser Leu Thr Ile Ser Arg Val Glu Ala Glu  
 65                      70                      75                      80

Asp Ala Ala Thr Tyr Tyr Cys Gln Gln Trp Thr Ser Asn Pro Pro Thr  
                          85                      90                      95

Phe Gly Gly Gly Thr Lys Leu Glu Ile Lys Arg Thr Val Ala Ala Pro  
                          100                      105                      110

Ser Val Phe Ile Phe Pro Pro Ser Asp Glu Gln Leu Lys Ser Gly Thr  
                          115                      120                      125

Ala Ser Val Val Cys Leu Leu Asn Asn Phe Tyr Pro Arg Glu Ala Lys  
 130 135 140

Val Gln Trp Lys Val Asp Asn Ala Leu Gln Ser Gly Asn Ser Gln Glu  
 145 150 155 160

Ser Val Thr Glu Gln Asp Ser Lys Asp Ser Thr Tyr Ser Leu Ser Ser  
 165 170 175

Thr Leu Thr Leu Ser Lys Ala Asp Tyr Glu Lys His Lys Val Tyr Ala  
 180 185 190

Cys Glu Val Thr His Gln Gly Leu Ser Ser Pro Val Thr Lys Ser Phe  
 195 200 205

Asn Arg Gly Glu Cys  
 210

<210> 68  
 <211> 447  
 <212> PRT  
 <213> Artificial Sequence  
 <220>  
 ><223> Description of Artificial Sequence: Heavy chain antibody  
 <400> 68

Gln Ala Tyr Leu Gln Gln Ser Gly Ala Glu Leu Val Arg Pro Gly Ala  
 1 5 10 15

Ser Val Lys Met Ser Cys Lys Ala Ser Gly Tyr Thr Phe Thr Ser Tyr  
 20 25 30

Asn Met His Trp Val Lys Gln Thr Pro Arg Gln Gly Leu Glu Trp Ile  
 35 40 45

Gly Ala Ile Tyr Pro Gly Asn Gly Asp Thr Ser Tyr Asn Gln Lys Phe  
 50 55 60

Lys Gly Lys Ala Thr Leu Thr Val Asp Lys Ser Ser Ser Thr Ala Tyr  
 65 70 75 80

Met Gln Leu Ser Ser Leu Thr Ser Glu Asp Ser Ala Val Tyr Phe Cys  
 85 90 95

Ala Arg Val Val Tyr Tyr Ser Asn Ser Tyr Trp Tyr Phe Asp Val Trp  
 100 105 110

Gly Thr Gly Thr Thr Val Thr Val Ser Gly Pro Ser Val Phe Pro Leu  
 115 120 125  
 Ala Pro Ser Ser Lys Ser Thr Ser Gly Gly Thr Ala Ala Leu Gly Cys  
 130 135 140  
 Leu Val Lys Asp Tyr Phe Pro Glu Pro Val Thr Val Ser Trp Asn Ser  
 145 150 155 160  
 Gly Ala Leu Thr Ser Gly Val His Thr Phe Pro Ala Val Leu Gln Ser  
 165 170 175  
 Ser Gly Leu Tyr Ser Leu Ser Ser Val Val Thr Val Pro Ser Ser Ser  
 180 185 190  
 Leu Gly Thr Gln Thr Tyr Ile Cys Asn Val Asn His Lys Pro Ser Asn  
 195 200 205  
 Thr Lys Val Asp Lys Lys Ala Glu Pro Lys Ser Cys Asp Lys Thr His  
 210 215 220  
 Thr Cys Pro Pro Cys Pro Ala Pro Glu Leu Leu Gly Gly Pro Ser Val  
 225 230 235 240  
 Phe Leu Phe Pro Pro Lys Pro Lys Asp Thr Leu Met Ile Ser Arg Thr  
 245 250 255  
 Pro Glu Val Thr Cys Val Val Val Asp Val Ser His Glu Asp Pro Glu  
 260 265 270  
 Val Lys Phe Asn Trp Tyr Val Asp Gly Val Glu Val His Asn Ala Lys  
 275 280 285  
 Thr Lys Pro Arg Glu Glu Gln Tyr Asn Ser Thr Tyr Arg Val Val Ser  
 290 295 300  
 Val Leu Thr Val Leu His Gln Asp Trp Leu Asn Gly Lys Glu Tyr Lys  
 305 310 315 320  
 Cys Lys Val Ser Asn Lys Ala Leu Pro Ala Pro Ile Glu Lys Thr Ile  
 325 330 335  
 Ser Lys Ala Lys Gly Gln Pro Arg Glu Pro Gln Val Tyr Thr Leu Pro  
 340 345 350  
 Pro Ser Arg Asp Glu Leu Thr Lys Asn Gln Val Ser Leu Thr Cys Leu

355 360 365  
 Val Lys Gly Phe Tyr Pro Ser Asp Ile Ala Val Glu Trp Glu Ser Asn

370 375 380  
 Gly Gln Pro Glu Asn Asn Tyr Lys Thr Thr Pro Pro Val Leu Asp Ser  
 385 390 395 400

Asp Gly Ser Phe Phe Leu Tyr Ser Lys Leu Thr Val Asp Lys Ser Arg  
 405 410 415

Trp Gln Gln Gly Asn Val Phe Ser Cys Ser Val Met His Glu Ala Leu  
 420 425 430

His Asn His Tyr Thr Gln Lys Ser Leu Ser Leu Ser Pro Gly Lys

435 440 445

<210> 69

<211> 210

<212> PRT

<213> Artificial Sequence

<220><223> Description of Artificial Sequence: Light chain antibody

<400> 69

Gln Ile Val Leu Ser Gln Ser Pro Ala Ile Leu Ser Ala Ser Pro Gly

1 5 10 15

Glu Lys Val Thr Met Thr Cys Arg Ala Ser Ser Ser Val Ser Tyr Met

20 25 30

His Trp Tyr Gln Gln Lys Pro Gly Ser Ser Pro Lys Pro Trp Ile Tyr

35 40 45

Ala Pro Ser Asn Leu Ala Ser Gly Val Pro Ala Arg Phe Ser Gly Ser

50 55 60

Gly Ser Gly Thr Ser Tyr Ser Leu Thr Ile Ser Arg Val Glu Ala Glu

65 70 75 80

Asp Ala Ala Thr Tyr Tyr Cys Gln Gln Trp Ser Phe Asn Pro Pro Thr

85 90 95

Phe Gly Ala Gly Thr Lys Leu Glu Leu Lys Arg Thr Val Ala Ala Pro

100 105 110

Ser Val Phe Ile Phe Pro Pro Ser Asp Glu Gln Leu Lys Ser Gly Thr  
 115 120 125  
 Ala Ser Val Val Cys Leu Leu Asn Asn Phe Tyr Pro Arg Glu Ala Lys  
 130 135 140  
 Val Gln Trp Lys Val Asp Asn Ala Leu Gln Ser Gly Asn Ser Gln Glu  
 145 150 155 160  
 Ser Val Thr Glu Gln Asp Ser Lys Asp Ser Thr Tyr Ser Leu Ser Ser

165 170 175  
 Thr Leu Thr Leu Ser Lys Ala Asp Tyr Glu Lys His Lys Val Tyr Ala  
 180 185 190  
 Cys Glu Val Thr His Gln Gly Leu Ser Ser Pro Val Thr Lys Ser Phe  
 195 200 205

Asn Arg

210

<210> 70

<211> 396

<212> DNA

<213> Artificial Sequence

<220><223> Description of Artificial Sequence: Immunoglobulin light chain

<400> 70

atggattcac aggccagggt tcttatattg ctgctgctat gggtatctgg tacctgtggg 60

gacattgtga tgtcacagtc tccatcctcc ctggctgtgt cagcaggaga gaaggtcact 120

atgagctgca aatccagtca gagtctgctc aacagtagaa cccgaaagaa ctacttgct 180

tggtagcagc agaaaccagg gcagtctcct aaactgctga tctactgggc atccactagg 240

gaatctgggg tcctgatcg cttcacagge agtggatctg ggacagattt cactctcacc 300

atcagcagtg tgcaggctga agacctggca gtttattact gcaagcaatc ttataatctt 360

tacacgttcg gaggggggac caagctggaa ataaaa 396

<210> 71

<211> 130

<212> PRT

<213> Artificial Sequence

<220><223> Description of Artificial Sequence: Immunoglobulin light chain

<400> 71

Met Asp Ser Gln Ala Gln Val Leu Leu Leu Leu Trp Val Ser Gly

1 5 10 15

Thr Cys Gly Asp Ile Val Met Ser Gln Ser Pro Ser Ser Leu Ala Val

20 25 30

Ser Ala Gly Glu Lys Val Thr Met Ser Cys Lys Ser Ser Gln Ser Leu

35 40 45

Leu Asn Ser Arg Thr Arg Lys Asn Tyr Leu Ala Trp Tyr Gln Gln Lys

50 55 60

Pro Gly Gln Ser Pro Lys Leu Leu Ile Tyr Trp Ala Ser Arg Glu Ser

65 70 75 80

Gly Val Pro Asp Arg Phe Thr Gly Ser Gly Ser Gly Thr Asp Phe Thr

85 90 95

Leu Thr Ile Ser Ser Val Gln Ala Glu Asp Leu Ala Val Tyr Tyr Cys

100 105 110

Lys Gln Ser Tyr Asn Leu Tyr Thr Phe Gly Gly Gly Thr Lys Leu Glu

115 120 125

Ile Lys

130

<210> 72

<211> 354

<212> DNA

<213> Artificial Sequence

<220><223> Description of Artificial Sequence: Immunoglobulin heavy chain

<400> 72

caggtgcagc tgaaggagtc aggacctggc ctggtggcac cctcacagag cctgtccatc 60

acatgcactg tctctgggtt ctcatatcc agatatagtg tacactgggt tcgccagcct 120

ccaggaagg gcttgagtg gctgggaatg atatgggtg gtggaagcac agactataat 180

tcagctctca aatccagact gagcatcagc aaggacaact ccaagagcca agttttctta 240

aaaatgaaca gtctgcaaac tgatgacaca gccatgtact actgtgccag aggcaatgat 300

ggttactact cgittgctta ctggggccaa gggactctgg tcactgtctc ttca 354

<210> 73

<211> 118

<212> PRT

<213> Artificial Sequence

<220><223> Description of Artificial Sequence: Immunoglobulin heavy chain

<400> 73

Gln Val Gln Leu Lys Glu Ser Gly Pro Gly Leu Val Ala Pro Ser Gln

1                    5                    10                    15

Ser Leu Ser Ile Thr Cys Thr Val Ser Gly Phe Ser Leu Ser Arg Tyr

                  20                    25                    30

Ser Val His Trp Val Arg Gln Pro Pro Gly Lys Gly Leu Glu Trp Leu

                  35                    40                    45

Gly Met Ile Trp Gly Gly Gly Ser Thr Asp Tyr Asn Ser Ala Leu Lys

                  50                    55                    60

Ser Arg Leu Ser Ile Ser Lys Asp Asn Ser Lys Ser Gln Val Phe Leu

65                    70                    75                    80

Lys Met Asn Ser Leu Gln Thr Asp Asp Thr Ala Met Tyr Tyr Cys Ala

                  85                    90                    95

Arg Gly Asn Asp Gly Tyr Tyr Ser Phe Ala Tyr Trp Gly Gln Gly Thr

                  100                    105                    110

Leu Val Thr Val Ser Ser

                  115

<210> 74

<211> 12

<212> PRT

<213> Artificial Sequence

<220><223> Description of Artificial Sequence: Lytic peptide

<400> 74

Lys Leu Ala Lys Leu Ala Lys Lys Lys Leu Ala Lys

1                    5                    10

<210> 75

<211> 6

<212> PRT

<213> Artificial Sequence

<220><223> Description of Artificial Sequence: Linker

<400> 75

Asn Arg Val Arg Arg Ser

1 5

<210> 76

<211> 2217

<212> DNA

<213> Artificial Sequence

<220><223> Description of Artificial Sequence: Her2/neu antibody

<400> 76

```

catatgcatc accaccacca ccacgacgac gacgacaaag atattcaaat gaccagtc 60
ccgagcagcc tgagtgcctc cgttggcgac cgcgtgacca ttactgccc tgcgagccag 120
gatgtcaaca ccgcggtggc ctggtatcag caaaaaccgg gcaaagcgc gaaactgtg 180
atctattcag ctcgtttct gtacagcggg gttccgtctc gtttcagcgg ctctcgcagt 240

ggtaccgatt ttaccctgac gattagctct ctgcagccgg aagactttgc gacgtattac 300
tgccagcaac attacaccac gccgccgacc ttcggccagg gtacgaaagt ggaaatcaaa 360
ggttccacct caggcgggtgg cagtggtggc ggttccggcg gtggcggtag ttccgaagtt 420
cagctggtcg aaagtggcgg tggcctggtt caaccgggtg gctcactgcg tctgtcgtgt 480
gcagcaagcg gtttcaacat caaagatacc tacatccact gggttcgtca ggcgccgggc 540
aaaggtctgg aatgggtcgc ccgcatttac ccgaccaatg gctatacgcg ttacgcagat 600
agcgtgaaag gtcgctttac catctctgcg gacaccagta aaaacacggc ctatctgcag 660

atgaatagcc tgcgtgcgga agatacggcc gtttattact gctctcgtg ggggtgcgat 720
ggcttctatg ctatggacta ctggggccag ggtaccctgg tgacggtttc atcgggtcag 780
ccgcgtgaac cgcaagtgtg taccctgccg ccgtcacgcg atgaactgac gaaaaaccag 840
gtgtcgtgta cgtgtctggt taaaggcttt tacccgagcg acatcgcggt tgaatgggaa 900
tctaattggtc aaccgaaaa caattataaa accacgccgc cggtcctgga tagtgacggc 960
tcctttttcc tgtacagtaa actgaccgtg gataaatccc gttggcagca gggtaacgtc 1020
ttctcgtgta gcgtgatgca tgaagccctg cataatcact ataccagaa atctctgagt 1080

ctgtccccgg gcaaaggttc aacgtcgggt ggcggttccg gcggtggctc aggtgdcggt 1140
ggcagctctg gccaaaccgg cgaaccgcag gtttacacc tgccgccgag ccgtgacgaa 1200
ctgacaaaa accaagtcag cctgacgtgc ctggtgaaag gcttttacc gagtgacatt 1260

```

gcagttgaat gggaatccaa tggtcagccg gaaaataact acaaaacgac gccgccggtt 1320  
 ctggattcag acggctcgtt tttcctgtac tcaaaactga ccgtcgataa atcgcgctgg 1380  
 caacagggta acgttttcag ctgctctgtc atgcacgaag ccctgcacaa ccattatacc 1440  
 cagaaaagtc tgcacctgtc accgggcaaa gaagtgcagc tggttgaatc tggtagcggt 1500

ctggtgcaac cgggcggttc gctgcgtctg agctgtgcag cttctggctt taatattaaa 1560  
 gacacgtaca tcactgggt gcgtcaggca cgggtaaaag gcctggaatg ggttgcctgt 1620  
 atctatccga cgaacggtta tacgcgttac gccgatagcg tcaaaggccg tttaccatc 1680  
 agtgcagaca cctccaaaa cagcgttat ctgcagatga atagtctgcg tgcagaagat 1740  
 accgctgttt attactgcag ccgctggggc ggtgatggct tctatgcaat ggattattgg 1800  
 ggtcaaggta ccctggtcac cgtgagttcc ggttcgacca gcggcggtgg ctgaggtggc 1860  
 ggttcgggcg gtggcggttc atcggacatt cagatgacgc aaagcccag ctctctgtct 1920

gcgagtgttg gcgatcgtg caccatcacg tgcgcgcct ctgaggacgt gaataccgca 1980  
 gttgcttgg accaacaaaa accgggcaaa gcaccgaac tgctgattta ctccgcttca 2040  
 ttctgtaca gcggtgtgcc gtctcgtttt tcgggcagcc gctctggtac cgatttcacc 2100  
 ctgacgatta gttccctgca accggaagat ttcgccacct actactgcca gcaacactat 2160  
 acgaccccgc cgacgtttgg tcagggcacg aaagtggaaa ttaaataatg aaagctt 2217

<210> 77

<211> 2277

<212> DNA

<213> Artificial Sequence

<220><223> Description of Artificial Sequence: Her2/neu antibody

<400> 77

catatgcatc accaccacca ccacgacgac gacgacaaag atattcaaat gaccagttcc 60  
 ccgagcagcc tgagtgcctc cgttggcgac cgcgtgacca ttactgccc tgcgagccag 120  
 gatgtcaaca ccgcggtggc ctggtatcag caaaaaccgg gcaaagcgc gaaactgctg 180  
 atctattcag cctcgtttct gtacagcggg gttccgtctc gtttcagcgg ctctcgcagt 240  
 ggtaccgatt ttacctgac gattagctct ctgcagccgg aagactttgc gacgtattac 300  
 tgccagcaac attacaccac gccgcgcgacc ttcggccagg gtacgaaagt ggaaatcaaa 360  
 ggttcacct caggcggtag cagtggtagc ggttcggcg gtggcgtag ttccgaagtt 420

cagctggtcg aaagtggcgg tggcctggtt caaccgggtg gctcactgcg tetgtcgtgt 480

gcagcaagcg gtttcaacat caaagatacc tacatccact gggttcgtca ggcgccgggc 540

aaaggctcgg aatgggtcgc ccgcatttac ccgaccaatg gctatacgcg ttacgcagat 600  
 agcgtgaaag gtcgctttac catctctcgc gacaccagta aaaacacggc ctatctgcag 660  
 atgaatagcc tgcgtgcgga agatacggcc gtttattact gctctcgcctg ggggtggcgat 720  
 ggctttctatg ctatggacta ctggggccag ggtaccctgg tgacggtttc atcgggtcag 780  
 ccgcgtgaac cgcaagtgtg taccctgccc ccgtcacgcg atgaactgac gaaaaaccag 840  
  
 gtgtcgcgtg cgtgtctcgt taaaggcttt tacccgagcg acatcgcggt tgaatgggaa 900  
 tctaattggc aaccggaaaa caattataaa accacgccgc cggctctgga tagtgacggc 960  
 tcctttttcc tgtacagtaa actgaccctg gataaatccc gttggcagca gggtaacgtc 1020  
 ttctcgtgta gcgtgatgca tgaagccctg cataatcact ataccagaa atctctgagt 1080  
 ctgtccccgg gcaaaggttc aacgtcgggt ggcggttccg gcggtggctc aggtggcgggt 1140  
 ggagctctg gccaacccgc cgaaccgcag gtttacacc tgccgccgag ccgtgacgaa 1200  
 ctgacaaaa accaagtcag cctgacgtgc ctggtgaaag gcttttacc gagtgacatt 1260  
  
 gcagttgaat gggaatccaa tggtcagccg gaaaataact aaaaaacgac gccgccggtt 1320  
 ctggattcag acggctcgtt ttctctgtac tcaaaactga ccgtcgataa atcgcgctgg 1380  
 caacagggtg acgttttcag ctgctctgct atgcacgaag ccctgcacaa ccattatacc 1440  
 cagaaaagtc tgtccctgtc accgggcaaa gaagtgcagc tggttgaatc tgggtggcgg 1500  
 ctggtgcaac cgggcggttc gctgcgtctg agctgtgcag cttctggctt taatattaaa 1560  
 gacacgtaca tccactgggt gcgtcaggca ccgggtaag gcctggaatg ggttgctcgt 1620  
 atctatccga cgaacggtta tacgcgttac gccgatagcg tcaaaggccg ttttaccatc 1680  
  
 agtgcagaca cctccaaaa cacggcttat ctgcagatga atagtctcgc tgcagaagat 1740  
 accgtgtttt attactgcag ccgctggggc ggtgatggct tctatgcaat ggattattgg 1800  
 ggtcaaggta cctgggtcac cgtgagttcc ggttcgacca gcggcgggtg ctcaggtggc 1860  
 ggttcgggcg gtggcggttc atcggacatt cagatgacgc aaagcccag ctctctgtct 1920  
 gcgagtgttg gcgatcgtgt caccatcacg tgtcgcgct ctcaggacgt gaataccgca 1980  
 gttgcttggg accaacaaaa accgggcaaa gcaccgaaac tgcgtattta ctcccgttea 2040  
 ttctgtaca gcggtgtgcc gtctcgtttt tcgggcagcc gctctggtac cgatttcacc 2100  
  
 ctgacgatta gttccctgca accggaagat ttcgccacct actactgcca gcaaacactat 2160  
 acgaccccgc cgacgtttgg tcagggcacg aaagtggaaa ttaaggcag caaatttgcg 2220  
 aaattcgcca aaaaattcgc aaaattcgcg aaaaaattcg cgaaataatg aaagctt 2277

<210> 78

<211> 2265

<212> DNA

<213> Artificial Sequence

<220><223> Description of Artificial Sequence: Her2/neu antibody

<400> 78

```

catatgaaa atctgtattt ccaagtgat attcaaatga cccagtcccc gagcagcctg      60
agtgccctccg ttggcgaccg cgtgaccatt acgtgccgtg cgagccagga tgtcaacacc      120

gcggtggcct ggtatcagca aaaaccgggc aaagcgccga aactgctgat ctattcagcc      180
tcgtttctgt acagcgggtg tccgtctcgt ttcagcggct ctcgcagtgg taccgatttt      240
accctgacga ttagctctct gcagccggaa gactttgcga cgtattactg ccagcaacat      300
tacaccacgc cgccgacctt cggccagggt acgaaagtgg aaatcaaagg ttccacctca      360
ggcggtagca gtggtggcgg ttccggcggg ggcggtagtt ccgaagttca gctggtcgaa      420
agtggcgggt gcctggttca accgggtggc tcaactgcgtc tgtcgtgtgc agcaagcggg      480
ttcaacatca aagataccta catccactgg gttcgtcagg cgccgggcaa aggtctggaa      540

tgggtcgccc gcattttacc gaccaatggc tatacgcgtt acgcagatag cgtgaaaggt      600
cgctttacca tcctcgcgga caccagtaa aacacggcct atctgcagat gaatagcctg      660
cgtgcggaag atacggccgt ttattactgc tctcgtggg gtggcgatgg ctctatgct      720
atggactact ggggccaggg tacctgggtg acggtttcat cgggtcagcc gcgtgaaccg      780
caagtgtata ccctgccgcc gtcacgcgat gaactgacga aaaaccaggt gtcgctgacg      840
tgtctggtta aaggctttta cccgagcgac atcgcggttg aatgggaatc taatggtcaa      900
ccgaaaaaca attataaac cacgccgccg gtccctggata gtgacggctc ctttttctg      960

tacagtaaac tgaccgtgga taaatcccgt tggcagcagg gtaacgtctt ctctgtgtagc      1020
gtgatgcatg aagccctgca taatcactat acccagaaat ctctgagtct gtccccgggc      1080
aaaggttcaa cgtcgggtgg cggttccggc ggtggctcag gtggcgggtg cagctctggc      1140
caaccgcgcg aaccgcaggt ttacacctg ccgccgagcc gtgacgaact gacaaaaaac      1200
caagtcagcc tgacgtgctt ggtgaaagc ttttaccga gtgacattgc agttgaatgg      1260
gaatccaatg gtcagccgga aaataactac aaaacgacgc cgccggttct ggattcagac      1320
ggctcgtttt tctgtactc aaaactgacc gtcgataaat cgcgctggca acagggtaac      1380

gttttcagct gcctgtcat gcacgaagcc ctgcacaacc attataacca gaaaagtctg      1440
tcctgtcac cgggcaaaga agtgcagctg gttgaatctg gtggcggctc ggtgcaaccg      1500
ggcggttcgc tgcgtctgag ctgtgcagct tctggcttta atattaaga cacgtacatc      1560
cactgggtgc gtcagccacc gggtaaagc ctggaatggg ttgctcgtat ctatccgacg      1620

```

aacggttata cgcgttacgc cgatagcgtc aaaggccgtt ttaccatcag tgcagacacc 1680  
tccaaaaaca cggcttatct gcagatgaat agtctgcgtg cagaagatac cgctgtttat 1740  
tactgcagcc gctggggcgg tgatggcttc tatgcaatgg attattgggg tcaaggtacc 1800

ctggtcaccg tgagtccgg ttcgaccagc ggcggtggct caggtggcgg ttcgggcggt 1860  
ggcggttcat cggacattca gatgacgcaa agcccagct ctctgtctgc gagtgttggc 1920  
gatcgtgtca ccatacagtg tcgcccctct caggacgtga ataccgcagt tgcttggtag 1980  
caacaaaaac cgggcaaagc accgaaactg ctgatttact ccgcttcatt cctgtacagc 2040  
ggtgtgccgt ctctgttttc gggcagccgc tctggtaccg atttcaccct gacgattagt 2100  
tccttgaac cgggaagattt cgccacctac tactgccagc aacctatac gaccccgcg 2160  
acgtttggtc agggcacgaa agtggaat aaaggcagca aactggcgaa actggcctaaa 2220

aaactggcaa aactggcgaa aaaactggcg aaataatgaa agctt 2265

<210> 79  
<211> 2277  
<212> DNA  
<213> Artificial Sequence  
<220><223> Description of Artificial Sequence: Her2/neu antibody  
<400> 79

catatgaaa atctgtattt ccaagtgat attcaaatga cccagtccc gagcagcctg 60  
agtgccctcg ttggcgaccg cgtgaccatt acgtgccgtg cgagccagga tgtcaacacc 120  
gcggtggcct ggiatcagca aaaaccgggc aaagcgcga aactgctgat ctattcagcc 180  
tcgtttctgt acagcgggtg tccgtctcgt ttcagcggct ctgcagtggg taccgatttt 240

accctgacga ttagctctct gcagccggaa gactttgcga cgtattactg ccagcaacat 300  
tacaccacgc cgccgacctt cggccagggt acgaaagtgg aatcaaagg ttccacctca 360  
ggcgggtggca gtggtggcgg ttccggcggg ggcggtagtt ccgaagtca gctggtcgaa 420  
agtggcgggtg gcttggttca accgggtggc tcaactgcgtc tgtcgtgtgc agcaagcggg 480  
ttcaacatca aagataccta catccactgg gttcgtcagg cgccgggcaa aggtctggaa 540  
tgggtcgccc gcatttacc gaccaatggc tatacgcgtt acgcagatag cgtgaaaggt 600  
cgctttacca tcctgcgga caccagtaaa aacacggcct atctgcagat gaatagcctg 660

cgctcggaag atacggcctt ttattactgc tctcgtggg gtggcgatgg ctctctatgct 720  
atggactact ggggcccaggg taccctgggt acggtttcat cgggtcagcc gcgtgaaccg 780  
caagtgtata ccctgccgcc gtcacgcgat gaactgacga aaaaccaggt gtcgctgacg 840

tgtctggtta aaggctttta cccgagcgac atcgcggttg aatgggaatc taatggtcaa 900  
 ccggaaaaca attataaac cacgccgccc gtccctggata gtgacggctc ctttttcctg 960  
 tacagtaaac tgaccgtgga taaatcccgt tggcagcagg gtaacgtctt ctctgttagc 1020  
 gtgatgcatg aagccctgca taatcactat acccagaaat ctctgagtct gtccccgggc 1080  
  
 aaaggttcaa cgtcgggtgg cggttccggc ggtggctcag gtggcgggtg cagctctggc 1140  
 caaccgcgag aaccgcaggt ttacacctg ccgccgagcc gtgacgaact gaccaaaaac 1200  
 caagtacgcc tgacgtgcct ggtgaaaggc ttttaccga gtgacattgc agttgaaatg 1260  
 gaatccaatg gtcagccgga aaataactac aaaacgacgc cgccggttct ggattcagac 1320  
 ggctcgtttt tctgtactc aaaactgacc gtcgataaat cgcgctggca acagggtaac 1380  
 gttttcagct gctctgtcat gcacgaagcc ctgcacaacc attatacca gaaaagtctg 1440  
 tcctgtcac cgggcaaaga agtgcagctg gttgaaatctg gtggcggctc ggtgcaaccg 1500  
  
 ggccggttcgc tgcgtctgag ctgtgcagct tctggcttta atattaaga cacgtacatc 1560  
 cactgggtgc gtcaggcacc gggtaaaggc ctggaatggg ttgctcgtat ctatccgacg 1620  
 aacggttata cgcgttacgc cgatagcgtc aaaggccggt ttaccatcag tgcagacacc 1680  
 tccaaaaaca cggcttatct gcagatgaat agtctgcgtg cagaagatac cgctgtttat 1740  
 tactgcagcc gctggggcgg tgatggcttc tatgcaatgg attattgggg tcaaggtacc 1800  
 ctggtcaccg tgagttccgg ttcgaccagc ggcggtggct cagggtggcg ttcgggcggt 1860  
 ggccggttcat cggacattca gatgacgcaa agcccagct ctctgtctgc gagtgttggc 1920  
  
 gatcgtgtea ccacacgtg tcgcgcctct caggacgtga ataccgcagt tgcttggtag 1980  
 caacaaaaac cgggcaaagc accgaaactg ctgatttact ccgcttcatt cctgtacagc 2040  
 ggtgtgccgt ctctgttttc gggcagccgc tctggtaccg attcacct gacgattagt 2100  
 tccttgcaac cgggaagatt cgccacctac tactgccagc aacctatac gaccccgcg 2160  
 acgtttggtc agggcacgaa agtggaaat aaaaaccgtg tgcgtcgag caaatttgcg 2220  
 aaattcgcca aaaaatttgc aaaattcgtc aaaaaattg cgaaataatg aaagctt 2277  
  
 <210> 80  
 <211> 2289  
 <212> DNA  
 <213> Artificial Sequence  
  
 <220><223> Description of Artificial Sequence: Her2/neu antibody  
 <400> 80  
 catatgcatc accaccacca ccacgacgac gacgacaaag atattcaat gaccagttcc 60

ccgagcagcc tgagtgcctc cgttggcgac cgcgtgacca ttacgtgccg tgcgagccag 120  
 gatgtcaaca ccgcggtggc ctggtatcag caaaaaccgg gcaaagcgcc gaaactgctg 180  
 atctattcag cctcgtttct gtacagcggg gttccgtctc gtttcagcgg ctctcgcagt 240  
 ggtaccgatt ttaccctgac gattagctct ctgcagccgg aagactttgc gacgtattac 300  
 tgccagcaac attacaccac gccgccgacc ttcggccagg gtacgaaagt ggaaatcaaa 360  
  
 ggttccacct caggcgggtg cagtgggtggc ggttccggcg gtggcggtag ttccgaagtt 420  
 cagctggctg aaagtggcgg tggcctggtt caaccgggtg gctcactgcg tctgtcgtgt 480  
 gcagcaagcg gtttcaacat caaagatacc tacatccact gggttcgtca ggcgccgggc 540  
 aaaggctcgg aatgggtcgc ccgcatttac ccgaccaatg gctatacgcg ttaccgagat 600  
 agcgtgaaag gtcgctttac catctctgcg gacaccagta aaaacacggc ctatctgcag 660  
 atgaatagcc tgcgtgcgga agatacggcc gtttattact gctctcgtg ggggtggcgt 720  
 ggcttctatg ctatggacta ctggggccag ggtaccctgg tgacggtttc atcgggtcag 780  
  
 ccgcgtgaac cgcaagtga taccctgccg ccgtcacgcg atgaactgac gaaaaaccag 840  
 gtgtcgtga cgtgtctggt taaaggcttt tacccgagcg acatcgcggt tgaatgggaa 900  
 tctaattggtc aaccgaaaa caattataaa accacgccgc cggctctgga tagtgacggc 960  
 tcctttttcc tgtacagtaa actgaccgtg gataaatccc gttggcagca gggtaacgtc 1020  
 ttctcgtgta gegtgatgca tgaagccctg cataatcact ataccagaa atctctgagt 1080  
 ctgtccccgg gcaaaggttc aacgtcgggt ggcggttccg gcggtggctc aggtggcgg 1140  
 ggcagctctg gccaaccccg cgaaccgcag gtttacacc tgccgccgag ccgtgacgaa 1200  
  
 ctgaccaaaa accaagtcag cctgacgtgc ctggtgaaag gcttttacc gagtgacatt 1260  
 gcagttgaat gggaatccaa tggtcagccg gaaaataact acaaaacgac gccgccggtt 1320  
 ctggattcag acggctcgtt tttctgtac tcaaaactga ccgtcgataa atcgcgctgg 1380  
 caacagggta acgttttcag ctgctctgtc atgcacgaag ccctgcacaa ccattatacc 1440  
 cagaaaagtc tgtccctgtc accgggcaaa gaagtgcagc tggttgaatc tgggtggcgg 1500  
 ctggtgcaac cgggcggttc gctgcgtctg agctgtgcag cttctggctt taatattaaa 1560  
 gacacgtaca tccactgggt gcgtcaggca ccgggtaaag gcctggaatg ggttgctcgt 1620  
  
 atctatccga cgaaccggtta tacgcgttac gccgatagcg tcaaaggccg ttttaccatc 1680  
 agtgcagaca cctccaaaa cacggcttat ctgcagatga atagtctgcg tgcagaagat 1740  
 accgctgttt attactgcag ccgctggggc ggtgatggct tctatgcaat ggattattgg 1800  
 ggtcaaggta cctgggtcac cgtgagttcc ggttcgacca gcggcgggtg ctgaggtggc 1860  
 ggttcggcg gtggcggttc atcggacatt cagatgacgc aaagcccag ctctctgtct 1920

gcgagtgttg gcgatcgtgt caccatcacg tgcgcgcct ctcaggacgt gaataccgca 1980  
 gttgcttggc accaacaana accgggcaaa gcaccgaac tgctgattta ctccgcttca 2040

ttcctgtaca gcggtgtgcc gtctcgTTTT tcgggcagcc gctctggtac cgatttcacc 2100  
 ctgacgatta gttccctgca accggaagat ttcgccacct actactgcca gcaactat 2160  
 acgacccccg cgacgtttgg tcagggcacg aaagtggaaa ttaaaaaccg tgtgcgtcgc 2220  
 agcaaaactgg cgaactggc caaaaaactg gcaaaaactgg ctaaaaaact ggcgaaataa 2280  
 tgaaagctt 2289

<210> 81  
 <211> 2313  
 <212> DNA  
 <213> Artificial Sequence  
 <220><223> Description of Artificial Sequence: Her2/neu antibody

<400> 81

catatggaaa atctgtatTT ccaaggtaaa tttgcgaaat tcgccaaaaa attcgcaaaa 60  
 ttcgcgaaaa aattcgcgaa agatattcaa atgaccagcT ccccgagcag cctgagtgcc 120  
 tccgttggcg accgcgtgac cattacgtgc cgtgcgagcc aggatgtcaa caccgcggtg 180  
 gcctgtgata agcaaaaacc gggcaaaagcg ccgaaaactgc tgatctattc agcctcgttt 240  
 ctgtacagcg gtgttccgtc tcgtttcagc ggctctcgca gtggtaccga ttttacctg 300  
 acgattagct ctctgcagcc ggaagacttt gcgacgtatt actgccagca acattacacc 360  
 acgcccgcca ccttcggcca gggtagcaaa gtggaaatca aaggttccac ctcaggcggT 420

ggcagtggtg gcggttccgg cggTggcggT agttccgaag ttcagctggt cgaagtggc 480  
 ggtggcctgg ttcaaccggg tggctcactg cgtctgtcgt gtgcagcaag cggtttcaac 540  
 atcaaagata cctacatcca ctgggttcgt caggcgccgg gcaaaggtct ggaatgggtc 600  
 gcccgcattt acccgaccaa tggctatacg cgttacgcag atagcgtgaa aggtcgtttt 660  
 accatctctg cggacaccag taaaaacacg gcctatctgc agatgaatag cctgcgtgcg 720  
 gaagatacgg ccgtttatta ctgctctcgc tggggtggcg atggcttcta tgctatggac 780  
 tactggggcc aggttacctt ggtgacggtt tcatcgggtc agcccgctga accgcaagtG 840

tataccctgc cgccgtcacg cgatgaactg acgaaaaacc aggtgtcgct gacgtgtctg 900  
 gttaaaggct tttacccgag cgacatcgcg gttgaatggg aatctaattg tcaaccggaa 960  
 aacaattata aaaccacgcc gccggtcctg gatagtgacg gctccttttt cctgtacagt 1020  
 aaactgaccg tggataaatc ccgttggcag cagggtaacg tcttctcgtg tagcgtgatg 1080

catgaagccc tgcataatca ctatacccag aaatctctga gtctgtcccc gggcaaaggt 1140  
 tcaacgtcgg gtggcggttc cggcgggtggc tcaggtggcg gtggcagctc tggccaaccg 1200  
 cgcgaaccgc aggttttacac cctgccgccc agccgtgacg aactgaccaa aaaccaagtc 1260

agcctgacgt gcctgggtgaa aggcttttac ccgagtgaca ttgcagttga atgggaatcc 1320  
 aatggtcagc cggaaaaata ctacaaaacg acgccgccgg ttctggattc agacggctcg 1380  
 tttttcctgt actcaaaact gaccgtcgat aaatcgcgct ggcaacaggg taacgttttc 1440  
 agctgctctg tcatgcacga agccctgcac aaccattata cccagaaaag tctgtccctg 1500  
 tcaccgggca aagaagtgca gctggttgaa tctggtggcg gtctggtgca accgggcggt 1560  
 tcgctgcgtc tgagctgtgc agcttctggc ttaaatatta aagacacgta catccactgg 1620  
 gtgcgtcagg caccgggtaa aggcctggaa tgggttgctc gtatctatcc gacgaacggt 1680

tatacgcgtt acgccgatag cgtcaaaggc cgttttacca tcagtgcaga cacctccaaa 1740  
 aacacggctt atctgcagat gaatagtctg cgtgcagaag ataccgctgt ttattactgc 1800  
 agccgctggg gcggtgatgg cttctatgca atggattatt ggggtcaagg taccctggtc 1860  
 accgtgagtt ccggttcgac cagcggcggt ggctcaggtg gcggttcggg cgggtggcggt 1920  
 tcatcggaca ttcagatgac gcaaagcccc agctctctgt ctgcgagtgt tggcgatcgt 1980  
 gtcaccatca cgtgtcgcgc ctctcaggac gtgaataccg cagttgcttg gtaccaacaa 2040  
 aaaccgggca aagcaccgaa actgctgatt tactccgctt cattcctgta cagcgggtgtg 2100

ccgtctcgtt ttcgggcag ccgctctggt accgatttca ccctgacgat tagttccctg 2160  
 caaccggaag atttcgccac ctactactgc cagcaacact atacgacccc gccgacgttt 2220  
 ggtcagggca cgaagtgga aattaaanaa ttgcaaat tcgccaaaaa attcgcaaaa 2280  
 ttcgcgaaaa aattcgcgaa ataatgaaag ctt 2313

<210> 82

<211> 948

<212> PRT

<213> Artificial Sequence

<220><223> Description of Artificial Sequence: Recombinant anti-Her2  
 antibody

<400> 82

Asp Ile Gln Met Thr Gln Ser Pro Ser Ser Leu Ser Ala Ser Val Gly

1 5 10 15

Asp Arg Val Thr Ile Thr Cys Arg Ala Ser Gln Asp Val Asn Thr Ala

20 25 30  
 Val Ala Trp Tyr Gln Gln Lys Pro Gly Lys Ala Pro Lys Leu Leu Ile  
 35 40 45  
 Tyr Ser Ala Ser Phe Leu Tyr Ser Gly Val Pro Ser Arg Phe Ser Gly  
 50 55 60  
 Ser Arg Ser Gly Thr Asp Phe Thr Leu Thr Ile Ser Ser Leu Gln Pro  
  
 65 70 75 80  
 Glu Asp Phe Ala Thr Tyr Tyr Cys Gln Gln His Tyr Thr Thr Pro Pro  
 85 90 95  
 Thr Phe Gly Gln Gly Thr Lys Val Glu Ile Lys Gly Ser Thr Ser Gly  
 100 105 110  
 Gly Gly Ser Gly Gly Gly Ser Gly Gly Gly Gly Ser Ser Glu Val Gln  
 115 120 125  
 Leu Val Glu Ser Gly Gly Gly Leu Val Gln Pro Gly Gly Ser Leu Arg  
  
 130 135 140  
 Leu Ser Cys Ala Ala Ser Gly Phe Asn Ile Lys Asp Thr Tyr Ile His  
 145 150 155 160  
 Trp Val Arg Gln Ala Pro Gly Lys Gly Leu Glu Trp Val Ala Arg Ile  
 165 170 175  
 Tyr Pro Thr Asn Gly Tyr Thr Arg Tyr Ala Asp Ser Val Lys Gly Arg  
 180 185 190  
 Phe Thr Ile Ser Ala Asp Thr Ser Lys Asn Thr Ala Tyr Leu Gln Met  
  
 195 200 205  
 Asn Ser Leu Arg Ala Glu Asp Thr Ala Val Tyr Tyr Cys Ser Arg Trp  
 210 215 220  
 Gly Gly Asp Gly Phe Tyr Ala Met Asp Tyr Trp Gly Gln Gly Thr Leu  
 225 230 235 240  
 Val Thr Val Ser Ser Pro Cys Pro Ala Pro Glu Leu Leu Gly Gly Pro  
 245 250 255  
 Ser Val Phe Leu Phe Pro Pro Lys Pro Lys Asp Thr Leu Met Ile Ser  
  
 260 265 270

Arg Thr Pro Glu Val Thr Cys Val Val Val Asp Val Ser His Glu Asp  
 275 280 285  
 Pro Glu Val Lys Phe Asn Trp Tyr Val Asp Gly Val Glu Val His Asn  
 290 295 300  
 Ala Lys Thr Lys Pro Arg Glu Glu Gln Tyr Asn Ser Thr Tyr Arg Val  
 305 310 315 320  
 Val Ser Val Leu Thr Val Leu His Gln Asp Trp Leu Asn Gly Lys Glu  
 325 330 335  
 Tyr Lys Cys Lys Val Ser Asn Lys Ala Leu Pro Ala Pro Ile Glu Lys  
 340 345 350  
 Thr Ile Ser Lys Ala Lys Gly Gln Pro Arg Glu Pro Gln Val Tyr Thr  
 355 360 365  
 Leu Pro Pro Ser Arg Asp Glu Leu Thr Lys Asn Gln Val Ser Leu Thr  
 370 375 380  
 Cys Leu Val Lys Gly Phe Tyr Pro Ser Asp Ile Ala Val Glu Trp Glu  
 385 390 395 400  
 Ser Asn Gly Gln Pro Glu Asn Asn Tyr Lys Thr Thr Pro Pro Val Leu  
 405 410 415  
 Asp Ser Asp Gly Ser Phe Phe Leu Tyr Ser Lys Leu Thr Val Asp Lys  
 420 425 430  
 Ser Arg Trp Gln Gln Gly Asn Val Phe Ser Cys Ser Val Met His Glu  
 435 440 445  
 Ala Leu His Asn His Tyr Thr Gln Lys Ser Leu Ser Leu Ser Pro Gly  
 450 455 460  
 Lys Gly Ser Thr Ser Gly Gly Gly Ser Gly Gly Gly Ser Gly Gly Gly  
 465 470 475 480  
 Gly Ser Ser Gly Gln Pro Arg Glu Pro Gln Val Tyr Thr Leu Pro Pro  
 485 490 495  
 Ser Arg Asp Glu Leu Thr Lys Asn Gln Val Ser Leu Thr Cys Leu Val  
 500 505 510  
 Lys Gly Phe Tyr Pro Ser Asp Ile Ala Val Glu Trp Glu Ser Asn Gly



Gly Arg Phe Thr Ile Ser Ala Asp Thr Ser Lys Asn Thr Ala Tyr Leu

770 775 780

Gln Met Asn Ser Leu Arg Ala Glu Asp Thr Ala Val Tyr Tyr Cys Ser

785 790 795 800

Arg Trp Gly Gly Asp Gly Phe Tyr Ala Met Asp Tyr Trp Gly Gln Gly

805 810 815

Thr Leu Val Thr Val Ser Ser Gly Ser Thr Ser Gly Gly Gly Ser Gly

820 825 830

Gly Gly Ser Gly Gly Gly Gly Ser Ser Asp Ile Gln Met Thr Gln Ser

835 840 845

Pro Ser Ser Leu Ser Ala Ser Val Gly Asp Arg Val Thr Ile Thr Cys

850 855 860

Arg Ala Ser Gln Asp Val Asn Thr Ala Val Ala Trp Tyr Gln Gln Lys

865 870 875 880

Pro Gly Lys Ala Pro Lys Leu Leu Ile Tyr Ser Ala Ser Phe Leu Tyr

885 890 895

Ser Gly Val Pro Ser Arg Phe Ser Gly Ser Arg Ser Gly Thr Asp Phe

900 905 910

Thr Leu Thr Ile Ser Ser Leu Gln Pro Glu Asp Phe Ala Thr Tyr Tyr

915 920 925

Cys Gln Gln His Tyr Thr Thr Pro Pro Thr Phe Gly Gln Gly Thr Lys

930 935 940

Val Glu Ile Lys

945

<210> 83

<211> 968

<212> PRT

<213> Artificial Sequence

<220><223> Description of Artificial Sequence: Lytic peptide conjugate

<

400> 83

Asp Ile Gln Met Thr Gln Ser Pro Ser Ser Leu Ser Ala Ser Val Gly

1                    5                    10                    15  
 Asp Arg Val Thr Ile Thr Cys Arg Ala Ser Gln Asp Val Asn Thr Ala  
                          20                    25                    30  
 Val Ala Trp Tyr Gln Gln Lys Pro Gly Lys Ala Pro Lys Leu Leu Ile  
                          35                    40                    45  
 Tyr Ser Ala Ser Phe Leu Tyr Ser Gly Val Pro Ser Arg Phe Ser Gly  
                          50                    55                    60  
  
 Ser Arg Ser Gly Thr Asp Phe Thr Leu Thr Ile Ser Ser Leu Gln Pro  
 65                    70                    75                    80  
 Glu Asp Phe Ala Thr Tyr Tyr Cys Gln Gln His Tyr Thr Thr Pro Pro  
                          85                    90                    95  
 Thr Phe Gly Gln Gly Thr Lys Val Glu Ile Lys Gly Ser Thr Ser Gly  
                          100                    105                    110  
 Gly Gly Ser Gly Gly Gly Ser Gly Gly Gly Gly Ser Ser Glu Val Gln  
                          115                    120                    125  
  
 Leu Val Glu Ser Gly Gly Gly Leu Val Gln Pro Gly Gly Ser Leu Arg  
                          130                    135                    140  
 Leu Ser Cys Ala Ala Ser Gly Phe Asn Ile Lys Asp Thr Tyr Ile His  
 145                    150                    155                    160  
 Trp Val Arg Gln Ala Pro Gly Lys Gly Leu Glu Trp Val Ala Arg Ile  
                          165                    170                    175  
 Tyr Pro Thr Asn Gly Tyr Thr Arg Tyr Ala Asp Ser Val Lys Gly Arg  
                          180                    185                    190  
  
 Phe Thr Ile Ser Ala Asp Thr Ser Lys Asn Thr Ala Tyr Leu Gln Met  
                          195                    200                    205  
 Asn Ser Leu Arg Ala Glu Asp Thr Ala Val Tyr Tyr Cys Ser Arg Trp  
                          210                    215                    220  
 Gly Gly Asp Gly Phe Tyr Ala Met Asp Tyr Trp Gly Gln Gly Thr Leu  
 225                    230                    235                    240  
 Val Thr Val Ser Ser Pro Cys Pro Ala Pro Glu Leu Leu Gly Gly Pro  
                          245                    250                    255

Ser Val Phe Leu Phe Pro Pro Lys Pro Lys Asp Thr Leu Met Ile Ser  
 260 265 270  
 Arg Thr Pro Glu Val Thr Cys Val Val Val Asp Val Ser His Glu Asp  
 275 280 285  
 Pro Glu Val Lys Phe Asn Trp Tyr Val Asp Gly Val Glu Val His Asn  
 290 295 300  
 Ala Lys Thr Lys Pro Arg Glu Glu Gln Tyr Asn Ser Thr Tyr Arg Val  
 305 310 315 320  
  
 Val Ser Val Leu Thr Val Leu His Gln Asp Trp Leu Asn Gly Lys Glu  
 325 330 335  
 Tyr Lys Cys Lys Val Ser Asn Lys Ala Leu Pro Ala Pro Ile Glu Lys  
 340 345 350  
 Thr Ile Ser Lys Ala Lys Gly Gln Pro Arg Glu Pro Gln Val Tyr Thr  
 355 360 365  
 Leu Pro Pro Ser Arg Asp Glu Leu Thr Lys Asn Gln Val Ser Leu Thr  
 370 375 380  
  
 Cys Leu Val Lys Gly Phe Tyr Pro Ser Asp Ile Ala Val Glu Trp Glu  
 385 390 395 400  
 Ser Asn Gly Gln Pro Glu Asn Asn Tyr Lys Thr Thr Pro Pro Val Leu  
 405 410 415  
 Asp Ser Asp Gly Ser Phe Phe Leu Tyr Ser Lys Leu Thr Val Asp Lys  
 420 425 430  
 Ser Arg Trp Gln Gln Gly Asn Val Phe Ser Cys Ser Val Met His Glu  
 435 440 445  
  
 Ala Leu His Asn His Tyr Thr Gln Lys Ser Leu Ser Leu Ser Pro Gly  
 450 455 460  
 Lys Gly Ser Thr Ser Gly Gly Gly Ser Gly Gly Gly Ser Gly Gly Gly  
 465 470 475 480  
 Gly Ser Ser Gly Gln Pro Arg Glu Pro Gln Val Tyr Thr Leu Pro Pro  
 485 490 495  
 Ser Arg Asp Glu Leu Thr Lys Asn Gln Val Ser Leu Thr Cys Leu Val



Arg Ile Tyr Pro Thr Asn Gly Tyr Thr Arg Tyr Ala Asp Ser Val Lys  
 755 760 765

Gly Arg Phe Thr Ile Ser Ala Asp Thr Ser Lys Asn Thr Ala Tyr Leu  
 770 775 780

Gln Met Asn Ser Leu Arg Ala Glu Asp Thr Ala Val Tyr Tyr Cys Ser  
 785 790 795 800

Arg Trp Gly Gly Asp Gly Phe Tyr Ala Met Asp Tyr Trp Gly Gln Gly  
 805 810 815

Thr Leu Val Thr Val Ser Ser Gly Ser Thr Ser Gly Gly Gly Ser Gly  
 820 825 830

Gly Gly Ser Gly Gly Gly Gly Ser Ser Asp Ile Gln Met Thr Gln Ser  
 835 840 845

Pro Ser Ser Leu Ser Ala Ser Val Gly Asp Arg Val Thr Ile Thr Cys  
 850 855 860

Arg Ala Ser Gln Asp Val Asn Thr Ala Val Ala Trp Tyr Gln Gln Lys  
 865 870 875 880

Pro Gly Lys Ala Pro Lys Leu Leu Ile Tyr Ser Ala Ser Phe Leu Tyr  
 885 890 895

Ser Gly Val Pro Ser Arg Phe Ser Gly Ser Arg Ser Gly Thr Asp Phe  
 900 905 910

Thr Leu Thr Ile Ser Ser Leu Gln Pro Glu Asp Phe Ala Thr Tyr Tyr  
 915 920 925

Cys Gln Gln His Tyr Thr Thr Pro Pro Thr Phe Gly Gln Gly Thr Lys  
 930 935 940

Val Glu Ile Lys Gly Ser Lys Phe Ala Lys Phe Ala Lys Lys Phe Ala  
 945 950 955 960

Lys Phe Ala Lys Lys Phe Ala Lys  
 965

<210> 84

<211> 214

<212> PRT

<213> Artificial Sequence

<220><223> Description of Artificial Sequence: Anti-Her2/neu light chain antibody

<400> 84

Asp Ile Gln Met Thr Gln Ser Pro Ser Ser Leu Ser Ala Ser Val Gly

1                    5                                    10                                    15

Asp Arg Val Thr Ile Thr Cys Arg Ala Ser Gln Asp Val Asn Thr Ala

                  20                                    25                                    30

Val Ala Trp Tyr Gln Gln Lys Pro Gly Lys Ala Pro Lys Leu Leu Ile

                  35                                    40                                    45

Tyr Ser Ala Ser Phe Leu Tyr Ser Gly Val Pro Ser Arg Phe Ser Gly

                  50                                    55                                    60

Ser Arg Ser Gly Thr Asp Phe Thr Leu Thr Ile Ser Ser Leu Gln Pro

65                                    70                                    75                                    80

Glu Asp Phe Ala Thr Tyr Tyr Cys Gln Gln His Tyr Thr Thr Pro Pro

                  85                                    90                                    95

Thr Phe Gly Gln Gly Thr Lys Val Glu Ile Lys Arg Thr Val Ala Ala

                  100                                    105                                    110

Pro Ser Val Phe Ile Phe Pro Pro Ser Asp Glu Gln Leu Lys Ser Gly

                  115                                    120                                    125

Thr Ala Ser Val Val Cys Leu Leu Asn Asn Phe Tyr Pro Arg Glu Ala

                  130                                    135                                    140

Lys Val Gln Trp Lys Val Asp Asn Ala Leu Gln Ser Gly Asn Ser Gln

145                                    150                                    155                                    160

Glu Ser Val Thr Glu Gln Asp Ser Lys Asp Ser Thr Tyr Ser Leu Ser

                  165                                    170                                    175

Ser Thr Leu Thr Leu Ser Lys Ala Asp Tyr Glu Lys His Lys Val Tyr

                  180                                    185                                    190

Ala Cys Glu Val Thr His Gln Gly Leu Ser Ser Pro Val Thr Lys Ser

                  195                                    200                                    205

Phe Asn Arg Gly Glu Cys

                  210

<210> 85

<211> 451

<212> PRT

<213> Artificial Sequence

<220><223> Description of Artificial Sequence: Her2/neu heavy chain antibody

<400> 85

Glu Val Gln Leu Val Glu Ser Gly Gly Gly Leu Val Gln Pro Gly Gly

1                    5                    10                    15

Ser Leu Arg Leu Ser Cys Ala Ala Ser Gly Phe Asn Ile Lys Asp Thr

                  20                    25                    30

Tyr Ile His Trp Val Arg Gln Ala Pro Gly Lys Gly Leu Glu Trp Val

                  35                    40                    45

Ala Arg Ile Tyr Pro Thr Asn Gly Tyr Thr Arg Tyr Ala Asp Ser Val

                  50                    55                    60

Lys Gly Arg Phe Thr Ile Ser Ala Asp Thr Ser Lys Asn Thr Ala Tyr

65                    70                    75                    80

Leu Gln Met Asn Ser Leu Arg Ala Glu Asp Thr Ala Val Tyr Tyr Cys

                  85                    90                    95

Ser Arg Trp Gly Gly Asp Gly Phe Tyr Ala Met Asp Tyr Trp Gly Gln

                  100                    105                    110

Gly Thr Leu Val Thr Val Ser Ser Ala Ser Thr Lys Gly Pro Ser Val

                  115                    120                    125

Phe Pro Leu Ala Pro Ser Ser Lys Ser Thr Ser Gly Gly Thr Ala Ala

                  130                    135                    140

Leu Gly Cys Leu Val Lys Asp Tyr Phe Pro Glu Pro Val Thr Val Ser

145                    150                    155                    160

Trp Asn Ser Gly Ala Leu Thr Ser Gly Val His Thr Phe Pro Ala Val

                  165                    170                    175

Leu Gln Ser Ser Gly Leu Tyr Ser Leu Ser Ser Val Val Thr Val Pro

                  180                    185                    190

Ser Ser Ser Leu Gly Thr Gln Thr Tyr Ile Cys Asn Val Asn His Lys

195	200	205	
Pro Ser Asn Thr Lys Val Asp Lys Lys Val Glu Pro Pro Lys Ser Cys			
210	215	220	
Asp Lys Thr His Thr Cys Pro Pro Cys Pro Ala Pro Glu Leu Leu Gly			
225	230	235	240
Gly Pro Ser Val Phe Leu Phe Pro Pro Lys Pro Lys Asp Thr Leu Met			
	245	250	255
Ile Ser Arg Thr Pro Glu Val Thr Cys Val Val Val Asp Val Ser His			
	260	265	270
Glu Asp Pro Glu Val Lys Phe Asn Trp Tyr Val Asp Gly Val Glu Val			
	275	280	285
His Asn Ala Lys Thr Lys Pro Arg Glu Glu Gln Tyr Asn Ser Thr Tyr			
	290	295	300
Arg Val Val Ser Val Leu Thr Val Leu His Gln Asp Trp Leu Asn Gly			
305	310	315	320
Lys Glu Tyr Lys Cys Lys Val Ser Asn Lys Ala Leu Pro Ala Pro Ile			
	325	330	335
Glu Lys Thr Ile Ser Lys Ala Lys Gly Gln Pro Arg Glu Pro Gln Val			
	340	345	350
Tyr Thr Leu Pro Pro Ser Arg Asp Glu Leu Thr Lys Asn Gln Val Ser			
	355	360	365
Leu Thr Cys Leu Val Lys Gly Phe Tyr Pro Ser Asp Ile Ala Val Glu			
	370	375	380
Trp Glu Ser Asn Gly Gln Pro Glu Asn Asn Tyr Lys Thr Thr Pro Pro			
385	390	395	400
Val Leu Asp Ser Asp Gly Ser Phe Phe Leu Tyr Ser Lys Leu Thr Val			
	405	410	415
Asp Lys Ser Arg Trp Gln Gln Gly Asn Val Phe Ser Cys Ser Val Met			
	420	425	430
His Glu Ala Leu His Asn His Tyr Thr Gln Lys Ser Leu Ser Leu Ser			
	435	440	445

Pro Gly Lys

450

<210> 86

<211> 234

<212> PRT

<213> Artificial Sequence

<220><223> Description of Artificial Sequence: Light chain antibody

<400> 86

Lys Phe Ala Lys Phe Ala Lys Lys Phe Ala Lys Phe Ala Lys Lys Phe

1 5 10 15

Ala Lys Gly Ser Asp Ile Gln Met Thr Gln Ser Pro Ser Ser Leu Ser

20 25 30

Ala Ser Val Gly Asp Arg Val Thr Ile Thr Cys Arg Ala Ser Gln Asp

35 40 45

Val Asn Thr Ala Val Ala Trp Tyr Gln Gln Lys Pro Gly Lys Ala Pro

50 55 60

Lys Leu Leu Ile Tyr Ser Ala Ser Phe Leu Tyr Ser Gly Val Pro Ser

65 70 75 80

Arg Phe Ser Gly Ser Arg Ser Gly Thr Asp Phe Thr Leu Thr Ile Ser

85 90 95

Ser Leu Gln Pro Glu Asp Phe Ala Thr Tyr Tyr Cys Gln Gln His Tyr

100 105 110

Thr Thr Pro Pro Thr Phe Gly Gln Gly Thr Lys Val Glu Ile Lys Arg

115 120 125

Thr Val Ala Ala Pro Ser Val Phe Ile Phe Pro Pro Ser Asp Glu Gln

130 135 140

Leu Lys Ser Gly Thr Ala Ser Val Val Cys Leu Leu Asn Asn Phe Tyr

145 150 155 160

Pro Arg Glu Ala Lys Val Gln Trp Lys Val Asp Asn Ala Leu Gln Ser

165 170 175

Gly Asn Ser Gln Glu Ser Val Thr Glu Gln Asp Ser Lys Asp Ser Thr

180 185 190

Tyr Ser Leu Ser Ser Thr Leu Thr Leu Ser Lys Ala Asp Tyr Glu Lys  
 195 200 205  
 His Lys Val Tyr Ala Cys Glu Val Thr His Gln Gly Leu Ser Ser Pro  
 210 215 220  
 Val Thr Lys Ser Phe Asn Arg Gly Glu Cys  
 225 230  
 <210> 87  
 <211> 235  
 <212>  
 > PRT  
 <213> Artificial Sequence  
 <220><223> Description of Artificial Sequence: Light chain antibody  
 <400> 87  
 Asp Ile Gln Met Thr Gln Ser Pro Ser Ser Leu Ser Ala Ser Val Gly  
 1 5 10 15  
 Asp Arg Val Thr Ile Thr Cys Arg Ala Ser Gln Asp Val Asn Thr Ala  
 20 25 30  
 Val Ala Trp Tyr Gln Gln Lys Pro Gly Lys Ala Pro Lys Leu Leu Ile  
 35 40 45  
  
 Tyr Ser Ala Ser Phe Leu Tyr Ser Gly Val Pro Ser Arg Phe Ser Gly  
 50 55 60  
 Ser Arg Ser Gly Thr Asp Phe Thr Leu Thr Ile Ser Ser Leu Gln Pro  
 65 70 75 80  
 Glu Asp Phe Ala Thr Tyr Tyr Cys Gln Gln His Tyr Thr Thr Pro Pro  
 85 90 95  
 Thr Phe Gly Gln Gly Thr Lys Val Glu Ile Lys Arg Thr Val Ala Ala  
 100 105 110  
  
 Pro Ser Val Phe Ile Phe Pro Pro Ser Asp Glu Gln Leu Lys Ser Gly  
 115 120 125  
 Thr Ala Ser Val Val Cys Leu Leu Asn Asn Phe Tyr Pro Arg Glu Ala  
 130 135 140  
 Lys Val Gln Trp Lys Val Asp Asn Ala Leu Gln Ser Gly Asn Ser Gln  
 145 150 155 160

Glu Ser Val Thr Glu Gln Asp Ser Lys Asp Ser Thr Tyr Ser Leu Ser  
 165 170 175

Ser Thr Leu Thr Leu Ser Lys Ala Asp Tyr Glu Lys His Lys Val Tyr  
 180 185 190

Ala Cys Glu Val Thr His Gln Gly Leu Ser Ser Pro Val Thr Lys Ser  
 195 200 205

Phe Asn Arg Gly Glu Cys Gly Ser Lys Phe Ala Lys Phe Ala Lys Lys  
 210 215 220

Phe Ala Lys Phe Ala Lys Lys Phe Ala Lys Ala  
 225 230 235

<210> 88

<211> 255

<212> PRT

<213> Artificial Sequence

<220><223> Description of Artificial Sequence: Light chain antibody

<400> 88

Lys Phe Ala Lys Phe Ala Lys Lys Phe Ala Lys Phe Ala Lys Lys Phe  
 1 5 10 15

Ala Lys Gly Ser Asp Ile Gln Met Thr Gln Ser Pro Ser Ser Leu Ser  
 20 25 30

Ala Ser Val Gly Asp Arg Val Thr Ile Thr Cys Arg Ala Ser Gln Asp  
 35 40 45

Val Asn Thr Ala Val Ala Trp Tyr Gln Gln Lys Pro Gly Lys Ala Pro  
 50 55 60

Lys Leu Leu Ile Tyr Ser Ala Ser Phe Leu Tyr Ser Gly Val Pro Ser  
 65 70 75 80

Arg Phe Ser Gly Ser Arg Ser Gly Thr Asp Phe Thr Leu Thr Ile Ser  
 85 90 95

Ser Leu Gln Pro Glu Asp Phe Ala Thr Tyr Tyr Cys Gln Gln His Tyr  
 100 105 110

Thr Thr Pro Pro Thr Phe Gly Gln Gly Thr Lys Val Glu Ile Lys Arg





Asn Ser Thr Tyr Arg Val Val Ser Val Leu Thr Val Leu His Gln Asp  
 325 330 335

Trp Leu Asn Gly Lys Glu Tyr Lys Cys Lys Val Ser Asn Lys Ala Leu  
 340 345 350

Pro Ala Pro Ile Glu Lys Thr Ile Ser Lys Ala Lys Gly Gln Pro Arg  
 355 360 365

Glu Pro Gln Val Tyr Thr Leu Pro Pro Ser Arg Asp Glu Leu Thr Lys  
 370 375 380

Asn Gln Val Ser Leu Thr Cys Leu Val Lys Gly Phe Tyr Pro Ser Asp  
 385 390 395 400

Ile Ala Val Glu Trp Glu Ser Asn Gly Gln Pro Glu Asn Asn Tyr Lys  
 405 410 415

Thr Thr Pro Pro Val Leu Asp Ser Asp Gly Ser Phe Phe Leu Tyr Ser  
 420 425 430

Lys Leu Thr Val Asp Lys Ser Arg Trp Gln Gln Gly Asn Val Phe Ser  
 435 440 445

Cys Ser Val Met His Glu Ala Leu His Asn His Tyr Thr Gln Lys Ser  
 450 455 460

Leu Ser Leu Ser Pro Gly Lys  
 465 470

<210> 90

<211> 472

<212> PRT

<213> Artificial Sequence

<220><223> Description of Artificial Sequence: Heavy chain antibody

<400> 90

Glu Val Gln Leu Val Glu Ser Gly Gly Gly Leu Val Gln Pro Gly Gly  
 1 5 10 15

Ser Leu Arg Leu Ser Cys Ala Ala Ser Gly Phe Asn Ile Lys Asp Thr  
 20 25 30

Tyr Ile His Trp Val Arg Gln Ala Pro Gly Lys Gly Leu Glu Trp Val  
 35 40 45

Ala Arg Ile Tyr Pro Thr Asn Gly Tyr Thr Arg Tyr Ala Asp Ser Val  
 50 55 60  
 Lys Gly Arg Phe Thr Ile Ser Ala Asp Thr Ser Lys Asn Thr Ala Tyr  
 65 70 75 80  
 Leu Gln Met Asn Ser Leu Arg Ala Glu Asp Thr Ala Val Tyr Tyr Cys  
 85 90 95  
 Ser Arg Trp Gly Gly Asp Gly Phe Tyr Ala Met Asp Tyr Trp Gly Gln  
 100 105 110  
 Gly Thr Leu Val Thr Val Ser Ser Ala Ser Thr Lys Gly Pro Ser Val  
 115 120 125  
 Phe Pro Leu Ala Pro Ser Ser Lys Ser Thr Ser Gly Gly Thr Ala Ala  
 130 135 140  
 Leu Gly Cys Leu Val Lys Asp Tyr Phe Pro Glu Pro Val Thr Val Ser  
 145 150 155 160  
 Trp Asn Ser Gly Ala Leu Thr Ser Gly Val His Thr Phe Pro Ala Val  
 165 170 175  
 Leu Gln Ser Ser Gly Leu Tyr Ser Leu Ser Ser Val Val Thr Val Pro  
 180 185 190  
 Ser Ser Ser Leu Gly Thr Gln Thr Tyr Ile Cys Asn Val Asn His Lys  
 195 200 205  
 Pro Ser Asn Thr Lys Val Asp Lys Lys Val Glu Pro Pro Lys Ser Cys  
 210 215 220  
 Asp Lys Thr His Thr Cys Pro Pro Cys Pro Ala Pro Glu Leu Leu Gly  
 225 230 235 240  
 Gly Pro Ser Val Phe Leu Phe Pro Pro Lys Pro Lys Asp Thr Leu Met  
 245 250 255  
 Ile Ser Arg Thr Pro Glu Val Thr Cys Val Val Val Asp Val Ser His  
 260 265 270  
 Glu Asp Pro Glu Val Lys Phe Asn Trp Tyr Val Asp Gly Val Glu Val  
 275 280 285  
 His Asn Ala Lys Thr Lys Pro Arg Glu Glu Gln Tyr Asn Ser Thr Tyr

290 295 300  
 Arg Val Val Ser Val Leu Thr Val Leu His Gln Asp Trp Leu Asn Gly

305 310 315 320  
 Lys Glu Tyr Lys Cys Lys Val Ser Asn Lys Ala Leu Pro Ala Pro Ile

325 330 335  
 Glu Lys Thr Ile Ser Lys Ala Lys Gly Gln Pro Arg Glu Pro Gln Val

340 345 350  
 Tyr Thr Leu Pro Pro Ser Arg Asp Glu Leu Thr Lys Asn Gln Val Ser

355 360 365  
 Leu Thr Cys Leu Val Lys Gly Phe Tyr Pro Ser Asp Ile Ala Val Glu

370 375 380  
 Trp Glu Ser Asn Gly Gln Pro Glu Asn Asn Tyr Lys Thr Thr Pro Pro

385 390 395 400  
 Val Leu Asp Ser Asp Gly Ser Phe Phe Leu Tyr Ser Lys Leu Thr Val

405 410 415  
 Asp Lys Ser Arg Trp Gln Gln Gly Asn Val Phe Ser Cys Ser Val Met

420 425 430  
 His Glu Ala Leu His Asn His Tyr Thr Gln Lys Ser Leu Ser Leu Ser

435 440 445  
 Pro Gly Lys Gly Ser Lys Phe Ala Lys Phe Ala Lys Lys Phe Ala Lys

450 455 460  
 Phe Ala Lys Lys Phe Ala Lys Ala

465 470

<210> 91

<211> 492

<212> PRT

<213> Artificial Sequence

<220><223> Description of Artificial Sequence: Heavy chain antibody

<400> 91

Lys Phe Ala Lys Phe Ala Lys Lys Phe Ala Lys Phe Ala Lys Lys Phe  
 1 5 10 15

Ala Lys Gly Ser Glu Val Gln Leu Val Glu Ser Gly Gly Gly Leu Val  
 20 25 30

Gln Pro Gly Gly Ser Leu Arg Leu Ser Cys Ala Ala Ser Gly Phe Asn  
 35 40 45

Ile Lys Asp Thr Tyr Ile His Trp Val Arg Gln Ala Pro Gly Lys Gly  
 50 55 60

Leu Glu Trp Val Ala Arg Ile Tyr Pro Thr Asn Gly Tyr Thr Arg Tyr  
 65 70 75 80

Ala Asp Ser Val Lys Gly Arg Phe Thr Ile Ser Ala Asp Thr Ser Lys  
 85 90 95

Asn Thr Ala Tyr Leu Gln Met Asn Ser Leu Arg Ala Glu Asp Thr Ala  
 100 105 110

Val Tyr Tyr Cys Ser Arg Trp Gly Gly Asp Gly Phe Tyr Ala Met Asp  
 115 120 125

Tyr Trp Gly Gln Gly Thr Leu Val Thr Val Ser Ser Ala Ser Thr Lys  
 130 135 140

Gly Pro Ser Val Phe Pro Leu Ala Pro Ser Ser Lys Ser Thr Ser Gly  
 145 150 155 160

Gly Thr Ala Ala Leu Gly Cys Leu Val Lys Asp Tyr Phe Pro Glu Pro  
 165 170 175

Val Thr Val Ser Trp Asn Ser Gly Ala Leu Thr Ser Gly Val His Thr  
 180 185 190

Phe Pro Ala Val Leu Gln Ser Ser Gly Leu Tyr Ser Leu Ser Ser Val  
 195 200 205

Val Thr Val Pro Ser Ser Ser Leu Gly Thr Gln Thr Tyr Ile Cys Asn  
 210 215 220

Val Asn His Lys Pro Ser Asn Thr Lys Val Asp Lys Lys Val Glu Pro  
 225 230 235 240

Pro Lys Ser Cys Asp Lys Thr His Thr Cys Pro Pro Cys Pro Ala Pro  
 245 250 255

Glu Leu Leu Gly Gly Pro Ser Val Phe Leu Phe Pro Pro Lys Pro Lys

	260		265		270	
Asp Thr Leu Met Ile Ser Arg Thr Pro Glu Val Thr Cys Val Val Val						
	275		280		285	
Asp Val Ser His Glu Asp Pro Glu Val Lys Phe Asn Trp Tyr Val Asp						
	290		295		300	
Gly Val Glu Val His Asn Ala Lys Thr Lys Pro Arg Glu Glu Gln Tyr						
305		310		315		320
Asn Ser Thr Tyr Arg Val Val Ser Val Leu Thr Val Leu His Gln Asp						
	325		330		335	
Trp Leu Asn Gly Lys Glu Tyr Lys Cys Lys Val Ser Asn Lys Ala Leu						
	340		345		350	
Pro Ala Pro Ile Glu Lys Thr Ile Ser Lys Ala Lys Gly Gln Pro Arg						
	355		360		365	
Glu Pro Gln Val Tyr Thr Leu Pro Pro Ser Arg Asp Glu Leu Thr Lys						
	370		375		380	
Asn Gln Val Ser Leu Thr Cys Leu Val Lys Gly Phe Tyr Pro Ser Asp						
385		390		395		400
Ile Ala Val Glu Trp Glu Ser Asn Gly Gln Pro Glu Asn Asn Tyr Lys						
	405		410		415	
Thr Thr Pro Pro Val Leu Asp Ser Asp Gly Ser Phe Phe Leu Tyr Ser						
	420		425		430	
Lys Leu Thr Val Asp Lys Ser Arg Trp Gln Gln Gly Asn Val Phe Ser						
	435		440		445	
Cys Ser Val Met His Glu Ala Leu His Asn His Tyr Thr Gln Lys Ser						
	450		455		460	
Leu Ser Leu Ser Pro Gly Lys Gly Ser Lys Phe Ala Lys Phe Ala Lys						
465		470		475		480
Lys Phe Ala Lys Phe Ala Lys Lys Phe Ala Lys Ala						
	485		490			

<210> 92

<211> 249

<212> PRT

<213> Artificial Sequence

<220><223> Description of Artificial Sequence: scFv fragment

<400> 92

His His His His His His Asp Ile Gln Leu Thr Gln Ser Pro Ala Ile  
 1                    5                    10                    15  
 Leu Ser Ala Ser Pro Gly Glu Lys Val Thr Met Thr Cys Arg Ala Ser  
  
                   20                    25                    30  
 Ser Ser Val Ser Tyr Ile His Trp Phe Gln Gln Lys Pro Gly Ser Ser  
                   35                    40                    45  
 Pro Lys Pro Trp Ile Tyr Ala Thr Ser Asn Leu Ala Ser Gly Val Pro  
                   50                    55                    60  
 Val Arg Phe Ser Gly Ser Gly Ser Gly Thr Ser Tyr Ser Leu Thr Ile  
 65                    70                    75                    80  
 Ser Arg Val Glu Ala Glu Asp Ala Ala Thr Tyr Tyr Cys Gln Gln Trp  
  
                   85                    90                    95  
 Thr Ser Asn Pro Pro Thr Phe Gly Gly Gly Thr Lys Leu Glu Ile Gly  
                   100                    105                    110  
 Ser Thr Ser Gly Gly Gly Ser Gly Gly Gly Ser Gly Gly Gly Gly Ser  
                   115                    120                    125  
 Ser Val Gln Leu Gln Gln Pro Gly Ala Glu Leu Val Lys Pro Gly Ala  
                   130                    135                    140  
 Ser Val Lys Met Ser Cys Lys Ala Ser Gly Tyr Thr Phe Thr Ser Tyr  
  
 145                    150                    155                    160  
 Asn Met His Trp Val Lys Gln Thr Pro Gly Arg Gly Leu Glu Trp Ile  
                   165                    170                    175  
 Gly Ala Ile Tyr Pro Gly Asn Gly Asp Thr Ser Tyr Asn Gln Lys Phe  
                   180                    185                    190  
 Lys Gly Lys Ala Thr Leu Thr Ala Asp Lys Ser Ser Ser Thr Ala Tyr  
                   195                    200                    205  
 Met Gln Leu Ser Ser Leu Thr Ser Glu Asp Ser Ala Val Tyr Tyr Cys

210                            215                            220  
 Ala Arg Ser Thr Tyr Tyr Gly Gly Asp Trp Tyr Phe Asp Val Trp Gly  
 225                            230                            235                            240  
 Gln Gly Thr Thr Val Thr Val Ser Ser  
                                  245  
 <210> 93  
 <211> 269  
 <212> PRT  
 <213> Artificial Sequence  
 <220><223> Description of Artificial Sequence: scFv-Phor18 conjugate  
 <400> 93  
 His His His His His His Asp Ile Gln Leu Thr Gln Ser Pro Ala Ile  
 1                            5                            10                            15  
  
 Leu Ser Ala Ser Pro Gly Glu Lys Val Thr Met Thr Cys Arg Ala Ser  
                                  20                            25                            30  
 Ser Ser Val Ser Tyr Ile His Trp Phe Gln Gln Lys Pro Gly Ser Ser  
                                  35                            40                            45  
 Pro Lys Pro Trp Ile Tyr Ala Thr Ser Asn Leu Ala Ser Gly Val Pro  
                                  50                            55                            60  
 Val Arg Phe Ser Gly Ser Gly Ser Gly Thr Ser Tyr Ser Leu Thr Ile  
 65                            70                            75                            80  
  
 Ser Arg Val Glu Ala Glu Asp Ala Ala Thr Tyr Tyr Cys Gln Gln Trp  
                                  85                            90                            95  
 Thr Ser Asn Pro Pro Thr Phe Gly Gly Gly Thr Lys Leu Glu Ile Gly  
                                  100                            105                            110  
 Ser Thr Ser Gly Gly Gly Ser Gly Gly Gly Ser Gly Gly Gly Gly Ser  
                                  115                            120                            125  
 Ser Val Gln Leu Gln Gln Pro Gly Ala Glu Leu Val Lys Pro Gly Ala  
                                  130                            135                            140  
  
 Ser Val Lys Met Ser Cys Lys Ala Ser Gly Tyr Thr Phe Thr Ser Tyr  
 145                            150                            155                            160  
 Asn Met His Trp Val Lys Gln Thr Pro Gly Arg Gly Leu Glu Trp Ile

165 170 175  
 Gly Ala Ile Tyr Pro Gly Asn Gly Asp Thr Ser Tyr Asn Gln Lys Phe

180 185 190  
 Lys Gly Lys Ala Thr Leu Thr Ala Asp Lys Ser Ser Ser Thr Ala Tyr  
 195 200 205

Met Gln Leu Ser Ser Leu Thr Ser Glu Asp Ser Ala Val Tyr Tyr Cys  
 210 215 220

Ala Arg Ser Thr Tyr Tyr Gly Gly Asp Trp Tyr Phe Asp Val Trp Gly  
 225 230 235 240

Gln Gly Thr Thr Val Thr Val Ser Ser Gly Ser Lys Phe Ala Lys Phe  
 245 250 255

Ala Lys Lys Phe Ala Lys Phe Ala Lys Lys Phe Ala Lys  
 260 265

<210> 94

<211> 717

<212> PRT

<213> Artificial Sequence

<220><223> Description of Artificial Sequence: Anti-CD20 mimibody

<400> 94

Asp Ile Gln Leu Thr Gln Ser Pro Ala Ile Leu Ser Ala Ser Pro Gly  
 1 5 10 15

Glu Lys Val Thr Met Thr Cys Arg Ala Ser Ser Ser Val Ser Tyr Ile  
 20 25 30

His Trp Phe Gln Gln Lys Pro Gly Ser Ser Pro Lys Pro Trp Ile Tyr  
 35 40 45

Ala Thr Ser Asn Leu Ala Ser Gly Val Pro Val Arg Phe Ser Gly Ser  
 50 55 60

Gly Ser Gly Thr Ser Tyr Ser Leu Thr Ile Ser Arg Val Glu Ala Glu  
 65 70 75 80

Asp Ala Ala Thr Tyr Tyr Cys Gln Gln Trp Thr Ser Asn Pro Pro Thr  
 85 90 95

Phe Gly Gly Gly Thr Lys Leu Glu Ile Gly Ser Thr Ser Gly Gly Gly

100	105	110	
Ser Gly Gly Gly Ser Gly Gly Gly Gly Ser Ser Val Gln Leu Gln Gln			
115	120	125	
Pro Gly Ala Glu Leu Val Lys Pro Gly Ala Ser Val Lys Met Ser Cys			
130	135	140	
Lys Ala Ser Gly Tyr Thr Phe Thr Ser Tyr Asn Met His Trp Val Lys			
145	150	155	160
Gln Thr Pro Gly Arg Gly Leu Glu Trp Ile Gly Ala Ile Tyr Pro Gly			
165	170	175	
Asn Gly Asp Thr Ser Tyr Asn Gln Lys Phe Lys Gly Lys Ala Thr Leu			
180	185	190	
Thr Ala Asp Lys Ser Ser Ser Thr Ala Tyr Met Gln Leu Ser Ser Leu			
195	200	205	
Thr Ser Glu Asp Ser Ala Val Tyr Tyr Cys Ala Arg Ser Thr Tyr Tyr			
210	215	220	
Gly Gly Asp Trp Tyr Phe Asp Val Trp Gly Gln Gly Thr Thr Val Thr			
225	230	235	240
Val Ser Ser Gly Gln Pro Arg Glu Pro Gln Val Tyr Thr Leu Pro Pro			
245	250	255	
Ser Arg Asp Glu Leu Thr Lys Asn Gln Val Ser Leu Thr Cys Leu Val			
260	265	270	
Lys Gly Phe Tyr Pro Ser Asp Ile Ala Val Glu Trp Glu Ser Asn Gly			
275	280	285	
Gln Pro Glu Asn Asn Tyr Lys Thr Thr Pro Pro Val Leu Asp Ser Asp			
290	295	300	
Gly Ser Phe Phe Leu Tyr Ser Lys Leu Thr Val Asp Lys Ser Arg Trp			
305	310	315	320
Gln Gln Gly Asn Val Phe Ser Cys Ser Val Met His Glu Ala Leu His			
325	330	335	
Asn His Tyr Thr Gln Lys Ser Leu Ser Leu Ser Pro Gly Lys Gly Ser			
340	345	350	

Thr Ser Gly Gly Gly Ser Gly Gly Gly Ser Gly Gly Gly Gly Ser Ser  
 355 360 365  
  
 Gly Gln Pro Arg Glu Pro Gln Val Tyr Thr Leu Pro Pro Ser Arg Asp  
 370 375 380  
 Glu Leu Thr Lys Asn Gln Val Ser Leu Thr Cys Leu Val Lys Gly Phe  
 385 390 395 400  
 Tyr Pro Ser Asp Ile Ala Val Glu Trp Glu Ser Asn Gly Gln Pro Glu  
 405 410 415  
 Asn Asn Tyr Lys Thr Thr Pro Pro Val Leu Asp Ser Asp Gly Ser Phe  
 420 425 430  
  
 Phe Leu Tyr Ser Lys Leu Thr Val Asp Lys Ser Arg Trp Gln Gln Gly  
 435 440 445  
 Asn Val Phe Ser Cys Ser Val Met His Glu Ala Leu His Asn His Tyr  
 450 455 460  
 Thr Gln Lys Ser Leu Ser Leu Ser Pro Gly Lys Val Gln Leu Gln Gln  
 465 470 475 480  
 Pro Gly Ala Glu Leu Val Lys Pro Gly Ala Ser Val Lys Met Ser Cys  
 485 490 495  
  
 Lys Ala Ser Gly Tyr Thr Phe Thr Ser Tyr Asn Met His Trp Val Lys  
 500 505 510  
 Gln Thr Pro Gly Arg Gly Leu Glu Trp Ile Gly Ala Ile Tyr Pro Gly  
 515 520 525  
 Asn Gly Asp Thr Ser Tyr Asn Gln Lys Phe Lys Gly Lys Ala Thr Leu  
 530 535 540  
 Thr Ala Asp Lys Ser Ser Ser Thr Ala Tyr Met Gln Leu Ser Ser Leu  
 545 550 555 560  
  
 Thr Ser Glu Asp Ser Ala Val Tyr Tyr Cys Ala Arg Ser Thr Tyr Tyr  
 565 570 575  
 Gly Gly Asp Trp Tyr Phe Asp Val Trp Gly Gln Gly Thr Thr Val Thr  
 580 585 590  
 Val Ser Ser Gly Ser Thr Ser Gly Gly Gly Ser Gly Gly Gly Ser Gly

595                      600                      605  
 Gly Gly Gly Ser Ser Asp Ile Gln Leu Thr Gln Ser Pro Ala Ile Leu  
 610                      615                      620

Ser Ala Ser Pro Gly Glu Lys Val Thr Met Thr Cys Arg Ala Ser Ser  
 625                      630                      635                      640

Ser Val Ser Tyr Ile His Trp Phe Gln Gln Lys Pro Gly Ser Ser Pro  
 645                      650                      655

Lys Pro Trp Ile Tyr Ala Thr Ser Asn Leu Ala Ser Gly Val Pro Val  
 660                      665                      670

Phe Ser Gly Ser Gly Ser Gly Thr Ser Tyr Ser Leu Thr Ile Ser Arg  
 675                      680                      685

Val Glu Ala Glu Asp Ala Ala Thr Tyr Tyr Cys Gln Gln Trp Thr Ser  
 690                      695                      700

Asn Pro Pro Thr Phe Gly Gly Gly Thr Lys Leu Glu Ile  
 705                      710                      715

<210> 95

<211> 737

<212> PRT

<213> Artificial Sequence

<220><223> Description of Artificial Sequence: Anti-CD20-Phor18 mimibody  
 conjugate

<400> 95

Asp Ile Gln Leu Thr Gln Ser Pro Ala Ile Leu Ser Ala Ser Pro Gly  
 1                      5                      10                      15

Glu Lys Val Thr Met Thr Cys Arg Ala Ser Ser Ser Val Ser Tyr Ile  
 20                      25                      30

His Trp Phe Gln Gln Lys Pro Gly Ser Ser Pro Lys Pro Trp Ile Tyr  
 35                      40                      45

Ala Thr Ser Asn Leu Ala Ser Gly Val Pro Val Arg Phe Ser Gly Ser  
 50                      55                      60

Gly Ser Gly Thr Ser Tyr Ser Leu Thr Ile Ser Arg Val Glu Ala Glu



Gln Gln Gly Asn Val Phe Ser Cys Ser Val Met His Glu Ala Leu His  
 325 330 335

Asn His Tyr Thr Gln Lys Ser Leu Ser Leu Ser Pro Gly Lys Gly Ser  
 340 345 350

Thr Ser Gly Gly Gly Ser Gly Gly Gly Ser Gly Gly Gly Gly Ser Ser  
 355 360 365

Gly Gln Pro Arg Glu Pro Gln Val Tyr Thr Leu Pro Pro Ser Arg Asp  
 370 375 380

Glu Leu Thr Lys Asn Gln Val Ser Leu Thr Cys Leu Val Lys Gly Phe  
 385 390 395 400

Tyr Pro Ser Asp Ile Ala Val Glu Trp Glu Ser Asn Gly Gln Pro Glu  
 405 410 415

Asn Asn Tyr Lys Thr Thr Pro Pro Val Leu Asp Ser Asp Gly Ser Phe  
 420 425 430

Phe Leu Tyr Ser Lys Leu Thr Val Asp Lys Ser Arg Trp Gln Gln Gly  
 435 440 445

Asn Val Phe Ser Cys Ser Val Met His Glu Ala Leu His Asn His Tyr  
 450 455 460

Thr Gln Lys Ser Leu Ser Leu Ser Pro Gly Lys Val Gln Leu Gln Gln  
 465 470 475 480

Pro Gly Ala Glu Leu Val Lys Pro Gly Ala Ser Val Lys Met Ser Cys  
 485 490 495

Lys Ala Ser Gly Tyr Thr Phe Thr Ser Tyr Asn Met His Trp Val Lys  
 500 505 510

Gln Thr Pro Gly Arg Gly Leu Glu Trp Ile Gly Ala Ile Tyr Pro Gly  
 515 520 525

Asn Gly Asp Thr Ser Tyr Asn Gln Lys Phe Lys Gly Lys Ala Thr Leu  
 530 535 540

Thr Ala Asp Lys Ser Ser Ser Thr Ala Tyr Met Gln Leu Ser Ser Leu  
 545 550 555 560

Thr Ser Glu Asp Ser Ala Val Tyr Tyr Cys Ala Arg Ser Thr Tyr Tyr

565 570 575  
 Gly Gly Asp Trp Tyr Phe Asp Val Trp Gly Gln Gly Thr Thr Val Thr  
 580 585 590

Val Ser Ser Gly Ser Thr Ser Gly Gly Gly Ser Gly Gly Gly Ser Gly  
 595 600 605

Gly Gly Gly Ser Ser Asp Ile Gln Leu Thr Gln Ser Pro Ala Ile Leu  
 610 615 620

Ser Ala Ser Pro Gly Glu Lys Val Thr Met Thr Cys Arg Ala Ser Ser  
 625 630 635 640

Ser Val Ser Tyr Ile His Trp Phe Gln Gln Lys Pro Gly Ser Ser Pro  
 645 650 655

Lys Pro Trp Ile Tyr Ala Thr Ser Asn Leu Ala Ser Gly Val Pro Val  
 660 665 670

Phe Ser Gly Ser Gly Ser Gly Thr Ser Tyr Ser Leu Thr Ile Ser Arg  
 675 680 685

Val Glu Ala Glu Asp Ala Ala Thr Tyr Tyr Cys Gln Gln Trp Thr Ser  
 690 695 700

Asn Pro Pro Thr Phe Gly Gly Gly Thr Lys Leu Glu Ile Gly Ser Lys  
 705 710 715 720

Phe Ala Lys Phe Ala Lys Lys Phe Ala Lys Phe Ala Lys Lys Phe Ala  
 725 730 735

Lys

<210> 96

<211> 22

<212> PRT

<213> Artificial Sequence

<220><223> Description of Artificial Sequence: Signal sequence

<400> 96

Met Lys Tyr Leu Leu Pro Thr Ala Ala Ala Gly Leu Leu Leu Leu Ala  
 1 5 10 15

Ala Gln Pro Ala Met Ala

20

<210> 97

<211> 454

<212> PRT

<213> Artificial Sequence

<220><223> Description of Artificial Sequence: Naked antibody

<400> 97

Asp Ile Gln Met Thr Gln Ser Pro Ser Ser Leu Ser Ala Ser Val Gly

1                    5                    10                    15

Asp Arg Val Thr Ile Thr Cys Arg Ala Ser Ser Ser Val Ser Tyr Ile

                  20                    25                    30

His Trp Tyr Gln Gln Lys Pro Gly Lys Ala Pro Lys Leu Leu Ile Tyr

                  35                    40                    45

Ala Thr Ser Asn Leu Ala Ser Gly Val Pro Ser Arg Phe Ser Gly Ser

                  50                    55                    60

Arg Ser Gly Thr Asp Phe Thr Leu Thr Ile Ser Ser Leu Gln Pro Glu

65                    70                    75                    80

Asp Phe Ala Thr Tyr Tyr Cys Gln Gln Trp Thr Ser Asn Pro Pro Thr

                  85                    90                    95

Phe Gly Gln Gly Thr Lys Val Glu Ile Lys Gly Gly Gly Gly Ser Glu

                  100                    105                    110

Val Gln Leu Val Glu Ser Gly Gly Gly Leu Val Gln Pro Gly Gly Ser

                  115                    120                    125

Leu Arg Leu Ser Cys Ala Ala Ser Gly Tyr Thr Phe Thr Ser Tyr Asn

                  130                    135                    140

Met His Trp Val Arg Gln Ala Pro Gly Lys Gly Leu Glu Trp Val Ala

145                    150                    155                    160

Ala Ile Tyr Pro Gly Asn Gly Asp Thr Ser Tyr Asn Gln Lys Phe Lys

                  165                    170                    175

Gly Arg Phe Thr Ile Ser Ala Asp Thr Ser Lys Asn Thr Ala Tyr Leu

                  180                    185                    190

Gln Met Asn Ser Leu Arg Ala Glu Asp Thr Ala Val Tyr Tyr Cys Ser  
 195 200 205

Arg Ser Thr Tyr Tyr Gly Gly Asp Trp Tyr Phe Asp Val Trp Gly Gln  
 210 215 220

Gly Thr Leu Val Thr Val Ser Ser Val Gln Pro Cys Pro Ala Pro Glu  
 225 230 235 240

Leu Leu Gly Gly Pro Ser Val Phe Leu Phe Pro Pro Lys Pro Lys Asp  
 245 250 255

Thr Leu Met Ile Ser Arg Thr Pro Glu Val Thr Cys Val Val Val Asp  
 260 265 270

Val Ser His Glu Asp Pro Glu Val Lys Phe Asn Trp Tyr Val Asp Gly  
 275 280 285

Val Glu Val His Asn Ala Lys Thr Lys Pro Arg Glu Glu Gln Tyr Asn  
 290 295 300

Ser Thr Tyr Arg Val Val Ser Val Leu Thr Val Leu His Gln Asp Trp  
 305 310 315 320

Leu Asn Gly Lys Glu Tyr Lys Cys Lys Val Ser Asn Lys Ala Leu Pro  
 325 330 335

Ala Pro Ile Glu Lys Thr Ile Ser Lys Ala Lys Gly Gln Pro Arg Glu  
 340 345 350

Pro Gln Val Tyr Thr Leu Pro Pro Ser Arg Asp Glu Leu Thr Lys Asn  
 355 360 365

Gln Val Ser Leu Thr Cys Leu Val Lys Gly Phe Tyr Pro Ser Asp Ile  
 370 375 380

Ala Val Glu Trp Glu Ser Asn Gly Gln Pro Glu Asn Asn Tyr Lys Thr  
 385 390 395 400

Thr Pro Pro Val Leu Asp Ser Asp Gly Ser Phe Phe Leu Tyr Ser Lys  
 405 410 415

Leu Thr Val Asp Lys Ser Arg Trp Gln Gln Gly Asn Val Phe Ser Cys  
 420 425 430

Ser Val Met His Glu Ala Leu His Asn His Tyr Thr Gln Lys Ser Leu



180 185 190  
 Gln Lys Phe Lys Gly Arg Phe Thr Ile Ser Ala Asp Thr Ser Lys Asn  
 195 200 205  
 Thr Ala Tyr Leu Gln Met Asn Ser Leu Arg Ala Glu Asp Thr Ala Val  
 210 215 220  
  
 Tyr Tyr Cys Ser Arg Ser Thr Tyr Tyr Gly Gly Asp Trp Tyr Phe Asp  
 225 230 235 240  
 Val Trp Gly Gln Gly Thr Leu Val Thr Val Ser Ser Val Gln Pro Cys  
 245 250 255  
 Pro Ala Pro Glu Leu Leu Gly Gly Pro Ser Val Phe Leu Phe Pro Pro  
 260 265 270  
 Lys Pro Lys Asp Thr Leu Met Ile Ser Arg Thr Pro Glu Val Thr Cys  
 275 280 285  
  
 Val Val Val Asp Val Ser His Glu Asp Pro Glu Val Lys Phe Asn Trp  
 290 295 300  
 Tyr Val Asp Gly Val Glu Val His Asn Ala Lys Thr Lys Pro Arg Glu  
 305 310 315 320  
 Glu Gln Tyr Asn Ser Thr Tyr Arg Val Val Ser Val Leu Thr Val Leu  
 325 330 335  
 His Gln Asp Trp Leu Asn Gly Lys Glu Tyr Lys Cys Lys Val Ser Asn  
 340 345 350  
  
 Lys Ala Leu Pro Ala Pro Ile Glu Lys Thr Ile Ser Lys Ala Lys Gly  
 355 360 365  
 Gln Pro Arg Glu Pro Gln Val Tyr Thr Leu Pro Pro Ser Arg Asp Glu  
 370 375 380  
 Leu Thr Lys Asn Gln Val Ser Leu Thr Cys Leu Val Lys Gly Phe Tyr  
 385 390 395 400  
 Pro Ser Asp Ile Ala Val Glu Trp Glu Ser Asn Gly Gln Pro Glu Asn  
 405 410 415  
  
 Asn Tyr Lys Thr Thr Pro Pro Val Leu Asp Ser Asp Gly Ser Phe Phe  
 420 425 430

Leu Tyr Ser Lys Leu Thr Val Asp Lys Ser Arg Trp Gln Gln Gly Asn  
 435 440 445  
 Val Phe Ser Cys Ser Val Met His Glu Ala Leu His Asn His Tyr Thr  
 450 455 460  
 Gln Lys Ser Leu Ser Leu Ser Pro Gly Lys Gly Ser Lys Phe Ala Lys  
 465 470 475 480  
  
 Phe Ala Lys Lys Phe Ala Lys Phe Ala Lys Lys Phe Ala Lys  
 485 490  
 <210> 99  
 <211> 474  
 <212> PRT  
 <213> Artificial Sequence  
 <220><223> Description of Artificial Sequence: Lytic peptide  
 <400> 99  
 Lys Phe Ala Lys Phe Ala Lys Lys Phe Ala Lys Phe Ala Lys Lys Phe  
 1 5 10 15  
 Ala Lys Gly Ser Asp Ile Gln Met Thr Gln Ser Pro Ser Ser Leu Ser  
 20 25 30  
  
 Ala Ser Val Gly Asp Arg Val Thr Ile Thr Cys Arg Ala Ser Ser Ser  
 35 40 45  
 Val Ser Tyr Ile His Trp Tyr Gln Gln Lys Pro Gly Lys Ala Pro Lys  
 50 55 60  
 Leu Leu Ile Tyr Ala Thr Ser Asn Leu Ala Ser Gly Val Pro Ser Arg  
 65 70 75 80  
 Phe Ser Gly Ser Arg Ser Gly Thr Asp Phe Thr Leu Thr Ile Ser Ser  
 85 90 95  
  
 Leu Gln Pro Glu Asp Phe Ala Thr Tyr Tyr Cys Gln Gln Trp Thr Ser  
 100 105 110  
 Asn Pro Pro Thr Phe Gly Gln Gly Thr Lys Val Glu Ile Lys Gly Gly  
 115 120 125  
 Gly Gly Ser Glu Val Gln Leu Val Glu Ser Gly Gly Gly Leu Val Gln  
 130 135 140

Pro Gly Gly Ser Leu Arg Leu Ser Cys Ala Ala Ser Gly Tyr Thr Phe  
 145 150 155 160

Thr Ser Tyr Asn Met His Trp Val Arg Gln Ala Pro Gly Lys Gly Leu  
 165 170 175

Glu Trp Val Ala Ala Ile Tyr Pro Gly Asn Gly Asp Thr Ser Tyr Asn  
 180 185 190

Gln Lys Phe Lys Gly Arg Phe Thr Ile Ser Ala Asp Thr Ser Lys Asn  
 195 200 205

Thr Ala Tyr Leu Gln Met Asn Ser Leu Arg Ala Glu Asp Thr Ala Val  
 210 215 220

Tyr Tyr Cys Ser Arg Ser Thr Tyr Tyr Gly Gly Asp Trp Tyr Phe Asp  
 225 230 235 240

Val Trp Gly Gln Gly Thr Leu Val Thr Val Ser Ser Val Gln Pro Cys  
 245 250 255

Pro Ala Pro Glu Leu Leu Gly Gly Pro Ser Val Phe Leu Phe Pro Pro  
 260 265 270

Lys Pro Lys Asp Thr Leu Met Ile Ser Arg Thr Pro Glu Val Thr Cys  
 275 280 285

Val Val Val Asp Val Ser His Glu Asp Pro Glu Val Lys Phe Asn Trp  
 290 295 300

Tyr Val Asp Gly Val Glu Val His Asn Ala Lys Thr Lys Pro Arg Glu  
 305 310 315 320

Glu Gln Tyr Asn Ser Thr Tyr Arg Val Val Ser Val Leu Thr Val Leu  
 325 330 335

His Gln Asp Trp Leu Asn Gly Lys Glu Tyr Lys Cys Lys Val Ser Asn  
 340 345 350

Lys Ala Leu Pro Ala Pro Ile Glu Lys Thr Ile Ser Lys Ala Lys Gly  
 355 360 365

Gln Pro Arg Glu Pro Gln Val Tyr Thr Leu Pro Pro Ser Arg Asp Glu  
 370 375 380

Leu Thr Lys Asn Gln Val Ser Leu Thr Cys Leu Val Lys Gly Phe Tyr

385                    390                    395                    400  
 Pro Ser Asp Ile Ala Val Glu Trp Glu Ser Asn Gly Gln Pro Glu Asn  
                                  405                    410                    415

Asn Tyr Lys Thr Thr Pro Pro Val Leu Asp Ser Asp Gly Ser Phe Phe  
                                  420                    425                    430

Leu Tyr Ser Lys Leu Thr Val Asp Lys Ser Arg Trp Gln Gln Gly Asn  
                                  435                    440                    445

Val Phe Ser Cys Ser Val Met His Glu Ala Leu His Asn His Tyr Thr  
                                  450                    455                    460

Gln Lys Ser Leu Ser Leu Ser Pro Gly Lys  
 465                    470

<210> 100

<211> 474

<212>

> PRT

<213> Artificial Sequence

<220><223> Description of Artificial Sequence: Lytic peptide

<400> 100

Asp Ile Gln Met Thr Gln Ser Pro Ser Ser Leu Ser Ala Ser Val Gly  
 1                    5                    10                    15

Asp Arg Val Thr Ile Thr Cys Arg Ala Ser Ser Ser Val Ser Tyr Ile  
                                  20                    25                    30

His Trp Tyr Gln Gln Lys Pro Gly Lys Ala Pro Lys Leu Leu Ile Tyr  
                                  35                    40                    45

Ala Thr Ser Asn Leu Ala Ser Gly Val Pro Ser Arg Phe Ser Gly Ser  
                                  50                    55                    60

Arg Ser Gly Thr Asp Phe Thr Leu Thr Ile Ser Ser Leu Gln Pro Glu  
 65                    70                    75                    80

Asp Phe Ala Thr Tyr Tyr Cys Gln Gln Trp Thr Ser Asn Pro Pro Thr  
                                  85                    90                    95

Phe Gly Gln Gly Thr Lys Val Glu Ile Lys Gly Gly Gly Gly Ser Glu  
                                  100                    105                    110

Val Gln Leu Val Glu Ser Gly Gly Gly Leu Val Gln Pro Gly Gly Ser  
 115 120 125

Leu Arg Leu Ser Cys Ala Ala Ser Gly Tyr Thr Phe Thr Ser Tyr Asn  
 130 135 140

Met His Trp Val Arg Gln Ala Pro Gly Lys Gly Leu Glu Trp Val Ala  
 145 150 155 160

Ala Ile Tyr Pro Gly Asn Gly Asp Thr Ser Tyr Asn Gln Lys Phe Lys  
 165 170 175

Gly Arg Phe Thr Ile Ser Ala Asp Thr Ser Lys Asn Thr Ala Tyr Leu  
 180 185 190

Gln Met Asn Ser Leu Arg Ala Glu Asp Thr Ala Val Tyr Tyr Cys Ser  
 195 200 205

Arg Ser Thr Tyr Tyr Gly Gly Asp Trp Tyr Phe Asp Val Trp Gly Gln  
 210 215 220

Gly Thr Leu Val Thr Val Ser Ser Val Gln Pro Cys Pro Ala Pro Glu  
 225 230 235 240

Leu Leu Gly Gly Pro Ser Val Phe Leu Phe Pro Pro Lys Pro Lys Asp  
 245 250 255

Thr Leu Met Ile Ser Arg Thr Pro Glu Val Thr Cys Val Val Val Asp  
 260 265 270

Val Ser His Glu Asp Pro Glu Val Lys Phe Asn Trp Tyr Val Asp Gly  
 275 280 285

Val Glu Val His Asn Ala Lys Thr Lys Pro Arg Glu Glu Gln Tyr Asn  
 290 295 300

Ser Thr Tyr Arg Val Val Ser Val Leu Thr Val Leu His Gln Asp Trp  
 305 310 315 320

Leu Asn Gly Lys Glu Tyr Lys Cys Lys Val Ser Asn Lys Ala Leu Pro  
 325 330 335

Ala Pro Ile Glu Lys Thr Ile Ser Lys Ala Lys Gly Gln Pro Arg Glu  
 340 345 350

Pro Gln Val Tyr Thr Leu Pro Pro Ser Arg Asp Glu Leu Thr Lys Asn









Asp Val Ser His Glu Asp Pro Glu Val Lys Phe Asn Trp Tyr Val Asp  
 305                      310                      315                      320

Gly Val Glu Val His Asn Ala Lys Thr Lys Pro Arg Glu Glu Gln Tyr  
                                  325                      330                      335

Asn Ser Thr Tyr Arg Val Val Ser Val Leu Thr Val Leu His Gln Asp  
                                  340                      345                      350

Trp Leu Asn Gly Lys Glu Tyr Lys Cys Lys Val Ser Asn Lys Ala Leu  
                                  355                      360                      365

Pro Ala Pro Ile Glu Lys Thr Ile Ser Lys Ala Lys Gly Gln Pro Arg  
                                  370                      375                      380

Glu Pro Gln Val Tyr Thr Leu Pro Pro Ser Arg Asp Glu Leu Thr Lys  
 385                      390                      395                      400

Asn Gln Val Ser Leu Thr Cys Leu Val Lys Gly Phe Tyr Pro Ser Asp  
                                  405                      410                      415

Ile Ala Val Glu Trp Glu Ser Asn Gly Gln Pro Glu Asn Asn Tyr Lys  
                                  420                      425                      430

Thr Thr Pro Pro Val Leu Asp Ser Asp Gly Ser Phe Phe Leu Tyr Ser  
                                  435                      440                      445

Lys Leu Thr Val Asp Lys Ser Arg Trp Gln Gln Gly Asn Val Phe Ser  
                                  450                      455                      460

Cys Ser Val Met His Glu Ala Leu His Asn His Tyr Thr Gln Lys Ser  
 465                      470                      475                      480

Leu Ser Leu Ser Pro Gly Lys Gly Ser Lys Ala Phe Lys Lys Ala Phe  
                                  485                      490                      495

Lys Ala Phe Lys Lys Ala Phe Lys Ala Phe Lys  
                                  500                      505

<210> 103

<211> 487

<212> PRT

<213> Artificial Sequence

<220><223> Description of Artificial Sequence: Conjugated antibody

<400> 103

Lys Phe Ala Lys Phe Ala Lys Lys Phe Ala Lys Phe Ala Lys Lys Phe  
 1                    5                    10                    15  
 Ala Lys Gly Ser Asp Ile Gln Met Thr Gln Ser Pro Ser Ser Leu Ser  
                          20                    25                    30  
 Ala Ser Val Gly Asp Arg Val Thr Ile Thr Cys Arg Ala Ser Ser Ser  
                          35                    40                    45  
 Val Ser Tyr Ile His Trp Tyr Gln Gln Lys Pro Gly Lys Ala Pro Lys  
                          50                    55                    60  
 Leu Leu Ile Tyr Ala Thr Ser Asn Leu Ala Ser Gly Val Pro Ser Arg  
 65                    70                    75                    80  
 Phe Ser Gly Ser Arg Ser Gly Thr Asp Phe Thr Leu Thr Ile Ser Ser  
                          85                    90                    95  
 Leu Gln Pro Glu Asp Phe Ala Thr Tyr Tyr Cys Gln Gln Trp Thr Ser  
                          100                    105                    110  
 Asn Pro Pro Thr Phe Gly Gln Gly Thr Lys Val Glu Ile Lys Gly Gly  
                          115                    120                    125  
 Gly Gly Ser Gly Gly Gly Gly Ser Gly Gly Gly Gly Ser Glu Val Gln  
                          130                    135                    140  
 Leu Val Glu Ser Gly Gly Gly Leu Val Gln Pro Gly Gly Ser Leu Arg  
                          145                    150                    155                    160  
 Leu Ser Cys Ala Ala Ser Gly Tyr Thr Phe Thr Ser Tyr Asn Met His  
                          165                    170                    175  
 Trp Val Arg Gln Ala Pro Gly Lys Gly Leu Glu Trp Val Ala Ala Ile  
                          180                    185                    190  
 Tyr Pro Gly Asn Gly Asp Thr Ser Tyr Asn Gln Lys Phe Lys Gly Arg  
                          195                    200                    205  
 Phe Thr Ile Ser Ala Asp Thr Ser Lys Asn Thr Ala Tyr Leu Gln Met  
                          210                    215                    220  
 Asn Ser Leu Arg Ala Glu Asp Thr Ala Val Tyr Tyr Cys Ser Arg Ser  
 225                    230                    235                    240  
 Thr Tyr Tyr Gly Gly Asp Trp Tyr Phe Asp Val Trp Gly Gln Gly Thr



<210> 104

<211> 487

<212> PRT

<213> Artificial Sequence

<220><223> Description of Artificial Sequence: Conjugated antibody

<400> 104

Asp Ile Gln Met Thr Gln Ser Pro Ser Ser Leu Ser Ala Ser Val Gly

1                    5                    10                    15

Asp Arg Val Thr Ile Thr Cys Arg Ala Ser Ser Ser Val Ser Tyr Ile

                  20                    25                    30

His Trp Tyr Gln Gln Lys Pro Gly Lys Ala Pro Lys Leu Leu Ile Tyr

                  35                    40                    45

Ala Thr Ser Asn Leu Ala Ser Gly Val Pro Ser Arg Phe Ser Gly Ser

                  50                    55                    60

Arg Ser Gly Thr Asp Phe Thr Leu Thr Ile Ser Ser Leu Gln Pro Glu

65                    70                    75                    80

Asp Phe Ala Thr Tyr Tyr Cys Gln Gln Trp Thr Ser Asn Pro Pro Thr

                  85                    90                    95

Phe Gly Gln Gly Thr Lys Val Glu Ile Lys Gly Gly Gly Gly Ser Gly

                  100                    105                    110

Gly Gly Gly Ser Gly Gly Gly Gly Ser Glu Val Gln Leu Val Glu Ser

                  115                    120                    125

Gly Gly Gly Leu Val Gln Pro Gly Gly Ser Leu Arg Leu Ser Cys Ala

                  130                    135                    140

Ala Ser Gly Tyr Thr Phe Thr Ser Tyr Asn Met His Trp Val Arg Gln

145                    150                    155                    160

Ala Pro Gly Lys Gly Leu Glu Trp Val Ala Ala Ile Tyr Pro Gly Asn

                  165                    170                    175

Gly Asp Thr Ser Tyr Asn Gln Lys Phe Lys Gly Arg Phe Thr Ile Ser

                  180                    185                    190

Ala Asp Thr Ser Lys Asn Thr Ala Tyr Leu Gln Met Asn Ser Leu Arg

                  195                    200                    205

Ala Glu Asp Thr Ala Val Tyr Tyr Cys Ser Arg Ser Thr Tyr Tyr Gly  
 210 215 220

Gly Asp Trp Tyr Phe Asp Val Trp Gly Gln Gly Thr Leu Val Thr Val  
 225 230 235 240

Ser Ser Thr His Thr Cys Pro Pro Cys Pro Ala Pro Glu Leu Leu Gly  
 245 250 255

Gly Pro Ser Val Phe Leu Phe Pro Pro Lys Pro Lys Asp Thr Leu Met  
 260 265 270

Ile Ser Arg Thr Pro Glu Val Thr Cys Val Val Val Asp Val Ser His  
 275 280 285

Glu Asp Pro Glu Val Lys Phe Asn Trp Tyr Val Asp Gly Val Glu Val  
 290 295 300

His Asn Ala Lys Thr Lys Pro Arg Glu Glu Gln Tyr Asn Ser Thr Tyr  
 305 310 315 320

Arg Val Val Ser Val Leu Thr Val Leu His Gln Asp Trp Leu Asn Gly  
 325 330 335

Lys Glu Tyr Lys Cys Lys Val Ser Asn Lys Ala Leu Pro Ala Pro Ile  
 340 345 350

Glu Lys Thr Ile Ser Lys Ala Lys Gly Gln Pro Arg Glu Pro Gln Val  
 355 360 365

Tyr Thr Leu Pro Pro Ser Arg Asp Glu Leu Thr Lys Asn Gln Val Ser  
 370 375 380

Leu Thr Cys Leu Val Lys Gly Phe Tyr Pro Ser Asp Ile Ala Val Glu  
 385 390 395 400

Trp Glu Ser Asn Gly Gln Pro Glu Asn Asn Tyr Lys Thr Thr Pro Pro  
 405 410 415

Val Leu Asp Ser Asp Gly Ser Phe Phe Leu Tyr Ser Lys Leu Thr Val  
 420 425 430

Asp Lys Ser Arg Trp Gln Gln Gly Asn Val Phe Ser Cys Ser Val Met  
 435 440 445

His Glu Ala Leu His Asn His Tyr Thr Gln Lys Ser Leu Ser Leu Ser

450 455 460  
 Pro Gly Lys Gly Ser Lys Ala Phe Lys Lys Ala Phe Lys Ala Phe Lys  
 465 470 475 480

Lys Ala Phe Lys Ala Phe Lys  
 485

<210> 105

<211> 108

<212> PRT

<213> Artificial Sequence

<220><223> Description of Artificial Sequence: Anti-CD20 light chain  
 antibody

<400> 105

Met Asp Ile Gln Met Thr Gln Ser Pro Ser Ser Leu Ser Ala Ser Val

1 5 10 15

Gly Asp Arg Val Thr Ile Thr Cys Arg Ala Ser Ser Ser Val Ser Tyr

20 25 30

Ile His Trp Tyr Gln Gln Lys Pro Gly Lys Ala Pro Lys Leu Leu Ile

35 40 45

Tyr Ala Thr Ser Asn Leu Ala Ser Gly Val Pro Ser Arg Phe Ser Gly

50 55 60

Ser Arg Ser Gly Thr Asp Phe Thr Leu Thr Ile Ser Ser Leu Gln Pro

65 70 75 80

Glu Asp Phe Ala Thr Tyr Tyr Cys Gln Gln Trp Thr Ser Asn Pro Pro

85 90 95

Thr Phe Gly Gln Gly Thr Lys Val Glu Ile Lys Arg

100 105

<210> 106

<211> 106

<212> PRT

<213> Artificial Sequence

<220><223> Description of Artificial Sequence: Anti-CD20 light chain  
 antibody

<400> 106

Gly Gln Pro Lys Ala Asn Pro Thr Val Thr Leu Phe Pro Pro Ser Ser  
 1                   5                   10                   15  
 Glu Glu Leu Gln Ala Asn Lys Ala Thr Leu Val Cys Leu Ile Ser Asp  
                   20                   25                   30  
 Phe Tyr Pro Gly Ala Val Thr Val Ala Trp Lys Ala Asp Gly Ser Pro  
                   35                   40                   45  
 Val Lys Ala Gly Val Glu Thr Thr Lys Pro Ser Lys Gln Ser Asn Asn  
                   50                   55                   60  
 Lys Tyr Ala Ala Ser Ser Tyr Leu Ser Leu Thr Pro Glu Gln Trp Lys  
 65                   70                   75                   80  
 Ser His Arg Ser Tyr Ser Cys Gln Val Thr His Glu Gly Ser Thr Val  
                   85                   90                   95  
 Glu Lys Thr Val Ala Pro Thr Glu Cys Ser  
                   100                   105

<210> 107

<211> 122

<212> PRT

<213> Artificial Sequence

<220><223> Description of Artificial Sequence: Anti-CD20 heavy chain  
 antibody

<400> 107

Met Glu Val Gln Leu Val Glu Ser Gly Gly Gly Leu Val Gln Pro Gly  
 1                   5                   10                   15  
 Gly Ser Leu Arg Leu Ser Cys Ala Ala Ser Gly Tyr Thr Phe Thr Ser  
                   20                   25                   30  
 Tyr Asn Met His Trp Val Arg Gln Ala Pro Gly Lys Gly Leu Glu Trp  
                   35                   40                   45  
 Val Ala Ala Ile Tyr Pro Gly Asn Gly Asp Thr Ser Tyr Asn Gln Lys  
                   50                   55                   60  
 Phe Lys Gly Arg Phe Thr Ile Ser Ala Asp Thr Ser Lys Asn Thr Ala  
 65                   70                   75                   80

Tyr Leu Gln Met Asn Ser Leu Arg Ala Glu Asp Thr Ala Val Tyr Tyr  
 85 90 95

Cys Ser Arg Ser Thr Tyr Tyr Gly Gly Asp Trp Tyr Phe Asp Val Trp  
 100 105 110

Gly Gln Gly Thr Leu Val Thr Val Ser Ser  
 115 120

<210> 108

<211> 110

<212> PRT

<213> Artificial Sequence

<220><223> Description of Artificial Sequence: Anti-CD20 hinge antibody

<400> 108

Ala Ser Thr Lys Gly Pro Ser Val Phe Pro Leu Ala Pro Cys Ser Arg  
 1 5 10 15

Ser Thr Ser Glu Ser Thr Ala Ala Leu Gly Cys Leu Val Lys Asp Tyr  
 20 25 30

Phe Pro Glu Pro Val Thr Val Ser Trp Asn Ser Gly Ala Leu Thr Ser  
 35 40 45

Gly Val His Thr Phe Pro Ala Val Leu Gln Ser Ser Gly Leu Tyr Ser  
 50 55 60

Leu Ser Ser Val Val Thr Val Pro Ser Ser Asn Phe Gly Thr Gln Thr  
 65 70 75 80

Tyr Thr Cys Asn Val Asp His Lys Pro Ser Asn Thr Lys Val Asp Lys  
 85 90 95

Thr Val Glu Arg Lys Cys Cys Val Glu Cys Pro Pro Cys Pro  
 100 105 110

<210> 109

<211> 216

<212> PRT

<213> Artificial Sequence

<220><223> Description of Artificial Sequence: Anti-CD20 heavy chain  
 antibody

<400> 109

Ala Pro Pro Val Ala Gly Pro Ser Val Phe Leu Phe Pro Pro Lys Pro  
 1                    5                    10                    15  
 Lys Asp Thr Leu Met Ile Ser Arg Thr Pro Glu Val Thr Cys Val Val  
                   20                    25                    30  
 Val Asp Val Ser His Glu Asp Pro Glu Val Gln Phe Asn Trp Tyr Val  
                   35                    40                    45  
 Asp Gly Val Glu Val His Asn Ala Lys Thr Lys Pro Arg Glu Glu Gln  
                   50                    55                    60  
 Phe Asn Ser Thr Phe Arg Val Val Ser Val Leu Thr Val Val His Gln  
 65                    70                    75                    80  
 Asp Trp Leu Asn Gly Lys Glu Tyr Lys Cys Lys Val Ser Asn Lys Gly  
                   85                    90                    95  
 Leu Pro Ala Pro Ile Glu Lys Thr Ile Ser Lys Thr Lys Gly Gln Pro  
                   100                    105                    110  
 Arg Glu Pro Gln Val Tyr Thr Leu Pro Pro Ser Arg Glu Glu Met Thr  
                   115                    120                    125  
 Lys Asn Gln Val Ser Leu Thr Cys Leu Val Lys Gly Phe Tyr Pro Ser  
                   130                    135                    140  
 Asp Ile Ala Val Glu Trp Glu Ser Asn Gly Gln Pro Glu Asn Asn Tyr  
 145                    150                    155                    160  
 Lys Thr Thr Pro Pro Met Leu Asp Ser Asp Gly Ser Phe Phe Leu Tyr  
                   165                    170                    175  
 Ser Lys Leu Thr Val Asp Lys Ser Arg Trp Gln Gln Gly Asn Val Phe  
                   180                    185                    190  
 Ser Cys Ser Val Met His Glu Ala Leu His Asn His Tyr Thr Gln Lys  
                   195                    200                    205  
 Ser Leu Ser Leu Ser Pro Gly Lys  
                   210                    215

<210> 110

<211> 765

<212> DNA

<213> Artificial Sequence

<220><223> Description of Artificial Sequence: ADC light chain target

<400> 110

atgaagttcg caaagttcgc caaaaagttc gcaaagttcg caaaaaagtt cgccaaaggg 60  
 tcagatattc agatgactca gagccccagc tcctgtccg catctgtggg cgaccgagtc 120  
 actatcacct gccgagcctc tagttcagtg agctacattc actggtatca gcagaagcct 180  
 gggaaagccc caaagctgct catctacgcc acaagcaacc tggcttccgg tgtgccttct 240  
 agttcagtg ggtcaagaag cggtacagac tttaactga ctattagctc cctccagcca 300  
 gaggatttcg ccaattacta ttgccagcag tggacttcca atccccctac ctttgccag 360  
 ggaacaaaag tggaaatcaa ggggcagccc aaagctaacc ctaccgtcac actgttccca 420

ccctctagtg aggaactcca ggcaaataag gccactctgg tgtgtctcat ttccgacttt 480  
 taccocggag ctgtgacctg cgcttggag gcagatggct ctccagtga agcaggagtc 540  
 gagaccacaa aaccagtaa gcagtcaa acataagtag cgccttcaag ctatctgagt 600  
 ctccccctg aacagtggaa aagccatagg tctattctt gccaggtcac tcacgaaggt 660  
 agcactgtgg aaaagactgt cgcaccaacc gaatgtagcg gctccaagc tttcaagaag 720  
 gccttcaagg cttcaagaa agcattcaag gcctttaaata gataa 765

<210> 111

<211> 1470

<212> DNA

<213> Artificial Sequence

<220><223> Description of Artificial Sequence: ADC heavy chain target

<400> 111

atgaagttcg ccaaatitgc taagaaattc gcaaagtttg ccaagaaatt cgctaaagc 60  
 tccgaagtgc agctcgtcga aagcgggggg ggactcgtgc agccaggggg aagcctcaga 120  
 ctctcatgcg ccgcctcagg ttatactttc acaagctaca acatgcactg ggtcagacag 180  
 gcacctggga agggcttggg gtgggtggcc gctatctacc caggcaacgg agacacatct 240  
 tataatcaga agttcaaagg ccggtttact attagcgcag atacatcaa gaacactgcc 300  
 tacctgcaga tgaatagcct ccgggctgaa gacactgcag tgtactattg cagtcgctca 360

acctactatg gcggagactg gtatttcgat gtgtgggggc agggctactct ggtcaccgtg 420  
 agctccgct ctaccaaggg gcccaagtgtg ttccaactgg ctcctgcag ccggtccacc 480  
 tctgagagta cagcagcctt gggttgtctc gtgaaagatt acttcctga accagtcacc 540

gtgtcctgga acictggcgc tctgaccagc ggagtccaca catttcctgc agtgctccag 600  
 tctagtgggc tgiactcctt ctcaagcgtg gtcacagtcc catcctctaa tttcggact 660  
 cagacctata catgcaacgt ggaccataag cctccaata ctaaggtcga taaaaccgtg 720  
 gagcgcaaat gctgtgtgga atgcccacct tgtccagcac caccagtgcg tgggcctagc 780

gtgttctgt ttctccaaa gccaaaagac actctcatga tctctgaac tcccagggtc 840  
 acctgtgtgg tegtggacgt cagtcacgag gatcctgaag tccagttta ctggtacgtg 900  
 gatggagtgc aagtgcataa tgcaagacc aaaccaaggg agaacagtt caactcaacc 960  
 ttttagtgcg tgagcgtgct gacagtctg catcaggact ggctcaacgg gaaggagtat 1020  
 aagtgcaaag tgictaataa gggctctgcc gctcctatcg agaaaacaat tagcaagact 1080  
 aaaggacagc ctcgagaacc acaggtgtac aactgcccc ctagcaggga ggaaatgaca 1140  
 aagaaccagg tctcctgac ttgtctctg aaaggcttct atcccagtga cattgccgtg 1200

gagtgggaat caaatggaca gcctgagaac aattacaaga ccacaccacc catgctggac 1260  
 agtgatggct cattctttct gtattccaag ctaccgtgg ataaatctag gtggcagcag 1320  
 ggaaatgtct tttcatgtag cgtgatgcac gaggtctctc ataaccatta cacccagaag 1380  
 tcctgtcac tctccccgg caaaggctcc aaggctttca agaaggcctt caaggcctt 1440  
 aagaaagcat tcaaggcctt taaatgataa 1470

<210> 112

<211> 33

<212> DNA

<213> Artificial Sequence

<220><223> Description of Artificial Sequence: ADC light chain primer

<400> 112

gggggcgcgc cgatattcag atgactcaga gcc 33

<210> 113

<211> 31

<212> DNA

<213> Artificial Sequence

<220><223> Description of Artificial Sequence: ADC light chain primer

<400> 113

gggggcgcgc caagttcgca aagttcgcca a 31

<210> 114

<211> 31

<212> DNA  
 <213> Artificial Sequence  
 <220><223> Description of Artificial Sequence: ADC light chain primer  
 <400> 114  
 ggggaattct taccagctac attcggttg t 31

<210> 115  
 <211> 34  
 <212> DNA  
 <213> Artificial Sequence  
 <220><223> Description of Artificial Sequence: ADC light chain primer  
 <400> 115  
 ggggaattct taccatttaa aggccttgaa tgct 34

<210> 116  
 <211> 31  
 <212> DNA  
 <213> Artificial Sequence  
 <220><223> Description of Artificial Sequence: ADC heavy chain primer  
 <400> 116  
 gggggcgcgc cgaagtgcag ctgcgcgaaa g 31

<210> 117  
 <211> 33  
 <212> DNA  
 <213> Artificial Sequence  
 <220><223> Description of Artificial Sequence: ADC heavy chain primer  
 <400> 117  
 gggggcgcgc caagttgcc aaatttgcta aga 33

<210> 118  
 <211> 27  
 <212> DNA  
 <213> Artificial Sequence  
 <220><223> Description of Artificial Sequence: ADC heavy chain primer  
 <400> 118  
 ggggaattct taccatttgc cggggga 27

<210> 119

<211> 212

<212> PRT

<213> Artificial Sequence

<220><223> Description of Artificial Sequence: Light chain naked antibody

<400> 119

Asp Ile Gln Met Thr Gln Ser Pro Ser Ser Leu Ser Ala Ser Val Gly

1                    5                    10                    15

Asp Arg Val Thr Ile Thr Cys Arg Ala Ser Ser Ser Val Ser Tyr Ile

                  20                    25                    30

His Trp Tyr Gln Gln Lys Pro Gly Lys Ala Pro Lys Leu Leu Ile Tyr

                  35                    40                    45

Ala Thr Ser Asn Leu Ala Ser Gly Val Pro Ser Arg Phe Ser Gly Ser

                  50                    55                    60

Arg Ser Gly Thr Asp Phe Thr Leu Thr Ile Ser Ser Leu Gln Pro Glu

65                    70                    75                    80

Asp Phe Ala Thr Tyr Tyr Cys Gln Gln Trp Thr Ser Asn Pro Pro Thr

                  85                    90                    95

Phe Gly Gln Gly Thr Lys Val Glu Ile Lys Gly Gln Pro Lys Ala Asn

                  100                    105                    110

Pro Thr Val Thr Leu Phe Pro Pro Ser Ser Glu Glu Leu Gln Ala Asn

                  115                    120                    125

Lys Ala Thr Leu Val Cys Leu Ile Ser Asp Phe Tyr Pro Gly Ala Val

                  130                    135                    140

Thr Val Ala Trp Lys Ala Asp Gly Ser Pro Val Lys Ala Gly Val Glu

145                    150                    155                    160

Thr Thr Lys Pro Ser Lys Gln Ser Asn Asn Lys Tyr Ala Ala Ser Ser

                  165                    170                    175

Tyr Leu Ser Leu Thr Pro Glu Gln Trp Lys Ser His Arg Ser Tyr Ser

                  180                    185                    190

Cys Gln Val Thr His Glu Gly Ser Thr Val Glu Lys Thr Val Ala Pro

195                                      200                                      205  
 Thr Glu Cys Ser  
 210  
 <210> 120  
 <211> 447  
 <212> PRT  
 <213> Artificial Sequence  
 <220><223> Description of Artificial Sequence: Heavy chain naked antibody  
 <400> 120  
 Glu Val Gln Leu Val Glu Ser Gly Gly Gly Leu Val Gln Pro Gly Gly  
 1                                      5                                      10                                      15  
 Ser Leu Arg Leu Ser Cys Ala Ala Ser Gly Tyr Thr Phe Thr Ser Tyr  
  
 20                                      25                                      30  
 Asn Met His Trp Val Arg Gln Ala Pro Gly Lys Gly Leu Glu Trp Val  
 35                                      40                                      45  
 Ala Ala Ile Tyr Pro Gly Asn Gly Asp Thr Ser Tyr Asn Gln Lys Phe  
 50                                      55                                      60  
 Lys Gly Arg Phe Thr Ile Ser Ala Asp Thr Ser Lys Asn Thr Ala Tyr  
 65                                      70                                      75                                      80  
 Leu Gln Met Asn Ser Leu Arg Ala Glu Asp Thr Ala Val Tyr Tyr Cys  
  
 85                                      90                                      95  
 Ser Arg Ser Thr Tyr Tyr Gly Gly Asp Trp Tyr Phe Asp Val Trp Gly  
 100                                      105                                      110  
 Gln Gly Thr Leu Val Thr Val Ser Ser Ala Ser Thr Lys Gly Pro Ser  
 115                                      120                                      125  
 Val Phe Pro Leu Ala Pro Cys Ser Arg Ser Thr Ser Glu Ser Thr Ala  
 130                                      135                                      140  
 Ala Leu Gly Cys Leu Val Lys Asp Tyr Phe Pro Glu Pro Val Thr Val  
  
 145                                      150                                      155                                      160  
 Ser Trp Asn Ser Gly Ala Leu Thr Ser Gly Val His Thr Phe Pro Ala  
 165                                      170                                      175  
 Val Leu Gln Ser Ser Gly Leu Tyr Ser Leu Ser Ser Val Val Thr Val



His Asn His Tyr Thr Gln Lys Ser Leu Ser Leu Ser Pro Gly Lys

435 440 445

<210> 121

<211> 233

<212> PRT

<213> Artificial Sequence

<220><223> Description of Artificial Sequence: Light chain naked antibody

<400> 121

Met Lys Phe Ala Lys Phe Ala Lys Lys Phe Ala Lys Phe Ala Lys Lys

1 5 10 15  
Phe Ala Lys Gly Ser Asp Ile Gln Met Thr Gln Ser Pro Ser Ser Leu

20 25 30  
Ser Ala Ser Val Gly Asp Arg Val Thr Ile Thr Cys Arg Ala Ser Ser

35 40 45  
Ser Val Ser Tyr Ile His Trp Tyr Gln Gln Lys Pro Gly Lys Ala Pro

50 55 60  
Lys Leu Leu Ile Tyr Ala Thr Ser Asn Leu Ala Ser Gly Val Pro Ser

65 70 75 80  
Arg Phe Ser Gly Ser Arg Ser Gly Thr Asp Phe Thr Leu Thr Ile Ser

85 90 95  
Ser Leu Gln Pro Glu Asp Phe Ala Thr Tyr Tyr Cys Gln Gln Trp Thr

100 105 110  
Ser Asn Pro Pro Thr Phe Gly Gln Gly Thr Lys Val Glu Ile Lys Gly

115 120 125  
Gln Pro Lys Ala Asn Pro Thr Val Thr Leu Phe Pro Pro Ser Ser Glu

130 135 140  
Glu Leu Gln Ala Asn Lys Ala Thr Leu Val Cys Leu Ile Ser Asp Phe

145 150 155 160  
Tyr Pro Gly Ala Val Thr Val Ala Trp Lys Ala Asp Gly Ser Pro Val

165 170 175  
Lys Ala Gly Val Glu Thr Thr Lys Pro Ser Lys Gln Ser Asn Asn Lys

180 185 190

Tyr Ala Ala Ser Ser Tyr Leu Ser Leu Thr Pro Glu Gln Trp Lys Ser

195 200 205

His Arg Ser Tyr Ser Cys Gln Val Thr His Glu Gly Ser Thr Val Glu

210 215 220

Lys Thr Val Ala Pro Thr Glu Cys Ser

225 230

<210> 122

<211> 447

<212> PRT

<213> Artificial Sequence

<220><223> Description of Artificial Sequence: Heavy chain naked antibody

<400> 122

Glu Val Gln Leu Val Glu Ser Gly Gly Gly Leu Val Gln Pro Gly Gly

1 5 10 15

Ser Leu Arg Leu Ser Cys Ala Ala Ser Gly Tyr Thr Phe Thr Ser Tyr

20 25 30

Asn Met His Trp Val Arg Gln Ala Pro Gly Lys Gly Leu Glu Trp Val

35 40 45

Ala Ala Ile Tyr Pro Gly Asn Gly Asp Thr Ser Tyr Asn Gln Lys Phe

50 55 60

Lys Gly Arg Phe Thr Ile Ser Ala Asp Thr Ser Lys Asn Thr Ala Tyr

65 70 75 80

Leu Gln Met Asn Ser Leu Arg Ala Glu Asp Thr Ala Val Tyr Tyr Cys

85 90 95

Ser Arg Ser Thr Tyr Tyr Gly Gly Asp Trp Tyr Phe Asp Val Trp Gly

100 105 110

Gln Gly Thr Leu Val Thr Val Ser Ser Ala Ser Thr Lys Gly Pro Ser

115 120 125

Val Phe Pro Leu Ala Pro Cys Ser Arg Ser Thr Ser Glu Ser Thr Ala

130 135 140

Ala Leu Gly Cys Leu Val Lys Asp Tyr Phe Pro Glu Pro Val Thr Val

145                    150                    155                    160  
 Ser Trp Asn Ser Gly Ala Leu Thr Ser Gly Val His Thr Phe Pro Ala  
                                  165                    170                    175  
 Val Leu Gln Ser Ser Gly Leu Tyr Ser Leu Ser Ser Val Val Thr Val  
                                  180                    185                    190  
 Pro Ser Ser Asn Phe Gly Thr Gln Thr Tyr Thr Cys Asn Val Asp His  
                                  195                    200                    205  
  
 Lys Pro Ser Asn Thr Lys Val Asp Lys Thr Val Glu Arg Lys Cys Cys  
                                  210                    215                    220  
 Val Glu Cys Pro Pro Cys Pro Ala Pro Pro Val Ala Gly Pro Ser Val  
 225                    230                    235                    240  
 Phe Leu Phe Pro Pro Lys Pro Lys Asp Thr Leu Met Ile Ser Arg Thr  
                                  245                    250                    255  
 Pro Glu Val Thr Cys Val Val Val Asp Val Ser His Glu Asp Pro Glu  
                                  260                    265                    270  
  
 Val Gln Phe Asn Trp Tyr Val Asp Gly Val Glu Val His Asn Ala Lys  
                                  275                    280                    285  
 Thr Lys Pro Arg Glu Glu Gln Phe Asn Ser Thr Phe Arg Val Val Ser  
                                  290                    295                    300  
 Val Leu Thr Val Val His Gln Asp Trp Leu Asn Gly Lys Glu Tyr Lys  
 305                    310                    315                    320  
 Cys Lys Val Ser Asn Lys Gly Leu Pro Ala Pro Ile Glu Lys Thr Ile  
                                  325                    330                    335  
  
 Ser Lys Thr Lys Gly Gln Pro Arg Glu Pro Gln Val Tyr Thr Leu Pro  
                                  340                    345                    350  
 Pro Ser Arg Glu Glu Met Thr Lys Asn Gln Val Ser Leu Thr Cys Leu  
                                  355                    360                    365  
 Val Lys Gly Phe Tyr Pro Ser Asp Ile Ala Val Glu Trp Glu Ser Asn  
                                  370                    375                    380  
 Gly Gln Pro Glu Asn Asn Tyr Lys Thr Thr Pro Pro Met Leu Asp Ser  
 385                    390                    395                    400

Asp Gly Ser Phe Phe Leu Tyr Ser Lys Leu Thr Val Asp Lys Ser Arg  
 405 410 415  
 Trp Gln Gln Gly Asn Val Phe Ser Cys Ser Val Met His Glu Ala Leu  
 420 425 430  
 His Asn His Tyr Thr Gln Lys Ser Leu Ser Leu Ser Pro Gly Lys  
 435 440 445

<210> 123

<211> 212

<212> PRT

<213> Artificial Sequence

<220><223> Description of Artificial Sequence: Light chain naked antibody

<400> 123

Asp Ile Gln Met Thr Gln Ser Pro Ser Ser Leu Ser Ala Ser Val Gly  
 1 5 10 15  
 Asp Arg Val Thr Ile Thr Cys Arg Ala Ser Ser Ser Val Ser Tyr Ile  
 20 25 30  
 His Trp Tyr Gln Gln Lys Pro Gly Lys Ala Pro Lys Leu Leu Ile Tyr  
 35 40 45  
 Ala Thr Ser Asn Leu Ala Ser Gly Val Pro Ser Arg Phe Ser Gly Ser  
 50 55 60

Arg Ser Gly Thr Asp Phe Thr Leu Thr Ile Ser Ser Leu Gln Pro Glu  
 65 70 75 80  
 Asp Phe Ala Thr Tyr Tyr Cys Gln Gln Trp Thr Ser Asn Pro Pro Thr  
 85 90 95  
 Phe Gly Gln Gly Thr Lys Val Glu Ile Lys Gly Gln Pro Lys Ala Asn  
 100 105 110  
 Pro Thr Val Thr Leu Phe Pro Pro Ser Ser Glu Glu Leu Gln Ala Asn  
 115 120 125

Lys Ala Thr Leu Val Cys Leu Ile Ser Asp Phe Tyr Pro Gly Ala Val  
 130 135 140  
 Thr Val Ala Trp Lys Ala Asp Gly Ser Pro Val Lys Ala Gly Val Glu  
 145 150 155 160

Thr Thr Lys Pro Ser Lys Gln Ser Asn Asn Lys Tyr Ala Ala Ser Ser  
 165 170 175

Tyr Leu Ser Leu Thr Pro Glu Gln Trp Lys Ser His Arg Ser Tyr Ser  
 180 185 190

Cys Gln Val Thr His Glu Gly Ser Thr Val Glu Lys Thr Val Ala Pro  
 195 200 205

Thr Glu Cys Ser  
 210

<210> 124

<211> 468

<212> PRT

<213> Artificial Sequence

<220><223> Description of Artificial Sequence: Heavy chain naked antibody

<400> 124

Met Lys Phe Ala Lys Phe Ala Lys Lys Phe Ala Lys Phe Ala Lys Lys  
 1 5 10 15

Phe Ala Lys Gly Ser Glu Val Gln Leu Val Glu Ser Gly Gly Gly Leu  
 20 25 30

Val Gln Pro Gly Gly Ser Leu Arg Leu Ser Cys Ala Ala Ser Gly Tyr  
 35 40 45

Thr Phe Thr Ser Tyr Asn Met His Trp Val Arg Gln Ala Pro Gly Lys  
 50 55 60

Gly Leu Glu Trp Val Ala Ala Ile Tyr Pro Gly Asn Gly Asp Thr Ser  
 65 70 75 80

Tyr Asn Gln Lys Phe Lys Gly Arg Phe Thr Ile Ser Ala Asp Thr Ser  
 85 90 95

Lys Asn Thr Ala Tyr Leu Gln Met Asn Ser Leu Arg Ala Glu Asp Thr  
 100 105 110

Ala Val Tyr Tyr Cys Ser Arg Ser Thr Tyr Tyr Gly Gly Asp Trp Tyr  
 115 120 125

Phe Asp Val Trp Gly Gln Gly Thr Leu Val Thr Val Ser Ser Ala Ser  
 130 135 140

Thr Lys Gly Pro Ser Val Phe Pro Leu Ala Pro Cys Ser Arg Ser Thr  
 145                      150                      155                      160  
 Ser Glu Ser Thr Ala Ala Leu Gly Cys Leu Val Lys Asp Tyr Phe Pro  
                                  165                      170                      175  
 Glu Pro Val Thr Val Ser Trp Asn Ser Gly Ala Leu Thr Ser Gly Val  
                                  180                      185                      190  
 His Thr Phe Pro Ala Val Leu Gln Ser Ser Gly Leu Tyr Ser Leu Ser  
                                  195                      200                      205  
 Ser Val Val Thr Val Pro Ser Ser Asn Phe Gly Thr Gln Thr Tyr Thr  
 210                      215                      220  
 Cys Asn Val Asp His Lys Pro Ser Asn Thr Lys Val Asp Lys Thr Val  
 225                      230                      235                      240  
 Glu Arg Lys Cys Cys Val Glu Cys Pro Pro Cys Pro Ala Pro Pro Val  
                                  245                      250                      255  
 Ala Gly Pro Ser Val Phe Leu Phe Pro Pro Lys Pro Lys Asp Thr Leu  
                                  260                      265                      270  
 Met Ile Ser Arg Thr Pro Glu Val Thr Cys Val Val Val Asp Val Ser  
 275                      280                      285  
 His Glu Asp Pro Glu Val Gln Phe Asn Trp Tyr Val Asp Gly Val Glu  
                                  290                      295                      300  
 Val His Asn Ala Lys Thr Lys Pro Arg Glu Glu Gln Phe Asn Ser Thr  
 305                      310                      315                      320  
 Phe Arg Val Val Ser Val Leu Thr Val Val His Gln Asp Trp Leu Asn  
                                  325                      330                      335  
 Gly Lys Glu Tyr Lys Cys Lys Val Ser Asn Lys Gly Leu Pro Ala Pro  
 340                      345                      350  
 Ile Glu Lys Thr Ile Ser Lys Thr Lys Gly Gln Pro Arg Glu Pro Gln  
                                  355                      360                      365  
 Val Tyr Thr Leu Pro Pro Ser Arg Glu Glu Met Thr Lys Asn Gln Val  
                                  370                      375                      380  
 Ser Leu Thr Cys Leu Val Lys Gly Phe Tyr Pro Ser Asp Ile Ala Val

385                      390                      395                      400  
 Glu Trp Glu Ser Asn Gly Gln Pro Glu Asn Asn Tyr Lys Thr Thr Pro  
  
                                  405                      410                      415  
 Pro Met Leu Asp Ser Asp Gly Ser Phe Phe Leu Tyr Ser Lys Leu Thr  
                                  420                      425                      430  
 Val Asp Lys Ser Arg Trp Gln Gln Gly Asn Val Phe Ser Cys Ser Val  
                                  435                      440                      445  
 Met His Glu Ala Leu His Asn His Tyr Thr Gln Lys Ser Leu Ser Leu  
                                  450                      455                      460  
 Ser Pro Gly Lys  
 465  
 <210> 125  
  
 <211> 233  
 <212> PRT  
 <213> Artificial Sequence  
 <220><223> Description of Artificial Sequence: Light chain naked antibody  
 <400> 125  
  
 Met Lys Phe Ala Lys Phe Ala Lys Lys Phe Ala Lys Phe Ala Lys Lys  
 1                      5                      10                      15  
 Phe Ala Lys Gly Ser Asp Ile Gln Met Thr Gln Ser Pro Ser Ser Leu  
                                  20                      25                      30  
 Ser Ala Ser Val Gly Asp Arg Val Thr Ile Thr Cys Arg Ala Ser Ser  
                                  35                      40                      45  
  
 Ser Val Ser Tyr Ile His Trp Tyr Gln Gln Lys Pro Gly Lys Ala Pro  
                                  50                      55                      60  
 Lys Leu Leu Ile Tyr Ala Thr Ser Asn Leu Ala Ser Gly Val Pro Ser  
 65                      70                      75                      80  
 Arg Phe Ser Gly Ser Arg Ser Gly Thr Asp Phe Thr Leu Thr Ile Ser  
                                  85                      90                      95  
 Ser Leu Gln Pro Glu Asp Phe Ala Thr Tyr Tyr Cys Gln Gln Trp Thr  
                                  100                      105                      110

Ser Asn Pro Pro Thr Phe Gly Gln Gly Thr Lys Val Glu Ile Lys Gly  
 115 120 125  
 Gln Pro Lys Ala Asn Pro Thr Val Thr Leu Phe Pro Pro Ser Ser Glu  
 130 135 140  
 Glu Leu Gln Ala Asn Lys Ala Thr Leu Val Cys Leu Ile Ser Asp Phe  
 145 150 155 160  
 Tyr Pro Gly Ala Val Thr Val Ala Trp Lys Ala Asp Gly Ser Pro Val  
 165 170 175

Lys Ala Gly Val Glu Thr Thr Lys Pro Ser Lys Gln Ser Asn Asn Lys  
 180 185 190  
 Tyr Ala Ala Ser Ser Tyr Leu Ser Leu Thr Pro Glu Gln Trp Lys Ser  
 195 200 205  
 His Arg Ser Tyr Ser Cys Gln Val Thr His Glu Gly Ser Thr Val Glu  
 210 215 220

Lys Thr Val Ala Pro Thr Glu Cys Ser  
 225 230

<210> 126

<211> 468

<212> PRT

<213> Artificial Sequence

<220><223> Description of Artificial Sequence: Heavy chain naked antibody

<400> 126

Met Lys Phe Ala Lys Phe Ala Lys Lys Phe Ala Lys Phe Ala Lys Lys  
 1 5 10 15  
 Phe Ala Lys Gly Ser Glu Val Gln Leu Val Glu Ser Gly Gly Gly Leu  
 20 25 30  
 Val Gln Pro Gly Gly Ser Leu Arg Leu Ser Cys Ala Ala Ser Gly Tyr  
 35 40 45

Thr Phe Thr Ser Tyr Asn Met His Trp Val Arg Gln Ala Pro Gly Lys  
 50 55 60  
 Gly Leu Glu Trp Val Ala Ala Ile Tyr Pro Gly Asn Gly Asp Thr Ser  
 65 70 75 80



325 330 335  
 Gly Lys Glu Tyr Lys Cys Lys Val Ser Asn Lys Gly Leu Pro Ala Pro

340 345 350  
 Ile Glu Lys Thr Ile Ser Lys Thr Lys Gly Gln Pro Arg Glu Pro Gln  
 355 360 365

Val Tyr Thr Leu Pro Pro Ser Arg Glu Glu Met Thr Lys Asn Gln Val  
 370 375 380

Ser Leu Thr Cys Leu Val Lys Gly Phe Tyr Pro Ser Asp Ile Ala Val  
 385 390 395 400

Glu Trp Glu Ser Asn Gly Gln Pro Glu Asn Asn Tyr Lys Thr Thr Pro  
 405 410 415

Pro Met Leu Asp Ser Asp Gly Ser Phe Phe Leu Tyr Ser Lys Leu Thr  
 420 425 430

Val Asp Lys Ser Arg Trp Gln Gln Gly Asn Val Phe Ser Cys Ser Val  
 435 440 445

Met His Glu Ala Leu His Asn His Tyr Thr Gln Lys Ser Leu Ser Leu  
 450 455 460

Ser Pro Gly Lys

465

<210> 127

<211> 253

<212> PRT

<213> Artificial Sequence

<220><223> Description of Artificial Sequence: Light chain naked antibody

<400> 127

Met Lys Phe Ala Lys Phe Ala Lys Lys Phe Ala Lys Phe Ala Lys Lys

1 5 10 15  
 Phe Ala Lys Gly Ser Asp Ile Gln Met Thr Gln Ser Pro Ser Ser Leu

20 25 30  
 Ser Ala Ser Val Gly Asp Arg Val Thr Ile Thr Cys Arg Ala Ser Ser

35 40 45  
 Ser Val Ser Tyr Ile His Trp Tyr Gln Gln Lys Pro Gly Lys Ala Pro

50 55 60  
 Lys Leu Leu Ile Tyr Ala Thr Ser Asn Leu Ala Ser Gly Val Pro Ser

65 70 75 80  
 Arg Phe Ser Gly Ser Arg Ser Gly Thr Asp Phe Thr Leu Thr Ile Ser

85 90 95  
 Ser Leu Gln Pro Glu Asp Phe Ala Thr Tyr Tyr Cys Gln Gln Trp Thr

100 105 110  
 Ser Asn Pro Pro Thr Phe Gly Gln Gly Thr Lys Val Glu Ile Lys Gly

115 120 125  
 Gln Pro Lys Ala Asn Pro Thr Val Thr Leu Phe Pro Pro Ser Ser Glu

130 135 140  
 Glu Leu Gln Ala Asn Lys Ala Thr Leu Val Cys Leu Ile Ser Asp Phe

145 150 155 160  
 Tyr Pro Gly Ala Val Thr Val Ala Trp Lys Ala Asp Gly Ser Pro Val

165 170 175  
 Lys Ala Gly Val Glu Thr Thr Lys Pro Ser Lys Gln Ser Asn Asn Lys

180 185 190  
 Tyr Ala Ala Ser Ser Tyr Leu Ser Leu Thr Pro Glu Gln Trp Lys Ser

195 200 205  
 His Arg Ser Tyr Ser Cys Gln Val Thr His Glu Gly Ser Thr Val Glu

210 215 220  
 Lys Thr Val Ala Pro Thr Glu Cys Ser Gly Ser Lys Ala Phe Lys Lys

225 230 235 240  
 Ala Phe Lys Ala Phe Lys Lys Ala Phe Lys Ala Phe Lys

245 250

<210> 128

<211> 468

<212> PRT

<213> Artificial Sequence

<220

><223> Description of Artificial Sequence: Heavy chain naked antibody

<400> 128

Met Lys Phe Ala Lys Phe Ala Lys Lys Phe Ala Lys Phe Ala Lys Lys  
 1                    5                    10                    15  
 Phe Ala Lys Gly Ser Glu Val Gln Leu Val Glu Ser Gly Gly Gly Leu  
                   20                    25                    30  
 Val Gln Pro Gly Gly Ser Leu Arg Leu Ser Cys Ala Ala Ser Gly Tyr  
                   35                    40                    45  
 Thr Phe Thr Ser Tyr Asn Met His Trp Val Arg Gln Ala Pro Gly Lys  
                   50                    55                    60  
 Gly Leu Glu Trp Val Ala Ala Ile Tyr Pro Gly Asn Gly Asp Thr Ser  
 65                    70                    75                    80  
 Tyr Asn Gln Lys Phe Lys Gly Arg Phe Thr Ile Ser Ala Asp Thr Ser  
                   85                    90                    95  
 Lys Asn Thr Ala Tyr Leu Gln Met Asn Ser Leu Arg Ala Glu Asp Thr  
                   100                    105                    110  
 Ala Val Tyr Tyr Cys Ser Arg Ser Thr Tyr Tyr Gly Gly Asp Trp Tyr  
                   115                    120                    125  
 Phe Asp Val Trp Gly Gln Gly Thr Leu Val Thr Val Ser Ser Ala Ser  
                   130                    135                    140  
 Thr Lys Gly Pro Ser Val Phe Pro Leu Ala Pro Cys Ser Arg Ser Thr  
 145                    150                    155                    160  
 Ser Glu Ser Thr Ala Ala Leu Gly Cys Leu Val Lys Asp Tyr Phe Pro  
                   165                    170                    175  
 Glu Pro Val Thr Val Ser Trp Asn Ser Gly Ala Leu Thr Ser Gly Val  
                   180                    185                    190  
 His Thr Phe Pro Ala Val Leu Gln Ser Ser Gly Leu Tyr Ser Leu Ser  
                   195                    200                    205  
 Ser Val Val Thr Val Pro Ser Ser Asn Phe Gly Thr Gln Thr Tyr Thr  
                   210                    215                    220  
 Cys Asn Val Asp His Lys Pro Ser Asn Thr Lys Val Asp Lys Thr Val  
 225                    230                    235                    240  
 Glu Arg Lys Cys Cys Val Glu Cys Pro Pro Cys Pro Ala Pro Pro Val



<213> Artificial Sequence

<220><223> Description of Artificial Sequence: Light chain naked antibody

<400> 129

Met Lys Phe Ala Lys Phe Ala Lys Lys Phe Ala Lys Phe Ala Lys Lys  
 1                    5                    10                    15

Phe Ala Lys Gly Ser Asp Ile Gln Met Thr Gln Ser Pro Ser Ser Leu  
                   20                    25                    30

Ser Ala Ser Val Gly Asp Arg Val Thr Ile Thr Cys Arg Ala Ser Ser  
                   35                    40                    45

Ser Val Ser Tyr Ile His Trp Tyr Gln Gln Lys Pro Gly Lys Ala Pro  
                   50                    55                    60

Lys Leu Leu Ile Tyr Ala Thr Ser Asn Leu Ala Ser Gly Val Pro Ser  
 65                    70                    75                    80

Arg Phe Ser Gly Ser Arg Ser Gly Thr Asp Phe Thr Leu Thr Ile Ser  
                   85                    90                    95

Ser Leu Gln Pro Glu Asp Phe Ala Thr Tyr Tyr Cys Gln Gln Trp Thr  
                   100                    105                    110

Ser Asn Pro Pro Thr Phe Gly Gln Gly Thr Lys Val Glu Ile Lys Gly  
                   115                    120                    125

Gln Pro Lys Ala Asn Pro Thr Val Thr Leu Phe Pro Pro Ser Ser Glu  
                   130                    135                    140

Glu Leu Gln Ala Asn Lys Ala Thr Leu Val Cys Leu Ile Ser Asp Phe  
 145                    150                    155                    160

Tyr Pro Gly Ala Val Thr Val Ala Trp Lys Ala Asp Gly Ser Pro Val  
                   165                    170                    175

Lys Ala Gly Val Glu Thr Thr Lys Pro Ser Lys Gln Ser Asn Asn Lys  
                   180                    185                    190

Tyr Ala Ala Ser Ser Tyr Leu Ser Leu Thr Pro Glu Gln Trp Lys Ser  
                   195                    200                    205

His Arg Ser Tyr Ser Cys Gln Val Thr His Glu Gly Ser Thr Val Glu  
                   210                    215                    220



Glu Pro Val Thr Val Ser Trp Asn Ser Gly Ala Leu Thr Ser Gly Val  
 180 185 190  
  
 His Thr Phe Pro Ala Val Leu Gln Ser Ser Gly Leu Tyr Ser Leu Ser  
 195 200 205  
 Ser Val Val Thr Val Pro Ser Ser Asn Phe Gly Thr Gln Thr Tyr Thr  
 210 215 220  
 Cys Asn Val Asp His Lys Pro Ser Asn Thr Lys Val Asp Lys Thr Val  
 225 230 235 240  
 Glu Arg Lys Cys Cys Val Glu Cys Pro Pro Cys Pro Ala Pro Pro Val  
 245 250 255  
  
 Ala Gly Pro Ser Val Phe Leu Phe Pro Pro Lys Pro Lys Asp Thr Leu  
 260 265 270  
 Met Ile Ser Arg Thr Pro Glu Val Thr Cys Val Val Val Asp Val Ser  
 275 280 285  
 His Glu Asp Pro Glu Val Gln Phe Asn Trp Tyr Val Asp Gly Val Glu  
 290 295 300  
 Val His Asn Ala Lys Thr Lys Pro Arg Glu Glu Gln Phe Asn Ser Thr  
 305 310 315 320  
  
 Phe Arg Val Val Ser Val Leu Thr Val Val His Gln Asp Trp Leu Asn  
 325 330 335  
 Gly Lys Glu Tyr Lys Cys Lys Val Ser Asn Lys Gly Leu Pro Ala Pro  
 340 345 350  
 Ile Glu Lys Thr Ile Ser Lys Thr Lys Gly Gln Pro Arg Glu Pro Gln  
 355 360 365  
 Val Tyr Thr Leu Pro Pro Ser Arg Glu Glu Met Thr Lys Asn Gln Val  
 370 375 380  
  
 Ser Leu Thr Cys Leu Val Lys Gly Phe Tyr Pro Ser Asp Ile Ala Val  
 385 390 395 400  
 Glu Trp Glu Ser Asn Gly Gln Pro Glu Asn Asn Tyr Lys Thr Thr Pro  
 405 410 415  
 Pro Met Leu Asp Ser Asp Gly Ser Phe Phe Leu Tyr Ser Lys Leu Thr

420 425 430  
 Val Asp Lys Ser Arg Trp Gln Gln Gly Asn Val Phe Ser Cys Ser Val  
 435 440 445

Met His Glu Ala Leu His Asn His Tyr Thr Gln Lys Ser Leu Ser Leu  
 450 455 460  
 Ser Pro Gly Lys Gly Ser Lys Ala Phe Lys Lys Ala Phe Lys Ala Phe  
 465 470 475 480  
 Lys Lys Ala Phe Lys Ala Phe Lys  
 485

<210> 131

<211> 1255

<212> PRT

<213> Artificial Sequence

<220><223> Description of Artificial Sequence: Target sequence

<400> 131

Met Glu Leu Ala Ala Leu Cys Arg Trp Gly Leu Leu Leu Ala Leu Leu

1 5 10 15  
 Pro Pro Gly Ala Ala Ser Thr Gln Val Cys Thr Gly Thr Asp Met Lys

20 25 30  
 Leu Arg Leu Pro Ala Ser Pro Glu Thr His Leu Asp Met Leu Arg His

35 40 45  
 Leu Tyr Gln Gly Cys Gln Val Val Gln Gly Asn Leu Glu Leu Thr Tyr

50 55 60  
 Leu Pro Thr Asn Ala Ser Leu Ser Phe Leu Gln Asp Ile Gln Glu Val

65 70 75 80  
 Gln Gly Tyr Val Leu Ile Ala His Asn Gln Val Arg Gln Val Pro Leu

85 90 95  
 Gln Arg Leu Arg Ile Val Arg Gly Thr Gln Leu Phe Glu Asp Asn Tyr

100 105 110  
 Ala Leu Ala Val Leu Asp Asn Gly Asp Pro Leu Asn Asn Thr Thr Pro

115 120 125

Val Thr Gly Ala Ser Pro Gly Gly Leu Arg Glu Leu Gln Leu Arg Ser  
 130 135 140  
 Leu Thr Glu Ile Leu Lys Gly Gly Val Leu Ile Gln Arg Asn Pro Gln  
 145 150 155 160  
 Leu Cys Tyr Gln Asp Thr Ile Leu Trp Lys Asp Ile Phe His Lys Asn  
 165 170 175  
 Asn Gln Leu Ala Leu Thr Leu Ile Asp Thr Asn Arg Ser Arg Ala Cys  
 180 185 190  
 His Pro Cys Ser Pro Met Cys Lys Gly Ser Arg Cys Trp Gly Glu Ser  
 195 200 205  
 Ser Glu Asp Cys Gln Ser Leu Thr Arg Thr Val Cys Ala Gly Gly Cys  
 210 215 220  
 Ala Arg Cys Lys Gly Pro Leu Pro Thr Asp Cys Cys His Glu Gln Cys  
 225 230 235 240  
 Ala Ala Gly Cys Thr Gly Pro Lys His Ser Asp Cys Leu Ala Cys Leu  
 245 250 255  
 His Phe Asn His Ser Gly Ile Cys Glu Leu His Cys Pro Ala Leu Val  
 260 265 270  
 Thr Tyr Asn Thr Asp Thr Phe Glu Ser Met Pro Asn Pro Glu Gly Arg  
 275 280 285  
 Tyr Thr Phe Gly Ala Ser Cys Val Thr Ala Cys Pro Tyr Asn Tyr Leu  
 290 295 300  
 Ser Thr Asp Val Gly Ser Cys Thr Leu Val Cys Pro Leu His Asn Gln  
 305 310 315 320  
 Glu Val Thr Ala Glu Asp Gly Thr Gln Arg Cys Glu Lys Cys Ser Lys  
 325 330 335  
 Pro Cys Ala Arg Val Cys Tyr Gly Leu Gly Met Glu His Leu Arg Glu  
 340 345 350  
 Val Arg Ala Val Thr Ser Ala Asn Ile Gln Glu Phe Ala Gly Cys Lys  
 355 360 365  
 Lys Ile Phe Gly Ser Leu Ala Phe Leu Pro Glu Ser Phe Asp Gly Asp



Pro Cys Pro Ile Asn Cys Thr His Ser Cys Val Asp Leu Asp Asp Lys  
 625                      630                      635                      640  
 Gly Cys Pro Ala Glu Gln Arg Ala Ser Pro Leu Thr Ser Ile Ile Ser  
                                  645                      650                      655  
 Ala Val Val Gly Ile Leu Leu Val Val Val Leu Gly Val Val Phe Gly  
                                  660                      665                      670  
 Ile Leu Ile Lys Arg Arg Gln Gln Lys Ile Arg Lys Tyr Thr Met Arg  
                                  675                      680                      685  
 Arg Leu Leu Gln Glu Thr Glu Leu Val Glu Pro Leu Thr Pro Ser Gly  
                                  690                      695                      700  
 Ala Met Pro Asn Gln Ala Gln Met Arg Ile Leu Lys Glu Thr Glu Leu  
  
 705                      710                      715                      720  
 Arg Lys Val Lys Val Leu Gly Ser Gly Ala Phe Gly Thr Val Tyr Lys  
                                  725                      730                      735  
 Gly Ile Trp Ile Pro Asp Gly Glu Asn Val Lys Ile Pro Val Ala Ile  
                                  740                      745                      750  
 Lys Val Leu Arg Glu Asn Thr Ser Pro Lys Ala Asn Lys Glu Ile Leu  
                                  755                      760                      765  
 Asp Glu Ala Tyr Val Met Ala Gly Val Gly Ser Pro Tyr Val Ser Arg  
  
                                  770                      775                      780  
 Leu Leu Gly Ile Cys Leu Thr Ser Thr Val Gln Leu Val Thr Gln Leu  
 785                      790                      795                      800  
 Met Pro Tyr Gly Cys Leu Leu Asp His Val Arg Glu Asn Arg Gly Arg  
                                  805                      810                      815  
 Leu Gly Ser Gln Asp Leu Leu Asn Trp Cys Met Gln Ile Ala Lys Gly  
                                  820                      825                      830  
 Met Ser Tyr Leu Glu Asp Val Arg Leu Val His Arg Asp Leu Ala Ala  
  
                                  835                      840                      845  
 Arg Asn Val Leu Val Lys Ser Pro Asn His Val Lys Ile Thr Asp Phe  
                                  850                      855                      860  
 Gly Leu Ala Arg Leu Leu Asp Ile Asp Glu Thr Glu Tyr His Ala Asp

865                    870                    875                    880  
 Gly Gly Lys Val Pro Ile Lys Trp Met Ala Leu Glu Ser Ile Leu Arg  
                          885                    890                    895  
 Arg Arg Phe Thr His Gln Ser Asp Val Trp Ser Tyr Gly Val Thr Val  
                          900                    905                    910  
 Trp Glu Leu Met Thr Phe Gly Ala Lys Pro Tyr Asp Gly Ile Pro Ala  
                          915                    920                    925  
 Arg Glu Ile Pro Asp Leu Leu Glu Lys Gly Glu Arg Leu Pro Gln Pro  
                          930                    935                    940  
 Pro Ile Cys Thr Ile Asp Val Tyr Met Ile Met Val Lys Cys Trp Met  
 945                    950                    955                    960  
 Ile Asp Ser Glu Cys Arg Pro Arg Phe Arg Glu Leu Val Ser Glu Phe  
                          965                    970                    975  
 Ser Arg Met Ala Arg Asp Pro Gln Arg Phe Val Val Ile Gln Asn Glu  
                          980                    985                    990  
 Asp Leu Gly Pro Ala Ser Pro Leu Asp Ser Thr Phe Tyr Arg Ser Leu  
                          995                    1000                    1005  
 Leu Glu Asp Asp Asp Met Gly Asp Leu Val Asp Ala Glu Glu Tyr  
                          1010                    1015                    1020  
 Leu Val Pro Gln Gln Gly Phe Phe Cys Pro Asp Pro Ala Pro Gly  
                          1025                    1030                    1035  
 Ala Gly Gly Met Val His His Arg His Arg Ser Ser Ser Thr Arg  
                          1040                    1045                    1050  
 Ser Gly Gly Gly Asp Leu Thr Leu Gly Leu Glu Pro Ser Glu Glu  
                          1055                    1060                    1065  
 Glu Ala Pro Arg Ser Pro Leu Ala Pro Ser Glu Gly Ala Gly Ser  
                          1070                    1075                    1080  
 Asp Val Phe Asp Gly Asp Leu Gly Met Gly Ala Ala Lys Gly Leu  
                          1085                    1090                    1095  
 Gln Ser Leu Pro Thr His Asp Pro Ser Pro Leu Gln Arg Tyr Ser  
                          1100                    1105                    1110

Glu Asp Pro Thr Val Pro Leu Pro Ser Glu Thr Asp Gly Tyr Val  
 1115 1120 1125  
 Ala Pro Leu Thr Cys Ser Pro Gln Pro Glu Tyr Val Asn Gln Pro  
 1130 1135 1140  
 Asp Val Arg Pro Gln Pro Pro Ser Pro Arg Glu Gly Pro Leu Pro  
 1145 1150 1155  
 Ala Ala Arg Pro Ala Gly Ala Thr Leu Glu Arg Pro Lys Thr Leu  
 1160 1165 1170  
 Ser Pro Gly Lys Asn Gly Val Val Lys Asp Val Phe Ala Phe Gly  
 1175 1180 1185  
 Gly Ala Val Glu Asn Pro Glu Tyr Leu Thr Pro Gln Gly Gly Ala  
 1190 1195 1200  
 Ala Pro Gln Pro His Pro Pro Pro Ala Phe Ser Pro Ala Phe Asp  
 1205 1210 1215  
 Asn Leu Tyr Tyr Trp Asp Gln Asp Pro Pro Glu Arg Gly Ala Pro  
 1220 1225 1230  
 Pro Ser Thr Phe Lys Gly Thr Pro Thr Ala Glu Asn Pro Glu Tyr  
 1235 1240 1245  
 Leu Gly Leu Asp Val Pro Val  
 1250 1255  
 <210> 132  
 <211> 557  
 <212> PRT  
 <213> Artificial Sequence  
 <220><223> Description of Artificial Sequence: Target sequence  
 <400> 132  
 Met Pro Pro Pro Arg Leu Leu Phe Phe Leu Leu Phe Leu Thr Pro Met  
 1 5 10 15  
 Glu Val Arg Pro Glu Glu Pro Leu Val Val Lys Val Glu Glu Gly Asp  
 20 25 30  
 Asn Ala Val Leu Gln Cys Leu Lys Gly Thr Ser Asp Gly Pro Thr Gln  
 35 40 45

Gln Leu Thr Trp Ser Arg Glu Ser Pro Leu Lys Pro Phe Leu Lys Leu  
 50 55 60

Ser Leu Gly Leu Pro Gly Leu Gly Ile His Met Arg Pro Leu Ala Ile  
 65 70 75 80

Trp Leu Phe Ile Phe Asn Val Ser Gln Gln Met Gly Gly Phe Tyr Leu  
 85 90 95

Cys Gln Pro Gly Pro Pro Ser Glu Lys Ala Trp Gln Pro Gly Trp Thr  
 100 105 110

Val Asn Val Glu Gly Ser Gly Glu Leu Phe Arg Trp Asn Val Ser Asp  
 115 120 125

Leu Gly Gly Leu Gly Cys Gly Leu Lys Asn Arg Ser Ser Glu Gly Pro  
 130 135 140

Ser Ser Pro Ser Gly Lys Leu Met Ser Pro Lys Leu Tyr Val Trp Ala  
 145 150 155 160

Lys Asp Arg Pro Glu Ile Trp Glu Gly Glu Pro Pro Cys Leu Pro Pro  
 165 170 175

Arg Asp Ser Leu Asn Gln Ser Leu Ser Gln Asp Leu Thr Met Ala Pro  
 180 185 190

Gly Ser Thr Leu Trp Leu Ser Cys Gly Val Pro Pro Asp Ser Val Ser  
 195 200 205

Arg Gly Pro Leu Ser Trp Thr His Val His Pro Lys Gly Pro Lys Ser  
 210 215 220

Leu Leu Ser Leu Glu Leu Lys Asp Asp Arg Pro Ala Arg Asp Met Trp  
 225 230 235 240

Val Met Glu Thr Gly Leu Leu Leu Pro Arg Ala Thr Ala Gln Asp Ala  
 245 250 255

Gly Lys Tyr Tyr Cys His Arg Gly Asn Leu Thr Met Ser Phe His Leu  
 260 265 270

Glu Ile Thr Ala Arg Pro Val Leu Trp His Trp Leu Leu Arg Thr Gly  
 275 280 285

Gly Trp Lys Val Ser Ala Val Thr Leu Ala Tyr Leu Ile Phe Cys Leu



Trp Gly Gly Gly Gly Arg Met Gly Thr Trp Ser Thr Arg

545                      550                      555

<210> 133

<211> 297

<212> PRT

<213> Artificial Sequence

<220><223> Description of Artificial Sequence: Target sequence

<400

> 133

Met Thr Thr Pro Arg Asn Ser Val Asn Gly Thr Phe Pro Ala Glu Pro

1                      5                      10                      15

Met Lys Gly Pro Ile Ala Met Gln Ser Gly Pro Lys Pro Leu Phe Arg

20                      25                      30

Arg Met Ser Ser Leu Val Gly Pro Thr Gln Ser Phe Phe Met Arg Glu

35                      40                      45

Ser Lys Thr Leu Gly Ala Val Gln Ile Met Asn Gly Leu Phe His Ile

50                      55                      60

Ala Leu Gly Gly Leu Leu Met Ile Pro Ala Gly Ile Tyr Ala Pro Ile

65                      70                      75                      80

Cys Val Thr Val Trp Tyr Pro Leu Trp Gly Gly Ile Met Tyr Ile Ile

85                      90                      95

Ser Gly Ser Leu Leu Ala Ala Thr Glu Lys Asn Ser Arg Lys Cys Leu

100                      105                      110

Val Lys Gly Lys Met Ile Met Asn Ser Leu Ser Leu Phe Ala Ala Ile

115                      120                      125

Ser Gly Met Ile Leu Ser Ile Met Asp Ile Leu Asn Ile Lys Ile Ser

130                      135                      140

His Phe Leu Lys Met Glu Ser Leu Asn Phe Ile Arg Ala His Thr Pro

145                      150                      155                      160

Tyr Ile Asn Ile Tyr Asn Cys Glu Pro Ala Asn Pro Ser Glu Lys Asn

165                      170                      175

Ser Pro Ser Thr Gln Tyr Cys Tyr Ser Ile Gln Ser Leu Phe Leu Gly

180 185 190  
 Ile Leu Ser Val Met Leu Ile Phe Ala Phe Phe Gln Glu Leu Val Ile  
 195 200 205  
 Ala Gly Ile Val Glu Asn Glu Trp Lys Arg Thr Cys Ser Arg Pro Lys  
 210 215 220  
 Ser Asn Ile Val Leu Leu Ser Ala Glu Glu Lys Lys Glu Gln Thr Ile  
 225 230 235 240  
 Glu Ile Lys Glu Glu Val Val Gly Leu Thr Glu Thr Ser Ser Gln Pro  
 245 250 255

Lys Asn Glu Glu Asp Ile Glu Ile Ile Pro Ile Gln Glu Glu Glu Glu  
 260 265 270  
 Glu Glu Thr Glu Thr Asn Phe Pro Glu Pro Pro Gln Asp Gln Glu Ser  
 275 280 285  
 Ser Pro Ile Glu Asn Asp Ser Ser Pro  
 290 295

<210> 134  
 <211> 759  
 <212> PRT  
 <213> Artificial Sequence  
 <220><223> Description of Artificial Sequence: Target sequence  
 <400> 134

Met His Leu Leu Gly Pro Trp Leu Leu Leu Leu Val Leu Glu Tyr Leu  
 1 5 10 15  
 Ala Phe Ser Asp Ser Ser Lys Trp Val Phe Glu His Pro Glu Thr Leu  
 20 25 30  
 Tyr Ala Trp Glu Gly Ala Cys Val Trp Ile Pro Cys Thr Tyr Arg Ala  
 35 40 45  
 Leu Asp Gly Asp Leu Glu Ser Phe Ile Leu Phe His Asn Pro Glu Tyr  
 50 55 60  
 Asn Lys Asn Thr Ser Lys Phe Asp Gly Thr Arg Leu Tyr Glu Ser Thr  
 65 70 75 80

Lys Asp Gly Lys Val Pro Ser Glu Gln Lys Arg Val Gln Phe Leu Gly  
 85 90 95

Asp Lys Asn Lys Asn Cys Thr Leu Ser Ile His Pro Val His Leu Asn  
 100 105 110

Asp Ser Gly Gln Leu Gly Leu Arg Met Glu Ser Lys Thr Glu Lys Trp  
 115 120 125

Met Glu Arg Ile His Leu Asn Val Ser Glu Arg Pro Phe Pro Pro His  
 130 135 140

Ile Gln Leu Pro Pro Glu Ile Gln Glu Ser Gln Glu Val Thr Leu Thr  
 145 150 155 160

Cys Leu Leu Asn Phe Ser Cys Tyr Gly Tyr Pro Ile Gln Leu Gln Trp  
 165 170 175

Leu Leu Glu Gly Val Pro Met Arg Gln Ala Ala Val Thr Ser Thr Ser  
 180 185 190

Leu Thr Ile Lys Ser Val Phe Thr Arg Ser Glu Leu Lys Phe Ser Pro  
 195 200 205

Gln Trp Ser His His Gly Lys Ile Val Thr Cys Gln Leu Gln Asp Ala  
 210 215 220

Asp Gly Lys Phe Leu Ser Asn Asp Thr Val Gln Leu Asn Val Lys His  
 225 230 235 240

Thr Pro Lys Leu Glu Ile Lys Val Thr Pro Ser Asp Ala Ile Val Arg  
 245 250 255

Glu Gly Asp Ser Val Thr Met Thr Cys Glu Val Ser Ser Ser Asn Pro  
 260 265 270

Glu Tyr Thr Thr Val Ser Trp Leu Lys Asp Gly Thr Ser Leu Lys Lys  
 275 280 285

Gln Asn Thr Phe Thr Leu Asn Leu Arg Glu Val Thr Lys Asp Gln Ser  
 290 295 300

Gly Lys Tyr Cys Cys Gln Val Ser Asn Asp Val Gly Pro Gly Arg Ser  
 305 310 315 320

Glu Glu Val Phe Leu Gln Val Gln Tyr Pro Pro Lys Lys Val Thr Thr



Val Gly Lys Gly Arg Ser Pro Leu Ser Thr Leu Thr Val Tyr Tyr Ser

580 585 590

Pro Glu Thr Ile Gly Arg Arg Val Ala Val Gly Leu Gly Ser Cys Leu

595 600 605

Ala Ile Leu Ile Leu Ala Ile Cys Gly Leu Lys Leu Gln Arg Arg Trp

610 615 620

Lys Arg Thr Gln Ser Gln Gln Gly Leu Gln Glu Asn Ser Ser Gly Gln

625 630 635 640

Ser Phe Phe Val Arg Asn Lys Lys Val Arg Arg Ala Pro Leu Ser Glu

645 650 655

Gly Pro His Ser Leu Gly Cys Tyr Asn Pro Met Met Glu Asp Gly Ile

660 665 670

Ser Tyr Thr Thr Leu Arg Phe Pro Glu Met Asn Ile Pro Arg Thr Gly

675 680 685

Asp Ala Glu Ser Ser Glu Met Gln Arg Pro Pro Pro Asp Cys Asp Asp

690 695 700

Thr Val Thr Tyr Ser Ala Leu His Lys Arg Gln Val Gly Asp Tyr Glu

705 710 715 720

Asn Val Ile Pro Asp Phe Pro Glu Asp Glu Gly Ile His Tyr Ser Glu

725 730 735

Leu Ile Gln Phe Gly Val Gly Glu Arg Pro Gln Ala Gln Glu Asn Val

740 745 750

Asp Tyr Val Ile Leu Lys His

755

<210> 135

<211> 320

<212> PRT

<213> Artificial Sequence

<220><223> Description of Artificial Sequence: Target sequence

<400> 135

Met Asn Pro Pro Ser Gln Glu Ile Glu Glu Leu Pro Arg Arg Arg Cys

1                    5                    10                    15  
 Cys Arg Arg Gly Thr Gln Ile Val Leu Leu Gly Leu Val Thr Ala Ala  
                          20                    25                    30  
 Leu Trp Ala Gly Leu Leu Thr Leu Leu Leu Leu Trp His Trp Asp Thr  
                          35                    40                    45  
 Thr Gln Ser Leu Lys Gln Leu Glu Glu Arg Ala Ala Arg Asn Val Ser  
                          50                    55                    60  
  
 Gln Val Ser Lys Asn Leu Glu Ser His His Gly Asp Gln Met Ala Gln  
 65                    70                    75                    80  
 Lys Ser Gln Ser Thr Gln Ile Ser Gln Glu Leu Glu Glu Leu Arg Ala  
                          85                    90                    95  
 Glu Gln Gln Arg Leu Lys Ser Gln Asp Leu Glu Leu Ser Trp Asn Leu  
                          100                    105                    110  
 Asn Gly Leu Gln Ala Asp Leu Ser Ser Phe Lys Ser Gln Glu Leu Asn  
                          115                    120                    125  
  
 Glu Arg Asn Glu Ala Ser Asp Leu Leu Glu Arg Leu Arg Glu Glu Val  
                          130                    135                    140  
 Thr Lys Leu Arg Met Glu Leu Gln Val Ser Ser Gly Phe Val Cys Asn  
 145                    150                    155                    160  
 Thr Cys Pro Glu Lys Trp Ile Asn Phe Gln Arg Lys Cys Tyr Tyr Phe  
                          165                    170                    175  
 Gly Lys Gly Thr Lys Gln Trp Val His Ala Arg Tyr Ala Cys Asp Asp  
                          180                    185                    190  
  
 Met Glu Gly Gln Leu Val Ser Ile His Ser Pro Glu Glu Gln Asp Phe  
                          195                    200                    205  
 Leu Thr Lys His Ala Ser His Thr Gly Ser Trp Ile Gly Leu Arg Asn  
                          210                    215                    220  
 Leu Asp Leu Lys Gly Glu Phe Ile Trp Val Asp Gly Ser His Val Asp  
 225                    230                    235                    240  
 Tyr Ser Asn Trp Ala Pro Gly Glu Pro Thr Ser Arg Ser Gln Gly Glu  
                          245                    250                    255

Asp Cys Val Met Met Arg Gly Ser Gly Arg Trp Asn Asp Ala Phe Cys  
 260 265 270  
 Asp Arg Lys Leu Gly Ala Trp Val Cys Asp Arg Leu Ala Thr Cys Thr  
 275 280 285  
 Pro Pro Ala Ser Glu Gly Ser Ala Glu Ser Met Gly Pro Asp Ser Arg  
 290 295 300  
 Pro Asp Pro Asp Gly Arg Leu Pro Thr Pro Ser Ala Pro Leu His Ser  
 305 310 315 320

<210> 136

<211> 260

<212> PRT

<213> Artificial Sequence

<220><223> Description of Artificial Sequence: Target sequence

<400> 136

Met Ala Arg Pro His Pro Trp Trp Leu Cys Val Leu Gly Thr Leu Val  
 1 5 10 15  
 Gly Leu Ser Ala Thr Pro Ala Pro Lys Ser Cys Pro Glu Arg His Tyr  
 20 25 30  
 Trp Ala Gln Gly Lys Leu Cys Cys Gln Met Cys Glu Pro Gly Thr Phe  
 35 40 45

Leu Val Lys Asp Cys Asp Gln His Arg Lys Ala Ala Gln Cys Asp Pro  
 50 55 60  
 Cys Ile Pro Gly Val Ser Phe Ser Pro Asp His His Thr Arg Pro His  
 65 70 75 80  
 Cys Glu Ser Cys Arg His Cys Asn Ser Gly Leu Leu Val Arg Asn Cys  
 85 90 95  
 Thr Ile Thr Ala Asn Ala Glu Cys Ala Cys Arg Asn Gly Trp Gln Cys  
 100 105 110

Arg Asp Lys Glu Cys Thr Glu Cys Asp Pro Leu Pro Asn Pro Ser Leu  
 115 120 125  
 Thr Ala Arg Ser Ser Gln Ala Leu Ser Pro His Pro Gln Pro Thr His  
 130 135 140

Leu Pro Tyr Val Ser Glu Met Leu Glu Ala Arg Thr Ala Gly His Met  
 145                      150                      155                      160

Gln Thr Leu Ala Asp Phe Arg Gln Leu Pro Ala Arg Thr Leu Ser Thr  
                                  165                      170                      175

His Trp Pro Pro Gln Arg Ser Leu Cys Ser Ser Asp Phe Ile Arg Ile  
                                  180                      185                      190

Leu Val Ile Phe Ser Gly Met Phe Leu Val Phe Thr Leu Ala Gly Ala  
                                  195                      200                      205

Leu Phe Leu His Gln Arg Arg Lys Tyr Arg Ser Asn Lys Gly Glu Ser  
                                  210                      215                      220

Pro Val Glu Pro Ala Glu Pro Cys Arg Tyr Ser Cys Pro Arg Glu Glu  
 225                      230                      235                      240

Glu Gly Ser Thr Ile Pro Ile Gln Glu Asp Tyr Arg Lys Pro Glu Pro  
                                  245                      250                      255

Ala Cys Ser Pro  
                                  260

<210> 137

<211> 220

<212> PRT

<213> Artificial Sequence

<220><223> Description of Artificial Sequence: Target sequence

<400> 137

Met Leu Arg Leu Leu Leu Ala Leu Asn Leu Phe Pro Ser Ile Gln Val  
 1                      5                      10                      15

Thr Gly Asn Lys Ile Leu Val Lys Gln Ser Pro Met Leu Val Ala Tyr  
                                  20                      25                      30

Asp Asn Ala Val Asn Leu Ser Cys Lys Tyr Ser Tyr Asn Leu Phe Ser  
                                  35                      40                      45

Arg Glu Phe Arg Ala Ser Leu His Lys Gly Leu Asp Ser Ala Val Glu  
                                  50                      55                      60

Val Cys Val Val Tyr Gly Asn Tyr Ser Gln Gln Leu Gln Val Tyr Ser  
 65                      70                      75                      80

Lys Thr Gly Phe Asn Cys Asp Gly Lys Leu Gly Asn Glu Ser Val Thr

85 90 95

Phe Tyr Leu Gln Asn Leu Tyr Val Asn Gln Thr Asp Ile Tyr Phe Cys

100 105 110

Lys Ile Glu Val Met Tyr Pro Pro Pro Tyr Leu Asp Asn Glu Lys Ser

115 120 125

Asn Gly Thr Ile Ile His Val Lys Gly Lys His Leu Cys Pro Ser Pro

130 135 140

Leu Phe Pro Gly Pro Ser Lys Pro Phe Trp Val Leu Val Val Val Gly

145 150 155 160

Gly Val Leu Ala Cys Tyr Ser Leu Leu Val Thr Val Ala Phe Ile Ile

165 170 175

Phe Trp Val Arg Ser Lys Arg Ser Arg Leu Leu His Ser Asp Tyr Met

180 185 190

Asn Met Thr Pro Arg Arg Pro Gly Pro Thr Arg Lys His Tyr Gln Pro

195 200 205

Tyr Ala Pro Pro Arg Asp Phe Ala Ala Tyr Arg Ser

210 215 220

<210> 138

<211> 595

<212> PRT

<213> Artificial Sequence

<220><223> Description of Artificial Sequence: Target sequence

<400> 138

Met Arg Val Leu Leu Ala Ala Leu Gly Leu Leu Phe Leu Gly Ala Leu

1 5 10 15

Arg Ala Phe Pro Gln Asp Arg Pro Phe Glu Asp Thr Cys His Gly Asn

20 25 30

Pro Ser His Tyr Tyr Asp Lys Ala Val Arg Arg Cys Cys Tyr Arg Cys

35 40 45

Pro Met Gly Leu Phe Pro Thr Gln Gln Cys Pro Gln Arg Pro Thr Asp



Ile Cys Ala Ala Glu Thr Val Thr Lys Pro Gln Asp Met Ala Glu Lys  
 305                      310                      315                      320  
 Asp Thr Thr Phe Glu Ala Pro Pro Leu Gly Thr Gln Pro Asp Cys Asn  
                                  325                      330                      335  
 Pro Thr Pro Glu Asn Gly Glu Ala Pro Ala Ser Thr Ser Pro Thr Gln  
                                  340                      345                      350  
 Ser Leu Leu Val Asp Ser Gln Ala Ser Lys Thr Leu Pro Ile Pro Thr  
                                  355                      360                      365  
 Ser Ala Pro Val Ala Leu Ser Ser Thr Gly Lys Pro Val Leu Asp Ala  
                                  370                      375                      380  
 Gly Pro Val Leu Phe Trp Val Ile Leu Val Leu Val Val Val Val Gly  
 385                      390                      395                      400  
 Ser Ser Ala Phe Leu Leu Cys His Arg Arg Ala Cys Arg Lys Arg Ile  
                                  405                      410                      415  
 Arg Gln Lys Leu His Leu Cys Tyr Pro Val Gln Thr Ser Gln Pro Lys  
                                  420                      425                      430  
 Leu Glu Leu Val Asp Ser Arg Pro Arg Arg Ser Ser Thr Gln Leu Arg  
                                  435                      440                      445  
 Ser Gly Ala Ser Val Thr Glu Pro Val Ala Glu Glu Arg Gly Leu Met  
                                  450                      455                      460  
 Ser Gln Pro Leu Met Glu Thr Cys His Ser Val Gly Ala Ala Tyr Leu  
 465                      470                      475                      480  
 Glu Ser Leu Pro Leu Gln Asp Ala Ser Pro Ala Gly Gly Pro Ser Ser  
                                  485                      490                      495  
 Pro Arg Asp Leu Pro Glu Pro Arg Val Ser Thr Glu His Thr Asn Asn  
                                  500                      505                      510  
 Lys Ile Glu Lys Ile Tyr Ile Met Lys Ala Asp Thr Val Ile Val Gly  
                                  515                      520                      525  
 Thr Val Lys Ala Glu Leu Pro Glu Gly Arg Gly Leu Ala Gly Pro Ala  
                                  530                      535                      540  
 Glu Pro Glu Leu Glu Glu Glu Leu Glu Ala Asp His Thr Pro His Tyr

545                    550                    555                    560  
 Pro Glu Gln Glu Thr Glu Pro Pro Leu Gly Ser Cys Ser Asp Val Met

                         565                    570                    575  
 Leu Ser Val Glu Glu Glu Gly Lys Glu Asp Pro Leu Pro Thr Ala Ala  
                          580                    585                    590

Ser Gly Lys  
                          595

<210> 139

<211> 132

<212> PRT

<213> Artificial Sequence

<220><223> Description of Artificial Sequence: Target sequence

<400> 139

Met Ser Gln Pro Leu Met Glu Thr Cys His Ser Val Gly Ala Ala Tyr

1                    5                    10                    15  
 Leu Glu Ser Leu Pro Leu Gln Asp Ala Ser Pro Ala Gly Gly Pro Ser

                         20                    25                    30  
 Ser Pro Arg Asp Leu Pro Glu Pro Arg Val Ser Thr Glu His Thr Asn  
                          35                    40                    45

Asn Lys Ile Glu Lys Ile Tyr Ile Met Lys Ala Asp Thr Val Ile Val  
                          50                    55                    60  
 Gly Thr Val Lys Ala Glu Leu Pro Glu Gly Arg Gly Leu Ala Gly Pro

65                    70                    75                    80  
 Ala Glu Pro Glu Leu Glu Glu Glu Leu Glu Ala Asp His Thr Pro His

                         85                    90                    95  
 Tyr Pro Glu Gln Glu Thr Glu Pro Pro Leu Gly Ser Cys Ser Asp Val  
                          100                    105                    110

Met Leu Ser Val Glu Glu Glu Gly Lys Glu Asp Pro Leu Pro Thr Ala  
                          115                    120                    125

Ala Ser Gly Lys  
                          130

<210> 140

<211> 738

<212> PRT

<213> Artificial Sequence

<220><223> Description of Artificial Sequence: Target sequence

<400> 140

Met Gln Pro Arg Trp Ala Gln Gly Ala Thr Met Trp Leu Gly Val Leu  
1                    5                    10                    15

Leu Thr Leu Leu Leu Cys Ser Ser Leu Glu Gly Gln Glu Asn Ser Phe  
                  20                    25                    30

Thr Ile Asn Ser Val Asp Met Lys Ser Leu Pro Asp Trp Thr Val Gln  
                  35                    40                    45

Asn Gly Lys Asn Leu Thr Leu Gln Cys Phe Ala Asp Val Ser Thr Thr  
                  50                    55                    60

Ser His Val Lys Pro Gln His Gln Met Leu Phe Tyr Lys Asp Asp Val  
65                    70                    75                    80

Leu Phe Tyr Asn Ile Ser Ser Met Lys Ser Thr Glu Ser Tyr Phe Ile  
                  85                    90                    95

Pro Glu Val Arg Ile Tyr Asp Ser Gly Thr Tyr Lys Cys Thr Val Ile  
                  100                    105                    110

Val Asn Asn Lys Glu Lys Thr Thr Ala Glu Tyr Gln Leu Leu Val Glu  
                  115                    120                    125

Gly Val Pro Ser Pro Arg Val Thr Leu Asp Lys Lys Glu Ala Ile Gln  
                  130                    135                    140

Gly Gly Ile Val Arg Val Asn Cys Ser Val Pro Glu Glu Lys Ala Pro  
145                    150                    155                    160

Ile His Phe Thr Ile Glu Lys Leu Glu Leu Asn Glu Lys Met Val Lys  
                  165                    170                    175

Leu Lys Arg Glu Lys Asn Ser Arg Asp Gln Asn Phe Val Ile Leu Glu  
                  180                    185                    190

Phe Pro Val Glu Glu Gln Asp Arg Val Leu Ser Phe Arg Cys Gln Ala  
                  195                    200                    205

Arg Ile Ile Ser Gly Ile His Met Gln Thr Ser Glu Ser Thr Lys Ser



Lys Asp Asn Pro Thr Glu Asp Val Glu Tyr Gln Cys Val Ala Asp Asn  
 465                      470                      475                      480  
 Cys His Ser His Ala Lys Met Leu Ser Glu Val Leu Arg Val Lys Val  
                             485                      490                      495  
  
 Ile Ala Pro Val Asp Glu Val Gln Ile Ser Ile Leu Ser Ser Lys Val  
                             500                      505                      510  
 Val Glu Ser Gly Glu Asp Ile Val Leu Gln Cys Ala Val Asn Glu Gly  
                             515                      520                      525  
 Ser Gly Pro Ile Thr Tyr Lys Phe Tyr Arg Glu Lys Glu Gly Lys Pro  
                             530                      535                      540  
 Phe Tyr Gln Met Thr Ser Asn Ala Thr Gln Ala Phe Trp Thr Lys Gln  
 545                      550                      555                      560  
  
 Lys Ala Ser Lys Glu Gln Glu Gly Glu Tyr Tyr Cys Thr Ala Phe Asn  
                             565                      570                      575  
 Arg Ala Asn His Ala Ser Ser Val Pro Arg Ser Lys Ile Leu Thr Val  
                             580                      585                      590  
 Arg Val Ile Leu Ala Pro Trp Lys Lys Gly Leu Ile Ala Val Val Ile  
                             595                      600                      605  
 Ile Gly Val Ile Ile Ala Leu Leu Ile Ile Ala Ala Lys Cys Tyr Phe  
                             610                      615                      620  
  
 Leu Arg Lys Ala Lys Ala Lys Gln Met Pro Val Glu Met Ser Arg Pro  
 625                      630                      635                      640  
 Ala Val Pro Leu Leu Asn Ser Asn Asn Glu Lys Met Ser Asp Pro Asn  
                             645                      650                      655  
 Met Glu Ala Asn Ser His Tyr Gly His Asn Asp Asp Val Arg Asn His  
                             660                      665                      670  
 Ala Met Lys Pro Ile Asn Asp Asn Lys Glu Pro Leu Asn Ser Asp Val  
                             675                      680                      685  
  
 Gln Tyr Thr Glu Val Gln Val Ser Ser Ala Glu Ser His Lys Asp Leu  
                             690                      695                      700  
 Gly Lys Lys Asp Thr Glu Thr Val Tyr Ser Glu Val Arg Lys Ala Val

705                      710                      715                      720  
 Pro Asp Ala Val Glu Ser Arg Tyr Ser Arg Thr Glu Gly Ser Leu Asp  
                                  725                      730                      735

Gly Thr

<210> 141

<211> 364

<212> PRT

<213> Artificial Sequence

<220><223> Description of Artificial Sequence: Target sequence

<400> 141

Met Pro Leu Leu Leu Leu Leu Pro Leu Leu Trp Ala Gly Ala Leu Ala  
 1                      5                      10                      15

Met Asp Pro Asn Phe Trp Leu Gln Val Gln Glu Ser Val Thr Val Gln  
                                  20                      25                      30

Glu Gly Leu Cys Val Leu Val Pro Cys Thr Phe Phe His Pro Ile Pro  
                                  35                      40                      45

Tyr Tyr Asp Lys Asn Ser Pro Val His Gly Tyr Trp Phe Arg Glu Gly  
                                  50                      55                      60

Ala Ile Ile Ser Arg Asp Ser Pro Val Ala Thr Asn Lys Leu Asp Gln  
 65                      70                      75                      80

Glu Val Gln Glu Glu Thr Gln Gly Arg Phe Arg Leu Leu Gly Asp Pro  
                                  85                      90                      95

Ser Arg Asn Asn Cys Ser Leu Ser Ile Val Asp Ala Arg Arg Arg Asp  
                                  100                      105                      110

Asn Gly Ser Tyr Phe Phe Arg Met Glu Arg Gly Ser Thr Lys Tyr Ser  
                                  115                      120                      125

Tyr Lys Ser Pro Gln Leu Ser Val His Val Thr Asp Leu Thr His Arg  
                                  130                      135                      140

Pro Lys Ile Leu Ile Pro Gly Thr Leu Glu Pro Gly His Ser Lys Asn  
 145                      150                      155                      160

Leu Thr Cys Ser Val Ser Trp Ala Cys Glu Gln Gly Thr Pro Pro Ile

165 170 175  
Phe Ser Trp Leu Ser Ala Ala Pro Thr Ser Leu Gly Pro Arg Thr Thr  
180 185 190

His Ser Ser Val Leu Ile Ile Thr Pro Arg Pro Gln Asp His Gly Thr  
195 200 205

Asn Leu Thr Cys Gln Val Lys Phe Ala Gly Ala Gly Val Thr Thr Glu  
210 215 220

Arg Thr Ile Gln Leu Asn Val Thr Tyr Val Pro Gln Asn Pro Thr Thr  
225 230 235 240

Gly Ile Phe Pro Gly Asp Gly Ser Gly Lys Gln Glu Thr Arg Ala Gly  
245 250 255

Val Val His Gly Ala Ile Gly Gly Ala Gly Val Thr Ala Leu Leu Ala  
260 265 270

Leu Cys Leu Cys Leu Ile Phe Phe Ile Val Lys Thr His Arg Arg Lys  
275 280 285

Ala Ala Arg Thr Ala Val Gly Arg Asn Asp Thr His Pro Thr Thr Gly  
290 295 300

Ser Ala Ser Pro Lys His Gln Lys Lys Ser Lys Leu His Gly Pro Thr  
305 310 315 320

Glu Thr Ser Ser Cys Ser Gly Ala Ala Pro Thr Val Glu Met Asp Glu  
325 330 335

Glu Leu His Tyr Ala Ser Leu Asn Phe His Gly Met Asn Pro Ser Lys  
340 345 350

Asp Thr Ser Thr Glu Tyr Ser Glu Val Arg Thr Gln  
355 360

<210> 142

<211> 385

<212> PRT

<213> Artificial Sequence

<220><223> Description of Artificial Sequence: Target sequence

<400> 142

Met Leu Val Arg Arg Gly Ala Arg Ala Gly Pro Arg Met Pro Arg Gly  
 1                    5                    10                    15

Trp Thr Ala Leu Cys Leu Leu Ser Leu Leu Pro Ser Gly Phe Met Ser  
                   20                    25                    30

Leu Asp Asn Asn Gly Thr Ala Thr Pro Glu Leu Pro Thr Gln Gly Thr  
                   35                    40                    45

Phe Ser Asn Val Ser Thr Asn Val Ser Tyr Gln Glu Thr Thr Thr Pro  
                   50                    55                    60

Ser Thr Leu Gly Ser Thr Ser Leu His Pro Val Ser Gln His Gly Asn  
 65                    70                    75                    80

Glu Ala Thr Thr Asn Ile Thr Glu Thr Thr Val Lys Phe Thr Ser Thr  
                   85                    90                    95

Ser Val Ile Thr Ser Val Tyr Gly Asn Thr Asn Ser Ser Val Gln Ser  
                   100                    105                    110

Gln Thr Ser Val Ile Ser Thr Val Phe Thr Thr Pro Ala Asn Val Ser  
                   115                    120                    125

Thr Pro Glu Thr Thr Leu Lys Pro Ser Leu Ser Pro Gly Asn Val Ser  
                   130                    135                    140

Asp Leu Ser Thr Thr Ser Thr Ser Leu Ala Thr Ser Pro Thr Lys Pro  
 145                    150                    155                    160

Tyr Thr Ser Ser Ser Pro Ile Leu Ser Asp Ile Lys Ala Glu Ile Lys  
                   165                    170                    175

Cys Ser Gly Ile Arg Glu Val Lys Leu Thr Gln Gly Ile Cys Leu Glu  
                   180                    185                    190

Gln Asn Lys Thr Ser Ser Cys Ala Glu Phe Lys Lys Asp Arg Gly Glu  
                   195                    200                    205

Gly Leu Ala Arg Val Leu Cys Gly Glu Glu Gln Ala Asp Ala Asp Ala  
                   210                    215                    220

Gly Ala Gln Val Cys Ser Leu Leu Leu Ala Gln Ser Glu Val Arg Pro  
 225                    230                    235                    240

Gln Cys Leu Leu Leu Val Leu Ala Asn Arg Thr Glu Ile Ser Ser Lys



Ser Asp Cys Thr Glu Phe Thr Glu Thr Glu Cys Leu Pro Cys Gly Glu  
 50 55 60  
 Ser Glu Phe Leu Asp Thr Trp Asn Arg Glu Thr His Cys His Gln His  
 65 70 75 80  
 Lys Tyr Cys Asp Pro Asn Leu Gly Leu Arg Val Gln Gln Lys Gly Thr  
 85 90 95  
 Ser Glu Thr Asp Thr Ile Cys Thr Cys Glu Glu Gly Trp His Cys Thr  
 100 105 110  
  
 Ser Glu Ala Cys Glu Ser Cys Val Leu His Arg Ser Cys Ser Pro Gly  
 115 120 125  
 Phe Gly Val Lys Gln Ile Ala Thr Gly Val Ser Asp Thr Ile Cys Glu  
 130 135 140  
 Pro Cys Pro Val Gly Phe Phe Ser Asn Val Ser Ser Ala Phe Glu Lys  
 145 150 155 160  
 Cys His Pro Trp Thr Ser Cys Glu Thr Lys Asp Leu Val Val Gln Gln  
 165 170 175  
  
 Ala Gly Thr Asn Lys Thr Asp Val Val Cys Gly Pro Gln Asp Arg Leu  
 180 185 190  
 Arg Ala Leu Val Val Ile Pro Ile Ile Phe Gly Ile Leu Phe Ala Ile  
 195 200 205  
 Leu Leu Val Leu Val Phe Ile Lys Lys Val Ala Lys Lys Pro Thr Asn  
 210 215 220  
 Lys Ala Pro His Pro Lys Gln Glu Pro Gln Glu Ile Asn Phe Pro Asp  
 225 230 235 240  
  
 Asp Leu Pro Gly Ser Asn Thr Ala Ala Pro Val Gln Glu Thr Leu His  
 245 250 255  
 Gly Cys Gln Pro Val Thr Gln Glu Asp Gly Lys Glu Ser Arg Ile Ser  
 260 265 270  
 Val Gln Glu Arg Gln  
 275  
 <210> 144  
 <211> 61

<212> PRT

<213> Artificial Sequence

<220><223> Description of Artificial Sequence: Target sequence

<400> 144

Met Lys Arg Phe Leu Phe Leu Leu Leu Thr Ile Ser Leu Leu Val Met

1                    5                    10                    15  
 Val Gln Ile Gln Thr Gly Leu Ser Gly Gln Asn Asp Thr Ser Gln Thr  
                   20                    25                    30  
 Ser Ser Pro Ser Ala Ser Ser Asn Ile Ser Gly Gly Ile Phe Leu Phe  
                   35                    40                    45  
 Phe Val Ala Asn Ala Ile Ile His Leu Phe Cys Phe Ser  
                   50                    55                    60

<210> 145

<211> 18

<212> PRT

<213> Artificial Sequence

<220>

><223> Description of Artificial Sequence: Target sequence

<400> 145

Met Lys Arg Phe Leu Phe Leu Leu Leu Thr Ile Ser Leu Leu Val Met

1                    5                    10                    15  
 Val Gln

<210> 146

<211> 858

<212> PRT

<213> Artificial Sequence

<220><223> Description of Artificial Sequence: Target sequence

<400> 146

Met Leu Gln Thr Lys Asp Leu Ile Trp Thr Leu Phe Phe Leu Gly Thr

1                    5                    10                    15  
 Ala Val Ser Leu Gln Val Asp Ile Val Pro Ser Gln Gly Glu Ile Ser  
                   20                    25                    30

Val Gly Glu Ser Lys Phe Phe Leu Cys Gln Val Ala Gly Asp Ala Lys  
 35 40 45  
 Asp Lys Asp Ile Ser Trp Phe Ser Pro Asn Gly Glu Lys Leu Thr Pro  
 50 55 60  
 Asn Gln Gln Arg Ile Ser Val Val Trp Asn Asp Asp Ser Ser Ser Thr  
 65 70 75 80  
 Leu Thr Ile Tyr Asn Ala Asn Ile Asp Asp Ala Gly Ile Tyr Lys Cys  
 85 90 95  
 Val Val Thr Gly Glu Asp Gly Ser Glu Ser Glu Ala Thr Val Asn Val  
 100 105 110  
 Lys Ile Phe Gln Lys Leu Met Phe Lys Asn Ala Pro Thr Pro Gln Glu  
 115 120 125  
 Phe Arg Glu Gly Glu Asp Ala Val Ile Val Cys Asp Val Val Ser Ser  
 130 135 140  
 Leu Pro Pro Thr Ile Ile Trp Lys His Lys Gly Arg Asp Val Ile Leu  
 145 150 155 160  
 Lys Lys Asp Val Arg Phe Ile Val Leu Ser Asn Asn Tyr Leu Gln Ile  
 165 170 175  
 Arg Gly Ile Lys Lys Thr Asp Glu Gly Thr Tyr Arg Cys Glu Gly Arg  
 180 185 190  
 Ile Leu Ala Arg Gly Glu Ile Asn Phe Lys Asp Ile Gln Val Ile Val  
 195 200 205  
 Asn Val Pro Pro Thr Ile Gln Ala Arg Gln Asn Ile Val Asn Ala Thr  
 210 215 220  
 Ala Asn Leu Gly Gln Ser Val Thr Leu Val Cys Asp Ala Glu Gly Phe  
 225 230 235 240  
 Pro Glu Pro Thr Met Ser Trp Thr Lys Asp Gly Glu Gln Ile Glu Gln  
 245 250 255  
 Glu Glu Asp Asp Glu Lys Tyr Ile Phe Ser Asp Asp Ser Ser Gln Leu  
 260 265 270  
 Thr Ile Lys Lys Val Asp Lys Asn Asp Glu Ala Glu Tyr Ile Cys Ile



Phe Asp Glu Pro Glu Ala Thr Gly Gly Val Pro Ile Leu Lys Tyr Lys

530 535 540

Ala Glu Trp Arg Ala Val Gly Glu Glu Val Trp His Ser Lys Trp Tyr

545 550 555 560

Asp Ala Lys Glu Ala Ser Met Glu Gly Ile Val Thr Ile Val Gly Leu

565 570 575

Lys Pro Glu Thr Thr Tyr Ala Val Arg Leu Ala Ala Leu Asn Gly Lys

580 585 590

Gly Leu Gly Glu Ile Ser Ala Ala Ser Glu Phe Lys Thr Gln Pro Val

595 600 605

Gln Gly Glu Pro Ser Ala Pro Lys Leu Glu Gly Gln Met Gly Glu Asp

610 615 620

Gly Asn Ser Ile Lys Val Asn Leu Ile Lys Gln Asp Asp Gly Gly Ser

625 630 635 640

Pro Ile Arg His Tyr Leu Val Arg Tyr Arg Ala Leu Ser Ser Glu Trp

645 650 655

Lys Pro Glu Ile Arg Leu Pro Ser Gly Ser Asp His Val Met Leu Lys

660 665 670

Ser Leu Asp Trp Asn Ala Glu Tyr Glu Val Tyr Val Val Ala Glu Asn

675 680 685

Gln Gln Gly Lys Ser Lys Ala Ala His Phe Val Phe Arg Thr Ser Ala

690 695 700

Gln Pro Thr Ala Ile Pro Ala Asn Gly Ser Pro Thr Ser Gly Leu Ser

705 710 715 720

Thr Gly Ala Ile Val Gly Ile Leu Ile Val Ile Phe Val Leu Leu Leu

725 730 735

Val Val Val Asp Ile Thr Cys Tyr Phe Leu Asn Lys Cys Gly Leu Phe

740 745 750

Met Cys Ile Ala Val Asn Leu Cys Gly Lys Ala Gly Pro Gly Ala Lys

755 760 765

Gly Lys Asp Met Glu Glu Gly Lys Ala Ala Phe Ser Lys Asp Glu Ser

770                                    775                                    780  
 Lys Glu Pro Ile Val Glu Val Arg Thr Glu Glu Glu Arg Thr Pro Asn  
  
 785                                    790                                    795                                    800  
 His Asp Gly Gly Lys His Thr Glu Pro Asn Glu Thr Thr Pro Leu Thr  
                                   805                                    810                                    815  
 Glu Pro Glu Lys Gly Pro Val Glu Ala Lys Pro Glu Cys Gln Glu Thr  
                                   820                                    825                                    830  
 Glu Thr Lys Pro Ala Pro Ala Glu Val Lys Thr Val Pro Asn Asp Ala  
                                   835                                    840                                    845  
 Thr Gln Thr Lys Glu Asn Glu Ser Lys Ala  
                                   850                                    855

<210> 147

<211> 193

<212> PRT

<213> Artificial Sequence

<220><223> Description of Artificial Sequence: Target sequence

<400> 147

Met Pro Glu Glu Gly Ser Gly Cys Ser Val Arg Arg Arg Pro Tyr Gly  
 1                                    5                                    10                                    15  
 Cys Val Leu Arg Ala Ala Leu Val Pro Leu Val Ala Gly Leu Val Ile  
                                   20                                    25                                    30  
 Cys Leu Val Val Cys Ile Gln Arg Phe Ala Gln Ala Gln Gln Gln Leu  
                                   35                                    40                                    45  
  
 Pro Leu Glu Ser Leu Gly Trp Asp Val Ala Glu Leu Gln Leu Asn His  
                                   50                                    55                                    60  
 Thr Gly Pro Gln Gln Asp Pro Arg Leu Tyr Trp Gln Gly Gly Pro Ala  
 65                                    70                                    75                                    80  
 Leu Gly Arg Ser Phe Leu His Gly Pro Glu Leu Asp Lys Gly Gln Leu  
                                   85                                    90                                    95  
 Arg Ile His Arg Asp Gly Ile Tyr Met Val His Ile Gln Val Thr Leu  
                                   100                                    105                                    110

Ala Ile Cys Ser Ser Thr Thr Ala Ser Arg His His Pro Thr Thr Leu  
 115 120 125

Ala Val Gly Ile Cys Ser Pro Ala Ser Arg Ser Ile Ser Leu Leu Arg  
 130 135 140

Leu Ser Phe His Gln Gly Cys Thr Ile Ala Ser Gln Arg Leu Thr Pro  
 145 150 155 160

Leu Ala Arg Gly Asp Thr Leu Cys Thr Asn Leu Thr Gly Thr Leu Leu  
 165 170 175

Pro Ser Arg Asn Thr Asp Glu Thr Phe Phe Gly Val Gln Trp Val Arg  
 180 185 190

Pro

<210> 148  
 <211> 378  
 <212> PRT  
 <213> Artificial Sequence  
 <220><223> Description of Artificial Sequence: Target sequence  
 <400> 148

Met Val Leu Leu Trp Leu Thr Leu Leu Leu Ile Ala Leu Pro Cys Leu  
 1 5 10 15

Leu Gln Thr Lys Glu Asp Pro Asn Pro Pro Ile Thr Asn Leu Arg Met  
 20 25 30

Lys Ala Lys Ala Gln Gln Leu Thr Trp Asp Leu Asn Arg Asn Val Thr  
 35 40 45

Asp Ile Glu Cys Val Lys Asp Ala Asp Tyr Ser Met Pro Ala Val Asn  
 50 55 60

Asn Ser Tyr Cys Gln Phe Gly Ala Ile Ser Leu Cys Glu Val Thr Asn  
 65 70 75 80

Tyr Thr Val Arg Val Ala Asn Pro Pro Phe Ser Thr Trp Ile Leu Phe  
 85 90 95

Pro Glu Asn Ser Gly Lys Pro Trp Ala Gly Ala Glu Asn Leu Thr Cys  
 100 105 110

Trp Ile His Asp Val Asp Phe Leu Ser Cys Ser Trp Ala Val Gly Pro  
 115 120 125  
 Gly Ala Pro Ala Asp Val Gln Tyr Asp Leu Tyr Leu Asn Val Ala Asn  
 130 135 140  
 Arg Arg Gln Gln Tyr Glu Cys Leu His Tyr Lys Thr Asp Ala Gln Gly  
 145 150 155 160  
  
 Thr Arg Ile Gly Cys Arg Phe Asp Asp Ile Ser Arg Leu Ser Ser Gly  
 165 170 175  
 Ser Gln Ser Ser His Ile Leu Val Arg Gly Arg Ser Ala Ala Phe Gly  
 180 185 190  
 Ile Pro Cys Thr Asp Lys Phe Val Val Phe Ser Gln Ile Glu Ile Leu  
 195 200 205  
 Thr Pro Pro Asn Met Thr Ala Lys Cys Asn Lys Thr His Ser Phe Met  
 210 215 220  
  
 His Trp Lys Met Arg Ser His Phe Asn Arg Lys Phe Arg Tyr Glu Leu  
 225 230 235 240  
 Gln Ile Gln Lys Arg Met Gln Pro Val Ile Thr Glu Gln Val Arg Asp  
 245 250 255  
 Arg Thr Ser Phe Gln Leu Leu Asn Pro Gly Thr Tyr Thr Val Gln Ile  
 260 265 270  
 Arg Ala Arg Glu Arg Val Tyr Glu Phe Leu Ser Ala Trp Ser Thr Pro  
 275 280 285  
  
 Gln Arg Phe Glu Cys Asp Gln Glu Glu Gly Ala Asn Thr Arg Ala Trp  
 290 295 300  
 Arg Thr Ser Leu Leu Ile Ala Leu Gly Thr Leu Leu Ala Leu Val Cys  
 305 310 315 320  
 Val Phe Val Ile Cys Arg Arg Tyr Leu Val Met Gln Arg Leu Phe Pro  
 325 330 335  
 Arg Ile Pro His Met Lys Asp Pro Ile Gly Asp Ser Phe Gln Asn Asp  
 340 345 350  
  
 Lys Leu Val Val Trp Glu Ala Gly Lys Ala Gly Leu Glu Glu Cys Leu





Ala Gln Glu Pro Ala Thr Ser His Pro His Arg Asp Met Gln Pro Gly

145 150 155 160

His His Glu Thr Ser Thr Pro Ala Gly Pro Ser Gln Ala Asp Leu His

165 170 175

Thr Pro His Thr Glu Asp Gly Gly Pro Ser Ala Thr Glu Arg Ala Ala

180 185 190

Glu Asp Gly Ala Ser Ser Gln Leu Pro Ala Ala Glu Gly Ser Gly Glu

195 200 205

Gln Asp Phe Thr Phe Glu Thr Ser Gly Glu Asn Thr Ala Val Val Ala

210 215 220

Val Glu Pro Asp Arg Arg Asn Gln Ser Pro Val Asp Gln Gly Ala Thr

225 230 235 240

Gly Ala Ser Gln Gly Leu Leu Asp Arg Lys Glu Val Leu Gly Gly Val

245 250 255

Ile Ala Gly Gly Leu Val Gly Leu Ile Phe Ala Val Cys Leu Val Gly

260 265 270

Phe Met Leu Tyr Arg Met Lys Lys Lys Asp Glu Gly Ser Tyr Ser Leu

275 280 285

Glu Glu Pro Lys Gln Ala Asn Gly Gly Ala Tyr Gln Lys Pro Thr Lys

290 295 300

Gln Glu Glu Phe Tyr Ala Lys Pro Thr Lys Gln Glu Glu Phe Tyr Ala

305 310 315 320

<210> 151

<211> 420

<212> PRT

<213> Artificial Sequence

<220><223> Description of Artificial Sequence: Target sequence

<400> 151

Met Pro Gly Gly Cys Ser Arg Gly Pro Ala Ala Gly Asp Gly Arg Leu

1 5 10 15

Arg Leu Ala Arg Leu Ala Leu Val Leu Leu Gly Trp Val Ser Ser Ser



Leu His Asn Gly Thr Leu Ala Glu Leu Gln Gly Leu Pro His Ile Arg  
 275 280 285  
 Val Phe Leu Asp Asn Asn Pro Trp Val Cys Asp Cys His Met Ala Asp  
 290 295 300  
 Met Val Thr Trp Leu Lys Glu Thr Glu Val Val Gln Gly Lys Asp Arg  
 305 310 315 320  
 Leu Thr Cys Ala Tyr Pro Glu Lys Met Arg Asn Arg Val Leu Leu Glu

325 330 335  
 Leu Asn Ser Ala Asp Leu Asp Cys Asp Pro Ile Leu Pro Pro Ser Leu  
 340 345 350  
 Gln Thr Ser Tyr Val Phe Leu Gly Ile Val Leu Ala Leu Ile Gly Ala  
 355 360 365  
 Ile Phe Leu Leu Val Leu Tyr Leu Asn Arg Lys Gly Ile Lys Lys Trp  
 370 375 380  
 Met His Asn Ile Arg Asp Ala Cys Arg Asp His Met Glu Gly Tyr His

385 390 395 400  
 Tyr Arg Tyr Glu Ile Asn Ala Asp Pro Arg Leu Thr Asn Leu Ser Ser  
 405 410 415

Asn Ser Asp Val  
 420

<210> 152

<211> 6

<212> PRT

<213> Artificial Sequence

<220><223> Description of Artificial Sequence: Signal peptide

<400> 152

Asp Ala Ala Gln Pro Ala

1 5